

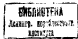
С. И. Логачев,  
М. М. Николаев

# Суда для перевозки сжиженных газов

У 3-100 | 12



Издательство  
«Судостроение»  
Ленинград  
1966



В книге изложены систематизированные материалы, отражающие опыт отечественной и зарубежной научно-технической литературы, по проектированию судов для перевозки сжиженных газов. Особенности судов-газовозов, обусловленные специфическими свойствами транспортируемого груза. Рассмотрены основные типы газовых электрических построек, классификации газовозов по габаритам размерений этих судов, грузоподъемности и скорости хода. Подробно освещена вопрос о выборе типа судовых шлюпок для сжиженного газа, материалов для их изготовления, а также выборе формы и кубатуры, исполнения и способа крепления шлюпок к трюмам. Кроме того, в книге освещаются вопросы экономики морской транспортировки газа.

Книга рассчитана на инженерно-технических работников судостроительной промышленности. Она может быть использована студентами кораблестроительных институтов и филиалов, а также персоналом морского флота.

## От авторов

В современную эпоху имеют огромную важность проблемы развития энергетики, связанные с быстрым ростом потребления энергии в промышленности, транспорте сельском хозяйстве.

С давних времен в качестве основного источника энергии человечество использовало каменный уголь. В начале этого столетия получила развитие нефтедобывающая промышленность, покрывавшая в настоящее время примерно 40% мировой потребности в первичной энергии. Сравнительно новым источником энергии является газ, практическое применение которого было осуществлено в 20-х годах текущего столетия. Особенно быстры стала развиваться газовая промышленность в послевоенные годы. В связи с этим возникла проблема создания средств транспортировки газов из удаленных районов их добывки. Появились первые морские и речные суда-газовозы. Нет сомнений в том, что начавшиеся всего 10—15 лет назад морские перевозки газа имеют большое будущее, и поэтому появление газовозов следует считать такие же важным событием, как создание в конце прошлого века первых нефтеналивных судов.

В настоящее время строительство газовозов находится еще в начальной стадии своего развития, характеризующейся попытками наиболее эффективных способов транспортировки газа на судах, а также анализом опыта постройки и эксплуатации первых газовозов. Интерес к морскому способу транспортировки газа проявляется во многих странах и поэтому мировой флот судов-газовозов увеличивается из года в год.

Специфические свойства газа обуславливают целый ряд отличительных особенностей газовозов по сравнению с другими транспортными судами. К этим особенностям относятся установка выкладных шлюпок для перевозки газа, выделение за судне балла-

## Введение

стых штетерн, трудность обеспечения остойчивости из-за высокого расположения центра тяжести вкладных штетерн и т. д. Проектирование этих судов отличается и тем, что приходится решать ряд специфических вопросов — выбор наиболее рационального способа перевозки газа, типа штетерн, материала для их изготовления, выбор изоляции, разработка крепления штетерн в корпусе судна, обеспечение пожаро- и взрывобезопасности и т. п.

Все вышеизложенное свидетельствует о целесообразности и необходимости обобщения имеющегося зарубежного и отечественного опыта в области проектирования и постройки судов-газовозов.

Написание настоящей книги представлена многолетней работой авторов во систематизации и критическом анализе публикуемых в периодической печати материалов, а также рассмотрению разработанных у нас и за рубежом проектов газовозов.

Авторы выражают глубокую признательность доктору технических наук проф. В. В. Аникину, инж. Е. Г. Фраду за ценные замечания, сделанные в процессе рецензирования рукописи, и работникам Центральной научно-технической библиотеки Министерства судостроительной промышленности ССРР за помощь в подборе материалов для книги.

Внедрение, главы I—IV и VI написаны С. И. Логачевым; глава V — М. М. Николаевым.

Авторы с благодарностью примут все кратические замечания и пожелания по книге.

Отзывы о книге просим направлять по адресу: Ленинград, Д-65, ул. Гоголя, д. 8, издательство «Судостроение».

В последние годы большее распространение получило использование в промышленности и в быту природного и попутного (выделяющегося при добыче нефти) газов, которые приобретают все большее значение в экономике, так как представляют собой высококалорийное дешевое топливо и ценные сырье для химической промышленности.

Советский Союз обладает огромными запасами газа. На 1 января 1961 г. потенциальные запасы газа в нашей стране оценивались в 60 трлн кубометров, что примерно в два раза больше, чем потенциальные запасы газа в США [43].

В течение прошедшего семилетия добыча и производство газа в нашей стране возросли в 4,3 раза. В соответствии с Директивами XXIII съезда КПСС по пятнадцатому плану развития народного хозяйства ССРР в 1970 г. у нас будет произведено 225—240 млрд. кубометров газа.

В последние годы резко увеличивается доля газа в теплово-энергетическом балансе ССРР. Если в 1965 г. в общем теплоэнергетическом балансе нашей страны газ занимал лишь 2%, то в 1965 г. его доля составила 15—16%. Этот рост объясняется технико-экономическими преимуществами добычи и использования газа по сравнению с другими видами топлива. В среднем по ССР себестоимость добычи газа в 1968 г. была в 18 раз ниже себестоимости добычи угля и в 4 раза ниже себестоимости добычи нефти [38], причем этот показатель продолжает уменьшаться. Так, в 1965 г. себестоимость добычи газа была в 22 раза ниже себестоимости добычи угля и в 4,5 раза ниже себестоимости добычи нефти.

Кроме того, газ по сравнению с другими видами топлива обладает еще и более высокой теплотворной способностью. Ниже для сравнения приводится средняя теплотворная способность различных видов топлива (в ккал/кг):

Газ . . . . .	10 000—12 000	Уголь . . . . .	6450
Бензин . . . . .	10 000—11 500	Терп . . . . .	2500
Мазут . . . . .	10 000—11 000	Сланцы . . . . .	1900
Хлорин . . . . .	19 000	Древесина . . . . .	1650

Газообразное топливо намного эффективнее твердого и жидкого топлива. При его сжигании в печах достигаются более высокие температуры, которые легко поддерживаются и регулируются в необходимых пределах. Газ применяется в стекольном, керамич-

ческом и других производствах, требующих чистого пламени без копоти.

Отсутствие копоти при горении уменьшает загрязнение воздушного бассейна промышленных городов и рабочих поселков, где газ используется как топливо для промышленных и коммунально-бытовых нужд.

Использование газа в качестве топлива значительно удешевляет и удешевляет топочные устройства, повышает коэффициент полезного действия печей, ускоряет технологический процесс и улучшает качество продукции.

В быту газ позволяет экономить время и средства и облегчает труд миллиона советских граждан.

Применение газа в качестве моторного топлива для двигателей автомобилей и тракторов способствует повышению коэффициента полезного действия двигателей, увеличению их мощности и моторресурса, снижению расхода горючего.

Наряду с промышленным использованием газа в качестве источника энергии огромным достижением современной науки и техники является химическая переработка газов. Химические продукты стали необходимыми и незаменимыми во многих отраслях народного хозяйства: в машиностроении и энергетике, на транспорте и в строительстве, в легкой промышленности и в сельском хозяйстве. Поэтому неизмеримо возросло значение газа как химического сырья.

Химическая переработка газов, возникшая всего 25—30 лет назад, уже сейчас обеспечивает выпуск почти 30% всей мировой химической продукции, а в ближайшие 10—15 лет как в нашей стране, так и за рубежом не менее 50% всех химических продуктов будет производиться из газа [7].

Значение газа как химического сырья состоит прежде всего в высоком содержании в нем углеводородов, взаимные превращения которых обусловливают множество способов получения химических продуктов.

Большим преимуществом газа как химического сырья является возможность получения на его основе чистых исходных продуктов, что особенно важно в синтезе полимеров.

Народогосударственное значение химической переработки углеводородных газов заключается еще и в изысковании больших количеств пищевого сырья, из основы которого долгое время базировалось производство ряда химических продуктов.

Одним из наиболее крупных потребителей углеводородных газов становится отрасль химической промышленности, обеспечивающая производство синтетического каучука.

Весьма эффективным выходом химической переработки углеводородных газов является производство спирта, получаемых до сих пор из пищевых продуктов: зерна и картофеля. Интересно отметить, что себестоимость синтетического спирта почти

в три раза ниже себестоимости спирта, получаемого из пищевого сырья.

Из всех используемых в промышленности горючих газов наибольшую ценность представляют собой природные и попутные газы.

Природные газы добываются из газовых месторождений. В них состав входит метан (до 97—98%), незначительное количество этана, пропана, бутана и высших углеводородов (1,5—2%), азот, углекислый газ и сероводород [8].

Природный газ в основном используется в качестве промышленного и бытового топлива (до 95,7% — по данным на 1965 г.). Остальная часть добываемого газа идет на химическую переработку и на изготовление сажи.

Попутные газы являются побочными продуктами добывки нефти. Состав их весьма различен и зависит от типа месторождения и условий добычи нефти. Содержание метана в попутных газах составляет 31—73%; этана 1—23%, пропана 0,3—25%, бутана 2,5—10%, изобутана 0,2—10%, пентана 2—4%, изопентана 0,2—2,0% и изобутановых газов до 12% [8].

Примерное распределение попутных газов по статьям расхода в процентах (по данным на 1965 г.) выглядит следующим образом [8]:

Изопентан в качестве бытового и промышленного топлива	71,5
Химическая переработка	15,1
Изготовление высококачественного бензина	10,2
Расходы на другие цели	3,2

Как видно из приведенных данных, довольно большое количество попутных газов идет на нужды химической промышленности.

Серьезным препятствием к широкому использованию газа в промышленности и в быту являются трудность транспортировки его из места добычи к потребителю. Основной способ транспортировки газов — подача по газопроводам — обладает очень дорогим. Прокладка газопровода требует большого количества металла (~200 т/км), огромных капитальныхложений (~70 тыс. руб./км) и больших затрат времени [36]. К тому же же газа можно проложить газопровод, особенно, если путь к потребителю проходит через моря и океаны. В связи с этим огромное количество газа сжигается или выбрасывается в атмосферу из-за невозможности использования на месте. Каждый год в Венесуэле, например, сжигается около 30 млрд. кубометров природного и попутного газов. Столько же газа сжигается ежегодно в странах Среднего Востока.

В то же время многие страны Западной Европы, Япония используют острую нехватку энергетического сырья, а бурно развивающейся химической промышленности этих стран все в большем количестве требуется углеводородное сырье, получаемое из природных и попутных газов.

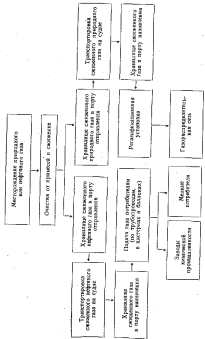


Рис. 1. Стадии транспортировки газа от места добычи до потребителя.

Доставка газа потребителям независимо от их местонахождения становится возможной при переходе его в жидкое состояние. В этом случае газ может перевозиться в автомобильных, железнодорожных или судовых цистернах. При снижении объем газа уменьшаются в 250—600 раз. Снижение пропана и бутана, входящих в качестве основных компонентов в состав попутного газа, можно осуществлять охлаждением до температуры кипения, понижением давления при общей температуре или одновременно охлаждением и повышением давления (комбинированский способ). Снижение метана, составляющего 75—98% природного и 30—70% попутного газа, возможно лишь при очень низкой температуре (около минус 160° С).

На рис. 1 показаны стадии, через которые проходит газ на пути от места добычи до потребителя.

Последние годы характеризуются значительным ростом производства и потребления сжиженных нефтяных газов (бутана и пропана) во всех странах (табл. 1).

Примерно 60% потребляемого бутана и пропана производится из попутного нефтяного газа, 20% из природного газа и 20% при переработке нефти. При переработке одной тонны нефти, кроме нефтепродуктов, получают ~2 кг бутана и ~7 кг пропана.

Большая часть сжиженных нефтяных газов обычно идет на бытовые нужды, хотя в последние годы сильно возросло потребление этих газов в химической промышленности (табл. 2).

С ростом потребления сжиженных газов все большую роль приобретает транспорт, доставляющий газы потребителям.

Применение судов для перевозки сжиженных газов позволяет быстро осваивать их месторождения, расположенные вдали

Таблица 1  
Рост потребления сжиженных нефтяных газов в различных странах (тыс. т)

Страны	Годы			
	1950	1955	1960	1965
США	7150	15 570	17 740	19 520
Франция	120	630	870	1 090
Япония	—	140	470	1 060
ФРГ	40	210	510	810
Италия	40	520	640	780
Мексика	—	410	580	740
Канада	60	320	430	600
Бразилия	—	220	350	500
Бельгия	20	190	580	360
Англия	40	90	160	300
Голландия	20	140	170	220
Дания	—	80	100	130
Аргентина	—	70	90	100
Прочие страны (без СССР)	310	450	430	790
Всего	7800	19 080	22 820	27 050

водных путей, осуществлять широкую газификацию приморских городов и поселков (прокладка газопроводов, к которым экономически нецелесообразно из-за малого объема потребляемого газа), обеспечивать регулярные поставки газа в страны, имеющие выход к морю.

Таблица 2

Потребление сжиженных нефтяных газов за рубежом в 1960 и 1962 гг.  
(по статьям расхода, тыс.тн)

Статья расхода	США		Западная Европа		Япония
	1960	1962	1960	1962	
Бытовые нужды	58	42	94	51	75
Нужды химической промышленности	31	40	2	19	22
Автогенератор	4	11	—	3	—
Прочие расходы	7	7	4	27	3

## Глава I

### Развитие перевозок сжиженных газов

#### § 1

##### Краткий очерк истории развития газовозов и их классификация

Первые сведения о перевозках сжиженных газов морем относятся к 1929—1931 гг., когда компания Шелл временно переоборудовала танкер «Megara» для перевозки около 11 тыс. т в судно для перевозки сжиженного газа и восточная в Голландии судно «Agnita» дедвейтом 4,5 тыс. т, предназначенное для одновременной перевозки нефти, сжиженного газа и серной кислоты.

На судне «Agnita» в 12 грузовых танках было установлено 12 вертикальных цилиндрических цистерн, выступающих над верхней палубой. Пространство в танках, не занятое цистернами, заполнялось аэфтепродуктами. Главным двигателем служил дизель, позволявший судну развивать скорость около 13 узл. Танкер «Agnita» перевозил сжиженные газы с о. Кюрасао (Карийское море) в западноевропейские страны. Во время второй мировой войны это судно погибло.

Широкое развитие морские перевозки сжиженных газов получило лишь после окончания второй мировой войны. Первоначально для перевозок использовались суда, переоборудованные из танкеров или сухогрузных судов. Так, в 1947 г. был переоборудован танкер «Esso El Salvador» (рис. 2). Корпус танкера удлинили на 4,2 м и в 8 грузовых танках установили 8 горизонтальных цилиндрических цистерн длиной 6,1 и диаметром 4,5 м. Общая вместимость цистер составляла 780 м<sup>3</sup>. Остальное пространство в танках заполнялось нефтью. После переоборудования танкер имел следующие основные элементы:

Длина между вертикальными, м . . . . .	77,7
Ширина, м . . . . .	13,9
Осадка, м . . . . .	4,5
Дедвейт . . . . .	2200
Скорость хода, узл . . . . .	10,0

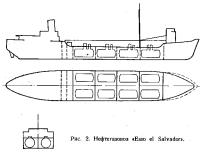


Рис. 2. Нефтеносец «Esso el Salvador».

Судно «Esso el Salvador» эксплуатировалось в Карибском море [186].

В 1947—1949 гг. для норвежских судовладельцев было переоборудовано несколько сухогрузных судов в суда для перевозки сжиженных газов. Переоборудование заключалось в том, что в трюмах этих судов устанавливались вертикальные цилиндрические цистерны, горловины которых выводились на верхнюю палубу. Количество устанавливаемых в трюмах судна цистерн достигало 68. Примером может служить судно «Manfodgas West» (рис. 3), переоборудованное в 1947 г. из американского стандартного сухогрузного судна типа С1-А постройки 1944 г. [199]. В трех носовых и двух кормовых трюмах судна установлены 68 вертикальных цилиндрических цистерн общей вместимостью 6250 м<sup>3</sup>. Цистерны устанавливались по четыре в ряд. При этом две средние выступали над верхней палубой, а у бортовых на палубу выводились линии горловины. Судно имеет следующие основные элементы:

Длина между перпендикулярами, м	119,0
Ширина, м	18,3
Осадка, м	7,5
Дедвейт, т	5440
Водоизмещение, т	11 900

Главным двигателем служит паровая турбина мощностью 4450 л. с., позволяющая судну развивать скорость хода 14 узл.

Круг спроса, занятого судами в различных морских перевозках газа, из года в год расширялся. В 1952 г. во Франции в экспери-

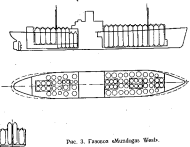


Рис. 3. Газоход «Mazagao West».

ментальных целях был переоборудован танкер «Shellphalee» дедвейтом около 3,5 тыс. т. В центральном трюме этого судна была установлена цилиндрическая цистерна для бутана. В 1962 г. на этом судне установили национализированную цистерну для перевозки газа в охлажденном состоянии.

Первым специально спроектированным газовозом явилось построенное в 1953 г. в Швеции для датских судовладельцев судно «Raasius Tholsteins» (рис. 4), которое имеет следующие основные элементы и характеристики [150]:

Длина между перпендикулярами, м	45,90
Ширина, м	10,10
Осадка, м	3,65
Дедвейт, т	445
Грузоподъемность, т	670
Скорость при эксплуатации, узл.	10,5

Сжиженный газ перевозится на судне в 12 вертикальных цилиндрических цистернах, установленных в трюме в два ряда. Цистерны, диаметром 3,3 м в высотой 7,1 м, рассчитаны на давление 28 кг/см<sup>2</sup>, толщина обшивки цистерн 34 мм.

Главный двигатель судна — дизель МАН максимальной мощностью 520 л. с. при 375 об/мин.

Первые газовозы как специальная постройка, так и переоборудование из судов других типов, предназначались для перевозки сжиженных нефтяных газов (пропана и бутана) и аммиака в цистернах высокого давления. Накопленный опыт проектирования, постройки и эксплуатации первых газовозов позволил перейти

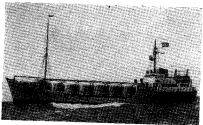


Рис. 4. Газовоз «Ranava Thalstrup».

к поискам наиболее выгодных способов транспортировки сжиженных газов.

В 1959 г. во Франции был построен газовоз «Descaftes» (рис. 5), перевозящий сжиженный газ в изолированных горизонтальных цилиндрических цистернах комбинированным способом, т. е. под небольшим давлением с соответствующим охлаждением [135].

В конце 1961 г. в Японии был построен газовоз «Bridgestone Maru» (рис. 6), предназначенный для перевозки сжиженного газа, охлажденного до температуры кипения, в восьми изолированных танках [129].

Перевозки метана, который может сохраняться в сжиженном состоянии лишь в условиях глубокого охлаждения (до минус 161° С), начались значительно позже, чем перевозки бутана, пропана и аммиака. Экономические и технические исследования возможности транспортировки метана в сжиженном виде на судах начались в 1960 г., когда американцами был разработан проект перевозки сжиженного метана на специальных баржах по р. Миссисипи из Луизианы к хладодильникам скотобояни в Чикаго. В 1964 г. закончилась постройка первых двух барж. Однако разрешение на их эксплуатацию получено не было, и они в течение почти пяти лет использовались для проведения всевозможных экспериментов и испытаний по программе, включающей окантовочные перевозки сжиженного метана [9].

Проведенные исследования позволили выработать предварительные требования к конструкции судов, перевозящих газы при низкой температуре, и приступить к постройке экспериментального судна для перевозки сжиженного метана.

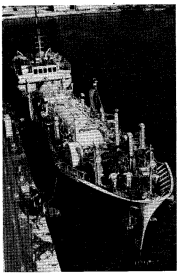


Рис. 5. Газовоз «Descaftes».

В 1968 г. на верфи в г. Мобил (США) началось переоборудование сухогрузного судна «Normarlis» в судно для перевозки метана [196]. Переоборудование проводилось в соответствии с временными требованиями Береговой охраны США и было согласовано с Американским бюро судоходства и Английским Регистром Плойда. Стоимость переоборудования судна составила около

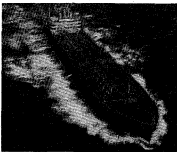


Рис. 6. Газово «Bridgeport Mar».

3 млн. долл. В начале 1969 г. первое судно для перевозки метана, получившее название «Methane Pioneer» (рис. 7), с грузом около 2000 т сжиженного газа на борту вышло в рейс из США в Англию. Судно совершило 7 опытных рейсов с грузом сжиженного метана (табл. 3).

В процессе переоборудования судна с целью увеличения его грузоподъемности была увеличена высота борта. Ухудшение начальной остойчивости из-за этого компенсировалось во время рейсов приемом водяного балласта в цистерны двойного дна.

Сжиженный метан перевозился на судне в пяти изолированных цистернах из алюминиево-магниевого сплава, установленных в двух трюмах.

В феврале 1962 г. начались испытания французского экспериментального судна «Benzinavia», переоборудованного из американского стандартного сухогрузного судна типа «Liberator» и предназначенного для опытных перевозок сжиженного метана [195].

Целью переоборудования являлась проверка в условиях эксплуатации различных конструкционных материалов, примененных для изготовления цистерн, а также проверка различных теплоизоляционных материалов, насосов и т. п. На судне были установлены три цистерны — прямоугольной, цилиндрической и сложной формы (так называемой многодолевой). Общая ёмкость этих цистерн составила около 700 м<sup>3</sup>. Прямоугольная и цилиндрическая

цистerna были изготовлены из алюминиевого сплава AG-4, в многодолевой — из стали с 9%ным содержанием никеля. В качестве изоляции использовались различные измельченные и пористые материалы, бальзамовое дерево и волокна.

После завершения экспериментальных работ во Франции и в Англии началось строительство метанозов.

В Советском Союзе перевозки сжиженного газа начались в декабре 1960 г., когда в первый раз вышел танкер «Фрунзе», переоборудованный для единовременной перевозки метана и аммиака [20]. Переоборудование танкера заключалось в установке на палубе железнодорожных цистерн для аммиака, закрепленных на специальных фундаментах с седлами.

Танкер «Фрунзе» является серийным танкером типа «Кадбек» и имеет следующие основные элементы:

Длина между перекладинами, м . . .	138,0
Ширина, м . . . . .	15,2
Высота борта, м . . . . .	10,4
Седла, я . . . . .	8,5
Индекс главных генералей, л. с. . . . .	4000
Скорость хода, узл . . . . .	13,0



Рис. 7. Первое экспериментальное судно для перевозки метана «Methane Pioneer».

Железнодорожные цистерны для аммиака в количестве 21 ед. размещены на судне тремя группами. Первую группу разместили в нос от средней рубки, вторую и третью — в корму. В связи с установкой цистерн непосредственно за палубо-надводный борт судна был увеличен до 3,0 м (против 1,9 м у однотипных танкеров, перевозящих нефть и нефтепродукты) и установлены изменения как для зимних, так и для летних условий. Суммарный вес цистерн составляет 420 т. Для нормальной удифферентации и обеспечения судну достаточной остойчивости в носовой балластный отсек принято 110 т постоянного балласта. Давление и грузоподъемность танкера «Фрунзе» в процессе переоборудования изменились следующим образом:

	До переоб- рудования	После пере- оборудования
Давление, кг	11 800	9490
Грузоподъемность, тн	10 290	7000
по нефти	—	580—580
по аммиаку	—	—

Таблица 3  
Результаты первых трех рейсов экспериментального металлоизве-  
тильного судна «Нейбен Риккетс»

Номер рейса	Продолжи- тельность рас- стояния, км	Средняя скорость, км/ч	Время разгрузки, час.	Количество перевозимого этанола, т	Количество перевозимого бутилена, т	Содержание воздуха в танке, %
1	5064 5238	9,42 8,60	*	2234 86	— 2105	0,450 —
2	4919 5083	9,87 9,77	18	2224 130	1902 1900	0,450 —
3	4937 4768	10,33 9,22	18	2206 —	926 2100	0,449 —
4	4902 5183	10,60 10,55	12	2218 153	963 916	0,474 —
5	4909 5110	10,08 10,30	12	2228 184	917 917	0,490 —
6	5029 5090	9,35 9,19	27	1835 60	1363 2105	0,536 —
7	4965 5234	10,32 10,10	16	1257 —	896 1480	0,480 —

Установленные на судне цистерны характеризуются следующими данными:

Длина, м	9990
Диаметр, м	2600
Толщина стеки, мм	26
Рабочее давление, кг/см <sup>2</sup>	20
Пробка: герметическое давление, кГс/см <sup>2</sup>	30
Емкость, м <sup>3</sup>	50
Вес, т	29

В каждую цистерну можно принять 25—28 т жидкого аммиака.

Первые специализированные газовозы «Кегумс» и «Краслава» (рис. 8), построенные по заказу Советского Союза в Японии, вступили в строй в 1965 г. Каждое судно перевозит в четырех сферических цистернах примерно по 1000 т сжиженных газов (пропана и бутана) [5].

К настоящему времени сформировались три основных типа судов для перевозки сжиженных нефтяных газов и аммиака, а именно:

- с прочными цистернами, рассчитанными на перевозку газа, сжиженного путем повышения давления при нормальной температуре;

- с изолированными цистернами, рассчитанными на перевозку газа, сжиженного путем некоторого повышения давления с соответствующим охлаждением;

- с изолированными цистернами, рассчитанными на перевозку газа, сжиженного путем охлаждения до температуры кипения при нормальном давлении.

Суда для перевозки сжиженного бутана и пропана, а также аммиака обычно объединяют под общим названием «Суда для перевозки сжиженных нефтяных газов» (Liquid Petroleum Gas—LPG—carriers), так как физико-химические свойства аммиака, хотя они и не входят в состав попутных нефтяных газов, близки к свойствам пропана и бутана.

По форме устанавливаемых на судне цистерн газовозы могут быть разделены на суда, оборудованные цилиндрическими, сферическими и прямоугольными цистернами.

Поскольку природный газ представляет собой в основном метан (содержание до 98%), то и суда для перевозки метана обычно называют судами для перевозки сжиженного природного газа (Liquid Natural Gas—LNG—carriers). К этим же судам можно отнести суда для перевозки сжиженного этана и этилена, т. к. их свойства довольно близки к свойствам метана.

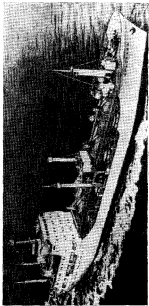


Рис. 3. Газок в Бразилии.

## § 2

### Перевозки сжиженных газов морем

Развитие морских перевозок сжиженных газов непосредственно связано с ростом их производства и потребления. В 1962 г. производство сжиженных нефтяных газов во всем мире (без СССР) достигло 30 млн. т, т. е. увеличившись по сравнению с 1950 г. почти в 4 раза. Расширяется значение торговли сжиженными газами. Основными мировыми экспортёрами газа являются США, ФРГ, Голландия, Франция. Данные об экспорте сжиженных газов этими странами приведены в табл. 4.

Свыше 90% сжиженных нефтяных газов, экспортёрованных из США в 1962 г., направлялись в Мексику и Канаду в основном по трубопроводам, а также в железнодорожных и автомобильных цистернах. Оставшаяся часть экспортёруемого газа (в количестве примерно 13 тыс. т) транспортировалась морем в Аргентину, ФРГ, Италию, Англию и Японию.

Франция примерно 60% экспортёруемых сжиженных нефтяных газов (~100 тыс. т) направляет морским путем в Алжир и другие африканские страны.

Основными мировыми импортёрами сжиженных нефтяных газов являются Бельгия, США, Япония, Дания и Голландия. В табл. 5 приведены данные об импорте сжиженных газов этими странами.

Морской транспорт уже в настороящее время играет большую роль в снабжении некоторых стран газом. В первую очередь это относится к скандинавским странам (в силу их географического

Таблица 4

Экспорт сжиженных нефтяных газов некоторыми капиталистическими странами (в тыс. т)

Страны	годы			Страны	годы		
	1958	1960	1962		1958	1960	1962
США	266	258	294	Бельгия	322	157	265
ФРГ	110	184	226	США	—	141	194
Голландия	125	133	177	Япония	14	59	124
Франция	97	136	172	Дания	72	88	92
Бельгия	16	21	38	Голландия	38	48	64
Италия	10	14	17	Франция	—	38	32
Прочие страны	46	94	124	Индия	39	36	32
				ФРГ	36	17	26

Таблица 5

Импорт сжиженных нефтяных газов некоторыми капиталистическими странами (в тыс. т)

положения). Например, почти весь потребляемый в Дании газ ( $\sim 100$  тыс. т) импортируется морем, причем стоимость его самая низкая в Европе.

В Европе на морских перевозках сжиженных нефтяных газов специализируется ряд компаний, в частности, датская Косагас, итальянские — Снам и Ошнегас и королевская — Лоренциен.

Большое количество сжиженных газов ввозится морским путем в Японию. В 1962 г. импорт газа в Японию составил 124 тыс. т, или 11,4% всего потребляемого в этой стране газа. В 1963 г. импорт газа морем возрос до 230 тыс. т ( $\sim 16\%$  всего потребляемого газа), а в 1966 г. составил  $\sim 600$  тыс. т. По предварительной оценке импорт сжиженных газов в Японию уже в 1967 г. превысит 1 млн. т, а в 1970 г. — 1,5 млн. т. Доля японского в Японии газа морским путем в общем объеме потребляемого газа также увеличивается и достигнет в 1970 г.  $\sim 23\%$ .

Сжиженный нефтяной газ доставляется в Японию из Персидского залива несколькими крупными судами-газовозами. Одно из них — судно «Широуати Мария» — имеет грузоподъемность более 46 000 м<sup>3</sup>. Газовозы курсируют между портами Саудовской Аравии (Рас-Танура) и Кувейта (Мина-эль-Ахмади), которых построены заводы по сжижению газа, а крупными базами сжиженного газа в японских портах Кавасаки и Токио. Сооружение завода по сжижению нефтяных газов (бутана и пропана) путем охлаждения до температуры кипения в Рас-Танура в 1962 г. обошлось примерно в 7,5 млн. долл. Его производительность составляет 200 т пропана и 220 т бутана в сутки. Завод располагает шестью изотермическими резервуарами для хранения сжиженных газов при пониженной температуре. Перекачка газа из судна осуществляется по изолированному трубопроводу длиной 1370 м и диаметром 56 см. Интенсивность насосных разрывов  $800$  м<sup>3</sup> пропана в час.

Аналогичный завод, построенный в 1961 г. в Мина-эль-Ахмади, производит 250 т пропана в сутки. Для хранения сжиженных газов на заводе используются два сферических резервуара емкостью по  $\sim 10$  тыс. м<sup>3</sup>, изготовленных из высокопрочной стали (с пределом текучести 20 кГ/м<sup>2</sup>).

В порту Кавасаки построено три базы сжиженного газа. Первая имеет три изотермических хранилища вместимостью по 12 тыс. т и шесть цистерн для хранения газа под давлением вместимостью 20—200 т; на второй базе — два изотермических хранилища по 700 и 3500 т и четыре цистерны высокого давления вместимостью от 100 до 500 т. На третьей базе (сооружение которой обошлось в 2,2 млн. долл.) установлено два изотермических хранилища емкостью по 5000 т и восемь цистерн для хранения газа под давлением вместимостью от 100 до 200 т. На базе в порту Токио оборудовано два изотермических хранилища по 7000 и 5000 т и установлены две цистерны высокого давления вместимостью по 300 т. Из цистерн высокого давления газ подается на



Рис. 9. Основные направления перевозок сжиженного газа морскими судами.

небольшие суда-газовозы, осуществляющие перевозки газа под давлением между японскими портами. В этих перевозках участвуют суда грузоподъемностью от 70 до 500 т.

Основные направления транспортировки газов морем показаны на рис. 9.

Перевозки сжиженного природного газа (метана), как уже упоминалось, осуществлялись в опытном порядке в 1959 г. По ориентировочных данным, в 1970 г. западноевропейским странам может быть продано  $\sim 82$  млрд. кубометров газа, а Японии — 25 млрд. кубометров. Ожидается, что доля природного газа в топливно-энергетическом балансе стран Западной Европы к этому времени достигнет 10% [991, 1191]. Одна треть требуемого количества газа в сжиженном виде будет доставляться в Европу на судах. В Англию, например, начиная с 1964 г., ввозится ежегодно около 700 тыс. т метана. Это количество покрывает более 10% потребности страны в газовом топливе [107], [118]. В настоящее время сжиженный метан доставляется в Англию из Алжира, причем перевозки осуществляются двумя судами грузоподъемностью по 11 000 т.

Франция ввозит из Алжира ежегодно около 350 тыс. т сжиженного метана. Перевозки осуществляются одним судном грузоподъемностью около 10 000 т. Для приема газа в Гавре сооружено пять подземных хранилищ, емкостью по 10 тыс. м<sup>3</sup>, а также уста-

ноока для перевода газа из сжиженного в газообразное состояние [107], [191].

Большой интерес проявляется к перевозкам сжиженного метана в Японии. Так, Токийская газовая компания намечает с 1967 г. экспорт из США в Японию ежегодно 400—450 тыс. т сжиженного метана. Компания предполагает построить для себя специальное судно-метановоз. С этой целью решено воссторожие изучить опыт постройки и эксплуатации первых французских и английских метановозов.

К 1 июля 1966 г. мировой флот судов, перевозящих сжиженные газы, достиг 139 единиц. Суммарная вместимость цистерн для газов на этих судах составила около 510 тыс. м<sup>3</sup>. В табл. 2 показано распределение мирового флота газовозов по странам [22].

Наибольший по грузоемкости флот газовозов имеет Япония, у которой еще в 1969 г. вообще не было специализированных судов для перевозки газа. Только три японских газовоза переоборудованы из танкеров, остальные газовозы специально спроектированы и построены с учетом их назначения.

Английский флот газовозов значительно увеличил свою грузоемкость за счет двух судов специальной постройки, сданных в эксплуатацию в 1964 г.

В составе флота газовозов Франции находится одно из крупнейших специализированных судов — метановоз «Jules Verne» грузоемкостью более 25 тыс. м<sup>3</sup>.

Норвежский флот газовозов состоит в основном из переоборудованных старых судогрузовиков и наливных судов. Лишь в последние годы торговый флот Норвегии пополнился такими специальными спроектированными газовозами как «Mundogas Brasilia», «Gaston Micard», «Nordfront» и др.

Под флагом Панамы плавает одна из крупнейших нефтегазовозов мира «Esso Puerto Rico» грузоемкостью около 13 тыс. м<sup>3</sup>, построенный в 1969 г.

Торговый флот Бразилии пополнился в 1963 г. тремя построенными в Японии газовозами грузоемкостью по 4 тыс. м<sup>3</sup>.

Датский флот газовозов состоит в основном из небольших судов специальной постройки, имеющих цистерны вместимостью до 2 тыс. м<sup>3</sup>.

Из 139 находившихся к 1 июля 1965 г. в эксплуатации газовозов 98 относились к судам специальной постройки, в 41 газовоз был переоборудован из наливных и судогрузовых судов. Среди газовозов только шесть («Methane Princess», «Methane Progress»,

\* При анализе флота газовозов обращают внимание операторы вместимостью датчиком для газа, а не газовой вместимостью судна или его дизелей. Дело в том, что среди газовозов имеются суда, перевозящие одновременно с газом и нефтью. Кроме того, некоторые члены газовозов переоборудованы из судов другого назначения и поэтому значение использованное их вместимости значительно уступает специальному спроектированным судам.

Таблица 4  
Распределение мирового флота газовозов по странам

Страны	На открытие 31 декабря						1967 г. (тыс. м <sup>3</sup> )	
	1966 г.	1967 г.	1968 г.	1969 г.	1970 г.	1971 г.		
Япония	—	6	12.0	18	66.6	70	33	152.6
Англия*	1	5.1	5.1	3	16.1	7	73.3	73.3
Франция	6	5.0	10	22.1	35	32.7	18	66.1
Норвегия	9	36.7	10	44.4	12	62.0	15	59.5
Панама	3	14.0	6	28.0	7	34.6	8	36.3
Швеция	—	—	—	—	1.1	2	26.9	26.9
США	—	—	—	—	—	2	26.4	26.4
Бразилия	3	6.5	3	6.9	6	19.0	6	19.0
Мексика	2	14.0	3	15.5	3	12.2	9	16.2
Нидерланды	10	4.0	14	7.7	18	30	11.9	20
Италия	6	4.5	7	5.2	10	8.3	11	9.7
Либерия	2	2.9	3	6.0	3	6.0	3	6.0
Чили	—	—	1	0.1	3	5.4	3	5.4
СССР	—	—	—	—	—	—	2	4.2
Аргентина	—	—	—	—	—	—	1	1.2
Голландия	1	6.4	1	0.5	1	0.5	1	0.5
Греция	—	—	—	—	0.4	1	0.4	1
Всего	43	91.7	96	154.9	101	271.2	130	471.0
							139	536.7

«Jules Verne», «Pythagore», «Methane Pioneer» и «Beauvais» могут перевозить сжиженный метан, а остальные 133 судна предназначены для перевозки сжиженных нефтяных газов и аммиака. Из общего количества газовозов 119 могут транспортировать только сжиженный газ, 19 перевозят газ и нефть, а одно судно, кроме цистерн для газа, имеет сухогрузный трюм. Большинство газовозов во всех странах (60% по числу судов и около 80% по суммарной грузоподъемности) построено за последние пять лет (табл. 7).

Ниже приводится распределение газовозов по вместимости цистерн для сжиженного газа (по состоянию на 1 июля 1965 г.)

Вместимость цистерн для газа, м <sup>3</sup>	Количество судов в каждой группе по вместимости	
	до 250	от 250
до 250	14 (10,0)	—
250—500	9 (6,5)	—
501—1000	38 (28,8)	—
1001—2000	24 (17,7)	—
2001—3000	31 (22,3)	—
3001—10 000	16 (11,8)	—
10 001 и более	17 (12,6)	—
Всего	139 (100,0)	—

Как видно, около 60% газовозов имеет вместимость цистерн для газа менее 2 тыс. м<sup>3</sup>.

В табл. 8 приведены данные о распределении газовозов по скорости хода. Разброс скоростей в широких пределах (от 8 до 17 узл.) объясняется большим различием в размерах газовозов — от судов длиной 23 м и грузоподъемностью 40 т до судов длиной 190 м и грузоподъемностью более 20 тыс. т.

Таблица 7

Распределение кирпичного флота газовозов по возрастному составу

Группа постройки (годы)	Количество судов		Средняя вместимость цистерн для газа	
	Классификация	% от общего числа	тыс. м <sup>3</sup>	% от общей вместимости
До 1953	15	10,8	44,8	8,3
1953—1959	18	9,4	19,1	2,2
1957—1960	27	19,5	52,1	9,7
1961—1965	84	60,3	427,7	79,8
Всего	139	100,0	536,7	100,0

На 118 газовозах в качестве главных двигателей используются дизели, а на остальных — паровые турбины, паровые машины и турбогенераторные установки. Силовые установки последних двух типов сохранились на газовозах, переоборудованных из стальных сухогрузных и наливных судов.

Таблица 8

Распределение кирпичного флота газовозов по скоростям хода

Вместимость цистерн для газа, м <sup>3</sup>	Скорость хода, узл.										Общая вместимость судов
	8	9	10	11	12	13	14	15	16	17	
До 250	1	4	1	—	—	—	—	—	—	—	6
250—500	—	5	3	—	—	—	—	—	—	—	8
501—1000	—	2	15	9	5	—	—	—	—	—	30
1001—2000	—	1	3	8	11	2	—	—	—	—	29
2001—5000	—	—	—	4	7	11	6	—	—	—	26
5001—10 000	—	3	2	1	2	3	4	2	—	—	15
10 000 и более	—	—	—	—	—	1	0	3	5	12	—
Всего	1	12	24	17	35	10	11	6	3	5	119

Примечание. В таблице не учтены 28 газовозов, скорость которых неизвестна.

## Глава II

### Общие вопросы проектирования газовозов

#### § 3

#### Физико-химические свойства газов

Газы со своими свойствами резко отличаются от любых других грузов, перевозимых на морских судах. Их свойства оказывают большое влияние на выбор элементов судна и его архитектурно-конструктивного тела.

В табл. 9 приведены основные физико-химические свойства газов, транспортируемая которых осуществляется в настоящее время морем. Вместе с углеводородными газами (метаном, этаном, пропаном, бутаном и т. п.) в таблице приведены свойства аммиака. По целику ряду свойств аммиак близок к некоторым углеводородным газам, в частности к бутану и пропану. Поэтому суда, для перевозки бутана и пропана могут перевозить аммиак.

Сжиженные газы являются насыщенными (кипящими) жидкостями, в которых давление паров изменяется в зависимости от температуры жидкой фазы. Упругость (давление) паров является одной из важнейших характеристик газа, по которой определяется расчетное давление, необходимое для конструирования грузовых цистерн. Упругость газов является величиной строго определенной для данной температуры. На рис. 10 показана зависимость упругости насыщенных паров некоторых газов от температуры.

Для определения параметров состояния газа в любых условиях существуют специальные диаграммы состояния [171], [331], [33]. По этим диаграммам можно определить упругость (давление) паров при различной температуре, удельный объем и удельный вес жидкой и газообразной фаз, теплоту парообразования, теплосодержание жидкости и пара, температуру газа при скатии, эффект сжаждения жидкости и газа при снижении давления (дросселировании) и т. п.

Важной характеристикой газа, влияющей на выбор конструкции цистерн, является его удельный вес. Большое значение имеет

Таблица 9  
Основные физико-химические характеристики некоторых газов, перевозка которых осуществляется морским путем

Физико-химические характеристики	Эксплуатационная фаза				Азотина UNI-13	
	Молекула (C <sub>n</sub> H <sub>2n+2</sub> )	Молярная масса (C <sub>n</sub> H <sub>2n+2</sub> )	Молярный объем (C <sub>n</sub> H <sub>2n+2</sub> )	Упругость паров (C <sub>n</sub> H <sub>2n+2</sub> )		
Окислительная способность Окислительная способность газа в отно- шении металлов и полупроводнико- вых материалов	0,554 —0,294	1,0488 —1,44	0,925 —0,44	1,582 —272	2,084 —227	0,600 820
2-значная степень экзотермичности теплообмена, ккал/кг	0,416	0,546	0,590	0,585	0,600	0,600
Критическая температура, °С Критическая температура, °К	—161,6 —42,1	—86,5 45,8	—108,7 48,2	—62,1 50,9	—5,6 42,1	—10,3 162,0
Температура кипения, °К Кипение, °К	—119,5 —122	—119,5 116	—119,5 115	—119,5 118	—119,5 93	—119,5 118,7
Скорость теплового излучения паров, ккал/(м <sup>2</sup> ·с)	11,950	11,950	11,950	10,950	10,950	—
Несущий способ стальных цистерн, кг/м <sup>3</sup>	640	556	465	310	475	490
Температура воспламенения, °С	110	156	100	120	95	100
Пределы взрывчатости газа в смеси с воздухом (при 0° С и нормальном атмосферном за- ятии), при которых смесь об- разует воспламеняющуюся	5,10/5,0	3,21/2,5	3,25/3,0	1,57/8,4	1,87/8,4	16,5/27,9

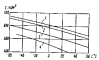
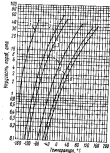


Рис. 11. Изменение удельного веса бутана (1), изобутилена (2), пропана (3) и этила (4) в зависимости от температуры.

также отношение удельного веса газа к удельному весу воздуха, называемое относительным удельным весом газа (табл. 9). Особенностью сжиженных газов является то, что их удельный вес значительно меняется с температурой (рис. 11) в отличие от большинства обычных жидкостей, которые при изменении температуры почти не изменяют своего удельного веса.

Рис. 10. Зависимость упругости капиллярных паров метана (1), этилена (2), этила (3), пропана (4), изобутилена (5) и бутана (6) от температуры.

В табл. 9 указаны еще несколько физико-химических характеристик газов, которые необходимо учитывать при проектировании или эксплуатации судов-газовозов. В частности, указана теплопроводность газа, знание которой необходимо для определения характеристики рециркуляционных установок, предотвращающих нагрева или охлаждения инспираторов при изменении температуры внешней среды. Зависимости теплопроводности некоторых газов от температуры и давления приведены в работе [17]. Теплота парообразования, т. е. количество тепла, затраченное на испарение 1 кг жидкости, определяет скорость испарения газа на протяжении рейса.

Приведенные в табл. 9 данные по теплоте сгорания и октановым числом характеризуют сжиженные газы как высококачественные топлива для судовых двигателей.

#### § 4

### Выбор способа транспортировки газа

Способ транспортировки сжиженных газов на судах предопределяется их физико-химическими свойствами. Поскольку, например, метан может сохраняться в сжиженном состоянии лишь при

чрезвычайно низкой температуре (около минус 160° С), перевозка его должна осуществляться в условиях глубокого охлаждения.

При проектировании судов, предназначенных для транспортировки сжиженных нефтяных газов и аммиака, правильный выбор способа перевозки газов представляет собой первостепенную проблему. Дело в том, что этот выбор зависит от целого ряда технических и экономических факторов, связанных не только с размерами и конструкцией судна, но и с условиями хранения сжиженного газа на берегу. В частности, от того, сколько соответствует условия хранения газа на судне, зависит продолжительность грузовых работ, а следовательно, и годовая производительность судна.

Французский специалист Аллон показал, что в случае хранения сжиженного газа на берегу при температуре плюс 35° С и высоком давлении (~ 15—16 атм), суда, перевозящие газ в изолированных цистернах при пониженном давлении, оказываются в опасном положении [49]. Чтобы погрузить газ на эти суда, приходится с помощью береговой или судовой рефрижераторной установки приводить температуру и давление газа, хранящегося на берегу, в соответствие с условиями перевозки его на судне. Последнее вызывает увеличение стоячего времени этих судов по сравнению с судами, перевозящими газ в цистернах высокого давления.

На рис. 12 в качестве примера показана зависимость темпа погрузки пропана от его температуры в береговых хранилищах, предложенная Ширлоком [111].

В связи с различием условий хранения сжиженного газа на берегу грузовых систем судов часто приспособливают для приема сжиженного газа, имеющего разную температуру и давление. Примером может служить газовоз «Gaston Micard» (табл. 32). Хотя цистерны этого судна рассчитаны на перевозку сжиженного газа при температуре, не превышающей плюс 25° С (соответствующий давление пропана 9 кг/см²), на судно можно принимать газы, хранящиеся на берегу при самых разнообразных температурных условиях [134]. При этом будет изменяться лишь темп грузовых работ.

При погрузке пропана, имеющего температуру выше плюс 25° С, он поступает в цистерны после соответствующего охлаждения забортной водой в сжигании давления до величины, не превышающей расчетную. В случае погрузки пропана охлаж-

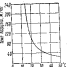


Рис. 12. Зависимость темпа погрузки пропана на судно, перевозящее сжиженный газ при температуре плюс 5°C и давлении 6,5 атм, от температуры газа в береговых хранилищах (при использовании электрического охлаждения 100 ккал).

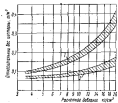


Рис. 13. Зависимость относительного веса цистерн от расчетного давления.

$J$  — цилиндрическая цистерна;  $Z$  — сферическая цистерна.

увеличивается с понижением его у судов, перевозящих газ при пониженной температуре, при заданной грузоподъемности будет меньше, чем у судов, перевозящих газ под давлением. Кроме того, из-за уменьшения расчетного давления газа снижается вес цистерн (рис. 13). Цистерны для перевозки имеемостью 1000 м<sup>3</sup>, рассчитанные на перевозку сжиженного газа только под давлением, весят около 300 т. Цистерна такой же вместимости, предназначенная для транспортировки газа под давлением с одновременным охлаждением до плюс 5° С, весит только 120 т и стоит примерно на 40% меньше.

Выбор недалекого способа транспортирования сжиженного газа на судах посвящено много статей, опубликованных в отечественной и зарубежной литературе [25], [49], [122]. В частности, уже упоминавшийся Аллом при выборе способа транспортировки сжиженного газа рассматривал суда двух типов, а именно: суда, предназначенные для перевозки газа под давлением при максимальной температуре плюс 45° С, и суда, предназначенные для перевозки газа под давлением с охлаждением до температуры плюс 5° С.

Описание общей емкости цистерн судна, предназначенного для перевозки газов под давлением с охлаждением ( $V_{\text{рд}}$ ), к общей емкости цистерн судна, предназначенного для перевозки газов под давлением ( $V_p$ ), выражается зависимостью

$$\frac{V_{\text{рд}}}{V_p} = \frac{d_2}{d_1}, \quad (1)$$

где  $d_2$  и  $d_1$  — удельный вес жидкого пропана при температуре 45° и 5° С, равный соответственно 0,47 и 0,52 кг/см<sup>3</sup>.

С учетом этого  $\frac{V_{\text{рд}}}{V_p} = 0,9$ , т. е. емкость цистерн судна, предназначенного для перевозки газа под давлением с охлаждением, составляет примерно 90% емкости цистерн судна, предназначенного для перевозки газов под давлением.

Сравнивая собственный вес цистерн ( $B_{\text{рд}}$  и  $B_p$ ), имеющих одинаковую форму (вертикальные цилиндрические) и изготовленных из одинаковой стали, и считая, что толщина стенок цистерн пропорциональна работому давлению, получаем

$$\frac{B_{\text{рд}}}{B_p} = (0,9)^{\frac{2}{3}}, \quad (2)$$

где  $\rho_{\text{рд}}$  и  $\rho_p$  — рабочее давление в цистернах судна, предназначенного для перевозки газа соответственно под давлением с охлаждением и только под давлением.

В рассматриваемом случае  $\frac{B_{\text{рд}}}{B_p} = 2,37$ , с учетом же веса набора цистерн, внутренних переборок и т. д.  $\frac{B_{\text{рд}}}{B_p} = 1,95 \div 2,00$ . Таким образом, вес цистерн для перевозки газа под давлением с охлаждением приблизительно в два раза меньше веса цистерн для перевозки газа только под давлением.

Затраты на изготовление цистерн, предназначенных для перевозки сжиженного газа, охлажденного до плюс 5° С, на 35—45% меньше затрат на цистерны высокого давления.

При одинаковой грузоподъемности размеры и стоимость самого судна для перевозки газа под давлением с охлаждением будут значительно меньше по сравнению с судном для перевозки газа только под давлением. Однако для охлаждения газов требуется рефрижераторная установка, машины компрессоры, конденсаторы, дополнительная арматура, большая мощность судовой электростанции и т. д. Все это может привести даже к некоторому возрастанию стоимости судна для перевозки газа под давлением с охлаждением.

Исследование способов транспортировки газа морским путем Аллом проводил для судов, имеющих чистую грузоподъемность 500 и 2500 т. Принималось, что сжиженный газ хранится на берегу при температуре плюс 35° С. Предлагалась запасоудерживающий период равным 355 суткам. Аллом определил производительность судов (табл. 10) и их экономические показатели для рейса продолжительностью 8 и 4 суток.

Из табл. 10 видно, что годовая производительность судна для перевозки газа только под давлением на 8—15% выше годовой производительности судов для перевозки газа под давлением с одновременным охлаждением.

Сравнительные расчеты себестоимости перевозки морским путем одной тонны сжиженного газа показали, что суда для перевозки газа под давлением с одновременным охлаждением до

плюс 5° С могут соприкашаться с судами, перевозящими газ только под давлением лишь при грузоподъемности свыше 2500 т. Однако эта «критическая» грузоподъемность может изменяться в значительных пределах в зависимости от продолжительности рейса и приложенного срока скажемости судна. При определенных условиях величина «критической» грузоподъемности возрастает вдвое.

Промедии Альлома исследования позволили ему сделать следующие выводы:

- морские перевозки сжиженного газа в цистернах высокого давления (т. е. без охлаждения) экономически целесообразны лишь на судах небольших размеров. Максимальная грузоподъемность этих судов, как правило, не превышает 600 т;

- суда, перевозящие сжиженный газ под давлением с охлаждением до температуры плюс 5° С, могут конкурировать с судами, перевозящими газ только под давлением при грузоподъемности более 2500 т. При охлаждении газа до указанной температуры цистерны для бутана можно не изолировать, так как даже при температуре плюс 45° С давление паров бутана не превышает 6,5 кГ/см<sup>2</sup>. В случае установки на судне горизонтальных цилиндрических цистерн, цистерны для бутана размещаются на верхней палубе. Цистерны же для пропана изолируются и размещаются в трюмах;

- в процессе проектирования судов грузоподъемностью 500—2500 т при выборе расчетного давления в грузовых цистер-

Таблица IV

Сравнительные эксплуатационные и экономические показатели судов, транспортирующих сжиженный газ под давлением с охлаждением, и только под давлением

Характеристика	Рейс	Грузоподъемность судна, тн			
		600		2500	
		перевозка газа под давлением с охлаждением	перевозка газа под давлением	перевозка газа под давлением с изолированными цистернами	перевозка газа под давлением
Ходовое время, суток	A	16,00	16,00	16,00	16,00
Стоянковое время, суток	B	8,00	8,00	8,00	8,00
		2,66	1,25	3,25	1,50
Общая проплавляемость рейса, суток	A	18,66	17,25	19,25	17,50
	B	10,66	9,25	11,25	9,50
Количество рейсов в год	A	18,00	19,4	17,4	19,1
	B	31,2	36,1	29,8	35,2
Годовая производительность	A	9 000	9 000	43 500	47 750
т	B	15 600	18 000	74 500	88 000

нах следует учитывать температурные условия района эксплуатации. Так, для северных стран Европы, где температура воздуха редко поднимается выше плюс 25° С за расчетное давление целесообразно принимать давление паров пропана при указанной температуре, т. е. ~9 кГ/см<sup>2</sup>. Таким образом, суда, предназначенные для эксплуатации в северных районах Европы, будут иметь цистерны, рассчитанные на несколько пониженное давление. Эти суда, благодаря отмеченному обстоятельству, совместят в себе преимущества газовозов с цистернами высокого давления и газовозов, транспортирующих газ в изолированных цистернах под небольшим давлением. Поскольку условия хранения газа на берегу соответствуют условиям его транспортировки на таких судах, их стоячное время не увеличится, а вес и стоимость грузовых цистерн уменьшится.

Выходы Аллома, конечно, не могут быть распространены на все разновидности условий эксплуатации газовозов, поэтому вопрос о целесообразном способе перевозки газа должен рассматриваться в каждом случае отдельно.

Перевозка газа в охлажденном состоянии при атмосферном или близком к нему давлении требует оборудования портов отправления специальными установками для сжигания газа путем охлаждения, а также изолированными цистернами для хранения сжиженного газа и изолированными трубопроводами для его перекачки на судно. Затраты на это дополнительное оборудование могут опнуться лишь при больших грузотоннажах газа. Поэтому суда, предназначенные для перевозки газа в охлажденном состоянии при атмосферном или близком к нему давлению, имеют большую грузоподъемность. Следует отметить, что герметика газа таким способом отличается от других способов целым рядом преимуществ. В частности, на газовозах в этом случае лучше используется кубатура трюма, так как изолированные цистерны, находящиеся под нормальным давлением, можно придавать форму, в наибольшей степени соответствующую обводам корпуса судна. Кроме того, удельный вес сжиженного газа при температуре кипения больше удельного веса газа, находящегося в сжиженном состоянии под давлением. Поэтому при той же вместимости цистерн грузоподъемность судна, перевозящего газ в охлажденном состоянии, будет больше грузоподъемности судна, перевозящего газ под давлением.

Для оценки целесообразности перевозки больших количеств сжиженного газа и изолированных цистерн при температуре кипения компании Везер (ФРГ) провела подробное исследование [122], объектом которого было построенное в 1958 г. судно для однопропеллерной перевозки нефти и газа «Esso Puerto Rico» (рис. 14).

Это судно имеет 58 вертикальных и горизонтальных цилиндрических цистерн для газа общей емкостью около 12 800 м<sup>3</sup>. Нефть перевозится в грузовых танках общей емкостью 33 600 м<sup>3</sup>.

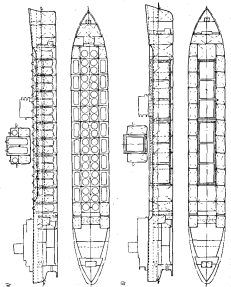


Рис. 14. Сравнение (проект А) и модифицированное размещение (проект Б) на судне «Esso Puerto Rico» и его модификации А (справа).

Специалисты компании Вазер рассмотрели две модификации судна «Esso Puerto Rico» (проект А, проект Б). В обеих модификациях предусматривалась перевозка сжиженного газа при температуре кипения. В табл. 11 даны сравнительные характеристики судна «Esso Puerto Rico», его двух модификаций и аналогичного по размерам танкера.

По проекту А (рис. 14, б) вместимость танков для нефти предусмотрена такой же, как на судне «Esso Puerto Rico». Двойное дно под инструментами для газа может быть использовано для хранения топлива. Высвобождающаяся в связи с приемом топлива в двойное дно одна из двух носовых топливных шпангоутов может использоваться для перевозки дополнительного количества нефти.

Сравнение характеристик судна «Esso Puerto Rico», его двух модификаций (проект А и проект Б) и аналогичного по размерам танкера «Esso GulfLord»

Таблица 11

Сравнительные характеристики судна «Esso Puerto Rico», его двух модификаций (проект А и проект Б) и аналогичного по размерам танкера «Esso GulfLord»

Характеристика	Надстройка «Esso Puerto Rico»	Проект А	Проект Б	Танкер «Esso GulfLord»
Длина между перпендикулярами, м	201,2	201,2	201,2	201,2
Ширина, м	27,4	27,4	27,4	27,4
Высота борта, м	14,3	14,3	14,3	14,3
Высота трюка, м	2,6	2,6	2,6	—
Осадка, м	11,1	11,1	11,1	10,8
Водоизмещение в группах, т	49 973	49 033	49 973	48 595
Водоизмещение порожнее, т	16 256	13 212	13 439	12 150
Дедвейт, т	33 687 (69,0%)	35 654 (70,2%)	35 634 (70,6%)	36 446 (71,9%)
Вместимость актера для газа, м <sup>3</sup>	12 786 (30,0%)	14 200 (31,1%)	19 300 (35,1%)	—
Грузоподъемность по трюкам, т	6 110 (10,0%)	8 850 (18,0%)	11 200 (17,7%)	—
Вместимость танков для нефти, м <sup>3</sup>	33 600 (69,0%)	33 650 (69,0%)	26 350 (76,4%)	44 625 (100,0%)
Грузоподъемность по нефти, т	22 590 (40,0%)	23 600 (40,4%)	20 400 (50,7%)	32 445 (100,0%)
Запас топлива, водя., маслян. и др., т	4000	4000	4000	4000

веса цистерн грузоподъемность судна по проекту А может быть увеличена на 3000 т. При этом грузоподъемность по газу (пропану) увеличивается примерно на 30%, а по нефти — приблизительно на 5%.

При разработке проекта Б исходили из необходимости использования под цистернами для сжиженного газа всей центральной части судна. Это приводит к уменьшению вместимости танкеров для нефти, однако значительно увеличивается вместимость цистерн для газа. Увеличение грузоподъемности судна по проекту Б по сравнению с судном «Esso Puerto Rico» примерно такое же, как и проекте А, с тем отличием, что в последнем случае грузоподъемность по газу увеличивается примерно на 80%, а по нефти — уменьшается на 9%.

Анализ данных, приведенных в табл. 11, показывает целесообразность транспортировки сжиженного газа в больших количествах в охлажденном состоянии, тем более, что стоимость судна по проектам А и В вряд ли превысит стоимость судна «Esso Puerto Rico» благодаря отсутствию необходимости в дорогостоящих материалах для изготовления грузовых цистерн.

В Советском Союзе разработан проект речного судна-газовоза [16], причем проектировщик — Центральное техническо-конструкторское бюро МРФ РСФСР совместно с Ленинградским трестом — использованы в качестве прототипа танкер с пятью вкладышами цилиндрическими цистернами диаметром около 6,4 м. Проведенные исследования показали, что более экономичной для речных газовозов является перевозка сжиженных газов в условиях глубокого охлаждения. В этом случае строительная стоимость судна снижается на 10—11%, грузоподъемность увеличивается примерно на 17%, а себестоимость перевозок уменьшается на 14—15%.

Для более детального рассмотрения преимуществ и недостатков того или иного способа перевозки сжиженного газа на речных судах ЦТКБ были разработаны три варианта газовозов (табл. 12). В первом варианте для перевозки сжиженного газа предусматривались большие цилиндрические цистерны (изолированы с наружной стороны и несколько усиленные с тем, чтобы они могли поддерживать избыточное давление 0,25 кг/см<sup>2</sup>).

В остальных двух вариантах предусматривалась установка 10 стандартных бутановых и пропановых цистерн диаметром 2,4—3,0 м. Во втором варианте бутановые цистерны изолированы и рассчитаны на перевозку сжиженного газа под давлением 7 кг/см<sup>2</sup> с одновременным охлаждением до температуры плюс 12° С. Пропановые цистерны в третьем варианте рассчитаны на перевозку газа только под давлением. Из табл. 12 видно, что с переходом к способу перевозки сжиженного газа под давлением вес цистерн увеличивается в 2—3 раза, а грузоподъемность судна снижается на 16—28%. Рассчет эксплуатационно-экономических показателей, резуль-

таты которого приведены в табл. 13, показал, что по себестоимости более выгодной является перевозка газа под давлением с одновременным охлаждением, а по показателю приведенных затрат — перевозка под охлаждением. Однако при выполнении указанных расчетов не учитывалось увеличение стоячного времени судов, перевозящих газ под охлаждением, а также капитальные затраты на дополнительное судовое и береговое оборудование, связанные

Таблица 12

Сравнительные характеристики трех конструктивных вариантов (I—III) речных газовозов

Характеристика	Способ перевозки сжиженного газа		
	под охлаждением	под давлением с одновременным охлаждением	под давлением
	I	II	III
Длина, м	62,0	62,0	62,0
Ширина, м	9,2	9,2	9,2
Осадка, м	1,62	1,75	1,88
Водонепроницаемые, м	738	880	849
Мощность главного двигателя, л. с.	360	360	360
Скорость судна, км/час	17,5	17,5	17,5
Цистерны (цилиндрические):			
тип	вертикальный	горизонтальный	горизонтальный
количество	5	10	10
диаметр, м	6,4	2,4—3,0	2,4—3,0
общий вес груза, т <sup>3</sup>	675	657	657
Бес цистерн, м	42,5	139,0	267,0
Вес цистерн в изолированной	83,0	185,0	267,0
и			
Расчетный коэффициент изоляции цистерн	0,92	0,90	0,80
Удельный вес груза, т/м <sup>3</sup>	0,56	0,51	0,46
Грузоподъемность, т	380 (30%)	300 (83%)	260 (73%)
Относительный вес цистерн с изоляцией за 1 т вместимости, т/т <sup>3</sup>	0,025 (100%)	0,016 (224%)	0,006 (468%)
Относительный вес цистерн с изоляцией за 1 т вместимости, т/м <sup>3</sup>	0,120 (300%)	0,082 (228%)	0,047 (338%)

Таблица 13

Эксплуатационно-экономическое значение речных судов-цистерн  
(см. табл. 12)

Характеристика	Способ перевозки сжиженного газа		
	под охлаждением	под давлением с одновременным охлаждением	под давлением
	I	II	III
Строительная стоимость, тыс. руб.	250 (100%)	273 (96%)	258 (85%)
Эксплуатационные расходы за год, тыс. руб.	64,8 (100%)	51,2 (79%)	29,3 (70%)
Производительность за год (минимум противостоящество 1900 км), тыс. м <sup>3</sup>	6,30 (100%)	5,05 (82%)	4,32 (70%)
Себестоимость, км/т·км	0,25 (100%)	0,54 (98%)	0,60 (99%)
Показатель приведенных затрат, км/т·км	0,94 (100%)	0,97 (102%)	1,07 (104%)

Таблица 14

Распределение заходящихся в эксплуатации газовозов по способу перевозки сжиженного газа  
(за I пол. 1963 г.)

Задачность цистерн для газа, м <sup>3</sup>	Способ перевозки сжиженного газа		
	под давлением	под вакуумом	под давлением с одновременным охлаждением
До 500	14	—	—
500–500	9	—	—
500–1000	24	3	6
1000–2000	18	1	5
2000–3000	9	—	11
3000–5000	5	—	6
5000–7000	6	20	1
7000–10 000	4	2	1
10 000–13 000	1	2	—
13 000 и более	1	8	—
Всего	91	18	30

с погрузкой и выгрузкой охлажденного газа. Учет указанных факторов, по-видимому, привел бы к изменению полученных результатов.

В дополнение к сказанному о выборе наиболее выгодных способов транспортировки сжиженных газов на судах различных размеров в табл. 14 приведены статистические данные по реализации того или иного способа перевозки на газовозах в зависимости от их грузовместимости. Из табл. 14 видно, что суда вместимостью до 500 м<sup>3</sup> строятся для перевозки газа только под давлением, а выше 10 000 м<sup>3</sup> — в основном для перевозки газа под охлаждением.

Суда грузовместимостью 500–10 000 м<sup>3</sup> стро-

ятся для перевозки сжиженного газа только под давлением (~63%), под давлением с одновременным охлаждением (~29%) и только под охлаждением (~8%).

## § 5

### Выбор типа цистерн

Сжиженные газы транспортируются на судах в вертикальных и горизонтальных цилиндрических, сферических и прямоугольных цистернах.

На выбор типа цистерн определенное влияние оказывает принятый способ транспортировки газа. Так, при перевозке газа под охлаждением (при температуре кипения и атмосферном давлении) цистерны можно придавать любую форму. В этом случае обычно используют правоугольные цистерны, которые позволяют лучше использовать подпалубную кубатуру судна.

При перевозке газа под давлением или под давлением с одновременным охлаждением применяются лишь цилиндрические и сферические цистерны. При этом на судах, перевозящих газ только под давлением, используются главным образом вертикальные цилиндрические цистерны, в то время как при комбинированном способе перевозки (под давлением с одновременным охлаждением) применяются горизонтальные цилиндрические и сферические цистерны. Последнее объясняется тем, что при одной и той же вместимости на судне размещается значительно меньшее количество горизонтальных цилиндрических или сферических цистерн, чем вертикальных цилиндрических. В связи с этим становятся меньше изолируемые поверхности и расход дорогостоящей изоляции, а следовательно, уменьшается и стоимость самого судна. Для судна грузовместимостью около 2000 м<sup>3</sup> уменьшение количества цистерн и изолируемой площади будет следующим:

Вертикальные цилиндрические цистерны	Горизонтальные цистерны: сферические		
	Количество цистерн . . . . .	6	4
Количество изолируемой поверхности цистерн, м <sup>2</sup> . . . . .	1700	1750	1280

О распространности цистерн той или иной формы на газовозах можно судить по данным табл. 15.

Как видно из табл. 15, наибольшее распространение получили суда с вертикальными и горизонтальными цилиндрическими цистернами. Основное преимущество вертикальных цилиндрических цистерн — удобство размещения и установки их на судне, простота монтажа трубопроводов и арматуры. При неизменных гла-

ных размерениях и коэффициентах полноты высота вертикальных цистерн, а следовательно и грузоподъемность судна, ограничиваются условиями моральной остойчивости.

Весовые и объемные характеристики горизонтальных и вертикальных цилиндрических цистерн при установке их на судно приблизительно одинаковы. Однако при использовании горизонтальных цистерн их число будет меньше, а следовательно, и уменьшится потребное количество деревостойкой арматуры.

Горизонтальные цистерны обычно размещаются в громкях и на верхней палубе судна, что усложняет их монтаж и приводит к некоторому удешевлению судна.

Сферические цистерны не получили широкого распространения на судах. Хотя их вес приблизительно в полтора раза меньше веса цилиндрических цистерн равного объема, относительное использование вместимости трюмов при установке сферических цистерн незначительное. Кроме того, технология изготовления этих цистерн весьма сложна. Цистерны такого типа установлены только на семи судах из общего количества находящихся в эксплуатации 139 газовозов.

Таблица 15

Распределение газовозов  
в эксплуатации газовозов по типу  
грузовых цистерн (по состоянию  
на 1 июля 1965 г.)

Вместимость грузовых цистерн, м <sup>3</sup>	Тип и количество цистерн				
	цилиндриче- ские	гори- зонталь- ные	верти- кальные	специаль- ные	прямоуголь- ные
до 250	—	14	—	—	—
250—500	1	7	1	—	—
500—1000	9	19	3	—	—
1000—2000	9	14	—	—	—
2000—3000	9	13	—	—	—
3000—5000	5	6	—	—	—
5000—7000	6	—	—	—	—
7000—10 000	4	—	—	2	—
10 000—12 000	—	—	—	2	—
12 000 и более	10	—	—	—	—
<b>Всего</b>	<b>42</b>	<b>74</b>	<b>7</b>	<b>16</b>	

Вследствие этого коэффициент использования грузового пространства различен для судов, оборудованных сферическими цистернами, оказывающимися заметно больше размерений судов с цистернами других типов. В табл. 16 приведены основные характеристики нескольких газовозов, имеющих преимущественно одинарную грузоподъемность и оборудованных цистернами различной формы. Газовоз «Кегумс» со сферическими цистернами имеет увеличенные размеры главным образом вследствие малого использования кубатуры трюмов, хотя на увеличенные размерения в некоторой степени повлияли повышенный запас топлива и виду большой дальности плавания.

Выполненная для «Кегумса» проработка показа-

Таблица 16  
Основные величины и характеристики газовозов, имеющих различные формы

Вместимость грузовых цистерн, м <sup>3</sup>	Основные параметры газовозов и их характеристики				
	«Мария Р.» (Финляндия, 1961)	«Мария Р.» (Финляндия, 1960)	«Лидия К.» (Финляндия, 1960)	«Лидия К.» (Финляндия, 1961)	«Лидия К.» (Финляндия, 1960)
Грузоподъемность, м <sup>3</sup>	2060	2060	2050	2040	2030
Тип грузовых цистерн и их количество	сферические (4)	цилиндрические (17)	горизонтальные цилиндрические (15)	горизонтальные цилиндрические (16)	горизонтальные цилиндрические (16)
Габариты грузовоза, м:					
ширина корпуса пар- тнерштейнов, L, м	86,0	73,5	90,2	76,3	73,0
ширина, B, м	15,0	11,8	12,0	12,0	12,0
высота борта, H, м	7,5	5,4	6,8	6,6	6,7
осадка, T, м	4,7	4,7	4,6	4,6	4,6
длина грузового дви- жения, д. с.	2980	1215	1580	2900	2850
Скорость ходу, уз.	13,2	11,5	13,0	13,5	12,5
Дальность плавания, миль	14 000	8000	—	6000	7000

зала, что в грузовом пространстве, выделенном для размещения цистерн, может быть установлено 16 вертикальных цилиндрических цистерн диаметром 4,8 м общей вместимостью около 2400 м<sup>3</sup>, либо 6 горизонтальных цилиндрических цистерн такого же диаметра вместимостью около 2200 м<sup>3</sup>. Установка цилиндрических цистерн потребовала бы изменения конфигурации балластных цистерн и потери вследствие этого некоторого количества (~250 м<sup>3</sup>) балластной емкости. Однако, увеличение веса цилиндрических цистерн, а следовательно, и веса судна порожнем приводит к тому, что водоизмещение в балластах судов с цилиндрическими цистернами оказывается близким к «Кегумус», либо даже большим, чем у него.

В табл. 17 приведены технико-экономические характеристики газовоза «Кегумус» и сравнение с его возможными модификациями.

Таблица 17

Сравнительные технико-экономические характеристики газовоза «Кегумус» и его модификаций с цилиндрическими цистернами

Характеристика	Газовоз «Кегумус»	Его модификации	
		I	II
Тип цистерн и их количество	сферические 10	вертикальные цилиндрические (16)	горизонтальные цилиндрические (6)
Вместимость цистерн, м <sup>3</sup>	2094	2400	2200
Вес судна порожнем, т	2250	2480	2450
Вес цистерн, т	430	640	690
Дедвейт, т	2200	2450	2330
Водоизмещение в плавании грузом, т	4680	4880	4750
Осадка в грузу, м	4,65	5,10	4,35
Вместимость балластных цистern, м <sup>3</sup>	1090	800	800
Водоизмещение в балластах, т	4380	4400	4340
Средняя осадка в балластах, м	4,60	4,62	4,56
Стоимость судна, %	100	105	104
Пропуск способность за рейс, т	1120 (100%)	1300 (118%)	1250 (110%)
Пропуск способность за год, %	100	114	109
Годовые эксплуатационные расходы, %	100	102	101
Себестоимость перевозки 1 т сконцентрированного газа, %	100	93	93

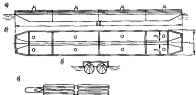


Рис. 15. Схема газобаллонного сжатого газа (водоизмещение в груз 400 т, водонепроницаемые покрытия 120 м, осадка в грузу 2 м, размеры системы указанны в метрах): а — вид спереди; б — вид сбоку; в — вид сзади; г — схема участка сжатого газа.

(для случая с цилиндрическими цистернами). Как видно из таблицы, увеличение грузоемкости судна при оборудовании его цилиндрическими цистернами повышает пропуск способность на 10–15% и снижает себестоимость перевозок на 7–10%. Таким образом, можно сделать вывод, что применение на судне «Кегумус» цилиндрических цистерн вместо сферических позволило бы значительно улучшить его экономические показатели.

Для повышения коэффициента использования объема грузового пространства судна было предложено объединять корпус судна с цистерной высокого давления [61], [25].

В работе [25] корпус судна предлагается проектировать в виде цистерны высокого давления. Более подробное описание предлагаемого судна-газовоза с цилиндрическим корпусом приведено в § 16. За счет исключения внешних цистерн коэффициент использования водоизмещения по грузоемкости в этом случае увеличивается почти на одну треть, а стоимость постройки уменьшается.

В табл. 18 приведены сравнительные технико-экономические показатели газовозов, оборудованных цистернами трех основных типов. Анализ таблицы показывает, что по себестоимости перевозки I и II теза лучшим является судно с корпусом в виде пропеллерной цистерны, а худшим — судно со сферическими цистернами.

Интересно отметить, что для перевозки сжиженных газов во всем предложенном пакете плавучие цистерны диаметром 3 м в длиной 50 м, объединенные в сжатые газы составы № 61. Пример сжатого газа состава из двух цистерн показан на рис. 15. Применение сжатых газов составов, толкаемых буксирами-толкачами, позволит снизить себестоимость перевозки 1 т сжиженного газа примерно в два раза по сравнению с обычным газовозом.

В последнее время для перевозки сжиженного газа предложены так называемые многоделовые цистерны 1931. Наиболее рациональными с точки зрения использования кубатуры грузового пространства являются шестиделовые цистерны (рис. 16), форма которых напоминает образом соответствует обводам судна. Схемы размещения вертикальных и горизонтальных цилиндрических и многоделовых цистерн в трюме газовоза приведены на рис. 17, а результаты сравнения их технических характеристик — в табл. 19.

При многоделовых цистернах лучше используется кубатура трюмов, но преимущество в весовом отношении по сравнению с цилиндрическими цистернами они не имеют. Благодаря меньшей высоте многоделовых цистерн, остойчивость судна улучшается.

Таблица 18

Сравнительные технико-экономические показатели газовозов, оборудованных грузовыми цистернами различных типов

Характеристика судна	Тип грузовых цистерн		
	вертикальные цилиндрические	шестицентровые	шестиделовые
Длина между переборками, м	95,5	99,0	87,5
Ширина, м	15,3	15,2	13,4
Осадка, м	5,1	4,9	5,1
Водоизмещение, т	5850	5850	4350
Грузоподъемность, т	2000	2000	2000
Дальность плавания, миль	5000	5000	5000
Скорость хода, узл.	15,0	15,0	15,0
Вес цистерн, т	1050	700	—
Коэффициент использования кубатуры грузового пространства, %	88	78	100
Коэффициент утилизации газогенератора во грузоводности, %	0,36	0,36	0,60
Строительная стоимость судна, тыс. руб.	2770	2960	2030
Превозоспособность за плавание, тыс. т	33,7	33,7	33,7
Экономизационные расходы за плавание, тыс. руб.	469	465	284
Себестоимость перевозки 1 т, руб.	13,9 (100%)	14,6 (103%)	11,5 (85%)

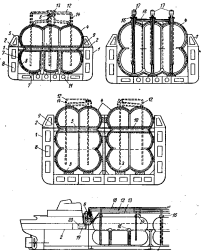


Рис. 16. Конструкция шестиделовых цистерн.

1 — порты судна; 2 — верхняя палуба; 3 — кильблок; 4 — кильблок; 5 — парниковый изолирующий щиток; 6 — водонепроницаемое кильное; 7 — бортовая фальшборд; 8 — палуба трюма; 9 — переборка; 10 — дверь; 11 — дверь в трюм; 12 — эжекторный трубопровод; 13 — главные трубопроводы; 14 — уравнительные трубопроводы; 15 — внутренний настил; 16 — газогенераторная камера горизонтальная; 17 — привод камеры; 18 — стальной трубопровод; 19 — вентиляционный насос; 20 — компрессор.

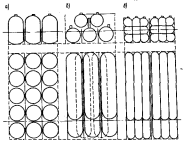


Рис. 17. Схемы расположения трех кластеров различного типа:  
а — вертикальных цилиндрических; б — горизонтальных цилиндрических; в — многослойных.

Это способствует уменьшению принимаемого в порожнем виде водяного балласта.

При горизонтальном расположении шестидолевых цистерн необходимо предусматривать доступ к настенному итого двою.

Одним из критериев при выборе типа цистерн для транспортировки сжиженных пропанов, бутана и аммиака может служить относительная грузовместимость судна

$$V = \frac{W}{L \cdot B \cdot H} \quad (3)$$

где  $L$ ,  $B$ ,  $H$  — главные размеры судна;  
 $W$  — вместимость грузовых цистерн.

Анализ характеристик газовозов специальной постройки, результаты которого приведены на рис. 18, показывает, что у судов, оборудованных сферическими цистернами, коэффициент относительной грузовместимости значительно выше, чем у судов с цилиндрическими и прямоугольными цистернами и колеблется в пределах 0,20—0,30. У судов, оборудованных цилиндрическими цистернами, относительная грузовместимость изменяется в весьма широких пределах (от 0,24 до 0,63). Судя по рис. 18, трудно отдать предпочтение вертикальному или горизонтальному расположению цилиндрических цистерн. Однако можно отметить, что из

Таблица 19  
Сравнение характеристики грузовых кластеров в различных типах

Характеристика	ВЕРТИКАЛЬНЫЕ ЦИЛИНДРИЧЕСКИЕ			ГИРДОЗАЩИЩЕННЫЕ			Горизонтальные цилиндрические
	Тип кластера	Номер цистерны	Номер цистерны	Номер цистерны	Номер цистерны	Номер цистерны	
Размеры края, м:							
ширина	3,60	7		3,60		3,60	
высота	16,54		16,54		16,54	21,0	
длина		27,0	21,5	29,0	21,5		
Количество цистерн	12	16	5	5	2 груп- пы по 9 цистер- нам (шах- матически)		
Диаметр, м	5,0	5,0	4,5—5,0	4,5—5,0	3,2		
Общий объем, м <sup>3</sup>	(790 (100%)) 386 (100%)	495 (100%)	(650 (94%)) 388 (96%)	2140 (98%) 388 (96%)	2960 (117%) 380 (99%)	2729 (124%) 360 (105%)	
Нес, т	4,75	6,75	8,00	8,00	7,60	7,60	
Максимальная заго- тв., м							
Всего грузового пространства, м <sup>3</sup>	890 (100%)	1055 (100%)	825 (94%)	8211 (98%)	1029 (117%)	1382 (126%)	

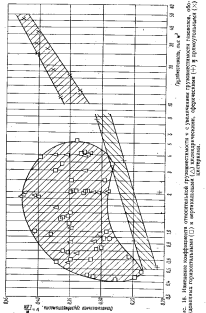


Рис. 16. Несколько коэффициентов относительной грузоподъемности с учетом объема грузового пространства (—) и коэффициентов (□) и теоретических (●) цистерн.

судах грузоподъемностью до 800 м<sup>3</sup> применяются главным образом горизонтальные цилиндрические цистерны. В этом случае цистерны имеют длину, равную длине грузового трюма и обеспечивают, таким образом, максимальное использование его объема. С увеличением размеров судна возрастают относительная длина грузового пространства и коэффициент относительной грузоподъемности (до определенного предела). Дело в том, что длина горизонтальных цилиндрических цистерн ограничена как технологическими возможностями из изгиба судна, так и стремлением исключить участие цистерн в общем изгибе судна. В связи с этим при увеличении длины грузового пространства по длине трюма устанавливают несколько горизонтальных цистерн, что ухудшает использование кубатуры трюма и приводит к некоторому снижению относительной грузоподъемности судна.

Таблица 20

Весовые и объемные характеристики приморских и цилиндрических цистерн

Характеристика	Тип цистерн			
	цилиндрические	приморские	цилиндрические	цилиндрические
Радиус цистерн в плане (диаметр или длина якоря), м	10.8	19.8×21.6	21.6	21.6×21.6
Высота цистерн, м	14.3	14.3	14.3	14.3
Объем одной цистерны, м <sup>3</sup>	1310	3340	5290	6680
Вес одной цистерны, т	32	130	189	207
Длина грузовой части судна, м	110.0	110.0	110.0	110.0
Ширина судна, м	25.0	25.0	25.0	25.0
Высота борта, м	17.8	17.8	17.8	17.8
Объем подпалубного пространства грузовой части судна, м <sup>3</sup>	48 500	48 500	48 500	48 500
Теоретическое количество устанавливаемых на судне цистерн	17.0	9.0	4.2	4.5
Общий объем цистерн, м <sup>3</sup>	22 300	36 060	22 060	28 700
Общий вес цистерн, т	544	1170	668	1329
Коэффициент полезного использования подпалубного пространства	0.46	0.62	0.45	0.69
Относительная вместимость цистерн и их весу, м <sup>3</sup> /т	41.0	25.7	33.0	21.8

При установке вертикальных цилиндрических цистерн можно за счет увеличения их высоты путем вывода верхних концов выше палубы достичь лучшего использования вместимости судна при объемах цистерн выше  $1000 \text{ м}^3$  (см. рис. 18). Цистерны в этом случае выступают над верхней палубой на 25—55% их высоты. Однако с увеличением размеров судна значительно увеличивается количество и вес вертикальных цилиндрических цистерн. Кроме того, диаметры цистерн достигают очень больших величин, что усложняет и удорожает их изготовление. Наибольший диаметр таких цистерн, как правило, не превышает 6 м. В случае крайней необходимости идут на увеличение числа рядов цистерн по ширине судна. Относительная грузовместимость судна в таком случае резко уменьшается.

Для перевозки газа на судах в охлажденном состоянии применяются прямоугольные цистерны. На судах малой грузовместимости их применение не дает выигрыша в относительном использовании кубатуры, так как высота цистерн ограничена высотой борта, в то время как цилиндрические цистерны высокого давления можно частично или даже целиком располагать на верхней палубе.

Кроме того, в результате применения прямоугольных цистерн теряется часть полезной кубатуры трюма на изоляцию и устройство коффердамов между самими цистернами и между цистернами и обшивкой судна. Ширина коффердамов практически не увеличивается с увеличением размеров судна. Относительная же длина грузового пространства возрастает. Поэтому с увеличением размеров судна увеличивается относительная грузовместимость.

При проектировании судов для перевозки сжиженных газов, охлажденных до температуры кипения при атмосферном давлении, практически не возникает проблема выбора формы цистерн, поскольку лишь цистерны прямоугольные в плане обеспечивают наилучшее использование подпалубной кубатуры судна. Следующее подтверждается приведенными в табл. 20 данными по весовым и объемным характеристикам различных цистерн, изготовленных из алюминиево-магниевых сплавов.

## § 6.

### Главные размерения и коэффициенты полноты

Свойства сжиженного газа в специфика перевозки его морским путем предопределяют ряд особенностей выбора главных размерений газовозов. К числу этих особенностей относятся:

- обеспечение возможности большого объема трюмов, что позволяет устанавливать в них аккуратные цистерны для сжиженного газа, имеющего высокий удельный погружочный объем;

— обеспечение такой остойчивости судна, при которой оно имело бы плоскую качку, так как в противном случае из цистерн будут действовать значительные динамические нагрузки и, кроме того, будет происходить интенсивное избыточное охлаждение газа, что приведет к испарению значительного количества груза.

Отличительной особенностью судов, перевозящих нефтяные газы, является то, что на выбор их главных размерений оказывает влияние способ транспортировки газа и тип цистерн. Так, при одной и той же грузоподъемности необходимая кубатура цистерн будет различной в случае выбора тес или иных условий транспортировки сжиженного газа, поскольку от них зависит его удельный вес. Кубатура же и тип цистерн в определяют, главным образом, размеры судна. Выбранные главные размерения, естественно, должны обеспечивать достаточные ходовые и мореходные качества судна, его прочностные характеристики и т. п.

Обычно при определении главных размерений в первом приближении пользуются статистическими данными по построенным и спроектированным судам.

Водонесущесть судна в первом приближении определяется обычно через коэффициент утилизации водонесущести по грузоподъемности, т. е.

$$D = \frac{P_T}{q}, \quad (4)$$

где  $D$  — водонесущество судна;

$P_T$  — грузоподъемность;

$q$  — коэффициент утилизации водонесущести по грузоподъемности.

Величина коэффициента утилизации водонесущести по грузоподъемности должна определяться по прототипу, имеющему аналогичное назначение в близкое к проектируемому судну грузоподъемность и скорость хода. При первоначальной оценке водонесущести по формуле (4) можно для назначения величины коэффициента утилизации водонесущести по грузоподъемности использовать график (рис. 19), на котором показаны построенные по статистическим данным зависимости этого коэффициента от грузовместимости газовозов, оборудованных цистернами различных типов. Указанные зависимости построены с учетом грузоподъемности судов, принимаемой по самому тяжелому из углеводородных газов — бутану.

Как известно, длина судна  $L$  оказывает существенное влияние на его технические и экономические характеристики. Газовозы являются сравнительно тихоходными судами, скорость хода которых характеризуется числом Фруда  $Fr = 0.18 \dots 0.24$ . Для таких судов преобладающим является сопротивление трения, которое мало зависит от длины судна при изолированном водонесущении. Поэтому при выборе длины газовозов следует принимать

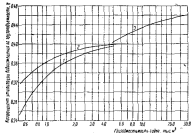


Рис. 19. Зависимость коэффициента использования палубной нагрузки от грузоподъемности палубы с учетом различных типов:

1 — с вертикальными цилиндрическими; 2 — с горизонтальными цилиндрическими; 3 — с прямугольными.

во внимание не столько сопротивление воды, сколько другие факторы, от которых зависит длина судна (грузоизместимость, вес металлического корпуса, стоимость постройки и т. д.).

Анализ статистических данных по размерениям примерно ста газовых специальной постройки, а также проектов газовозов, позволил вынести зависимости длины этих судов от кубатуры и типа цистерн (рис. 20). Из рассмотрения указанных зависимостей видно, что примерно до вместимости около  $5000 \text{ м}^3$  наименьшую длину имеют суда, перевозящие сжиженные газы в цилиндрических цистернах. При этом длины этих судов практически не зависят от принятого положения установленных цилиндрических цистерн (вертикального или горизонтального). При одинаковой вместимости наибольшая длина оказывается у судов, оборудованных сферическими цистернами. С увеличением грузоизместимости длина судов со сферическими цистернами возрастает несколько медленнее, чем в случае установки цилиндрических цистерн, однако при грузоизместимости около  $5000 \text{ м}^3$  длина тех и других судов примерно одинакова. По-видимому, дело в том, что с увеличением грузоизместимости число сферических цистерн, устанавливаемых на судно, не изменяется, а следовательно, мало изменяются площади и объемы между самими цистернами и между цистернами и переборками, что повышает полезное использование длины судна.

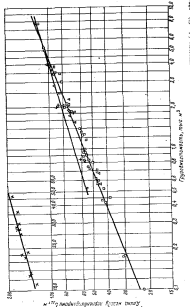


Рис. 20. Зависимость длины судна от ее грузоподъемности при установке цилиндрических (1), сфер. (2) или прямугольных (Х) цистерн.

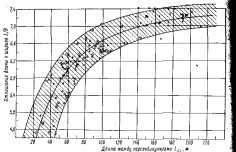


Рис. 21. Зависимость отношения  $\frac{L}{B}$  от длины газовоза с вертикальными ( $\Delta$ ) и горизонтальными (□) цилиндрическими, сферическими (+) и прямоугольными (Х) цистернами.

● — отношение  $\frac{L}{B}$  для танкеров.

У судов, оборудованных цилиндрическими цистернами, с увеличением размеров судна растет число цистерн, поэтому полезное использование длины в данном случае улучшается незначительно. Приведенные на рис. 20 зависимости могут быть использованы для ориентировочного определения длины проектируемого газовоза.

Ширина судна  $B$  при выбранной длине определяется из условий ходкости или остойчивости. Она может также обуславливаться какими-либо проектными или эксплуатационными соображениями, например, размерами шлюзов в каналах, по которым будет проходить судно, размерами грузовых цистерн и т. д.

Ширину судна можно определить из выбранному отношению длины к ширине  $\frac{L}{B}$ . На рис. 21 приведена зависимость указанного отношения от длины газовозов, оборудованных цистернами различных типов. Так же для сравнения приведены значения отношений  $\frac{L}{B}$  для танкеров. Рассмотрение этих зависимостей показывает, что тип применяемых на судне цистерн практически

не влияет на величину отношения  $\frac{L}{B}$ . Кроме того, величина этого отношения находится для газовозов в тех же пределах, что и для танкеров.

При заданной осадке ширину судна можно определить по отношению  $\frac{B}{T}$ . С точки зрения ходкости это отношение должно приниматься таким, чтобы смоченная поверхность, а следовательно, и сопротивление трения были наименьшими. Однако газовозы, как уже указывалось, относятся к сравнительно лихходным судам, у которых преобладает сопротивление трения. Для этих судов изменение (при неизменном водоизмещении) главных размеров, в том числе и ширины, не оказывает заметного влияния на сопротивление. Поэтому при выборе ширины газовоза главным является не сопротивление воды, в другие факторы я, в первую очередь, остойчивость судна. Последнее особенно важно для судов, перевозящих склонный газ в выступающих над верхней палубой наклонных цистернах.

С точки зрения обеспечения остойчивости ширину газовоза следует определять через отношение  $\frac{B}{T}$ , целесообразную величину которого можно найти из уравнения остойчивости в виде 128:

$$\left(\frac{B}{T}\right)^2 - \left(\frac{1}{q_1} - \frac{A}{B}\right) \frac{B}{T} + \left(\frac{q_1}{q_2} - \frac{\zeta}{q_1} \cdot \frac{B}{T}\right) = 0, \quad (5)$$

где  $B$  — метacentрическая высота;

$q_1$  — коэффициент в формуле для определения абсциссы центра величины;

$q_2$  — коэффициент в формуле для определения величины метациентрического радиуса;

$\zeta$  — относительная величина абсциссы центра тяжести (в долях от высоты борта).

Согласно Л. М. Ногиду,

$$q_1 = \frac{1}{2} \left( \frac{a}{\delta} \right)^{\frac{3}{2}}, \quad (6)$$

Согласно А. П. Фан-дер-Флиту,

$$q_2 = \frac{1}{11.4} \cdot \frac{a^2}{\delta}. \quad (7)$$

Все входящие в уравнение остойчивости величины могут быть определены по приведенным ниже рекомендациям.

Зависимость принимаемых отношений ширин к осадке от длины газовозов специальной постройки приведена на рис. 22. Значительный разброс точек на графике объясняется разнообразием способов обеспечения необходимой остойчивости при проектировании судов, что достигается либо их уширением, т. е. увеличе-

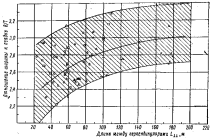


Рис. 22. Зависимость отношения  $\frac{B}{T}$  от длины газового сфероидальным (△) и горизонтальным (□) цилиндрическим, сферическим (+) и прямоугольным (×) цистернам.

ищем отношения  $\frac{B}{T}$ , либо приемом твердого балласта (при сравнительно небольшой величине этого отношения).

Для ориентировочной оценки ширины газовоза может предстать интерес рис. 23, изображающий зависимость ширины газовоза от длины, полученную в результате статистической обработки данных примерно по 80 судам.

Средняя ширина газовоза в функции длины может быть выражена следующей формулой:

$$B = \frac{L + 20}{3} \quad (8)$$

Осадка судна  $T$  часто указывается в техническом задании с учетом эксплуатации судна на строго определенных линиях с заходом в порты, глубины которых ограничены. Между осадкой судна и его водоизмещением существует определенная зависимость, выраженная В. Л. Поздняковым, которая выражается формулой

$$T = I \sqrt[3]{D} \quad (9)$$

где  $I$  — коэффициент, называемый относительной осадкой.

Для газовых относительная осадка колеблется в пределах 0,293—0,349 и в среднем равна 0,325.

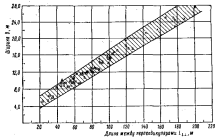


Рис. 23. Зависимость широки от длины газовозов с вертикальными (□) и горизонтальными (△) цилиндрическими, сферическими (+) и прямоугольными (×) цистернами.

● — широки газовозов.

Для ориентировочной оценки осадки можно пользоваться приведенной на рис. 24 зависимостью между осадкой и длиной газовоза.

Средняя осадка газовоза в функции длины может быть выражена следующей формулой:

$$T = \frac{L + 17}{21} \quad (10)$$

Высота борта  $H$ , как известно, определяет целый ряд важнейших характеристик судна, к которым в первую очередь относятся:

- запас плавучести;
- остойчивость на больших углах крена;
- продольная прочность;
- подпалубная вместимость, определяющая грузоподъемность судна.

Для газовозов высота борта должна назначаться с учетом требований к указанным характеристикам, за исключением подпалубной вместимости, которая для судов данного типа (кроме судов с прямоугольными грузовыми цистернами) практически не влияет на грузоподъемность. Грузоподъемность судов данного типа определяется емкостью устанавливаемых на них академических цистерн цилиндрической или сферической формы. Зависимость высоты борта от длины газовозов по статистическим данным показана на рис. 25. Там же для сравнения приводятся данные по высоте

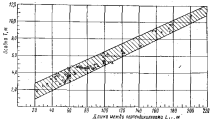


Рис. 24. Зависимость осадки от длины газовых с вертикальными ( $\triangle$ ) и горизонтальными ( $\square$ ) цистернами, сферическими (+) и прямоугольными ( $\times$ ) цистернами.

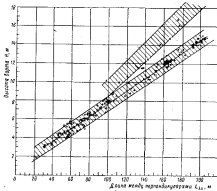


Рис. 25. Зависимость высоты борта от длины газовых с вертикальными ( $\triangle$ ) и горизонтальными ( $\square$ ) цистернами, сферическими (+) и прямоугольными ( $\times$ ) цистернами.  
● — высота борта танкера.

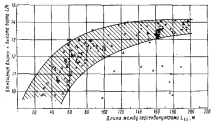


Рис. 26. Зависимость соотношения  $\frac{L}{H}$  от длины газовых с вертикальными ( $\triangle$ ) и горизонтальными ( $\square$ ) цистернами, сферическими (+) и прямоугольными ( $\times$ ) цистернами.

● — соотношение  $\frac{L}{H}$  для танкеров

борта танкеров, имеющих, как правило, минимальный надводный борт. Как можно заметить, высота борта газовозов обычно (кроме газовозов с прямоугольными цистернами) лежит в тех же пределах, что и высота борта танкеров. Газовозы с прямоугольными цистернами имеют высоту борта в 1,1–1,4 раза большую по сравнению с танкерами. Зависимость средней высоты борта от длины газовоза можно выразить следующими формулами:

— для судов, перевозящих газ под давлением,

$$H_A = \frac{L + 10}{14}; \quad (11)$$

— для судов, перевозящих охлажденный газ,

$$H_B = \frac{L - 10}{10}. \quad (12)$$

Отношение высоты борта к осадке у этих судов соответственно равна

$$\frac{H_A}{T} = 1,1 \div 1,5; \quad \frac{H_B}{T} = 1,4 \div 1,8.$$

Отношение длины к высоте борта  $\frac{L}{H}$ , характеризующее продольную прочность судна, принимается для судов, перевозящих газ под давлением, таким же, как и для танкеров разной длины (рис. 26).

Для судов, транспортирующих охлажденный газ, это ограничение лежит в пределах 9,5—11,5.

Одновременно с выбором главных размерений определяются в первом приближении коэффициенты полноты подводной части корпуса и, в первую очередь, коэффициент общей полноты  $\delta$ .

В общем случае этот коэффициент оказывает определяющее влияние на грузоподъемность судна. С увеличением коэффициента общей полноты при постоянной скорости одновременно возрастает грузоподъемность и потребная мощность, а следовательно, провозоспособность судна и расходы по его эксплуатации. Таким образом, в каждом отдельном случае можно установить оптимальное значение коэффициента общей полноты с точки зрения расходов на 1 м перевозимого груза.

Обично коэффициент общей полноты выражается в функции относительной скорости следующим образом:

$$\delta = a - b \cdot Fr, \quad (13)$$

где  $a$  и  $b$  — численные коэффициенты, значения которых устанавливаются на основании обработки статистических данных по судам определенного типа.

На рис. 27 показана зависимость коэффициентов общей полноты газовозов от относительной скорости. Так же для сравнения нанесены прямые, соответствующие формулам для определения коэффициента общей полноты, предложенным различными авторами. Сравнение значений коэффициентов общей полноты, получаемых по формулам Александера-Эйра, Трооста и Ван Ламмерена, с приемлемыми на строящихся газовозах показывает, что для предварительного определения коэффициента общей полноты газовозов можно пользоваться формулой Александера-Эйра

$$\delta = 1,08 - 1,68 \cdot Fr. \quad (14)$$

Окончательное же значение коэффициента общей полноты должно выбираться на основании технико-экономического анализа. Иллюстрацией такого анализа могут служить показанные на рис. 28 кривые зависимости технико-экономических показателей метановозов одинаковой провозоспособности, имеющих различные коэффициенты общей полноты, от их относительной скорости [75]. Все сравниваемые суда имели значение  $\frac{L}{B}$ , равное 7,1.

Коэффициенты общей полноты газовозов обычно имеют значительно меньшие значения по сравнению с танкерами. Дело в том, что грузовместимость судов, перевозящих сжиженный газ во вкладных цистернах, меньше зависит от коэффициента общей полноты, чем грузовместимость танкеров.

Рис. 26. Зависимость коэффициента общей полноты от относительной скорости судна, определенная различными авторами (ст. 4 — Троост, 5 — Ван Ламмерен, 6 — Александер-Эйр).

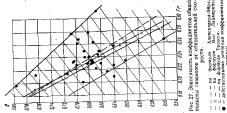
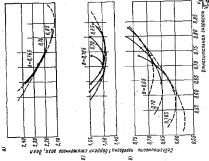


Рис. 27. Зависимость коэффициента общей полноты судна от относительной скорости.

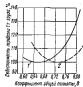


Рис. 29. Зависимость себестоимости перевозки 1 м<sup>3</sup> сжатого газа от коэффициента общей полноты для судов грузоподъемностью около 2000 т.

1 — для газовозов; 2 — для танкера.

## § 7

### Грузовместимость. Емкость балластных цистерн

Газовозы перевозят груз во вкладных цистернах, устанавливаемых в трюмах судна. Указанное обстоятельство приводит к значительным потерям полезного объема трюмов. Если же учесть малый удельный вес перевозимого груза (0,42–0,68 м<sup>3</sup>/т) и необходимость выделения на судне специальных емкостей для приема балласта в порожнем рейсе, то станет ясно, что полезное использование грузового пространства у газовозов чрезвычайно мало.

Удельная вместимость газовозов колеблется в пределах 2,5–4,0 м<sup>3</sup>/т (в зависимости от способа перевозки сжатого газа, типа цистерн и формы обводов судна), в то время как сухогрузные суда с избыточным надводным бортом имеют удельную вместимость, равную 1,8–2,2 м<sup>3</sup>/т.

На рис. 30 показаны схемы расположения цилиндрических и сферических цистерн, из которых видно, что вместимость газовозов определяется размерами и количеством устанавливаемых в трюмах цистерн, т. е. размерами самих трюмов. На размеры и количество цистерн оказывают влияние, главным образом, длина и ширина трюма (в конечном итоге длина и ширина самого судна). Высота же борта практически не влияет на грузовместимость.

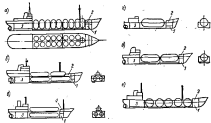


Рис. 30. Схемы расположения в трюмах грузовых цистерн: а — 17 вертикальных цилиндрических; б — 6 горизонтальных цилиндрических; в — 3 трехгорловых цилиндрических; г — одна горизонтальная алюминиевая; д — двух горизонтальных алюминиевых; е — 5 сферических цистерн.

1 — днища; 2 — палубы и комингсы орудийных дверей; 3 — кильное ограничение.

мость рассматриваемых газовозов и принимается обычно минимальной допустимой по условиям прочности или непотопляемости. Таким образом, грузовместимость газовоза непосредственно зависит от площади палубы в районе грузового пространства. Ниже приведены данные по кубатуре цистерн, находящейся в 1 м<sup>2</sup> палубы грузового пространства (м<sup>3</sup>), в зависимости от грузовместимости судна:

	Грузовместимость, т <sup>1</sup>	Грузовместимость, т <sup>2</sup>	Грузовместимость, т <sup>3</sup>
До 500	1,5–2,5	2000–3000	3,0–4,0
500–1000	2,5–3,0	3000–5000	3,7–4,7
1000–2000	2,8–3,5	5000 и более	4,4–5,0

Из-за большого разнообразия типов цистерн, их относительных размеров и способов размещения в трюмах практических невозможно на основе статистических данных установить какие-либо зависимости, позволяющие с достаточной точностью определять грузовместимость судов по заданным главным размерениям. Приведенные же значения коэффициентов  $\alpha$  и  $\gamma$  (рис. 18) позволяют оценить грузовместимость этих судов слишком приближенно. В связи с изложенным необходимо после ориентировочного выбора главных размерений оценка грузовместимости рассматриваемых газовозов выполняется путем схематической прорисовки общего расположения и размещения в корпусе судна цистерн выбранной формы. Естественно, что такой способ определяет

грузовместности весьма сложна и требует значительного времени. Более того, данный способ оказывается совершенно непригодным при вариантом методе выбора оптимальных размерений судна и их соотношений, коэффициента общей полноты, скорости хода, формы и типа цистерн и т. п., когда необходимо за короткое время определять грузовместимость большого количества газовозов.

В связи с этим предлагается метод [24], позволяющий достаточно быстро оценивать грузовместимость газовозов, для которых в первом приближении уже выбраны главные размерения.

Как уже указывалось, грузовместимость судов, перевозящих сжиженный газ во вкладышах цилиндрических или сферических цистернах, определяется, главным образом, площадью палубы. Исходя из этого, можно записать:

$$W = f(l_e, B),$$

где  $W$  — грузовместимость судна;

$l_e$  — длина грузового пространства;

$B$  — ширина судна.

Таким образом, в случае установки на судне вертикальных цилиндрических цистерн имеем

$$W_{\text{м}} = k_1 \cdot k_2 \cdot S, \quad (15)$$

где  $k$  — высота цистерн;

$S$  — площадь палубы, занятая цистернами;

$k_1$  — коэффициент полноты цистерн.

В свою очередь

$$S = k_3 \cdot l_e \cdot B, \quad (16)$$

где  $k_3$  — коэффициент полезного использования площади палубы.

Входящая в уравнение (15) величина  $k$  (высота цистерн) определяется на условиях обеспечения необходимой остойчивости судна. Сказанное становится понятным, если принять во внимание, что все цистерны с грузом составляет 50—55% от водоизмещения судна  $\mu$ , следовательно, положение их центра тяжести, которое зависит от высоты цистерн, будет оказывать существенное влияние на положение центра тяжести судна. Таким образом, увеличение высоты цистерн будет приводить к уменьшению остойчивости, которая может быть восстановлена увеличением ширины судна. Следовательно, можно установить зависимость между высотой цистерн и шириной судна

$$h = k_4 \cdot B, \quad (17)$$

откуда

$$W_{\text{м}} = k_1 \cdot k_2 \cdot k_3 \cdot l_e \cdot B^2, \quad (18)$$

или

$$W_{\text{м}} = k_1 \cdot k_2 \cdot k_3 \cdot \eta_r \cdot L \cdot B^2, \quad (19)$$

где  $\eta_r = \frac{l_e}{L}$  относительная длина грузового пространства.

Длина грузового пространства  $l_e$ , равна

$$l_e = L - l_{\text{м}} - l_{\text{а}}, \quad (20)$$

где  $l_{\text{м}}$  — длина машинного отделения и актерпика;

$l_{\text{а}}$  — длина форпика, диптанка в насосного отделения.

После некоторых преобразований уравнения (20) получаем

$$l_e = L (1 - f(1 + \mu)), \quad (21)$$

где

$$\bar{l} = \frac{l_e}{L} \text{ и } \mu = \frac{l_{\text{а}}}{l_e}.$$

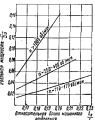


Рис. 31. Зависимость относительной длины машинного отделения от параметра  $\frac{N}{B_0}$  для различных газовозов.

Входящую в уравнение (21) относительную длину машинного отделения и актерпика следует брать либо по прототипу, либо определять по выражению

$$\bar{l} = \bar{l}_{\text{м}} + \bar{l}_{\text{а}}. \quad (22)$$

Относительная длина машинного отделения  $\bar{l}_{\text{м}}$  зависит от таких факторов, как главные размерения и коэффициенты полноты корпуса судна, тип и мощность главного двигателя, состав и расположение вспомогательного механического оборудования и др. На выбор длины машинного отделения оказывают влияние также Правила общего судов. В связи с этим только тщательный статистический анализ, выполненный с учетом указанных выше факторов, позволяет установить определенную закономерность в изменении относительной длины машинного отделения.

Для ориентировочной оценки относительной длины машинного отделения можно использовать рис. 31. Суда, имеющие одинаковые значения параметра  $\frac{N}{B_0}$  будут иметь примерно одинаковую относительную длину машинного отделения при условии применения однотипной силовой установки.

Относительная длина актерпика  $\bar{l}_{\text{а}}$  может быть определена также на основании статистических данных в зависимости от

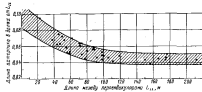


Рис. 32. Зависимость относительной длины цистерн от длины судна.

длины судна (рис. 32). Эта зависимость может быть выражена для судов длиной до 120 м формулой

$$\tilde{L}_{\text{акт}} = 0,23L^{-\frac{1}{3}}, \quad (23)$$

а для судов большей длины  $\tilde{L}_{\text{акт}}$  может приниматься постоянной и равной 0,045.

Величина  $\mu$  характеризует положение центра тяжести судна в полном грузу и выбирается из условия его удифферентовки. В соответствии с этим условием должно соблюдаться равенство момента сил веса и сил поддержания относительно середины длины судна. Это равенство путем несложных преобразований может быть приведено к виду

$$\mu = 1 - \frac{2(\tilde{x}_c D - \tilde{x}_{\text{вс}} D_{\text{вс}})}{I(D - D_{\text{вс}})}, \quad (24)$$

где  $\tilde{x}_c$  — относительная абсцисса центра тяжести судна и полного грузу в единицах от длины;

$\tilde{x}_{\text{вс}}$  — относительная абсцисса центра тяжести судна порожнем (без цистерн, груза и судовых запасов) в единицах от длины;

$D_{\text{вс}}$  — вес судна порожнем.

Относительная абсцисса центра тяжести судна порожнем довольно стабильна и для газовозов находится в пределах 6—7% в корму от средины длины судна. В среднем она может быть принята равной 6,5% от длины судна.

Вес судна порожнем без цистерн, груза и судовых запасов определяется по рекомендациям, изложенным в следующем параграфе.

Возвращаясь к формуле (19), следует заметить, что аналогичные выражения можно вывести и для определения грузоимкости-

ности газовозов с цистернами других типов. В общем виде уравнение вместимости газовоза может быть записано в виде

$$W = K_{\text{вс}} L B^2. \quad (25)$$

Коэффициент  $K$  здесь представляет собой произведение ряда коэффициентов, количество которых меняется в зависимости от типа грузовых цистерн и их расположения. Ниже даются рекомендации по определению коэффициента  $K$  для газовозов с цистернами различных типов.

Газовозы с вертикальными цилиндрическими цистернами. Для этих судов коэффициент  $K(K_{\text{вс}})$  определяется выражением

$$K_{\text{вс}} = k_1 k_2 k_3, \quad (26)$$

Величина коэффициента пополнительности грузовых цистер  $k_1$  зависит от формы их оконечностей  $\frac{r}{R}$  и отношения высоты к диаметру  $\frac{h}{D}$  (рис. 33). В случае сферической формы оконечностей ( $\frac{r}{R} = 1,0$ ) вес цистер при постоянном отношении  $\frac{h}{D}$  оказывается наименьшим. С увеличением отношения  $\frac{r}{R}$  кривизна днищ цистер также уменьшается, а следовательно, увеличивается их вместимость. Однако в этом случае возрастает вес цистер.

В настоящее время при постройке газовозов применяются цистерны с отношением  $\frac{r}{R} = 0,2+1,0$ . В случае отсутствия особых требований к форме оконечностей грузовых цистер, указанные отношения следует брать либо по прототипу, либо по среднеспастническим данным.

Увеличение отношения  $\frac{h}{D}$  приводит к возрастанию вместимости. Однако чрезмерное увеличение высоты цистер может отрицательно сказаться на остойчивости судна.

Зависимость высоты устанавливаемых на газовозах цистер от их диаметра приведена на рис. 34. Отношение высоты цистер к диаметру колеблется в пределах 1,6—2,2. В среднем его можно принимать равным 1,9.

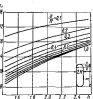


Рис. 33. График для определения коэффициента  $k_1$ .

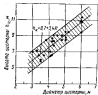


Рис. 34. Зависимость высоты грузовых цистерн от их диаметра.

длины цистерн изменялась в пределах 0,20-0,30Д.

Протяженность формы и длишки для каждого значения коэффициента общей полноты и положения носовой переборки машинного отделения определялась по формуле  $\bar{l}_n = \mu \cdot \bar{l}_0$ , где величина  $\mu$  вычислялась по уравнению (24), приведенному к виду

$$\mu = 1 - \frac{2(\xi_0 b + 0,015)}{7(b - 0,329)} \quad (27)$$

При определении значений коэффициента  $k_2$  были приняты следующие допущения:

а) расположение цистерн во всех рассматриваемых случаях одинаково, а именно: все, кроме одной носовой, размещены в два ряда симметрично относительно диаметральной плоскости (ДП), а носовая — в ДП; таким образом, количество цистерн во всех случаях было нечетным;

б) расстояние между соседними цистернами и цистернами и поперечными переборками равно 0,04Б; расстояние  $c$  от борта судна до цистерн, измеренное на миделе, принималось равным  $0,06 \pm 0,15\delta$ .

В результате проведенных расчетов были построены графики изменения коэффициента  $k_2$  в зависимости от коэффициента общей полноты  $b$ , относительной длины машинного отделения с ахтерником  $\bar{l}_n$  и относительного расстояния от борта судна до цистерн  $\frac{c}{B}$  (рис. 35).

Относительное расстояние  $\frac{c}{B}$  выбирается из эксплуатационных соображений (например, из необходимости выделения бортовых балластных танков, выделения пространства для удобства осмотра цистерн в процессе эксплуатации судна и т. п.).

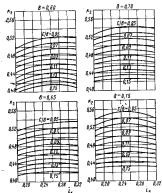


Рис. 35. Графики определения коэффициента  $k_2$  (для плюсом с вертикальными цилиндрическими цистернами).

Обычно с целью упрощения технологии постройки и уменьшения судна диаметр цистерн, называемый из соображений соблюдения определенного зазора между цистерной и набором корпуса в наиболее узкой части грузового пространства, остается постоянным по всей длине судна. Таким образом, чем меньше коэффициент общей полноты, тем стресс обводы судна, а следовательно, меньше диаметр цистерн и больший относительный зазор на миделе ( $\frac{c}{B}$ ), и наборот. Приближение относительной зазор на миделе равен

$$\frac{c}{B} = 0,19 - 0,14b. \quad (28)$$

Как указывалось выше, величина коэффициента  $k_2$  определяется требованиями обеспечения достаточной остойчивости судна. В зависимости от того, каким способом достигается требуемая остойчивость, значения этого коэффициента могут меняться

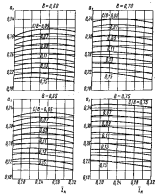


Рис. 36. Графики определения коэффициента  $\alpha_1$  (для газовозов с горизонтальными цилиндрическими цистернами).

в широких пределах. Анализ данных по построенным и спроектированным газовозам показал, что  $\lambda_0 = 0,63 \pm 0,77$ . Минимальные значения этого коэффициента относятся к судам, остойчивость которых обеспечивается без приема твердого балласта, а максимальные — к судам, имеющим твердый балласт в количестве до 3% от полного водоизмещения. В первом приближении можно принимать этот коэффициент равным 0,70.

Суда с горизонтальными цилиндрическими цистернами. К настоящему времени сложился стандартный тип такого судна, у которого большая часть цистерн размещена в два ряда в трюме, а одна или две цистерны (в один ряд) — на верхней палубе.

Для этих судов коэффициент  $K$  ( $K_{\text{ш}}$ ) равен

$$K_{\text{ш}} = (\alpha_1 + \Delta) \cdot \alpha_2. \quad (29)$$

Для определения коэффициентов  $\alpha_1$ ,  $\alpha_2$  и  $\Delta$  были разработаны подобные упомянутым выше безразмерные теоретические чертежи и при тех же самых допущениях получены называемые коэффициенты. За основной вариант было принято судно с четырьмя горизонтальными цилиндрическими цистернами в трюме и двумя (длина которых равна длине грузового пространства  $L$ ) — на верхней палубе. При этих условиях коэффициент  $\alpha_1$  определяется выражением

$$\alpha_1 = \frac{W_{\text{ш}}}{L_0 \cdot L^2} \cdot \gamma. \quad (30)$$

Графики зависимости этого коэффициента от относительной длины машинного отделения с актерником, относительного вазора на миделе между бортом судна и цистерной и от коэффициента общей подводности судна приведены на рис. 36. Отличие расположения цистерн на верхней палубе (цистерны  $(I_{\text{ш}})$ ) от расположения цистерн в основном варианте ( $I_0$ ) учитывается поправкой  $\Delta$  к коэффициенту  $\alpha_1$  (рис. 37). Коэффициент  $\alpha_2$  учитывает изменение грузоподъемности газовоза при увеличении или уменьшении количества цистерн на рассматриваемом судне по сравнению с основным вариантом (для которого  $\alpha_2 = 1,0$ ) при стандартном расположении этих цистерн. Коэффициент  $\alpha_2$  для газовозов с различным количеством цистерн имеет следующие значения:

Количество пар грузовых цистерн в трюмах судна	1	2	3	4	5
Значение коэффициента $\alpha_2$	1,05	1,00	0,95	0,90	0,85

Расположение цистерн на небольших газовозах всегда отличается от стандартного. Горизонтальные цилиндрические цистерны большого диаметра на этих судах размещаются в трюме за днищевой плоскостью (рис. 38, а, д). Для судов с таким расположением цистерн коэффициент  $K$  ( $K_{\text{ш}}$ ) равен

$$K_{\text{ш}} = \alpha_1 \cdot \alpha_2. \quad (31)$$

Здесь коэффициент  $\alpha_1$  определяется по кривым рис. 38, а, коэффициент  $\alpha_2$  для газовозов с различным количеством цистерн имеет следующие значения:

Количество грузовых цистерн	1	2	3
Значение коэффициента $\alpha_2$	1,0	0,9	0,8

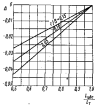


Рис. 37. График определения поправки  $\Delta$  (для газовозов с горизонтальными цилиндрическими цистернами).

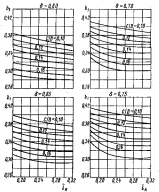


Рис. 38. Графики определения коэффициента  $K_1$  (для газовозов с расположением горизонтальных мачт в один ряд).

Судя со сферическими цистернами. Исследование взаимодействия газовозов со сферическими цистернами показывает, что для определения коэффициента  $K$  ( $K_{\text{ex}}$ ) можно пользоваться формулой

$$K_{\text{ex}} = 0.43 - 1.4 \frac{c}{\delta}. \quad (32)$$

Для определения погрешности вычисления грузовместимости по формуле (25) с использованием формул (26), (29), (31), (32) и графиков на рис. 33, 35, 36, 37, 38 были выполнены расчеты фактической грузовместимости нескольких типичных газовозов; результаты расчетов сведены в табл. 21.

Сопоставление фактических и расчетных значений грузовместимости газовозов показывает, что использование предлагаемого метода позволяет с достаточной для первого приближения степенью точности определять грузовместимость газовоза при

Таблица 21  
Расчет грузовместимости некоторых газовозов и ее сопоставление с фактической грузовместимостью

Характеристика	Параметры грузовоза				Погрешность вычисления	Условие
	•Площадь	•высота	•ширина	•длина		
Длина между мачтами $L_{\text{мач}}$	46,0	100,0	22,4	88,3	47,0	105,7
Ширина $B$ , м	9,6	15,6	5,0	9,2	10,5	8,7
Осадка $T$ , м	3,3	5,2	1,8	8,6	3,6	3,0
Коэффициент обвода $\delta$	0,677	0,683	0,687	0,693	0,687 (высоко плавающий)	0,670 (высоко плавающий)
Грузовместимость, $W$ , м <sup>3</sup>	566	400,0	92	880	809	585
Коэффициент тоннажа $\eta$	11	17	1	2	3	5
Стоимость перевозки тонны груза, руб	0,456	0,597	0,320	0,620	0,525	0,625
Обеспечиваемая для газовоза высота установки мачты $h$ , м	0,246	0,362	0,288	0,287	0,283	0,283
Фактическая грузовместимость, м <sup>3</sup>	—	—	—	—	—	—
Оптимальная грузовместимость	1,30	1,47	—	—	—	—
Коэффициент $\frac{h}{\text{длину грузовоза}}$	—	—	—	—	—	—

Характеристика	Тип цистерн в зависимости от радиуса					
	Использование кильватерных штормов	Приемо-отправка грузов	Приемо-отправка грузов	Приемо-отправка грузов	Приемо-отправка грузов	Сферические
Радиусом от борта до киля стороной $\frac{1}{3}$ стороной $\frac{1}{3}$ стороной $\frac{1}{3}$	0,060	0,101	0,150	0,160	0,160	0,160
Приемо-отправка грузов из цистерн, находящихся в зоне действия РД 8460/0 вместимостью:	—	—	—	—	—	—
$k_1$	0,800	0,816	—	—	—	—
$k_2$	0,484	0,474	—	—	—	—
$k_3$	0,633	0,715	—	—	—	—
$c_1$	—	—	—	—	0,282	0,280
$c_2$	—	—	—	—	—	—
$A$	—	—	—	—	1,05	1,00
$b_1$	—	—	0,250	0,256	—	—
$b_2$	—	—	1,00	0,900	—	—
$K$	0,246	0,271	0,320	0,266	0,290	0,265
Грузоподъемность, тонн/км по транспорту (20% $\sigma$ , $\sigma$ — коэффициент сопротивления 阻力系数) в зависимости от радиуса (20%, %)	62	560	94	465	616	525
Погрешность определения TO (20%, %)	0	-1,5	-2,0	-1,5	+1,0	0

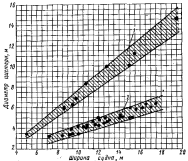


Рис. 33. Зависимость диаметра грузовых цистерн от радиуса судна.  
 1 — цилиндрические и сферические цистерны, устанавливаемые в один ряд  
 по кильватерам судна; 2 — цилиндрические цистерны, установленные в два  
 ряда по кильватерам судна.

выбранных главных размерениях. Дальнейшее уточнение грузоподъемности производится после выполнения чертежей общего расположения, позволяющих определять размеры, количество и размещение цистерн в корпусе судна.

Диаметр устанавливаемых из судно цистерн можно приблизительно назначить в соответствии с зависимостями, приведенными на рис. 39.

После выбора размеров цистерн их вместимость может быть определена по графикам рис. 40 и 41 или по следующему формулу:

для сферических цистерн

$$W_{\text{ср}} = \frac{1}{6} \pi D^2; \quad (33)$$

для цилиндрических цистерн со сферическими дном/крышки

$$W_{\text{ср}} = \pi D^2 \left( \frac{D}{6} + l \right); \quad (34)$$

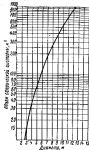


Рис. 40. Зависимость вместимости сферической цистерн от внутреннего диаметра.

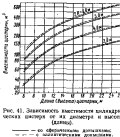


Рис. 41. Зависимость вместимости цилиндрических цистерн от их диаметра и высоты (длям).

— со сферическими дополнениями;  
— — — с эллиптическими дополнениями.

для цилиндрических цистерн с эллиптическими дополнениями

$$W_c = \pi D_h^2 \left( \frac{h}{4} + 1 \right) + \frac{1}{6} \pi h^3, \quad (35)$$

где  $D_h$  — внутренний диаметр цистерны;

$h$  — высота или длина цилиндрической цистерны;

$\pi$  — высота оконечности цистерны.

Все сказанное выше относится к судам, перевозящим скаженный газ в цилиндрических или сферических цистернах. Как уже отмечалось, у этих судов высота борта практически не оказывает влияния на грузовместимость. Однако совсем иная зависимость между высотой борта и грузовместимостью существует у судов, транспортирующих охлаждаемый газ в прямоугольных цистернах.

Высота этих цистерн ограничивается высотой борта, так как прямоугольные цистерны имеют большие размеры, и если они будут выступать над верхней палубой, то в них придется делать весьма значительные вырезы. Последние значительно затрудняют обеспечение продольной прочности судна, поскольку цистерны по требованиям классификационных обществ должны исключаться из участка в общем изгибе. Кроме того, возникают трудности в обеспечении непроницаемости верхней палубы.

Высота борта у газовозов с прямоугольными цистернами весьма значительна (отношение  $\frac{h}{d}$  у этих судов достигает 2,0

вместо 1,1—1,3 у судов с цилиндрическими или сферическими цистернами).

Очевидно, что вместимость газовозов, оборудованных прямоугольными цистернами, определяется длиной грузового пространства, его шириной и высотой борта судна, т. е. теми же параметрами, что и у обычных сухогрузных и нефтяных судов. Уравнение вместимости газовоза имеет тот же вид, что уравнение вместимости сухогрузных судов с коротким расположением машинного отделения [28], то отличается от последнего лишь величиной безразмерных коэффициентов и дополнительными членами, учитывающими емкость отводимых под балласт-бортовых танков и объемы между цистернами и корпусными конструкциями.

Статистический анализ грузовместимости газовозов с прямоугольными грузовыми цистернами позволяет установить зависимость между грузовместимостью и кубическим модулем (рис. 42).

Для судов, перевозящих сжиженный нефтяной газ, эта за-  
висимость выражается приближенной формулой

$$W_{\text{м}} = 0,440LBH - 3000, \quad (36)$$

а для метановозов формулой

$$W_{\text{м}} = 0,375LBH - 2500. \quad (37)$$

Классификационные общества не допускают приема балласта в цистерны, предназначенные для перевозки сжиженного газа. Поэтому необходимо оборудовать специальные балластные цистерны, кабину которых оказывает влияние как на грузовместимость судна при заданных главных размерениях, так и на главные размерения при заданной грузовместимости. Вместимость балластных цистерн зависит от размеров судна и района его плавания и должна обеспечивать прием такого количества балласта, которое позволяло бы судну иметь осадку в косом не менее

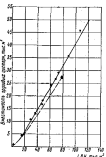


Рис. 42. Зависимость грузовместимости газовозов с прямоугольными грузовыми цистернами от кубического модуля.

• — суда для перевозки сжиженного нефтяного газа; ▲ — метановоз.

Таблица 22

Размеры балластных цистерн некоторых газовозов

Название судна	Избыточность цистерн, $\alpha^*$		$\frac{W_0}{W_{cr}}$	Избыточное затопление, судна, %		$\frac{D_0}{D_{cr}}$
	примеч. нр	данные нр. $N_0$		в груз, $Z_{gr}$	в бал- ласт, $D_0$	
Газовозы с горизонтальными цилиндрическими цистернами						
«Lager Thelstrups	375	60	0,34	305 *	270 *	0,89 *
«Aan Lite Thelstrups	430	143	0,33	220 *	200 *	0,89 *
«L. P. Maru № 2	609	15	0,03	1003	795	0,72
«Lili Thelstrups	880	182	0,21	1300	975	0,73
«Gatan Mikards	1400	303	0,22	2120 *	1990 *	0,79 *
«Jeske	2500	390	0,16	3400	2380	0,70
«Mandalen Oslo	3480	1195	0,32	6400 *	5820 *	0,88 *
«Erlundine	5250	2260	0,43	6900 *	6400 *	0,93 *
Газовозы с вертикальными цилиндрическими цистернами						
«Tobo Maru	566	22	0,04	982	739	0,76
«L. P. Maru № 1	1012	281	0,25	1574	1290	0,89
«Batagas	1350	47	0,04	3200	2590	0,79
«Fred H. Billups	3140	470	0,15	4500 *	3270 *	0,73 *
«Petrobras Oeste	4930	470	0,12	5510	3860	0,70
Газовозы со сферическими цистернами						
«Klitt Thelstrups	490	103	0,23	830 *	700 *	0,84 *
«Sjona Thelstrups	525	119	0,23	1020 *	865 *	0,86 *
«Eva Thelstrups	845	190	0,18	1490 *	1110 *	0,79 *
«Kogusca	2094	1040	0,50	4430	4380	0,99
«Mandalen Brasilis	7725	3400	0,43	8650 *	7950 *	0,92 *
Газовозы с квадратными цистернами						
«Nangara	11 000	3 290	0,31	14 330	10 450	0,73
«Paul Endastis	24 780	8 450	0,34	29 900 *	21 700 *	0,75 *
«Bridgegate Maru	29 400	10 620	0,36	36 000	29 800	0,83
Примечания:						
Заделочный	сплошной	днище	наружный	рельсты		

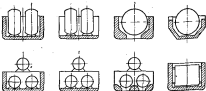


Рис. 43. Наиболее характерные схемы расположения балластных емкостей на газовозах.

0,03L, как это требуется Норвежским Бюро Веритас, а осадку корней — до полного погружения гребного винта.

Данные о размерах балластных цистерн некоторых газовозов приведены в табл. 22.

У крупных газовозов, оборудованных прямотупными цистернами, относительная емкость балластных цистерн примерно одинакова и равна одной трети емкости грузовых цистерн. У судов с цистернами других типов относительная емкость балластных цистерн колеблется в пределах 0,12—0,34 и в среднем равна ~0,23.

В редких случаях она снижается до 0,03—0,04 или повышается до 0,40—0,50. Дело в том, что доля грузоподъемности в водоизмещении газовозов, оборудованных прочными шпангоутами, чеками или сферическими цистернами, меньше, чем у судов с прямотупными цистернами (коэффициент увеличения водоизмещения по грузоподъемности составляет у первых 0,3—0,4, а у вторых 0,4—0,5). Кроме того, газовозы с цилиндрическими и сферическими цистернами в основном являются судами прибрежного плавания или предназначаются для эксплуатации в закрытых морях (например, в Средиземном море), где условия плавания более благоприятны, чем в океане. Поэтому безопасность плавания на этих судах может быть обеспечена приемом сравнительно небольшого количества балласта. Однако следует иметь в виду, что для любых судов водоизмещение в балластном режиме составляет не менее 0,7 от водоизмещения в плавном грузу.

Для приема балласта на газовозах устрашаются двойное дно и в кормах двойные борта. Наиболее характерные схемы расположения балластных емкостей на газовозах показаны на рис. 43.

## Весовая нагрузка

При расчете нагрузки судна в начальной стадии проектирования обычно пользуются укрупненными весовыми измерениями.

При определении элементов газозаводов весовую нагрузку целесообразно разбивать на следующие укрупненные составляющие: корпус с оборудованием ( $P_1$ ), вкладные цистерны ( $P_2$ ); механизмы ( $P_3$ ), сжженный газ в грузовых цистернах ( $P_{sp}$ ); топливо, вода, масло, сжжение, расходные материалы и команда ( $P_4$ ).

Две последние составляющие весовой нагрузки определяют вес судна.

Данные, характеризующие долю каждой из перечисленных составляющих нагрузки в полном водоизмещении газозаводов различных типов, приведены в табл. 23.

Вес корпуса судна с оборудованием может быть выражен в функции его главных размерений ( $LBN$ ). На рис. 44 приведены статистические зависимости веса корпуса с оборудованием от кубического модуля для газозаводов и танкеров.

Сравнение приведенных на рис. 44 данных показывает, что при одинаковых значениях кубического модуля вес корпуса

Таблица 23

Доля укрупненных составляющих весовой нагрузки в полном водоизмещении газозаводов различных типов

Тип газозавода	Составляющие весовой нагрузки в процентах от полного водоизмещения			
	корпус с оборудованием, $P_1$	цистерны, $P_2$	механизмы, $P_3$	разные, $P_{sp} + P_4$
С цистернами для перевозки сжженного газа под давлением: грузоместность до 1000 м <sup>3</sup>	35—45	10—20	5—10	35—45
1000—4000 м <sup>3</sup>	30—40	10—20	5—8	40—50
С цистернами для перевозки сжженного газа под давлением с одновременным сожжением грузоместность 1000—4000 м <sup>3</sup>	30—40	10—15	5—8	45—55
Магистраль грузоместность около 25 000 м <sup>3</sup>	25—30	3—6	3—6	55—65

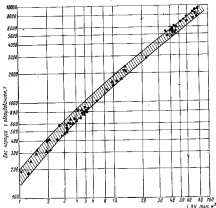


Рис. 44. Зависимость веса корпуса с оборудованием от кубического модуля:  
▲ — газозавод без цистерн; ● — танкеры.

с оборудованием у газозаводов и танкеров примерно одинаковы. Близкими будут, по-видимому, и отдельные составляющие веса корпуса с оборудованием. В первую очередь это относится к весу дельных пещер, деревянных частей корпуса, окраски, изоляции, цементировок, оборудование внутренних помещений, некоторых систем и устройств. Вес же металлического корпуса (с фундаментами и подкреплениями) у газозаводов, по-видимому, будет несколько выше веса корпуса аналогичного по размерам танкера. Хотя у газозаводов нет продольных переборок, таких, как у танкера, в центральной его части имеется двойное дно, а иногда и двойные борта. Кроме того, наличие вкладных цистерн приводит к некоторому увеличению веса фундаментов и подкреплений. Ориентировочные значения веса фундаментов под шароидические цистерны газозаводов, определенные по конструктивным чертежам, приведены в табл. 24.

Приблизительное совпадение весов корпуса с оборудованием у газовозов и танкеров позволяет использовать статистические данные по танкерам для ориентировочного определения соответствующих составляющих весовой нагрузки газовозов. Естественно, что пересчет весовой нагрузки с танкера должен проводиться с поправкой на конструктивные особенности каждого конкретного газовоза.

На рис. 45 показана зависимость веса цистерн от грузовместимости, которую следует рассматривать как весьма ориентировочную, поскольку выявить статистическую зависимость веса цистерн от каких-либо характеристик судна, например грузовместимости, весьма сложно, так как этот вес зависит от способа перевозки газа, типа и относительных размеров цистерны, прочностных характеристик материалов, из которых она изготовлена, и т. п.

Зная размеры цилиндрической или сферической цистерны, ее вес можно подсчитать по формуле

$$P_c = q \frac{d}{\sigma_{sp}} \cdot \frac{p}{37}, \quad (38)$$

где  $q$  — вес цистерны, рассчитанной на давление 17 кг/см<sup>2</sup> и изготовленной из стали с пределом прочности 60 кг/мм<sup>2</sup> (определеняется в зависимости от размеров цистерны по графикам на рис. 46);

$\sigma_{sp}$  — предел прочности материала, из которого изготовлена цистерна, кг/мм<sup>2</sup>;

$p$  — расчетное давление, кг/см<sup>2</sup>.

Таблица 24

Характеристики цилиндрических кистер и фундаментов под них для морских газовозов

Название судна	Характеристики цилиндрических цистерн				Вес фундамента, кг/м <sup>2</sup>	Относительный вес фундамента, кг/кг
	типа	диаметр, м	высота, м	объем, м <sup>3</sup>		
«L. P. Maru № 2»	горизонтальные	3,4	23,4	263	4,5	0,0220
«Petroleos Oeste»	вертикальные	5,8	10,9	235	3,0	0,0155

Вес вкладных прямоугольных цистерн из алюминиево-магниевых сплавов, предназначенных для перевозки охлажденного газа при атмосферном давлении, может быть определен в первом приближении по формуле

$$P_a = kp/W, \quad (39)$$

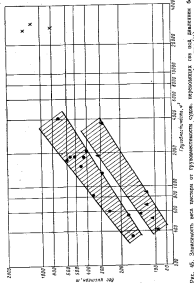


Рис. 45. Зависимость веса цистерн от грузовместимости судна. Кривые, ограниченные (▲) и условно огражденные (●).

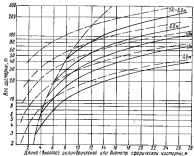


Рис. 46. Зависимость веса сферической (---) и цилиндрических цистерн с магнитными (—) и сферическими (—) дном от их размеров.

где  $W$  — емкость цистерны,  $\text{м}^3$ ;

$p'$  — относительный вес цистерны ( $\text{т}/\text{м}^3$ ), снимаемый с графика (рис. 47, а) в зависимости от объема цистерн и величины отношения между наибольшим и наименьшим размерами цистерны в плане  $(\frac{a}{b})^n$ ;

$k$  — коэффициент, определяемый по графику (рис. 47, б) и учитывающей изменение веса цистерны из-за отличия действительной высоты цистерны  $K$  (с учетом высоты тронка, составляющей 15–20% от высоты цистерны) от стандартной расчетной высоты  $K_0 = \sqrt[3]{W}$ .

Все морские установки, определяемые в зависимости от мощности главного двигателя. На рис. 48 приведены графики для определения веса дизельной силовой установки мощностью до 14 000 л. с., заимствованные из работы [90] и несколько перестроенные для удобства пользования. Для определения веса дизельных и паротурбинных установок мощностью более

\* Примечание на рис. 47 графики разработаны М. М. Насаджани.

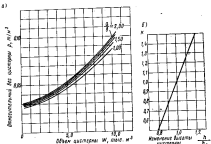


Рис. 47. Графики для определения веса цистерн из плоско-изогнутых стальных: а — относительный вес цистерн; б — коэффициент  $k$ .

10 000 л. с. могут использоваться следующие формулы Юнга и Оасона \*:

вес паротурбинной установки  $Q_T$  равен

$$Q_T = 280 \left( \frac{N_e}{10\,000} \right) + 450, \quad (40)$$

вес дизельной установки  $Q_d$  равен

$$Q_d = 550 \left( \frac{N_e}{10\,000} \right) + 470. \quad (41)$$

Остальные составляющие весовой нагрузки либо задаются (например, вес перевозимого груза), либо определяются общепринятыми способами, которые достаточно подробно изложены в работе [28].

В качестве примера в табл. 25 приведена полученная расчетом весовая нагрузка судна, перевозящего сжиженный газ в 19 вертикальных цилиндрических цистернах общей емкостью

\* Эта формула, приведенная в одной из работ Юнга и Оасона (Johnson Shipbuilding, 1960, т. 2, № 6, стр. 122–127), имеет постоянные коэффициенты. Авторами настоящей книги эти коэффициенты откорректированы применительно к весам современных паротурбинных установок.

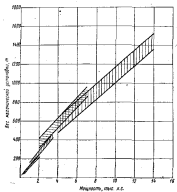


Рис. 48. Зависимость веса деревянных судовых установок от их массы.

около 3000 м<sup>3</sup>. Судно характеризуется следующими основными элементами:

Длина, м	
избыточная	301,00
между переборками	92,00
Ширина, м	14,70
Высота борта, м	7,15
Садка, м	4,77
Водонепроницаемая в плаву, т	4950
Мощность главного двигателя, л. с.	2200
Скорость хода, узл.	11,2

Вес металлического корпуса газовоза пересчитан по промежутию  $LH/H$  с использованием звездочных нагрузок ряда нефтеперевалочных и сухогрузных судов, вес цистерн определен непосредственным расчетом. Все прочие составляющие нагрузки определились пересчетом по обобщенным измерителям близких по размерам судов.

Таблица 25

Примерная весовая нагрузка газовоза с нефтеперевалочными цистернами

Составляющие весовой нагрузки судна	Вес, т,	Плечи, м		Моменты, тм	
		<i>x</i>	<i>y</i>	<i>Fx</i>	<i>Fy</i>
Металлический корпус	1180	-1,10	5,25	-1265	6 040
Подкрепления и фузелажные части	43	-3,00	4,20	-129	181
Днильные ящики	29	-3,00	10,00	-87	292
Деревянные части	1	-17,00	4,87	-17	5
Окраска корпуса	10	-5,50	5,83	-55	58
Изоляция	25	-25,50	10,95	-272	274
Покрытие полов, цистерн	15	-21,00	6,87	-315	103
Голый корпус	1273	-1,97	5,47	-2935	4 983
Оборудование мачтений	20	-35,00	11,15	-380	225
Рулевое устройство	10	-46,00	6,87	-460	69
Машины, электротехническое, буксирное устройство	59	-38,00	9,00	-531	531
Шлюпочное устройство	15	-36,00	14,50	-540	218
Грузовое устройство в пр.	1	-1,00	17,65	-1	18
Корпус	1378	-1,62	5,82	-3235	6 042
Электро- и радиоборудование	65	-9,00	7,05	-585	517
Системы	145	-2,50	6,80	-383	985
Механизмы	259	-29,00	4,49	-7510	1 149
Жидкие грузы	20	-6,00	3,08	-120	62
Грузовые цистерны	975	4,03	5,70	3890	5 560
Сифонные	12	-9,00	12,25	-108	147
Запас водонепроницаемости	56	-1,10	5,55	-62	294
Водонепроницаемые порожки	250	-2,43	5,75	-705	16 717
Запасы и провизия	30	-17,00	8,57	-340	172
Топливо, мазут и масло	280	-0,42	3,06	-117	856
Свежий газ	1720	4,03	5,30	7000	9 280
Двигатели	250	3,49	5,03	7143	10 308
Водонепроницаемые в палубах	490	0	5,48	0	27 025

Количество топлива, воды и масла на борту рассчитано на рейс протяженностью 2500 миль в один конец с 15%-ной морской запасом.

Аналогичные данные по весовой нагрузке метановоза приведены в табл. 26. Метановоз характеризуется следующими основными элементами:

Длина между переносками, м	175,4
Ширина, м	24,8
Высота борта, м	17,8
Осадка, м	7,8
Мощность главной паровой турбины, л. с.	13 000
Скорость хода, узл.	17,2

На метановозе установлено 9 грузовых цистерн общей емкостью 28 500 м<sup>3</sup>, размещенных в трех трюмах.

Таблица 26

Примерная весовая нагрузка метановоза

Составляющие весовой нагрузки судна	Вес, т	План, м		Максимум, тон	
		z	x	Fx	Fz
Корпус	6 600	31,5	-6,2	77 000	-41 500
Несущая конструкция	720	8,2	-64,0	5 500	-48 500
Электрооборудование	270	11,0	-54,0	3 000	-14 500
Грузовая система	290	19,0	3,0	3 600	600
Прочие системы	290	13,0	-28,7	3 400	-6 000
Сажа в упаковке	40	22,0	-52,0	900	-1 300
Жидкие грузы	100	4,0	12,0	400	1 200
Слабковесные инструмент	30	18,0	-70,0	5 400	-2 000
Цистерны	1 150	9,3	3,4	10 700	3 000
Запас водонемаркинга	270	10,7	0	2 900	0
Водонемаркинг борта	9 710	11,7	-10,2	113 000	-108 200
Экспл. в проекции	130	20,0	-70,0	2 600	-9 100
Топливо, вода, масло	1 590	3,5	-9,1	5 500	-14 500
Свободный металл	12 000	9,3	3,6	111 500	41 000
Лодки	13 720	8,7	1,3	119 660	17 400
Водонемаркинг без балласте	23 430	9,6	-3,9	233 200	-90 900
Балласт	1 370	2,0	66,4	3 500	90 900
Водонемаркинг в полном грузу	24 800	9,55	0	236 760	0

На опубликованных данных по весовым нагрузкам газовозов можно привести результаты расчетов инж. Корлетта [66] для спроектированного им метановоза длиной 183 м. Пять больших цилиндрических цистерн метановоза рассчитаны на перевозку примерно 24 000 м<sup>3</sup> сжиженного газа. Каждая цистерна весом 230 т имеет диаметр около 21,5 м. Материал цистерн — алюминиево-магниевый сплав. Суммарный вес цистерн (с учетом дополнительных вертикальных цистерн, установленных по бортам судна) составляет 1400 т.

Ниже приведена весовая нагрузка спроектированного Корлеттом метановоза (основные элементы судна приведены в табл. 38):

Составляющие весовой нагрузки, т

Металлический корпус	5 780
Грузовые цистерны	1 400
Двери, изолации, обшивка	80
Установки погодного смягчения газа	490
Медицинская установка	1 330
Водонемаркинг борта	9 800
Перевозимый груз	
метан	10 040
нефть	3 670
Запасы топлива	980
Прочие запасы	900
Лодки	15 890
Водонемаркинг в полном грузу	23 690

## § 9

### Остойчивость

Большой вес цистерн и заключенного в них груза, а также сравнительно высокое расположение их на судне, могут стать причиной недостаточной остойчивости газовозов. С целью достижения приемлемых величин метантрентической высоты и характеристик диаграммы остойчивости прибегают либо к уширению судна, либо к искусственному снижению его центра тяжести путем приема твердого балласта. Снижение центра тяжести цистерн с грузом может быть осуществлено, например, за счет уменьшения высоты вертикальных цилиндрических цистерн, длины расположенных на верхней палубе горизонтальных цилиндрических цистерн и т. д. Однако уменьшение размеров грузовых цистерн ведет к уменьшению грузоподъемности судна, следовательно, к снижению его экономических показателей. Поэтому указанные пути улучшения остойчивости газовозов следует использовать с учетом экономической целесообразности каждого из них.

В табл. 27 приведены данные по остойчивости некоторых газовозов с цилиндрическими цистернами (основные элементы рассматриваемых судов приведены в табл. 32).

Особый интерес среди рассматриваемых газовозов представляет судно «Ultragaz», при проектировании которого большое внимание уделялось спроектированию целесообразных путей достижения требуемой остойчивости [11]. Установка на этом судне одной горизонтальной цилиндрической цистерны, заполовину выступающей над верхней палубой, явилась причиной того, что однината центра тяжести судна оказалась примерно равной высоте борта. Это привело к недопустимому значению метацентрической высоты ( $\sim 0,14$  м), даже при увеличенном санкье 3,1 отношении кирпичины к осадке. По мнению ряда авторов, для обеспечения безопасности плавания метацентрическая высота у таких судов не должна быть меньше 0,40 м. Для достижения указанной величины метацентрической высоты потребовалось бы либо увеличить ширину судна примерно на 0,6 м, либо принять не менее 20 т твердого

Таблица 27

Данные по остойчивости некоторых газовозов

Название судна	Количество и расположение цистерн	Изменение кирпичины	$\delta$ , м	$B, \text{м}$	$\frac{\delta}{B}$	$\frac{\delta}{T}$
«Ultragaz»	Одна горизонтальная цилиндрическая цистерна, выступающая над верхней палубой	В грузу без балласта	0,14	5,0	0,028	3,13
		В грузу с балластом в количестве 20 т	0,40	5,0	0,080	2,78
«Фортиси Марк № 1»	Четыре горизонтальные цилиндрические цистерны в трюме	В грузу (в начале реек)	1,05	9,42	0,112	3,55
		В балласте (в начале реек)	1,09	9,42	0,116	4,15
«Л. Р. Маги № 2»	Горизонтальные цилиндрические цистерны (одна в трюме, одна за верхней палубой)	В грузу (в начале реек)	0,54	9,25	0,059	2,77
		В балласте (в начале реек)	0,60	9,25	0,066	3,48
«Petrobras Octopus»	17 вертикальных цилиндрических цистерн	В грузу (в начале реек с балластом в количестве 180 т)	0,40	15,60	0,026	2,99
		В грузу (в начале реек)	0,48	15,0	0,032	3,22
«Когуус»	4 сферические цистерны	В грузу (в начале реек)	1,33	15,0	0,089	4,25
		В балласте (в начале реек)	1,33	15,0	0,089	4,25

балласта (14% от водоизмещения). Однако уширение судна (до величины отношения  $\frac{B}{T}$  равной 3,5) привело бы к резкому ухудшению его ходовых качеств. Прием до полного твердого балласта, наоборот, мог бы привести к улучшению ходовых качеств судна (из-за уменьшения отношения  $\frac{\delta}{T}$  примерно до 2,78), хотя водоизмещение газовоза могло бы несколько возрастти. При анализе остойчивости судна «Ultragaz» пошли во втором пути, т. е. призначили твердый балласт в количестве примерно 20 т. На рис. 49 показаны диаграммы статической остойчивости судна «Ultragaz» для различных вариантов нагрузки.

Авторы настоящей книги, выполнив проектную проработку газовоза с вертикальными цилиндрическими цистернами диаметром 5,0 м и высотой 9,5 м общей вместимостью около 3000 м<sup>3</sup>, исследование целесообразность обеспечения необходимой остойчивости судна путем увеличения отношения  $\frac{\delta}{T}$  при неизменном водоизмещении, длине и коэффициенте общей полноты. Основные элементы и характеристики рассмотренных вариантов газовозов приведены в табл. 28. Минимальное значение отношения, при котором обеспечивалась необходимая начальная остойчивость судна, оказалось равным 3,1. Данные табл. 29 иллюстрируют остойчивость и посадку газовоза при различных вариантах загрузки, а диаграмма статической остойчивости для случая полной загрузки газовоза показана на рис. 50.

Для судов, оборудованных вертикальными цилиндрическими цистернами, выбор отношения ширине к осадке или количеству твердого балласта, удовлетворяющих условиям остойчивости, непосредственно связан с прижатой высотой цистерн, а следовательно, с грузоизместимостью судна и его проволопсостойчивостью. Увеличение высоты цилиндрических цистерн приводит к увеличению их вместимости, но одновременно повышается центр тяжести, что естественно, ухудшает остойчивость судна. Связь между высотой цистерн весом твердого балласта и отношением  $\frac{\delta}{T}$  можно выразить из уравнения начальной остойчивости

$$\delta = \varphi + z_2 - z_g \quad (42)$$



Рис. 49. Диаграммы статической остойчивости газовоза «Ultragaz» при различных вариантах нагрузки.

1 — судно воронко;  $\delta = 3,53$  м;  $T = 2,55$  м;  $\delta = 0,49$  м; 2 — судно портфель с балластом в количестве 15 т;  $\delta = 3,50$  м;  $T = 1,90$  м;  $\delta = 0,50$  м; 3 — судно с балластом в количестве 18 т;  $\delta = 3,50$  м;  $T = 1,85$  м;  $\delta = 0,51$  м; 4 — судно с балластом в количестве 20 т;  $\delta = 3,47$  м;  $T = 1,80$  м;  $\delta = 0,54$  м; 5 — судно в течении балласта в количестве 22 т;  $\delta = 3,44$  м;  $T = 1,76$  м;  $\delta = 0,56$  м.

Таблица 28

Основные элементы и характеристики вариантов галлюзов, образованных цилиндрическими цистернами и имеющих различные отношения  $\frac{B}{L}$

Характеристика	Отношение $\frac{B}{L}$		
	2,3	0,9	0,5
Длина между перекрестками	92,0	92,0	92,0
$L_{\text{дл}}, \text{ м}$			
Ширина $B$ , м	13,3	14,5	15,7
Осадка $T$ , м	5,3	4,8	4,5
Водоизмещение $D$ , т	4990	4990	4990
Метацентрическая высота $A$ , м	-0,73	+0,25	+1,34
Отношение $\frac{B}{D}$	-0,066	0,017	0,085

Таблица 29

Остойчивость и форма галлюза с вертикальными цилиндрическими цистернами при различном варианте нагрузки

Элементы планировки и начальная компоновка	Варианты нагрузки		
	нормальное	в пустом	в балласте
Весное водоизмещение, т	1936	4960	3560
Объемное водоизмещение, м <sup>3</sup>	1890	4840	3470
Средняя осадка, м	2,00	4,77	3,53
Абсцисса центра тяжести ЦТ, м	-5,67	0,00	-0,66
Абсцисса центра плавучести ЦП, м	0,63	0,00	0,46
Возведение ЦТ над осью носа, м	5,76	5,46	5,12
Преувеличенная метацентрическая высота, м	240	128	145
Абсцисса ЦТ цистернами, м	1,84	-0,46	0,92
Осадка носа, м	0,82	4,77	3,20
Осадка кормы, м	3,27	4,77	3,90
Возведение центрального метацентра над осью носа, м	8,50	5,88	6,62
Поверхность метацентрической высоты, м	3,44	0,43	1,25

где  $h$  — начальная метацентрическая высота судна, задаваемая или определяемая при проектировании;

$\theta = \Psi_2 \frac{h}{T}$  — поворотный метацентрический радиус;

$z_c = \varphi_2 T$  — возмущение центра величиной;

$z_g$  — возвышение центра тяжести.

Определим возвышение общего центра тяжести судна

$$z_g = \frac{D_{\text{нр}} + P_{\text{нр}} + (P_{\text{нр}} + P_{\text{тп}}) z_{\text{тп}} + P_{\text{бал}}}{D}, \quad (43)$$

где  $D_{\text{нр}}$  — вес судна порожнем;

$P_{\text{нр}}, P_{\text{тп}}, P_{\text{бал}}$  — составляющие весовой нагрузки (топливо, вода и масла; цистерны; груз и твердый балласт);

$z_{\text{нр}}, z_{\text{тп}}, z_{\text{бал}}, z_g$  — соответственное возвышение центров тяжести (судна порожнем; топлива, воды и масла; цистерни с грузом и твердого балласта).

В свою очередь

$$z_{\text{нр}} = \xi H, \quad (44)$$

где  $H$  — высота борта судна;

$\xi$  — коэффициент, характеризующий относительное положение центра тяжести судна порожнем (определяется по графику на рис. 51, либо берется по судну-прототипу).

При условии, что половина судовых запасов топлива хранится в днищных танках, а половина в двертах, возвышение центра тяжести топлива можно определить по формуле

$$z_t = 0,25H + 0,3h_d, \quad (45)$$

где  $h_d$  — высота днищного дна, которая может быть задана или определена по графику (рис. 52).

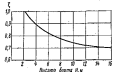


Рис. 51. Зависимость относительного возвышения центра тяжести судна порожнем (без цистерн) от высоты борта.

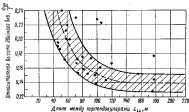


Рис. 52. Зависимость относительной высоты двойного дна от зазора судна.  
— — — — относительная высота двойного дна за Амелийон Регистру Лайф-

Ордината центра тяжести цистерн с грузом равна

$$z_{tr} = h_x + \alpha + \frac{h_x}{2}, \quad (46)$$

где  $h_x$  — высота цистерн;

$\alpha$  — зазор между днищем цистерны и вторым дном, принимаемый обычно равным 0,38–0,61 м.

Возмещение центра тяжести твердого балласта зависит от его расположения. Если твердый балласт уложен в двойном дне, максимальное возмещение его центра тяжести составляет 10 см, минимальное не превышает 0,6 $h_x$ .

Принимая во внимание сказанное выше, можно записать

$$\begin{aligned} h &= q_1 \frac{S^2}{T} + q_2 T - \frac{D_n}{D} \cdot \frac{T}{B} H - \frac{P_0}{D} (0,25H + 0,3\delta_2) - \\ &- \frac{(P_0 + P_{tr})}{D} \left( h_x + \alpha + \frac{h_x}{2} \right) - \frac{P_0}{D} z_{tr}. \end{aligned} \quad (47)$$

После некоторских преобразований и подстановки значений коэффициентов  $q_1$  и  $q_2$  (см. § 6) получим следующее выражение для относительной метацентрической высоты газобаллонов:

$$\begin{aligned} \frac{h}{B} &= \frac{1}{11,4} \cdot \frac{\alpha^2}{T} \cdot \frac{B}{T} + \frac{1}{2} \left( \frac{\alpha}{B} \right)^2 \frac{T}{B} - \frac{D_n}{D} \cdot \frac{H}{T} \cdot \frac{T}{B} - \\ &- \frac{P_0}{D} \left( 0,25 \frac{H}{T} \cdot \frac{T}{B} + 0,3 \cdot \frac{h_x}{T} \cdot \frac{T}{B} \right) - \frac{(P_0 + P_{tr})}{D} \left( \frac{h_x}{T} \cdot \frac{T}{B} + \right. \\ &\left. + \frac{\alpha}{B} + \frac{h_x}{2B} \right) - \frac{P_0}{D} \cdot \frac{z_{tr}}{T} \cdot \frac{T}{B}. \end{aligned} \quad (48)$$

Решая уравнение (48) относительно  $\frac{h}{B}$  или  $\frac{P_0}{D}$ , можно определить значения этих величин, удовлетворяющие уравнению остойчивости. Оптимальные значения указанных величин определяются на основании технико-экономического анализа.

В качестве примера определения оптимальных значений высоты цистерн и количества балласта был сделан технико-экономический анализ газобаллонной 100-метровой шириной 15,5 м, оборудованной 17-ю вертикальными панцирно-цистernами общей емкостью около 4000 м<sup>3</sup> (рис. 53). Этот анализ показал, что из данного судна целесообразно принять около 200 т твердого балласта, увеличив высоту цистерн от 0,6–0,7 м. В результате газовая пропуск способность судна увеличивается на 7–8%, а себестоимость перевозки 1 т сжиженного газа уменьшается на 3–4%.

В табл. 30 приведены данные по относительным значениям высоты цистерн и количеству твердого балласта на газобаллонных японской и китайской постройки (основные элементы этих судов даны в табл. 32).

Таблица 30

Характеристики цистерн в зависимости от количества твердого балласта на газобаллонах с вертикальными панцирно-цистernами

Характеристика	Aiguo Qiaoxi	Petroplus Ondex
Грузоподъемность, м <sup>3</sup>	1800	4000
Количество цистерн	18	17
Высота цистерн, м	8,4	10,9
Вес твердого балласта $P_0$ , т	200	160
Относительное склонение судна к осадке, $\frac{h}{T}$	2,45	2,99
Относительная высота цистерн, $\frac{h_x}{B}$	0,715	0,700
Относительный вес твердого балласта, $\frac{P_0}{D}$	0,035	0,029

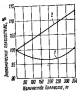


Рис. 53. Зависимость относительной высоты цистерн газобаллонных судов от количества твердого балласта.  
— — — — относительная высота цистерн японской постройки;  
— — — — — относительная высота цистерн китайской постройки.

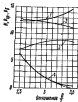


Рис. 54. Влияние отношения  $\frac{B}{T}$  на некоторые характеристики металлического грузоцемента судна (длина судна 175 м, скорость хода 17 узл., отважение  $\frac{L}{B} = 7,0$ , дальность плавания 7000 миль, коэффициент общей полноты  $\delta = 0,70$ ).  
 — — — — — коэффициент грузоподъемности  $\frac{B}{T}$ ; — — — — — коэффициент утилизации водонизмещения по грузоподъемности;  $\delta$  — общий балласт;  $\delta_{\text{п.н.}}$  — судно с плавучим трансом; — — — — — судно не с плавучим трансом.

делением значений  $\frac{B}{T}$  имеет максимум (рис. 54). По условиям обеспечения остойчивости на данном судне при отважении ширены к осадке, равном примерно 3,6, постоянного балласта не требуется. Однако при данной длине газовоза и принятом расстоянии почти всех топливных танков внизу все же для удифферентовки судна появляется необходимость в приеме постоянного балласта.

В результате проведенных расчетов выяснилось, что для судна грузоподъемностью, близкой к 12 000 т, наиболее целесообразно принимать отношение  $\frac{B}{T}$  равным 3,0—3,2 (рис. 54). При этом на судно должно быть уложено 1100—1800 т постоянного балласта (4—7% от полного водонизмещения). Дальнейшее увеличение отношения  $\frac{B}{T}$  хода и позволяет уменьшить количество принимаемого балласта, приводит к значительному ухудшению мореходных качеств судна и увеличению потребной мощности главных двигателей.

\* Выполнено М. Н. Ямовалевым.

## § 10

### Обеспечение пожаро- и взрывобезопасности

Сжиженные газы обладают следующими пожароопасными и взрывопасными свойствами:

- способностью образовывать взрывоопасные газовоздушные смеси;

- способностью воспламеняться и гореть с выделением большого количества тепла;

- склонность к образованию самовозгорающихся продуктов взаимодействия сернистых соединений, входящих в состав сжигаемых газов, с металлом цистерн.

Все горючие газы, находящиеся в определенной концентрации в смеси с воздухом или кислородом, способны взорваться при воспламенении. Взрыв газовоздушной смеси — это практически мгновенное горение газа, происходящее в присутствии памяти или при нагревании окружающей среды до определенной температуры.

Пределы воспламеняемости различных газов в смеси с воздухом указаны в § 3. С повышением температуры газовоздушной смеси значение нижних и верхних пределов концентрации, при которой происходит воспламенение, расширяются и при определенной температуре газовоздушные смеси становятся пожароопасными практически в любой концентрации.

Для образования взрывоопасной концентрации не обязательно, чтобы количество газа в воздухе во всем объеме помещения или цистерн было бы таким, как указано в § 3. Иногда достаточно присутствия в газовоздушной смеси гораздо меньшего количества газа. Дело в том, что нефтяной газ и аммиак тяжелее воздуха, поэтому они оседают и концентрируются в нижней части трубы или цистерны. Газовоздушные смеси в этих местах могут иметь взрывоопасную концентрацию, кроме того, эта концентрация, вследствие плохой диффузии газов, может поддерживаться в течение очень продолжительного времени.

При движении сжиженного газа по трубопроводам происходит наведение статического электричества с разностью потенциалов до 3000 в. Это создает дополнительную угрозу воспламенения газа за счет возможного погашения искры. Наведение статического электричества происходит и при падении струи сжиженного газа в цистерну, что также может вызвать взрыв при первоначальном заполнении цистерн, когда в ней имеется воздух.

При полном окороживании цистерн и продувке их воздухом может произойти взрыв от самовозгорания сернистых соединений железа, образующихся при длительной эксплуатации газовоза.

Некоторые из нефтяных газов имеют низкую температуру воспламенения (430—460° С), а это значит, что даже при отсутствии

открытого огня может произойти их воспламенение от нагретых предметов.

Расширение сжатого газа при повышении температуры может привести к разрыву цистерн и трубопроводов. Это свойство газа должно учитываться при определении объема цистерн. Рекомендуемый предел заполнения цистерн по объему составляет ~85%. На трубопроводах жидкостной фазы устанавливают клапаны, блокирующие жидкость при ее температурном расширении. Под воздействием солнечных лучей происходит повышение давления в цистернах, поэтому на них должны устанавливаться предохранительные клапаны.

Для того чтобы исключить возможность поведания газа в троеке, все трубопроводы, клапаны, измерительные приборы и прочая арматура должны монтироваться за горизонтальной, выступающей над палубой, частью цистерн. Каждая цистерна снабжается предохранительными клапанами, через которые излишки газа стравливаются в вентиляционные колонны. Место выпуска газа в атмосферу должно находиться над верхней точкой грузовых цистерн примерно на одну треть ширину судна (но не менее, чем на 5 м). Выпускающее отверстие следует предусматривать на расстоянии не менее 25% от лока шахты машинного отделения, приемных патрубков и вентиляции, отверстий или дверей, ведущих в жилые и служебные помещения.

Все трубопроводы, ведущие к цистернам, снабжаются двумя запорными клапанами, установленными последовательно и расположенным непосредственно на цистернах или рядом с ними. В случае выхода из строя одного из клапанов автоматически начинает действовать другой. Один из клапанов должен быть быстрозапорным с дистанционным управлением.

На трубопроводах грузовой системы также устанавливаются последовательно быстрозапорные предохранительные клапаны. Они выполняют функцию защитного устройства, предохраняющего систему от перегрузки при слишком большой скорости течения газа в случае разрыва трубопровода или арматуры. Такие клапаны рассчитываются наnomинальный расход газа или жидкости. Обычно они закрыты и открываются лишь при погрузке или выгрузке сжатого газа. В случае разрыва трубопровода или распространения в системе огня, предохранительные клапаны автоматически прекращаются.

Насосные отделения, где наиболее вероятна утечка газа, располагают обычно в носовой части судна, защищены жилыми помещениями. Насосные и компрессорные отделения, а также помещения, в которых размещаются цистерны или трубопроводы, должны иметь доступ только с открытой палубы. В переборках, ограничивающих такие помещения, не допускается устройство отверстий, дверей или клапанчиков. В этих помещениях не разрешается устанавливать электрическое или другое оборудование, которое

может давать искру. Приводные двигатели насосов в компрессорах устанавливаются в специальном моторном отделении и выключаются взрывобезопасными.

Смена воздуха в насосном и моторном отделениях при аварии должна составлять соответственно около 40 и 20 объемов в час. В моторном отделении необходимо поддерживать давление несколько выше атмосферного, чтобы в него не попадал воздух из насосного отделения.

На судне должно быть установлено необходимое количество газовых детекторов для регистрации утечек газа во всех помещениях, в которых находятся цистерны или трубопроводы, во всех насосных и компрессорных отделениях и в машинном отделении. В случае повышения концентрации газа у одного из воспламеняющихся патрубков газовые детекторы более чем до 30% от минимально допустимой, должна включаться световая и звуковая сигнализация.

Рекомендуется заполнить пространство, окружающее цистерны для сжатого газа, сухим инертным газом, вырабатываемым специальной установкой за борту судна.

Для отвода статического электричества все цистерны и трубопроводы судна должны иметь эффективное заземление на корпус, который перед началом погрузки или разгрузки судна заземляется проводом, идущим с берега.

Для предотвращения попадания воздуха в цистерны и образования в них взрывоопасной смеси при разгрузке в цистернах оставляют 3–5% газа с целью создания небольшого производящего. Перед первой загрузкой воздух из цистерн вытесняется углекислым газом или азотом.

В целях предупреждения повышения температуры газа, находящегося внутри цистерн, сверх допустимого предела на судне предусматривается система орошения грузовых цистерн.

На газовых обычно применяют углекислотную систему пожаротушения. С пуском углекислоты в отсек его вентиляция автоматически отключается и включается световая и звуковая сигнализация.

## Глава III

### Особенности судов, перевозящих сжиженные газы в цистернах под давлением

#### § 11.

#### Конструкция корпуса

Суда, перевозящие газ в цистернах под давлением без охлаждения и под давлением с одновременным охлаждением, имеют двойное дно (иногда двойные борта), устраиваемое, главным образом, с целью выделения в корпусе дополнительных емкостей для приема водного балласта в рейсе порожнем.

Грузовое пространство на газовозах отделяется от машинного отделения, жилых и рабочих помещений коттеджами. Функции коттеджей могут выполнять спарные газонепроницаемые переборки класса А, устанавливаемые в соответствии с требованиями Международной Конвенции по охране человеческой жизни на море 1960 г.

Как уже указывалось, доступ в грузовые трюмы, помещения коттеджей и компрессоров должен быть обеспечен только с верхней палубы.

Эти помещения не разрешается располагать в непосредственной близости к машинно-котельному отделению и жилым помещениям.

Размеры элементов конструкции корпуса газовозов определяются в соответствии с правилами классификационных обществ для сухогрузных судов или для танкеров — в зависимости от принятого устройства корпуса и высоты надводного борта. Из-за наличия больших вырезов в палубе судна, перевозящего сжиженный нефтяной газ в цистернах под давлением (рис. 55, 56), особое внимание уделяется обеспечению прочности палубы, а также прочности корпуса на скручивание.

Цистерны размещаются в трюмах газовозов в соответствии с определенными правилами и требованиями ([29], 1341, 1117), которые первые были сформулированы Управлением Береговой охраны США.

Для рассматриваемых типов газовозов эти требования соятся в основном к следующему.

Цистерны разрешается устанавливать как на палубе, так и в закрытых трюмах таким образом, чтобы исключалось их участие в объеме изгиба судна. Они монтируются на специальных фундаментах и раскрепляются растяжками, допускающими некоторое взаимное смещение цистерн и фундамента при изгибе корпуса судна. Особое внимание этой проблеме должно уделяться при установке на судне горизонтальных цилиндрических цистерн, имеющих днище, равную длине грузового пространства судна.

Горловины или верхние части устанавливаемых в трюмах вертикальных цилиндрических цистерн должны выводиться из верхней палубы (рис. 57). Горловины должны иметь достаточные размеры для установки необходимой арматуры и оборудования.

Выступающие над верхней палубой судна части цистерн фиксируют взаимное положение самих цистерн и предотвращают их смещение во время хода судна. Конструкции крепления цистерн к верхней палубе должна, во-первых, препятствовать проникновению в трюм влаги и атмосферных осадков и, во-вторых, допускать небольшое смещение цистерн относительно палубы во время движения судна. В связи с этим крепления выполняются застежечным с резиновым уплотнением. На рис. 58 показаны узлы крепления горизонтальной и вертикальной цилиндрических цистерн к палубе.

Цистерны должны устанавливаться в трюмах так, чтобы расстояние между наружной стенкой цистерны и внутренней кромкой основных шпангоутов составляло не менее 610 мм для судов длиной более 120 м и не менее 380 мм для судов длиной менее 50 м. В остальных случаях минимальное расстояние между цистернами и шпангоутами определяется линейной интерполя-



Рис. 55. Подача вертикально палубу газовоза «Petrofima Leith» [во времена постройки]



Рис. 56. Судно «Munifiques Breillat» из стекла.

цией. Примерно такие же нормы даются для расстояния между цистернами.

Расстояние между цистерной и внутренним дном принимается равным не менее 380 мм. При отсутствии двойного дна максимальное расстояние между цистернами и наружным дном должно быть равно высоте вертикального киля для сухогрузного судна аналогичных размеров.

На рис. 56, 60, 61 приведены поперечные разрезы корпусов некоторых газовозов и показаны принятые способы расположения цистерн в трюмах.

Цистерны, устанавливаемые на верхней палубе и в трюмах судна, монтируются на фундаментных рамках. Так, каждая из

горизонтальных цилиндрических цистерн судна «Lili Thielstrup», имеющая длину 16,5 м и диаметр 6,3 м, смонтирована на трех поперечных и одной продольной фундаментных рамках. Поверх фундаментных рам уложены деревянные подушки толщиной 15–20 мм, на которые и устанавливаются цистерны. По бокам цистерн шириной фундаментных рам приварены специальные проушины. Такие же проушины имеются на фундаментных рамках. Болты, пропускаемые через проушины, обеспечивают известное сопряжение, допускающее некоторое смещение цистерн в связи с температурными деформациями, качкой, взгибом судна и т. п.

Отрыг проушины от цистерн предотвращается установкой болтов с меньшей прочностью на разрыв и срез по сравнению с проушиными.

По торцам цистерн не имеют креплений к корпусу судна. Напротив торцов, примерно за расстояние 200 мм от них, к поперечным переборкам судна прикреплены ограничительные планки таврового сечения (рис. 62).



Рис. 57. Установка вертикальных цилиндрических цистерн на судне «Marien P. Biller».

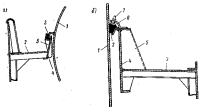


Рис. 58. Узлы крепления цилиндрических цистерн к палубе судна: а — крепление параллельной цилиндрической цистерны на судне «Лили Тирпайт»; б — крепление вертикальной цилиндрической цистерны на судне «Мариен П. Биллер».

1 — цистерна для окислительного газа; 2 — палуба; 3 — поперечная рама; 4 — киль; 5 — киль; 6 — планка таврового сечения; 7 — нижний болт.

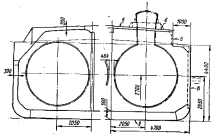


Рис. 60. Поперечный разрез корпуса газовоза «Футура» Марк 26.

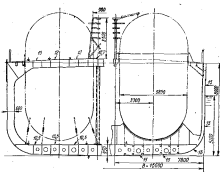


Рис. 61. Поперечный разрез корпуса газовоза «Эльфортс Остас».

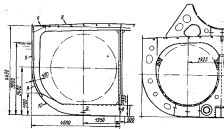


Рис. 62. Поперечный разрез корпуса газовоза «Л. Р. Марк 26».

Рис. 62. Схема кампания расположения цистерны и поперечной переборки в трюме газовоза «Ли Тейлдрип».

1 — горизонтальная магистральная магистраль; 2 — поперечная переборка; 3 — отстойниковые отверстия.



## § 12

**Грузовые цистерны. Расчет на прочность**

Расчет цистерн на прочность производится по правилам классификационных обществ, причем цистерны рассматриваются как сосуды I класса, работающие под давлением.

Толщина обшивки цистерны определяется исходя из расчетного давления, описываемого выражением

$$p = p_0 + 2\rho g \frac{1}{2} H^2 \quad (49)$$

где  $p_0$  — давление перевозимого газа или смеси газов при температуре  $+45^\circ\text{C}$ ;

$\rho$  — статическое давление жидкого газа в расчетной точке цистерны при ее полном заполнении.

При определении расчетного давления ориентируются на наиболее легчай из газов, которые должно переносить судно.

Если судно предназначается для эксплуатации в районах, где температура воздуха всегда ниже  $+45^\circ\text{C}$ , классификационными обществами допускается установление величины  $p_0$ , соответствующей более низкой температуре.

Для изолированных цистерн, рассчитанных на перевозку газа под давлением с одновременным охлаждением,  $p$  не должно быть меньше, чем давление газа, находящегося в сжатом состоянии при расчетной температуре.

В ряде случаев к этому давлению необходимо добавлять давление, обусловленное ударом жидкости о стены цистерн. Такие удары могут иметь место при неполном заполнении цистерн в результате резкого останова судна или при разгоне между колебаниями сжатого газа в цистерне и колебаниями самого судна. Первый, собственный колебание сжатого газа внутри цистерн можно определить по следующим формулам [46]:

— для сферических цистерн

$$\tau = 2\pi b_n \sqrt{\frac{R}{g}}; \quad (50)$$

— для вертикальных цилиндрических цистерн

$$\tau = 2\pi b_n \sqrt{\frac{R}{g} \left( \frac{1}{\sin \left( \frac{\pi}{D} h_0 \right)} \right)}; \quad (51)$$

— для горизонтальных цилиндрических цистерн при поперечной волне

$$\tau = 2\pi b_n \sqrt{\frac{R}{g}}; \quad (52)$$

— при продольной волне

$$\tau = 2\pi b_n \sqrt{\frac{1}{g} \left( \frac{1}{\sin \left( \frac{\pi D}{L} \right)} \right)}. \quad (53)$$

Здесь  $R$  — радиус цистерны;

$h$  — высота заполнения цистерны;

$g$  — ускорение силы тяжести;

$L$  — длина цистерны;

$n$  — число полуволн;

$b_n$  — коэффициент, равный 3,81 при  $n = 1$  и 7,02 при  $n = 2$ ;

$b_s$  — коэффициент, определяемый по графикам рис. 63.

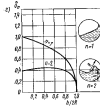
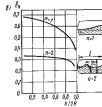
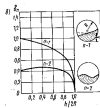
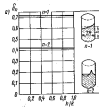


Рис. 63. Форма поверхности сжатого газа при изолировании: а — в вертикальной цилиндрической цистерне; б — в горизонтальной цилиндрической цистерне (поперечная волна); в — в горизонтальной цилиндрической цистерне (продольная волна); г — в сферической цистерне.

Дополнительное давление, возникающее внутри цистерны вследствие удара, имеет существенное значение лишь для горизонтальных цилиндрических цистерн и может быть определено из выражения

$$p_p = \psi \cdot l \cdot 10^{-8} \text{ кГ/см}^2, \quad (54)$$

где  $\psi$  — удельный вес сжатого газа.

Для уменьшения давления, возникающего в результате колебаний сжатого газа и достигающего весьма значительных величин в длинных горизонтальных цилиндрических цистернах, последние обычно оборудуются несколькими поперечными отбой-

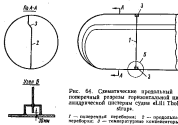


Рис. 54. Схематический продольный и поперечный разрез горизонтальной цилиндрической цистерны судна «Lili Tholsirup».  
1 — конический переборка; 2 — продольные переборки; 3 — температурные компенсаторы.

вым переборками. Кроме того, в этих цистернах иногда устанавливают продольную переборку для уменьшения свободной поверхности жидкости.

В качестве примера на рис. 54 показано устройство горизонтальной цилиндрической цистерны судна «Lili Tholsirup». Каждая цистерна из судне разделена одной продольной и тремя поперечными переборками. Переборки конструктивно выполнены таким образом, что имеют возможность свободно деформироваться в зависимости от колебаний температуры внутри цистерны. На рис. 54 показаны также конструкции температурных компенсаторов, используемых в этих цистернах.

Толщина обивки цилиндрических и сферических цистерн (в мм) определяется согласно Правилам Английского Регистра Ллойда [34] по формуле

$$t = \frac{pD}{\sigma_{\text{доп}}} + 1,6, \quad (55)$$

где  $p$  — рабочее давление, кП/см<sup>2</sup>;  
 $D$  — внутренний диаметр цистерны, м;

$\sigma_{\text{доп}}$  — допускаемые напряжения, равные  $\frac{1}{35}$  от временного сопротивления стали, применяемой для изготовления цистерны, кП/см<sup>2</sup>;

$c$  — коэффициент, принимаемый для цилиндрических цистерн равным 1,9, а для сферических — 3,8.

Для определения толщины обивки оконечностей цилиндрической цистерны применяется следующая формула:

$$t_{\text{ок}} = \frac{pD_0^2}{8,92 \cdot 10^6} \cdot \left( \frac{r}{R} + 0,15 \right) + 0,8, \quad (56)$$

где  $D_0$  — наружный диаметр днища, мм;  
 $k$  — коэффициент, принимаемый равным 1,0 для днища, изготовленного из одного листа, и 0,95 для днища, изготовленного из двух или более листов;  
 $h$  — высота днища в мм, определяемая по формуле

$$h = R_s - \sqrt{\left( R_s - \frac{D_0}{2} \right) \left( R_s + \frac{D_0}{2} - 2r_0 \right)},$$

$r$ ,  $r_0$  — соответственно внутренний и наружный радиусы переходного участка между днищем и цилиндрической частью цистерны, мм;

$R$ ,  $R_s$  — соответственно внутренний и наружный радиусы краинки днища, мм.

В получение по приведенным формулам толщины обивки цистерны необходимо внести поправки, учитывающие местные нарушения последней реакции опор и креплений (при подложении судна без крана и с креном 30°) в динамические нагрузки от бортовой, кильевой и артиллерийской качки, принимаемые разными удвоенной статической нагрузке от давления саженного газа.

Фундаменты цистерн должны выдерживать дополнительные динамические нагрузки, направленные вертикально вниз и принятые равными в оконечностях судна полуторному весу цистерны с грузом, а в средней части судна — одинарному весу цистерны с грузом.

Поперечные опорные крепления цистерн рассчитываются при условии крена судна на 30°. Расчетная нагрузка определяется суммированием статической и динамической нагрузки, которая рассчитывается по формуле

$$P_{\text{рас}} = G (0,03a + 0,30), \quad (57)$$

где  $a$  — расстояние по высоте от главной водонепроницаемой обшивки до точки приложения динамической нагрузки, отстоящей от верхней кромки цистерны на 0,4 ее высоты, м.

$G$  — вес цистерны с грузом, т.

Продольные опоры цистерн проектируются с учетом динамических сил, равных 0,36G, и приложенных в центре тяжести цистерны.

## Материал цистерн и их изоляции

Для изготовления цистерн, работающих при температурах до минус 45° С применяются углеродистые или углеродисто-марганиевые стали. Качество применяемых сталей выбирается в зависимости от минимальной температуры, необходимой для хранения сжиженного газа. Эта температура не должна быть выше определяемой по формуле

$$t_2 < t_1 - 0,25 (t_1 - t_0), \quad (58)$$

где  $t_1$  — рабочая температура в цистерне (но не выше 0° С);

$t_0$  — температура кипения сжиженного газа при атмосферном давлении.

Испытания материала цистерн на ударную вязкость производятся при температуре  $t_{\text{исп}} = t_1 - 20^{\circ} \text{C}$ .

В ССР транспортные (в частности, железнодорожные) цистерны для сжиженного газа изготавливаются из стали марки 1022Д (по ГОСТ 5058—57) с пределом прочности 48 кГ/мм<sup>2</sup> и пределом текучести 33 кГ/мм<sup>2</sup> [117]. За рубежом судовые цистерны для сжиженного газа изготавливаются из стали с пределом прочности 50—60 кГ/мм<sup>2</sup> и выше и пределом текучести не менее 34 кГ/мм<sup>2</sup>.

Так, цистерны газовозов типа «Petrobras Oeste» изготавливаются из стали с пределом прочности 60—80 кГ/мм<sup>2</sup>. Эти цистерны рассчитаны на 18 кГ/мм<sup>2</sup> и испытываются давлением воздуха 19,8 кГ/мм<sup>2</sup> и водя 30,5 кГ/мм<sup>2</sup>. Для изготовления цилиндрической части и верхней оконечности цистерн применяются листы (толщиной 27 и 15 мм соответственно) из стали с пределом прочности 80 кГ/мм<sup>2</sup> [114]. Нижняя оконечность цистерн изготавливается из листов толщиной 22 мм (сталь с пределом прочности 60 кГ/мм<sup>2</sup>).

На газовозе «Galileo» установлены вертикальные цилиндрические цистерны из стали ВН43 [133], имеющей следующий химический состав (в процентах):

Железо	97,500	Фосфор	0,055
Углерод	0,160	Сера	0,025
Кремний	0,200	Никель	0,250
Марганец	1,200	Баллада	0,100

Предел прочности этой стали равен 53 кГ/мм<sup>2</sup>, предел текучести — около 43 кГ/мм<sup>2</sup>, а относительное удлинение — 22%.

Для изготовления цистерн, рассчитанных на перевозку сжиженного газа под давлением с одновременным охлаждением, могут применяться те же углеродистые или углеродисто-марганиевые стали, что и для изготовления цистерн высокого давления. Однако обычно цистерны, предназначенные для перевозки газа комбинированным способом, изготавливают из стали с содержанием никеля

до 9%. Так, сферические цистерны газовоза «Mamogas Brasilis», спроектированного для перевозки сжиженного газа при температуре минус 12° С и давлении около 3 кГ/мм<sup>2</sup>, изготовлены из стали с 9%-ным содержанием никеля.

Цистерны, рассчитанные на перевозку газа под давлением с одновременным охлаждением, покрывают изоляционным материалом. В качестве изоляции применяют асбест, стекловолокно, минеральную вату, пенопласт, поливинил и т. п. Изоляция крепится к цистернам снаружи стороны с помощью сетки на специальных шинах, прикрепляемых к корпусу цистерны, либо с помощью клея. Иногда она наносится на корпус в жидком распыленном состоянии (как, например, полиуретан). Сверху изоляционный слой покрывают тонкими стальными или алюминиевыми листами для защиты от воздействия влаги.

Выступающие над верхней палубой части цистерн, подверженные воздействию прямых солнечных лучей, покрывают алюминиевой или какой-либо другой теплоизолирующей краской. Для охлаждения выступающей части цистерн устанавливается система орошения.

### § 14

## Арматура цистерн и контрольно-измерительные приборы

Каждая цистерна для сжиженного газа оборудуется минимум одной горловиной с люком размерами не менее 380 × 460 мм.

На верхней части цистерн устанавливаются следующие арматура и приборы:

- указатель уровня жидкости;
- предохранительные и вакуумные клапаны;
- запорные вентили во трубопроводах жидкостной и паровой фаз;
- манометры для измерения давления паров газа;
- термометры для измерения температуры сжиженного газа.

Расположение устройств и арматуры на вертикальной цилиндрической цистерне показано на рис. 63.

Указатель уровня жидкости должен устанавливаться так, чтобы можно было легко следить за степенью заполнения цистерны. Обычно применяют поплавковые указатели уровня.

В ССР в цистернах для сжиженного газа применяют, главным образом, для типа поплавковых указателей уровня: визуальный, типа ВУУЖ и дистанционный типа ИУВЦ-ШК.

Визуальный указатель уровня жидкости ВУУЖ предназначен для измерения уровня сжиженных газов в горизонтальных цилиндрических цистернах, находящихся под давлением. Выпускае-

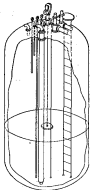


Рис. 65. Расположение арматуры на цистерне.

мые приборы рассчитаны из Гмакс, максимальный уровень не более 2,4 м.

Указатели уровня ИУВЦ-ШК предназначаются для измерения уровня в емкостях больших размеров (высотой до 9 м) с передней помойкой из центральной приборной щит.

Измеритель уровня сложен штабелей и пневматической системой для стационарной передачи показаний, а также специальным механизмом для периодического контроля работы прибора. Подробное описание указанных приборов и принцип их действия дано в работах [10], [33].

Назначением предохранительных клапанов является защита цистерн и связанных с ними систем от недопустимого повышения давления. Возникновение в цистерне чрезмерно высоких давлений может произойти вследствие ряда причин (повышение температуры сжиженного газа, заполнение цистерн газом с более высоким давлением паров, чем расчетное, подача насосом сжиженного газа в уже заполненную цистерну и т. п.).

Наибольшую опасность представляют нагрев цистерны открытым пламенем при пожаре. Резкое повышение давления в этом случае может привести к взрыву цистерны. Предохранительные клапаны в случае пожара должны сбросить всю паровую фазу, образующуюся в емкости. Вторым по степени опасности для грузовых цистерн является случай подачи насосом сжиженного газа в уже заполненную цистерну. Для предотвращения разрыва цистерн предохранительные клапаны должны обеспечивать срабатывание сжиженного газа в таком количестве, которое компенсировало бы его поступление.

В соответствии с действующими в СССР нормами каждая цистерна, работающая под давлением более 0,7 атм, должна быть оборудована двумя предохранительными клапанами: рабочими и контрольными. Проходные сечения обоих клапанов одинаковы. Давление, при котором клапаны срабатывают, устанавливается таким образом, что всегда сначала открывается контрольный клапан, а затем рабочий. Методика расчета предохранительных кла-

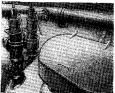


Рис. 66. Предохранительные клапаны из грузовых цистерн судна «Магнит» Р. Шилера.



Рис. 67. Установка термометра для измерения температуры сжиженного газа в вертикальной цилиндрической цистерне.

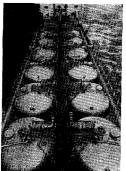


Рис. 68. Вид на верхнюю палубную надстройку б/тгд Н. Шилера.

ланов, а также описание их конструкций приводится в работах [101, 117].

На рис. 66 показаны предохранительные клапаны, установленные на одной из цистерн судна «Маган Р. Вильямс».

Вакуумные клапаны используются в тех случаях, когда при откачке сжиженного газа или в результате резкого снижения температуры наружного воздуха в цистернах может образоваться вакуум.

По требование классификационных обществ к вакуумным клапанам должны присоединяться трубопроводы от баллонов с инертными газами.

Каждая цистерна снабжается манометрами, показывающими давление газа над поверхностью жидкости в цистерне. На манометрах обозначается максимальное и минимальное допустимое давление в цистерне давления.

Для определения температуры сжиженного газа каждая цистерна снабжается термометром, который устанавливается в средней ее части в специальном кармане (рис. 67). Место прикрепления кармана необходимо изолировать с тем, чтобы термометр показывал температуру сжиженного газа в цистерне, а не температуру ее стекла.

Все контрольно-измерительные приборы и арматура должны устанавливаться на цистернах так, чтобы к ним был обеспечен свободный доступ.

На рис. 68 показано взаимное расположение переходного мостика газовоза «Fred H. Billings» и арматуры с контрольно-измерительными приборами на грузовых цистернах.

## § 15

### Грузовая система

Газовозы, как и любые другие суда, оборудуются трапами-балластными и противопожарными системами, а также системами, обеспечивающими нормальные условия жизнедеятельности находящихся на борту людей. Кроме того, газовозы оборудуются рядом специальных систем, необходимость которых обусловлена особенностями перевозимого груза. К их числу относятся грузовая и газоотводная системы, система орошения грузовых цистерн, система подачи в цистерны инертных газов, система поддержания режима хранения сжиженного газа в цистернах и некоторые другие.

Специфические свойства сжиженных газов, являющихся насыщенным жидкостями с малым удельным весом и большой упругостью насыщенных паров, обуславливают отличие грузовых систем газовозов от грузовых систем нефтеналивных судов.

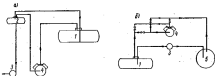


Рис. 69. Принципиальные схемы грузовой системы газовозов, передающей сжиженный газ в цистерны высокого давления: а — с промежуточной цистерной; б — без промежуточной цистерны.

1 — грузовой кран; 2 — промежуточная цистерна; 3 — переключающий клапан; 4 — компрессор; 5 — береговая помпа.

Грузовая система газовоза состоит из жидкостного и парового трубопроводов, насосов, компрессоров и промежуточной цистерны.

На рис. 69, а показана принципиальная схема наиболее распространенной грузовой системы судна, передающего сжиженный газ в цистерны высокого давления. Разгрузка таких судов осуществляется следующим образом. Компрессор отсыпает пары газа из промежуточной цистерны, сжимает их до давления, равного или несколько превышающего давление в грузовых цистернах, и нагнетает в грузовые цистерны. Возникающий перепад давлений между промежуточной и грузовой цистернами заставляет сжиженный газ течь в промежуточную цистерну, из которой он насосом нагнетается в разгрузочную магистраль.

Промежуточная цистерна устанавливается так, чтобы ее выпускное отверстие находилось над всасывающим патрубком насоса не менее чем на 1 м. Уровень жидкости в промежуточной цистерне поддерживается автоматическим регулятором, периодически выключающим насос или компрессор. При повышении уровня в цистерне регулятор останавливает компрессор, а при понижении — насос.

Обычно объем промежуточной цистерны не превышает 10—15 м<sup>3</sup>. Иногда в качестве промежуточной используется обычная грузовая цистерна.

На рис. 69, б показана схема грузовой системы без промежуточной цистерны. В этом случае при выгрузке компрессор отсыпает газ из береговой цистерны, сжимает его и нагнетает в судовую цистерну. За счет подпора давления сжиженный газ непрерывно поступает к откачивающему насосу.

Погрузка сжиженного газа в судовые цистерны осуществляется аналогичным образом.

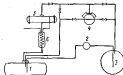


Рис. 70. Принципиальная схема грузовой системы судна, перевозящего газ под давлением с одновременным охлаждением.

1 — цилиндр газов; 2 — вентиль; 3 — насос; 4 — барометр; 5 — компрессор; 6 — цилиндр газа.

стенок цистерны. Согласно предписаниям классификационных обществ, сухотая производительность компрессоров должна обеспечивать сжатие всего экспартирующегося газа. На судне должна быть предусмотрена резервная установка повторного сжатия газа.

На рис. 70 показана принципиальная схема грузовой системы судна, перевозящего газ под давлением с одновременным охлаждением. Более детальная схема грузовой системы газовоза показана на рис. 71 [5].

В грузовых системах газовозов используются специальные насосы, поскольку обычные и, в частности, центробежные насосы, применяемые в грузовых системах танкеров, не могут здесь использоваться в связи с высокой испаряющей способностью сжиженных газов даже при небольшом понижении давления.

Специфика работы насосов при перекачивании сжиженных газов обуславлена необходимостью поддержания на всасывании давления выше упругости насыщенных паров жидкой фазы при максимальной температуре и значительно меньшей вязкостью сжиженных газов во сравнении с другими жидкостями, что требует включения в конструкцию насосов специальных уплотнительных элементов.

Для перекачки сжиженных газов применяют паровые промежуточные, центробежные и вихревые насосы особой конструкции. Основные характеристики грузовых насосов даны в работе [10]. В табл. 31 приведены основные технические данные отечественных стационарных центробежных насосов для перекачки сжиженного газа.

Для перекачки паров сжиженных газов используют азотные компрессоры одноступенчатого и двухступенчатого сжатия, подробные сведения о которых также даны в работе [10].

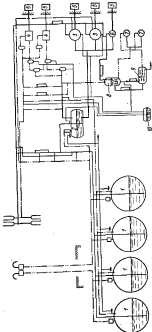


Рис. 71. Схема грузовой системы газовоза «Бургунд».  
1 — цилиндр газов; 2 — вентиль; 3 — насос; 4 — конденсатор; 5 — термометр; 6 — компрессор; 7 — барометр; 8 — подогреватель; 9 — стояк газов.

7 — парогазовый насос; 8 — вспомогательный насос; 9 — парогенератор.

Степень заполнения цистерн сжиженным газом определяется в зависимости от его удельного веса при расчетной температуре (максимальной температуре, которой может достигнуть сжиженный газ в наименее благоприятных условиях нормальной эксплуатации).

Для цистерн, в которых газ перевозится без охлаждения и у которых менее 10% поверхности подвергается воздействию прямых солнечных лучей, расчетная температура принимается равной наибольшей из двух:

- температуры кипения сжиженного газа при давлении, которое приводит к действию предохранительного клапана. Это давление обычно примерно на 10% (или на 0,25 кг/см<sup>2</sup>) выше нормального рабочего давления;

— температуры, определяемой по формуле

$$t = t_0 - \frac{t_0 - t_b}{1.2 + \frac{t}{V^2}}, \quad (59)$$

где  $t_b = 45^\circ\text{C}$  для тропических широт;

$t_0 = 40^\circ\text{C}$  для нетропических широт;

$t_b$  — температура сжиженного газа при погрузке;

$t$  — продолжительность рейса в днях;

$V$  — объем цистерны в м<sup>3</sup>.

Таблица 21

Основные характеристики центробежных насосов для перевозки сжиженных газов

Характеристика	Наряд класса	
	ЧН-класс	БН-класс
Производительность при дифференциальном напоре 400 м вод. ст. в трубе 8—2600 об/min, м <sup>3</sup> /час	48	80—95
Мощность приводного электродвигателя, кВт	25—90	125
Диаметр рабочего колеса, мм	160—220	224—275
Дифференциальный напор, м вод. ст.	360—880	380—780
Коэффициент полезного действия, %	30—53	35—53
Вес насоса, кг	2900	3910
Габаритные размеры, мм:		
длина	3606	4149
высота	1120	1340

В любом случае расчетная температура принимается не выше 30°С для газовозов, плавающих в тропических водах, и не выше 25°С для газовозов, плавающих в других районах.

Для цистерн, у которых воздействие прямых солнечных лучей подвергается более 10% поверхности, расчетная температура должна увеличиваться на 1°С за каждые 10% поверхности сверх этого предела.

В случае оборудования судна системой орошения выступающих над верхней палубой частей цистерн, указанная поправка к расчетной температуре может не заходить.

Для изолированных цистерн расчетная температура определяется в зависимости от теплопроводности изоляции или производительности установки повторного сжигания газа.

Цистерна заполняется сжиженным газом так, чтобы незаполненный оставался объем, составляющий не менее 1% от общего объема цистерны при расчетной температуре.

## § 16

### Типичные газовозы

#### с цистернами высокого давления

Основные элементы наиболее типичных газовозов с цистернами высокого давления приведены в табл. 32.

Наименеешим судном этого типа является газовоз «UHagaz» (рис. 72), предназначенный для транспортировки сжиженного газа через Магелланов пролив [114].

«UHagaz» оборудован одной горизонтальной цилиндрической цистерной длиной 10,34 м и диаметром 3,5 м. Рабочее давление в цистерне равно 16,7 атм, толщина ее стенок составляет 20 мм, а днище — 18 мм. Цистерна весом 24 т возвышается над палубой и не имеет жесткого соединения с корпусом. Непроницаемость соединения цистерны с палубой обеспечивается прокладкой из синтетического каучука, которая устанавливается между полкой коминки палубного выреза и угольником, пришвартованным по периметру цистерны (рис. 58).

Главный двигатель судна — четырехтактный 8-цилиндровый дизель MWM типа RHS 516A мощностью 195 л. с. при 1200 об/мин, соединенный через реверс-редуктор (с передаточным отношением 3 : 1) с трехлопастным гребным винтом диаметром 1350 мм. Вспомогательный дизель мощностью 54 л. с. при 1200 об/мин служит для привода генератора переменного тока мощностью 37,5 кВт, напряжением 380/220 в, а также компрессора производительностью 26 м<sup>3</sup>/час и центробежного насоса производительностью 30 м<sup>3</sup>/час.

Таблица 32

Основные элементы наиболее типичных разработок с цистернами на

Наименование судна	Год постройки и страна-строителя	Вместимость грузовых цистерн, м <sup>3</sup>	Номер судна	Примечание к грузовому отсеку, м	Примечание к грузовому отсеку, м	Главные размерения		
						$L_{\text{ши}}/B$	$A_1 = A_2$	$B_1 = B_2$
1	2	3	4	5	6	7	8	9
Ultrageas	1962 (ФРГ)	98	48	80	23,6	2,9	2,9	
		155	48	75	-			
Alvarado Maru 70 Ds	1963 (Япония)	358	243	654	48,0	3,4	4,0	
		377	199	582	-			
Chita Maru No 3	1964 (Япония)	419	411	841	41,8	3,8	4,2	
		356	-	708	-			
Sibra Tanker	1962 (Дания)	325	450	373	393	3,2	8,7	8,9
		1880	322	447	-			
SL. P. Maru No 3	1962 (Япония)	609	470	326	43,0	9,3	6,8	
		1880	322	268	-			
Chita Maru Tanker	1962 (Япония)	470	415	378	45,9	10,1	6,2	
		1880	378	378	-			
Alkite	1963 (Франция)	729	400	389	489	9,1	8,5	5,2
			398	276	-			
Cap Carbon	1964 (Германия)	834	642	485	1445	21,5	16,1	4,2
		1715	642	1445	-			
SL. P. Tanker	1961 (Дания)	889	603	516	271	58,3	9,8	8,8
		1230	516	272	-			
Detergite	1969 (Франция)	969	584	496	817	56,9	9,2	4,6
		1390	496	808	-			
SL. P. Maru 70 Ds	1966 (Япония)	1 062	654	1007	58,0	10,8	5,8	
		1774	551	537	-			
Uranus	1963 (Испания)	1 105	-	708	1112	58,9	9,9	5,9
			747	-				
Excalibur Maru	1966 (Япония)	1 327	824	1296	63,6	13,4	5,8	
		1698	-	885	-			
Gastor Miharu	1964 (ФРГ)	1 600	1324	-	1119	62,9	12,5	5,8
			524	-				
Cap Perseus	1968 (Франция)	1 968	2268	888	1256	65,4	13,4	5,2
		2268	680	-				
Petroleum Leader	1959 (Италия)	1 738	1149	915	1369	71,6	10,8	5,8
		3533	-	-				

табл. 32-2

роли в ее постройке	Конструктивные особенности					Число бортов	Скорость хода в первоначальном исполнении, узлов	Максимальное плавучее сопротивление, т	Способ приведения в движение	Тип цистерн
	7, м	$L_{\text{ши}}/B$	10, м	9	11					
18	11	19	12	14	15	18	17	35	19	28
1,00	4,5	30,6	2,78	1,25	9,657	9,511	15,8	-	под	перегородчатые цистерны
1,04	3,3	31,1	3,95	1,86	9,700	9,219	17,0	600	дизельным	по зво-
1,5	4,7	9,8	2,82	1,89	8,688	8,256	16,8	559	-	-
1,69	6,8	10,7	2,80	1,79	-	9,932	18,0	480	-	обращенные
1,69	5,4	9,8	2,97	1,23	9,879	9,248	18,0	559	-	перегородчатые цистерны
2,68	4,6	31,8	2,77	1,14	-	9,855	10,5	450	-	перегородчатые цистерны
2,6	6,1	9,8	2,68	1,35	-	9,256	11,0	870	холодильный	перегородчатые цистерны
1,8	3,9	32,6	2,52	1,85	8,715	8,214	11,8	1 060	под	перегородчатые
3,06	6,1	18,8	2,88	1,25	8,680	8,256	12,8	1 060	холодильный	перегородчатые цистерны
3,07	6,9	18,8	2,87	1,33	8,652	8,268	17,3	1 800	турбиной	по зво-
3,79	6,4	18,4	2,88	1,48	8,645	8,236	15,6	550	под	-
4,54	5,9	18,0	2,17	1,28	-	-	12,8	1 180	холодильный	перегородчатые цистерны
6,0	5,3	10,9	2,82	1,36	8,608	8,273	16,6	12,0	дизельным	по зво-
4,78	5,4	11,1	2,42	1,38	-	9,253	12,2	1 448	холодильный	-
5,9	4,8	12,1	2,92	1,41	8,750	9,342	17,3	1 208	под	перегородчатые цистерны
6,9	6,8	12,0	2,52	1,28	8,696	8,289	13,8	1 800	турбиной	по зво-

Продолжение табл. 32.

Название судна	Год постройки и страна-изготовитель	Двигатель, гт	Двигатель, л/с	Главные ма-						ртины и их соотношения						Способ прокладки газа	Тип газера		
				Л	Б	В	М	Л	Б	В	М	Л	Б	В	М				
1	2	3	4	5	6	7	8	9	10	11	12	13	14	15	16	17	18	19	20
«Algiers Queen»	1962 Италия	1 850	2180 2860	895	1050 1360	21,4	21,7	1,7	4,18	8,1	15,9	2,45	1,11	0,896	0,282	13,5	1 950	под	регулятором
«Galaxy» *	1962 Франция	1 850	2270	973	1773 1866	22,8	21,8	0,6	4,78	4,2	13,8	2,95	1,10	0,846	0,246	11,8	2 150	по	газ
«Gaudier»	1965 Франция	2 306	1000	1 090	1 030	24,3	22,0	0,9	4,8	8,2	11,2	2,61	1,03	-	0,858	12,9	2 143	комбиниро-	вованная
«Kerguelan»	1965 Франция	2 088	2393	-	3 000	88,9	15,8	7,5	2,89	8,9	15,7	3,09	1,59	-	0,253	15,5	2 088	сфериче-	ское
«Loyale»	1964 Франция	2 580	2380 3 140	1 500	-	81,0	22,8	6,6	6,8	6,7	12,9	2,78	1,43	0,666	0,249	16,0	2 610	под	газопрови-
«Paul H. Villars»	1963 Германия	3 140	2250	1 700	2 890 3 077	92,0	14,2	7,4	4,98	8,6	12,5	2,89	1,50	-	0,253	12,0	2 180	напорный	газ
«Sagittarius»	1963 Франция	2 602	1878	840	2 782	91,6	14,1	7,3	5,9	8,3	12,6	2,80	1,45	-	0,258	12,8	2 670	комбиниро-	вованная
«Cape Sable»	1965 Франция	2 019	2188	-	2 600	84,9	14,4	6,6	6,1	8,8	16,8	3,80	1,38	-	0,251	14,3	2 689	сфериче-	ское
«Olympe»	1965 Франция	2 830	2650 4 620	2 260	-	93,0	16,8	7,3	5,2	6,6	12,7	3,68	1,43	0,679	0,290	16,8	2 718	-	-
«Petroleo do Ceara»	1963 Бразилия	4 938	3766 3798	2 115	7 385 7 455	108,0	15,8	8,0	5,52	6,6	10,5	3,98	1,53	0,693	0,230	16,0	3 090	под	газопрови-
«Nordfjord»	1962 Франция	4 096	-	2 080	4 037 5 037	109,8	15,3	8,1	4,28	6,5	12,5	3,64	1,30	-	0,214	12,0	3 450	комбиниро-	вованная
«Lavrinen»	1963 Франция	5 250	-	2 890	5 100 5 505	105,7	16,9	8,8	6,26	6,4	15,0	3,16	1,68	-	0,318	15,8	4 288	по	газ
«Nanndiego Brasilia» *	1965 Испания	7 735	5 150	4 205	6 412 5 403	118,5	28,8	16,7	6,38	6,1	11,2	2,98	3,82	-	0,395	16,8	4 508	к	сферический
«Elba Puerto Rico» *	1969 Испания	42 770	53 400 66 795	6 000	26 279 15 440	201,2	27,6	16,3	10,83	7,1	14,1	3,04	1,32	0,278	0,187	16,0	16 800	под	газопрови-

\* Судно, кроме газа, отбирает нефть или нефтепродукты.

На всех указанных типах судов применена дельтовидная установка, за исключением

судна «Elba Puerto Rico», на котором установлена горизонтальная турбина.

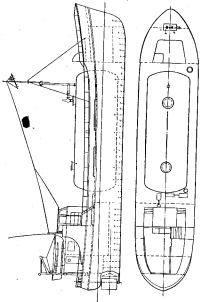


Рис. 72. Газовоз «Штольstrup».

Газовоз «Signe Tholstrup» (рис. 73), построенный в 1967 г. в Даани, оборудован пятью сферическими цистернами диаметром 5,8 м и вместимостью по 105 м<sup>3</sup> каждая [150]. Для приема газового балласта в порожнем рейсе на судне выделены специальные съёмы в днищных бортах и двойном дне.

Главным двигателем судна служит дизель Буренбестер и Вайн мощностью 480 л. с. при 310 об/мин., работающий на винт регулируемого шага. Электроэнергетическая установка состоит из трех дизель-генераторов мощностью по 20 кВт. Разгрузка судна осуществляется одним насосом и двумя компрессорами.

Судно для одновременной перевозки сжиженного нефтяного газа и нефти «Egio Puerto Rico» построено в 1968 г. [185]. Однопалубный трехсторонний (с высоким троном) нефтегазовоз спроектирован в соответствии с требованиями Американского бюро судоходства (рис. 14). Корпус судна имеет продольную систему набора.

Для перевозки сжиженного газа (бутана) используются 58 цистерн, из которых 40 расположены вертикально (в 11 центральных грузовых танках) и 18 (по 9 с каждого борта) — горизонтально (в бортовых танках). Вертикальные цистерны имеют длину 15,5 м, диаметр 5,12 м, вес 64,5 т и имеющие по 271 м<sup>3</sup> сжиженного газа. Горизонтальные цистерны, имеющие длину 10,7 м, диаметр 3,35 м и 3,96 м, имеющие соответственно 82,5 и 112,5 м<sup>3</sup>. Цистерны и обслуживающие их системы спроектированы на давление 10,6 кПа/см<sup>2</sup>. Суммарный вес цистерн составляет около 3500 т, а с учетом фундаментов и подкреплений — 4000 т.

Судно имеет два насосных отделения, одним из которых установлено оборудование для выгрузки сжиженного газа: два паровых насоса, конденсатор, компрессор и сепаратор.

Погрузка и выгрузка нефти осуществляется тремя паровыми центробежными насосами, размещенными в отдельном насосном отделении, где, кроме того, установлены балластный насос и два защищенных паровых паровальных насоса.

Грузовое устройство судна состоит из двух стрел на баке для обслуживания сухогрузного трюма, двух стрел в средней части для работы с грузовыми шлангами, двух стрел на баке и двух стрел на палубе юта для обслуживания кладовых.

Главным двигателем судна служит паровая турбина мощностью 16 000 л. с.

Газовоз «Petróbras Lester» (первоначальное название «Адирбас Тегас») построен в 1969 г. в Италии [145] и является однопалубным судном с баком, ютом и машинным отделением, расположенным в корме (рис. 74).

Корпус судна сырой, за исключением клепанных швов горизонтального киля, скрудиного пояса, ширстрика и стрингерных угольников, и юбки по смешанной системе набора. Днищевой набор усилен продольными и поперечными балками, образующими фундаменты цистерн.

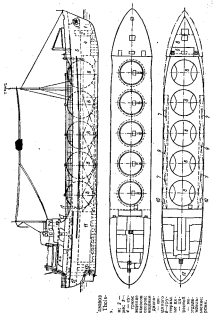


Рис. 73. Газово-газгольдерный танкер.

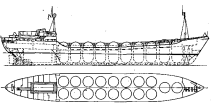


Рис. 74. Танкер «Petrochem Lesor».

Всемицатнадцать цилиндрических цистерн с полусферическими носками изготовлены из специальной стали. Их внутренний диаметр равен 4,2 м, высота двух носовых цистерн — 9,02 м, а остальных — 8,32 м. Вместимость цистерн составляет соответственно 105 и 96 м<sup>3</sup>. Рабочее давление в цистернах равно 18 кП/см<sup>2</sup>, а вес каждой цистерны составляет примерно 33 т.

Главная грузовая магистраль газовоза состоит из двух трубопроводов диаметром 51 мм для газа и парообразом состояния, и двух трубопроводов диаметром 102 мм для сжиженного газа. Предусмотрено пять грузовых приемных патрубков — по два с каждого борта на главной палубе и один в корме на палубе юта. Специальные соединительные муфты позволяют быстро присоединять и отдавать грузовые патрубки при погрузке.

В надстройке юта помещается насосно-компрессорное отделение, где установлено три циркуляционных компрессора типа VSA производительностью по 85 м<sup>3</sup>/час, два центробежных грузовых насоса производительностью по 50 м<sup>3</sup>/час и центробежный насос забортной воды системы охлаждения компрессоров и насосов. Приводные электродвигатели размещены в соседнем отсеке, отделенном от насосно-компрессорного отделения газонепроницаемой переборкой.

Система трубопроводов обеспечивает возможность одновременной погрузки и выгрузки двух сортов груза или перекачки одновидного груза из одной цистерны в другую.

Центральный пост системы обнаружения газа, расположенный в кормовой рубке, соединен с насосным отделением, отдаленным электродвигателем и трюмом. Эти помещения и машинное отделение оборудованы системой упаковочного пожаротушения.

Переходная мостики проходит над грузовыми цистернами от юта до бака, благодаря чему обеспечивается доступ к клапанам и измерительным приборам всех цистерн.

Главным двигателем судна служат четырехтактный дизель МАН типа G9V40/60 с турбонаддувом мощностью 1890 л. с. при 273 об/мин.

Все вспомогательные механизмы газовоза имеют электрический привод. Электроэнергетическая установка состоит из двух дизель-генераторов мощностью по 80 кВт и одного дизель-генератора мощностью 56 кВт. Топливные цистерны рассчитаны на хранение 140 м³ дизельного топлива для главного двигателя и 8 м³ газа для вспомогательных двигателей. Дальность плавания судна составляет 6000 миль, экипаж — 24 чел.

Газово голландской постройки «Fred H. Billips» (рис. 75) предназначена для эксплуатации в Карибском море [154]. Он представляет собой однопалубное судно с двумя дном. Грузовые цистерны, установленные вертикально в двух трюмах из второго дна, проходят через палубу и прикрепляются к комингсам парусов через расширительные компенсаторы. Палуба в районе парусов усиlena.

Трюмы газовоза могут заполняться водяным балластом, двойное исполнение для приема топлива, пресной воды, а также газового балласта. В корпусе от трюмов размещается главный топливный бак и отстойные цистерны, а в нас — балластный цистерн и сухогрузный трюм. Вместимость топливных цистерн составляет 305 м³, балластных — 470 м³ и пресной воды — 146 м³.

Грузовые цистерны имеют диаметр 5,02 м и высоту 9,7 м. Всего на судне установлено 19 цистерн, изготовленных из сасаничной стали (с пределом прочности 32 кГ/км²) и рассчитанных на рабочее давление 17,6 кГ/см² (при испытательном давлении 32 кГ/см²). Толщина обшивки цистерн равна 39 мм, вес каждой цистерны — примерно 58 т. Все выводные трубопроводы, предохранительные клапаны, манометры, а также люк находятся на верхней части цистерн.

Выгрузка сжиженного газа производится двумя воршневыми компрессорами производительностью по 255 м³/час и двумя центробежными насосами производительностью по 240 м³/час.

Насосы и компрессоры установлены на главной палубе в корпусе грузовых цистерн, а приводные асинхронные двигатели — в помещениях, отделенных от насосного газогенерационной переборкой. Грузовая система рассчитана на одновременную выгрузку двух сортов груза, причем для каждого из них предусмотрен отдельный насос и компрессор. По бортам судна установлены приемные патрубки двух трубопроводов для сжиженного газа диаметром 155 мм и двух — для парообразного диаметром 102 мм. На трубопроводах установлены клапаны с пневматическим и ручным приводом. В случае аварии все клапаны могут быть закрыты из насосного отделения.

Грузовая система судна «Fred H. Billips» отличается от грузовых систем большинства газовозов отсутствием промежуточной

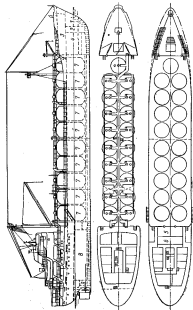


Рис. 75. Газов «Fred H. Billips».  
1 — фронт; 2 — кормовой план; 3 — палуба; 4 — спасательная трап; 5 — продольный разрез; 6 — грузовая палуба; 7 — палуба в районе парусов; 8 — наименование трюмов; 9 — наименование цистерн.

цистерны. Выгрузка сжиженного газа производится пыжими его компрессорами из цистерн к насосам. Такая система требует специальных мер для предотвращения попадания жидкости в компрессоры, каждый из которых имеет со стороны всасывания сепаратор с указателем уровня, выключающим двигатель компрессора в случае повышения уровня жидкости в сепараторе. При погрузке и выгрузке сжиженный газ проходит через фильтр. Уровень жидкости в каждой цистерне определяется специальными уровнями. Избыток газа при повышении давления удаляется из цистерн через фланец с установленным на толе вентилем с мощностью 10 л. с.

Жилые помещения, рассчитанные на 28 чел., расположены в носовой части и оборудованы системой кондиционирования воздуха.

Главным двигателем танкера служит четырехтактный дизель Веркспур типа TMAB5 3910 с турбовоздушной мощностью 2100 л. с. при 275 об/мин. Электроэнергетическая установка состоит из трех генераторов мощностью по 160 квт с приводом от дизелей мощностью 196 л. с. при 1200 об/мин.

Первый японский газовоз «Л. Р. Мару № 1» (рис. 76) осуществляет перевозки сжиженного газа (бутадиена) между японскими островами [130]. Около 550 т сжиженного бутадиена хранятся на судне в 13 вертикальных цилиндрических цистернах высотой по 7,0 м, одиннадцать из которых имеют диаметр 4,1 м, а две — 3,0 м. Цистерны рассчитаны на давление 7 кГ/см<sup>2</sup>, что соответствует температуре бутадиена плюс 45° С.

Разгрузка судна осуществляется насосом производительностью 75 м<sup>3</sup>/час и компрессором производительностью 200 м<sup>3</sup>/час, которые установлены в насосном отделении, размещенном в носовой части судна. К насосу сжиженный газ поступает из приемной трубы цистерны вместимостью 20 м<sup>3</sup>, расположенной над насосным отделением. Для охлаждения выступающих над палубой верхних частей цистерн предусмотрена система орошения.

Главным двигателем судна служит дизель Харима-Зульцер типа 6TAD 24 мощностью 3600 л. с. при 388 об/мин (максимальная мощность 630 л. с. при 400 об/мин).

Электроэнергетическая установка судна состоит из трех дизель-генераторов мощностью по 90 квт, вырабатывающих переменный ток напряжением 225 в.

Вместимость топливных цистерн составляет 44 м<sup>3</sup>, балластных — 260 м<sup>3</sup>, цистерн пресной воды — 70 м<sup>3</sup>. Суточный расход топлива равен 2,3 т.

Дальность плавания судна составляет 3900 миль, экипаж насчитывает 29 чел.

Японский газовоз «Пропан Мару № 1» (рис. 77) представляет собой однопалубное судно с трюком в районе грузового пространства. Сжиженный газ перевозится в четырех горизонтальных ци-

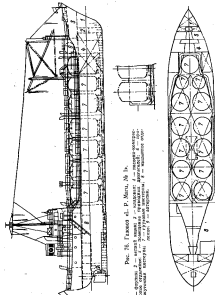
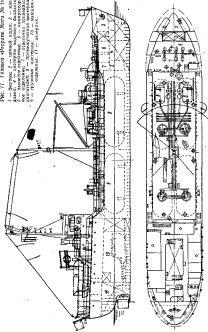


Рис. № Газовоз «Л. Р. Мару № 1».  
1 — фундамент; 2 — мачта главная; 3 — мачта маневровая; 4 — приемник-деконденсатор; 5 — насосное отделение; 6 — зонтичные приемники; 7 — резервуары пресной воды; 8 — насосные установки; 9 — мачта маневровая; 10 — котлы 6.

Рис. 77. Газовоз «Прима» № 18.



цилиндрических цистернах, горловины которых выведены на палубу [148]. Две цистерны имеют длину 12,0 м, диаметр 3,2 м и вместимость 89,5 м<sup>3</sup>. Две другие цистерны имеют ту же вместимость, однако длина их равна 10,3 м и диаметр 3,5 м. Цистерны рассчитаны на давление 20 кПа/см<sup>2</sup>, толщина обшивки составляет 44 мм. Вес каждой цистерны равен 40 т.

Разгрузка судна осуществляется насосом производительностью 75 м<sup>3</sup>/час и компрессором производительностью 130 м<sup>3</sup>/час. Главным двигателем газовоза служат 6-цилиндровый дизель Бурмейстер и Вайс мощностью 610 л. с. при 294 об/мин (максимальная мощность 720 л. с. при 310 об/мин). Электроэнергию вырабатывают два дизель-генератора мощностью по 52 кВт и один дизель-генератор мощностью 16 кВт. Дальность плавания судна составляет 2400 миль, экипаж насчитывает 22 чел. На газовозе предусмотрена углекислотная система пожаротушения.

Судно «Л. Р. Маги № 25» (рис. 78) предназначено для перевозки пропана и бутана из района Аден в порты Восточной Африки и Красного моря [140].

Для перевозки 270 т пропана или 320 т бутана используются три горизонтальных цилиндрических цистерны длиной 23,4 м, диаметром 3,4 м и емкостью 202 м<sup>3</sup> каждая (одна установлена на верхней палубе и две — в трюме). Цистерны рассчитаны на давление до 18 атм и изготовлены из высокопрочной стали с пределом прочности 60 кПа/см<sup>2</sup>. Вес каждой цистерны составляет 85 т.

При погрузке оставшийся в цистернах от предыдущего рейса газ перепускается по специальному трубопроводу в береговые скважины. Если отход остаточных газов на берег невозможен, скаженный газ при загрузке начальное подается в нижние цистерны, откуда остаточные газы всасываются в верхнюю цистерну. За счет охлаждения верхней цистерны орошением забортной водой поступающие в нее остаточные газы сжижаются. Заполнение верхней цистерны осуществляется в последнюю очередь.

Разгрузка сжиженного газа проводится с помощью насосов и компрессоров через промежуточную цистерну, в качестве которой используется верхняя грузовая цистерна. Таким образом, разгрузка газовоза начинается с верхней цистерны.

Для разгрузки газа используются два центробежных насоса производительностью по 50 м<sup>3</sup>/час с электроприводами мощностью по 30 кВт, обеспечивающих напор в 8 кПа/см<sup>2</sup>, и два одноступенчатых поршневых компрессора производительностью по 130 м<sup>3</sup>/час при перепаде давления 1,7 кПа/см<sup>2</sup> с электроприводами мощностью по 19 кВт.

Главным двигателем судна служит дизель Нингата максимальной мощностью 650 л. с. Электроэнергетическая установка судна состоит из двух дизель-генераторов переменного тока мощностью по 100 кВт при напряжении 225 в. Экипаж судна 19 чел.

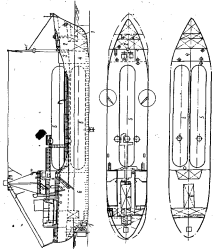


Рис. 78. Газовоз «R. Mar»  
1 — фундамент; 2 — котельно-турбинные установки; 3 — десульфатные установки; 4 — насосные агрегаты; 5 — компрессорные установки; 6 — магистральные склады.

Итальянский газовоз «Agipress Quarcia» (рис. 79) предназначен для перевозки пропана, бутана и бутандиена в 18 цилиндрических цистернах диаметром 4,28 м. Высота двух из них равна 9,02 м, остальных — 8,32 м [156]. Цистерны рассчитаны на давление 17,6 кг/см<sup>2</sup>, толщина стеков 35 мм, вес — около 32 т. Объем каждой из двух больших цистерн 112 м<sup>3</sup>, остальные имеют емкость по 100 м<sup>3</sup>. Грузоподъемность судна по пропану составляет 835 т, по бутану — около 1000 т.

Главным двигателем газовоза служит дизель Фиат типа С368S мощностью 1920 л. с. при 250 об/мин. Электроэнергетическая установка состоит из трех дизель-генераторов: двух мощностью по 100 квт и одного 70 квт.

Судно для перевозки сжиженных газов и этиленового бензина «Galibee» (рис. 80) построено для чилийских судовладельцев [153]. На судне установлено 14 цилиндрических вертикальных цистерн, которые рассчитаны на переноску пропана при температуре до  $-160^{\circ}\text{C}$ . Ацетиленовый бензин перевозится в танках, расположенных в средней части судна. Цистерны для газа изготовлены из стали с пределом прочности 53 кг/мм<sup>2</sup> и испытаны при давлении около 26 кг/см<sup>2</sup>.

В качестве главного двигателя на судне используется дизель МАН типа В6V30/45 мощностью 1400 л. с. при 320 об/мин.

Судно «Petrobras Oeste» (рис. 81) является первым газовозом из трех построенных в Японии для бразильской компании Petrobras. В 17 вертикальных цилиндрических цистернах газовоза, расположенных в два ряда, перевозятся 1810 т пропана или 2175 т бутана. Высота цистерн составляет 10,9 м, диаметр 5,85 м, суммарная емкость 4030 м<sup>3</sup>. Они рассчитаны на давление 18 ата.

Материал цистерн — сталь К-0 с пределом прочности 80 кг/мм<sup>2</sup>, толщина стеков равна 27 мм, вес одной цистерны составляет около 42 т.

С целью улучшения остойчивости на судно принято 160 т твердого балласта. Вместимость балластных цистерн на газовозе составляет 480 т, а топливных — 361 т.

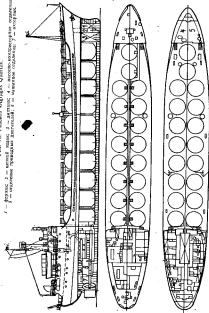
Главным двигателем судна служат дизели Baurmester и Вайк типа 650VTB7-110 мощностью 3000 л. с. при 162 об/мин (максимальная мощность 3450 л. с. при 170 об/мин). Электроэнергетическая установка состоит из трех дизель-генераторов перевозимого топлива мощностью по 210 квт при напряжении 445 в.

Выгрузка сжиженного газа осуществляется при помощи четырех центробежных электрических насосов производительностью по 100 м<sup>3</sup>/час с напором 6 кг/см<sup>2</sup> и двух поршневых компрессоров производительностью по 500 м<sup>3</sup>/час с перепадом давления 3 кг/см<sup>2</sup>.

Экипаж судна — 29 чел.

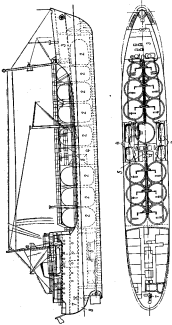
Первые советские газовозы «Когумс» (рис. 82) и «Краснодар» предназначены для перевозки сжиженного газа в четырех сферических цистернах вместимостью по 520 м<sup>3</sup>, имеющих диаметр 10,0 м

Рис. 79. Гардии «Франс».



1 — фронт; 2 — корма; 3 — днище; 4 — междудонные переборки; 5 — навалочные склады; 6 — котельная; 7 — крановая площадка; 8 — каюты пасс.

Рис. 80. Опытный судно «Ильмарине».



1 — фронт; 2 — корма; 3 — междудонные переборки; 4 — тяжелые склады; 5 — грузовые отсеки; 6 — котельная; 7 — крановая площадка; 8 — каюты пасс.; 9 — междудонные отсеки.

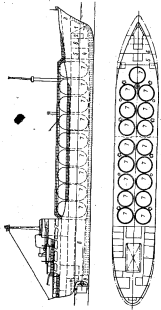


Рис. 81. Глубина спрятанного оружия.  
1 — фундамент; 2 — цистерны хранения; 3 — погреба; 4 — баки моторные; 5 — турбогенераторные; 6 — отсеки для хранения боеприпасов; 7 — магазины боеприпасов; 8 — магазин боеприпасов.

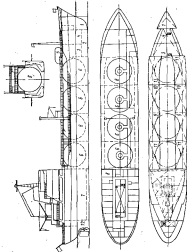


Рис. 82. Период спрятанного  
ракетного оборудования.  
1 — баки масел; 2 — баки газа; 3 —  
нагнетательные насосы; 4 — сгораемые топливные  
баки; 5 — турбогенераторные; 6 — отсеки для хранения  
боеприпасов; 7 — магазины боеприпасов;  
8 — отсеки для хранения боеприпасов; 9 — магазин боеприпасов; 10 — баки газа; 11 — магазин боеприпасов; 12 — электротехнические.

[6]. Цистерны изготовлены из стали с пределом прочности  $60 \text{ кг/мм}^2$  и рассчитаны на давление  $18 \text{ кг/см}^2$ .

Балластные цистерны общей емкостью  $1180 \text{ м}^3$  расположены в двойных бортах. Емкость топливных цистерн каждого судна составляет  $620 \text{ м}^3$ , дальность плавания — 10 000 миль.

Разгрузка сжженного газа осуществляется двумя насосами производительностью по  $300 \text{ м}^3/\text{час}$  и двумя компрессорами производительностью по  $500 \text{ м}^3/\text{час}$  через промежуточную цистерну.

В качестве газовых двигателей на судах используются двигатели Зульцер 6TAD48 мощностью 2080 л. с. при 224 об/мин (максимальная мощность 2400 л. с. при 235 об/мин). На каждом судне установлено три дизель-генератора мощностью по  $114 \text{ квт}$  и аварийный дизель-генератор мощностью  $32 \text{ квт}$ , вырабатывающие переменный ток напряжением  $400 \text{ в}$ .

Экипаж каждого газовоза — 38 чел.

В 1962 г. авторами этой книги был разработан проект газовоза с цилиндрическим корпусом [25], основным преимуществом которого является повышенный почти в одну треть коэффициент утилизации водокоммиважа по грузоподъемности.

Судной вид этого судна показан на рис. 83.

Судно имеет следующие основные размеры и характеристики:

Длина, м	
избыточная	101,0
между перегородками	92,0
Ширина, м	14,0
Высота борта, м	8,0
Осадка, м	5,4
Водонизмещение в погонном грузу, т	4860
Дедвейт, т	5900
Мощность электрической установки, л. с.	2500
Скорость хода, узл.	11,25

По сравнению с аналогичным по размерам судном, оборудованном вертикальными цилиндрическими цистернами, перевозимый газовоз может перевозить за один рейс примерно на  $650 \text{ т}$  ( $-37\%$ ) груза больше.

Газовоз «Descartes» (рис. 84) является первым в мире судном, предназначенным для перевозки сжиженных газов комбинированным способом, т. е. под давлением с одновременным охлаждением [135]. «Descartes» — однокватовое, однопалубное, двухтрубное судно с баком и ютом с двойными дном по всей длине, а втором находятся пресная вода, топливо и балласт. Корпус судна оборудован по повторной системе лабора.

Сжиженный газ (бутан и пропан) перевозится в 8 цилиндрических горизонтальных цистернах, из которых 6 установлены в грузовых трюмах, а 2 — на верхней палубе. Две нижние Кормовые и верхние цистерны предназначены для перевозки бутана и рассчитаны на рабочее давление  $9 \text{ кг/см}^2$ . Остальные цистерны

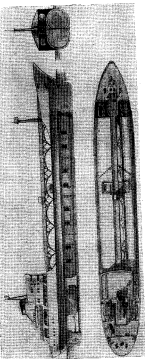


Рис. 83. Судно с цилиндрическим корпусом.

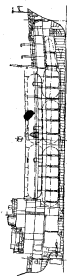


Рис. 85. Газовоз «Мидоджес Бенгаль».

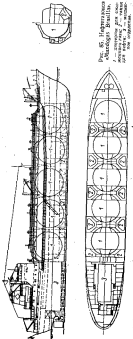


Рис. 85. Нагородов В.А.  
«Midodges Bengali»  
1 — газовые цистерны; 2 — краны для выгрузки газа из цистерн;  
3 — краны для выгрузки газа из танков;

расчитаны на перевозку как бутана, так и пропана. При перевозке пропана цистерны охлаждаются хладогенной установкой, состоящей из трех компрессоров, причем в качестве хладоагента используется сжиженный пропан.

Разгрузка газовая осуществляется с помощью двух центробежных насосов производительностью по 85 м<sup>3</sup>/час и компрессора, установленных в специальном помещении в носовой части судна.

Газовоз «Descartes» оборудован автоматической системой обнаружения утечки газа, которая при помощи звуковой и световой сигнализации оповещает команду о подтекании газа и трюмах или помещениях азотнодизельных двигателей.

Главным двигателем судна служат 12-цилиндровый четырехтактный реверсивный дизель 12PA2 с задувкой мощностью 1000 л. с. (максимальная мощность 1200 л. с.).

Электроэнергетическая установка судна состоит из двух генераторов переменного тока мощностью по 120 ква при напряжении 380/400 в., имеющих в качестве приводов четыре дизеля типа DK4J общей мощностью 320 л. с.

Экипаж судна — 12 чел.

Нефтегазовоз «Мидоджес Бенгаль» (рис. 85) построен в 1961 г. Пять грузовых цистерн судна, предназначенных для перевозки сжиженного газа, имеют сферическую форму. При рабочем давлении 2,7—3,1 мпа температура пропана в цистернах не должна быть выше минус 12,2° С [142]. Соответствующее охлаждение цистерн обеспечивается двумя рефрижераторными установками производительностью 200 и 375 тыс. ккал/час.

Грузовые цистерны газовоза длиной 14,5 м с толщиной стоков 15,5/21 мм изготовлены из стали с 9%-ным содержанием никеля и изолированы сваркой полипропиленовым пенопластом, который покрыт пропитанными смолой стекловолокном. Выступающие над верхней палубой части цистерн закрыты металлическим кожухом.

При 97%-ном заполнении цистерны они имеют объем 4200 м<sup>3</sup> пропана, Нефть или нефтепродукты в количестве 1400 м<sup>3</sup> перевозятся в алюминиевых танках, установленных между грузовыми цистернами для сжиженного газа.

Благодаря специальному спроектированным обводам корпуса в носовой части цистерн над верхней палубой использование полуподводного пространства судна в районе грузовых трюмов удалось довести до 80%.

Разгрузка сжиженного газа на нефтегазовозе производится жестко насосами (по одному на каждую цистерну) производительностью по 300 м<sup>3</sup>/час при напоре 4,9 кПа/см<sup>2</sup>. Предусмотрена возможность одновременной разгрузки нефти (или нефтепродуктов) и сжиженного газа.

Разгрузка нефти обеспечивается двумя насосами производительностью по 60 м<sup>3</sup>/час.

Главным двигателем судна служат дизель Гётцерка ДМ 680/1500 мощностью 4500 л. с. при 112 об/мин.

Электроэнергетическая установка судна состоит из трех дизель-генераторов мощностью по 375 кВт, вырабатывающих ток напряжением 440 в. В качестве приводов к генераторам используются дизели Листер-Блекстоу с турбонаддувом мощностью по 416 л. с. при 720 об/мин.

Экипаж нефтегазовоза — 41 чел.

Газовоз «Lili Thalstrøm» (рис. 86) предназначен для перевозки пропана, бутана и аммиака в двух горизонтальных цилиндрических цистернах, расположенных в трюмах в диаметральной плоскости судна. Цистерны вместимостью 440 м<sup>3</sup> пропана, 505 м<sup>3</sup> бутана или 530 м<sup>3</sup> аммиака. Они изолированы снаружи минеральной ватой и рассчитаны на перевозку газов при температуре плюс 10° С, которой соответствует давление паров пропана 6,5—7,0 атм. Длина каждой цистерны равна 16,5 м, диаметр 6,3 м и вес 60 т. Толщина стенок составляет 19,5 мм.

Рефрижераторно-компрессорная установка поддерживает в цистернах постоянную температуру сжиженного газа.

Главным двигателем судна служит дизель МАН типа 8ZU421 максимальной мощностью 1250 л. с. при 375 об/мин.

Разгрузка сжиженных газов осуществляется тремя компрессорами и двумя насосами производительностью по 40 м<sup>3</sup>/час каждый.

Экипаж судна состоит из 16 чел.

Норвежский газовоз «Nordfonna» (рис. 87) предназначен для перевозки пропана, бутана и аммиака в шести изолированных горизонтальных цилиндрических цистернах, рассчитанных на рабочее давление 6,6 кг/см<sup>2</sup>, что соответствует температуре пропана плюс 5° С [44]. Бутан и аммиак в сжиженном виде могут перевозиться под давлением 6,6 кг/см<sup>2</sup> при более высокой температуре. Четыре из установленных на судне цистерны размещены в трюме, две — на верхней палубе.

Разгрузка сжиженного газа осуществляется насосами производительностью по 100 м<sup>3</sup>/час и компрессорами.

В качестве главного двигателя используется 6-цилиндровый дизель Бурмейстер и Вайи типа 50VTBF10 мощностью 3450 л. с. при 170 об/мин. Экипаж судна состоит из 34 чел.

Французский газовоз «Laybrière» (рис. 88) отличается от описанных газовозов наличием днищевых бортов и дающей дни для приема водяного балласта.

На судне установлено 6 изолированных горизонтальных цистерн, рассчитанных на перевозку сжиженного газа при давлении 6,3 кг/см<sup>2</sup> и температуре плюс 5° С. Две цистерны диаметром 6,35 м и суммарной вместимостью 1570 м<sup>3</sup> размещены на верхней палубе. Остальные четыре цистерны общей вместимостью 3600 м<sup>3</sup> установлены в двух трюмах.

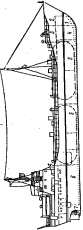


Рис. 86. Газовоз «Lili Thalstrøm».  
1 — фарват; 2 — погонные стекла;  
3 — трап; 4 — грузовая люк;  
5 — грузовая дверь; 6 — грузовой люк;  
7 — краны; 8 — киперды.

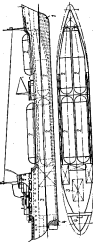


Рис. 87. Газовоз «Nordfonna».  
1 — фарват; 2 — погонные стекла;  
3 — трап; 4 — грузовая люк;

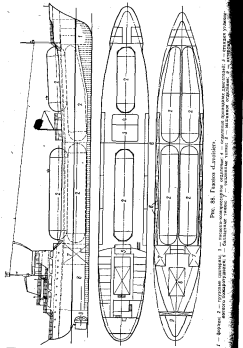


Рис. 88. Газовик «Gaston Micard».  
1 — горизонтальные цистерны; 2 — погонные цистерны; 3 — балластные цистерны; 4 — грузовые трубы; 5 — газовые трубы; 6 — вспомогательные трубы; 7 — магистральные трубы; 8 — магистральные подачи; 9 — газовый компрессор; 10 — генераторы; 11 — дизели; 12 — соединение.

Для охлаждения подаваемого с берега на судно сжиженного газа на судне предусмотрена специальная рефрижераторная установка производительностью 50 м³/час пропана, охлажденного с 30 до 5° С.

Разгрузка газовоздуха осуществляется тремя компрессорами и четырьмя насосами производительностью по 135 м³/час.

Два главных двигателя судна — 6-цилиндровые дизели Пильстик максимальной мощностью по 2130 л. с. при 430 об/мин — работают за один гребной вал через редуктор, снижающий скорость вращения до 170 об/мин.

Электроэнергетическая установка судна состоит из трех дизель-генераторов мощностью по 320 квт, вырабатывающих трехфазный переменный ток напряжением 450 в. Дальность плавания газовоза составляет 3250 миль, экипаж — 26 чел.

На газовозе «Gaston Micard» (рис. 89) сжиженный газ перевозится в 6 горизонтальных цилиндрических цистернах, изготовленных из стали с пределом прочности 38 кН/м² и рассчитанных на рабочее давление 9 кГ/см² [134]. Толщина стеков цистерн равна 18 мм, а сферический днище — 17 мм. Все цистерны имеют по три пропускные переборки, установленные с целью уменьшения площади свободной поверхности жидкого газа. В центральной части каждой цистерны имеется горловина, на крышки которой установлены приемные штуцеры грузовой системы, контрольно-измерительные приборы и три предохранительных клапана. Цистерны установлены на общие деревянные металлические фундаменты.

На шести грузовых цистернах четыре размещены в трюме, а две — на верхней палубе.

Поскольку цистерны рассчитаны на перевозку сжиженного газа при температуре, не превышающей 24° С (соответствующий давление пропана 9 кГ/см²), должна быть обеспечена их изоляция. Она выполняется из слоя минеральной ваты толщиной 70 мм, закрытого алюминиевыми листами. Верхние цистерны покрыты, кроме того, слоем вспененного полиэтилена толщиной 5 мм. Газовоз «Gaston Micard» способен для приема сжиженного газа при любой температуре и давлении.

Разгрузка судна производится тремя электронасосами производительностью по 220 м³/час и тремя компрессорами производительностью 220 м³/час.

Главный двигателем газовоза служит 8-цилиндровый дизель мощностью 1440 л. с. при 330 об/мин (максимальная мощность 1680 л. с. при 350 об/мин). Судовая электростанция состоит из трех дизель-генераторов мощностью по 187 квт.

Испанский газовоз «Vascor» (рис. 90) построен в соответствии с требованиями Büro Veritas и эксплуатируется между Каспийским озером и портами Бискайского залива и Средиземного моря [132].

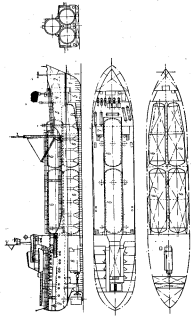


Рис. 89. Глубоководная подводная лодка проекта 6-200.  
1 — броневая палуба; 2 — межпалубное пространство; 3 — межпалубные перегородки; 4 — межпалубные стяжки; 5 — антена;  
6 — спасательный шлюз; 7 — гидравлический цистерн.

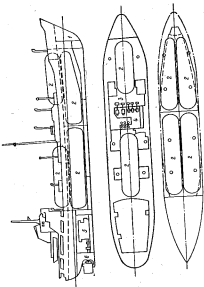


Рис. 90. Глубоководная подводная лодка проекта 6-200.  
1 — броневая палуба; 2 — межпалубное пространство; 3 — межпалубные перегородки; 4 — межпалубные стяжки; 5 — антена;

Сжиженный газ перевозится из судна в 6 горизонтальных цилиндрических цистернах диаметром 4,25 м, рассчитанных на давление 9 кГ/см<sup>2</sup>. Длина каждой пары цистерн равна соответственно 20, 18 и 16,2 м. Две пары цистерн размещены в двух трюмах и одна пара — на верхней палубе. Каждая цистерна изолирована полиуретановым пенопластом и слоем асбеста толщиной 50 мм.

В насосно-компрессорном отделении, расположенным на верхней палубе в средней части судна, установлено три компрессора и два насоса производительностью по 100 м<sup>3</sup>/час. Приводные элек-тродвигатели находятся в отдельном помещении и соединяются с компрессорами и насосами валами, проходящими через газонепроницаемые переборочные скользунки.

Главный двигатель судна — бипланировый реперенный дизель MWM типа TBRH-348 с турбонаддувом мощностью 1300 л. с. при 375 об/мин и промежуточное соединение с гребным винтом. Для дизель-генераторов имеют мощность по 160 ква.

## Глава IV

### Особенности судов, перевозящих охлажденные нефтяные газы при температуре кипения

#### § 17

##### Конструкция корпуса

Суда, перевозящие сжиженный газ при охлаждении до температуры кипения, как правило, имеют двойное дно и продольные переборки, отделяющие бортовые балластные отсеки.

В носовой и кормовой частях грузового пространства обычно устраивают коффердамы. Поперечные переборки в грузовых помещениях могут быть одинарными, если они изготовлены из ходорустопрочной стали, не теряющей свои прочностные свойства при низкой температуре в случае утечки газа из цистерн.

Цистерны должны проектироваться и устанавливаться так, чтобы сжиженный газ был отделен от элементов набора корпуса по крайней мере двумя непроницаемыми стенками. Вторая стена может быть неметаллической. Ее можно не предусматривать, если свойства сжиженного газа или конструкция изоляции не допускают охлаждения элементов набора ниже минус 5° С (в случае изготовления корпуса из обычной углеродистой стали).

Грузовые цистерны устанавливаются на фундаментах такой формы, которая обеспечивает равномерную концентрацию внешней и корпусных конструкций и цистерн. Кроме фундаментов цистерны должны иметь подкрепление с обеих сторон, передающие набору судна усилия, возникающие, например, при бортовой и кильевой качке судна.

Фундаменты и подкрепления должны допускать некоторое смещение грузовых цистерн при охлаждении.

Передача холода к судовым конструкциям через элементы фундаментов и подкреплений должна быть минимальной с тем, чтобы

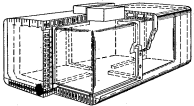


Рис. 91. Конструкция корпуса газовоза в районе грузового пространства.

температура корабельных конструкций, изготовленных из обычной углеродистой стали, была не ниже минус 5° С.

На рис. 91 показана конструкция корпуса газовоза, имеющего дно и двойные борта в районе грузового пространства. Крепление цистерн на этом судне обеспечивается специальными рамами, смонтированными на переборках, настое двойного дна и под палубой и охватывающими цистерну в продольном и попечном направлениях.

## § 18

### Цистерны. Материалы для их изготовления. Изоляция

При перевозке охлажденного до температуры кипения сжиженного газа обычно применяют прямоугольные цистерны, позволяющие наиболее полно использовать кубатуру грузового пространства.

При определении размеров грузовых цистерн в расчет принимается удельный вес сжиженного газа, рабочее давление предохранительных клапанов (принимаемое обычно равным 0,15—0,20 кг/см<sup>2</sup>) и ускорение, возникающее при ходе судна.

Величина ускорения и максимальные напряжения в конструктивных элементах цистерн, возникающие при плавании судна в море, регламентируются классификационными обществами. Подробно об этом рассказано в § 29.

При расчете цистерн следует учитывать также возможность плавания температурных изоляций при их заполнении сжиженным газом.

Пример детального расчета цистерн приведен в § 29. Там же подробно рассмотрены проблемы выбора материала для изготовления цистерн и изоляции. Здесь излагаются лишь некоторые общие сведения, касающиеся конструкции цистерн и изоляции.

Цистерны для перевозки сжиженных нефтяных газов с температурой выше минус 50° С могут изготавливаться из стали, близкой по своим свойствам к обычным углеродистым сталью, но подвергнутых специальной термической обработке с целью повышения их вязкости при низкой температуре. Для этой цели можно использовать такие легированные стали с содержанием никеля 1,5—2,5%.

Изоляция цистерн и внутренней поверхности танков должна обладать высокими изолирующимися качествами. Главное требование к изоляционному материалу заключается в том, чтобы он был негорючим, устойчивым против действия влаги и перевозимого сжиженного газа, имел низкую теплопроводность.

Абсолютно негорючими такие изолационные материалы, как плавка и стеклянная вата, однако они имеют малую прочность и высокую гигроскопичность. Бальзовое дерево при сравнительно хороших изолирующих качествах обладает высокой прочностью. Оно обладает еще и тем положительным свойством, что проникающий в капилляры жидкий газ при нагревании испаряется и образует газовую подушку, препятствующую дальнейшему проникновению жидкости. Однако бальзовое дерево имеет сравнительно высокую стоимость.

Полиэтилен, и полипропилен при неизначительном объемном весе обладают хорошими изолирующими свойствами, они достаточно выстойчивы и имеют высокую прочность на сжатие.

Общая прочность изолационного покрытия зависит от выбора его конструкции. Если изоляция выполняется в виде листов, то большое неудобство создает проблема заделки стыков. За последние годы достигнуты большие успехи в использовании в качестве изолационных материалов полиуретановых пенопластов. В частности, найдены способы нанесения их на изолируемую поверхность путем распыления.

Толщина изоляции должна выбираться такой, чтобы температура обшивки и элементов корпуса судна была не ниже установленной правилами классификационных обществ. При изготавливании корпуса судна из обычной углеродистой стали обшивка во правилами Английского Регистра Ллойда не должна иметь температуру ниже минус 1° С, когда в грузовых цистернах сохраняется рабочая температура и температура воздуха составляет плюс 4,5° С, а по правилам Французского Бюро Веритас — не ниже минус 5° С.

Арматура цистерн для перевозки охлажденного газа практически не отличается от арматуры цистерн высокого давления. Принципы ее разминизации также остаются теми же.

## § 19

### Грузовая система. Использование испаряющегося газа

Грузовая система судов, перевозящих охлажденный сжиженный газ, обычно состоит из трубопроводов для жидкости и газа и насосов. В каждой цистерне устанавливается один погружной насос, имеющий привод с верхней палубы. При разгрузке погружные насосы подают сжиженный газ к установленным на верхней палубе центробежным насосам, которые перекачивают газ на берег.

Подача сжиженного газа на судно производится береговыми средствами. Перед погрузкой грузовые цистерны освобождаются от воздуха путем подачи в них инертного газа. Для этой цели на судне предусматривается небольшая цистерна с жидким инертным газом. Продолжая через испаритель, газ поступает в цистерну и вытесняет оттуда воздух (рис. 92). Обычно эта операция выполняется перед первой загрузкой судна, а в последующем в цистерне все время остается некоторое количество испаряющегося сжиженного газа, благодаря чему поступление атмосферного воздуха в цистерну не происходит.

Необходимость повторения этой операции возникает после осмотра цистерны или при замене транспортируемого груза.

После удаления атмосферного воздуха цистерну необходимо охладить до температуры сжиженного газа. Для этого весь камзак цистерны оборудуется системой расширения жидкого газа. Поступающий через эту систему сжиженный газ испаряется и охлаждает внутреннее пространство цистерны. После этого он отводится из цистерны к рефрижераторной установке, где сжимается и вместе направляется в цистерну. Схема охлаждения грузовой цистерны перед погрузкой показана на рис. 93.

Конструкция грузовых трубопроводов, по которым перекачивается охлажденный сжиженный газ, должна допускать их смятие, обусловленное режимами колебанием температуры. Кроме того, они должны иметь надежную теплоизоляцию. Материалы, применяемые для изготовления трубопроводов грузовой системы, а также насосов, клапанов и другой арматуры, должны сохранять свои основные прочностные свойства в условиях низких температур.

Даже самая безупречная изоляция не может полностью исключить подъем темпа в цистернах, а следовательно, предотвратить испарение сжиженного газа. Испарение усиливается от

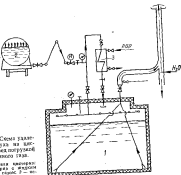


Рис. 92. Схема удаления воздуха из цистерн перед погрузкой сжиженного газа.  
1 — грузовая цистерна; 2 — цистерна с жидким инертным газом; 3 — испаритель.

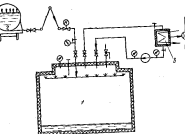


Рис. 93. Схема охлаждения цистерны перед погрузкой сжиженного газа.  
1 — грузовая цистерна; 2 — цистерна со сжиженным газом; 3 — испаритель.

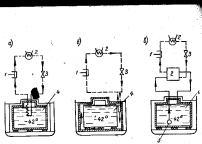


Рис. 94. Возможные схемы охлаждения газовоздушного газа непосредственно в цистерне.  
1 — компрессор; 2 — конденсатор; 3 — дроссельный клапан; 4 — герметичная запорная арматура; 5 — вентиль.

возмущенная жидкость при качке судна. Его можно свести к минимуму при том условии, если груз охлажден настолько, что проникающее в грузовые цистерны тепло не доводит сжиженный газ до температуры кипения. Этот способ сокращения груза может быть экономически оправдан лишь при перевозке газа на небольшие расстояния, когда продолжительность рейсов невелика.

Избежать испарения газа можно также путем его охлаждения непосредственно в цистерне. На рис. 94 показаны некоторые возможные схемы такого охлаждения. Схема 'а' предусматривает охлаждение груза заморожком, установленным в цистерне. В схеме 'в' сжиженный газ забирается из цистерн и прокачивается насосом через теплообменник, установленный на верхней палубе, который, в свою очередь, подключен к системе охлаждения.

Перечисленные методы сокращения потерь груза от испарения некономичны, так как они связаны с большим расходом энергии. Более целесообразным с этой точки зрения является повторное сжжение испаряющегося газа и возвращение его в цистерну. На рис. 95 показаны возможные схемы повторного сжжения нефтяного газа.

По схеме 'а' испарившийся газ вначале сжимается и нагревается, а затем поступает в холодильник, проходит через дроссельный клапан, затем, расширившись, сжижается и при температуре кипения снова возвращается в цистерну.

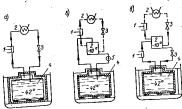


Рис. 95. Возможные схемы повторного сжжения нефтяного газа.  
1 — компрессор; 2 — конденсатор; 3 — дроссельный клапан; 4 — герметичная запорная арматура; 5 — вентиль.

По схеме 'б' испарившийся газ проходит через обслуживающий холодильную установку конденсатор, где он сжижается и с помощью насоса возвращается в цистерну.

По схеме 'в' испаряющийся газ перед поступлением в конденсатор сжимается и затем при температуре сжжения превращается в жидкое состояние. После прохождения дроссельного клапана происходит расширение газа и охлаждение его сжжения, при этом давление падает до атмосферного. В этом случае холодильная установка может быть меньше по производительности и цене, чем сравниваемая с холодильной установкой, примененной в схеме 'а'.

Каждая из приведенных схем повторного сжжения имеет свои преимущества и недостатки. Выбор наиболее целесообразного варианта зависит от конкретных условий транспортировки газа.

Если испарение газа в рейсе предполагать нельзя, то наиболее простой способ его удаления заключается в выпуске в атмосферу. Однако такой способ весьма нежелателен для парироносных нефтяных газов, поскольку они тяжелее воздуха.

Весьма эффективно применение непарировочного газа в качестве топлива для главных двигателей судов, перевозящих этот газ. Идеальным было бы использование испаряющегося газа непосредственно в газовой турбине. Использование его в качестве топлива для джетов паротурбинных установок не вызывает больших затруднений.

Использование испаряющегося газа для судовых двигателей внутреннего горения несколько сложнее. В связи с этим

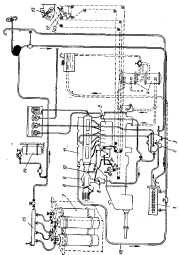


Рис. 96. Система обогрева-  
тепловоза Авара 3Д6, работа-  
ющей на сжиженном газе.  
1 — газовый насос (газоподкачивающий);  
2 — газовый фильтр; 3 — газовая магистраль;  
4 — газовый клапан; 5 — газовый датчик; 6 — газовый подогреватель; 7 — газовый кран; 8 — газовый насос (газоподкачивающий); 9 — газовый фильтр; 10 — дизельный двигатель; 11 — газовый подогреватель (газоподкачивающий); 12 — газовый кран; 13 — газовый насос (газоподкачивающий); 14 — газовый фильтр.

представляет интерес опыт Каспийского пароходства по применению сжиженного газа для судовых дизелей, описанный в работе [19].

Исследования возможности применения сжиженного нефтяного газа в судовых дизелях были начаты в Барроходстве в 1953 г. В настоящее время такой способ использования сжиженного нефтяного газа уже практически применяется при эксплуатации судовых двигателей.

По сравнению с обычными видами жидкого топлива сжиженный газ обладает не только большими экологическими, но и весьма важными технико-эксплуатационными преимуществами. Газовое топливо отличается хорошими антидетонационными свойствами, поэтому двигатели с принудительным зажиганием могут работать при высокой степени сжатия. Ценное свойство газового топлива заключается в способности полностью и беззмяко есторять при широком диапазоне изменения нагрузки, значительной форсировке и при колебаниях состава рабочей смеси топлива с воздухом. Последнее объясняется хорошим перемешиванием газа с воздухом.

Рабочая смесь газового топлива не содержит жидких фракций. Поэтому при его полном сгорании смазочное масло не разжижается и не смывается со стенок цилиндра (разложение и пригорание смазки отрицательно сказываются на работе двигателя). При эксплуатации двигателей на газовом топливе расход картерного масла снижается, а срок работы смазки в циркуляционной системе увеличивается примерно в два раза.

Как показал опыт эксплуатации, применение газового топлива позволяет повысить мощность двигателя на 15—20 %. При этом дизель легче работает при длительной перегрузке, его параметры не выходят за пределы нормально допустимых, горючее отличается бесцветностью. Кроме того, отмечается значительное повышение износостойкости, увеличение моторесурса двигателей.

На рис. 96 показана система, обслуживающая дизель ЗД6 мощностью 150 л. с., работающий на сжиженном газе. Этот дизель установлен на одном из булерей Бакинского порта.

Подробные данные о переоборудовании дизелей для работы на сжиженном газе изложены в работах [19], [89].

## § 20

### Суда, перевозящие сжиженные нефтяные газы при температуре кипения

В табл. 33 приведены основные элементы и характеристики газовозов, предназначенных для транспортировки нефтяного газа при температуре кипения и оборудованных прямоточными испаряющими цистернами.

Таблица 32

Основные элементы и характеристики газовозов, транспортирующих

Название судна	Год вступления в строй- ства	Вместимость га- за стрик в куб. м <sup>a</sup>	Длина судна, м	Грузоподъемность по бортам, тн	Рекомендуемая аварий- ная скорость (занос), кн/с	Главные ре- зультаты		Служебный таб., обложенный до температуры кипения						Министерство транспорта, д. с.		
						$L_{\text{д}} + L_{\text{п}} +$ $\frac{L}{3}$	$R_{\text{д}}$	$M_{\text{д}}$ , тн	$T_{\text{д}}$ , м	$\frac{L_{\text{д}} + L_{\text{п}}}{D}$	$\frac{L_{\text{д}} + L_{\text{п}}}{H}$	$\frac{R}{T}$	$\frac{R}{T}$	$R$	$R_{\text{д}}$	
«Eve Centre Atmo-	1960 <sup>b</sup> (ФРГ)	8 750	—	4630	—	3 330	4 036	—	—	111,6	14,7	—	—	—	—	1 480
«Geboku Maru» *	1961 (Япония)	8 470	49 810 82 350	4 968	29 846 29 946	—	—	—	—	112,0	14,4	—	—	—	—	14 380
«Nischi Maru» *	1962 (Япония)	9 470	22 876 31 359	5 580	16 643 11 559	—	—	—	—	117,0	19,8	—	—	—	—	3 259
«Norge»	1966 (Норвегия)	19 980	8 170	14 330	6 300	8 040	—	—	—	126,0	19,3	—	—	—	—	8 000
«Troya Maru»	1963 (Япония)	12 350	22 330	7 300	15 670 11 870	—	—	—	—	117,0	19,9	—	—	—	—	3 258
«William R. Green»	1964 (Голландия)	12 320	9 850	—	7 400	10 800 8 060	—	—	—	112,7	19,7	—	—	—	—	9 800
«Paula Endemite»	1964 (Нидерланды)	24 760	25 620	14 350	—	19 040 18 250	—	—	—	106,7	55,0	—	—	—	—	13 936
«Bridgewater Maru	1962 (Япония)	19 490	25 680 58 060	17 800	20 880 12 480	—	—	—	—	125,8	20,9	—	—	—	—	11 800
26. 24	«Bridgewater Maru	1964 (Япония)	35 700	25 680	—	20 700	—	—	—	176,3	23,5	—	—	—	—	11 600
26. 25	«Akizumai Maru»	1965 (Япония)	46 558	29 860 45 810	37 000	29 100 19 980	—	—	—	190,0	29,0	—	—	—	—	13 680
26. 26	«Bridgewater Maru»	1965 (Япония)	46 760	25 800	—	25 480	—	—	—	186,0	28,0	—	—	—	—	11 600
Проект фирмы «Finnmarin»	—	27 680	16 920	—	15 650	—	—	—	—	176,6	26,4	—	—	—	—	11 848

<sup>a</sup> Судно, кроме скаженного газа, перевозит нефть.<sup>b</sup> На судах «Eve Centre Atmo» и «Troya Maru» применяется турбонагнетатель.

термическая установка, на всех остальных — дизельная.

Первое крупное судно такого типа «Gohshu Maru» (рис. 97) предназначено для одновременной перевозки примерно 5000 т сжиженного газа и 36 000 т нефти [182]. Грузовое пространство судна двумя продольными и 11-ю поперечными пакетами переборками разделено на 36 танков, причем в пяти центральных танках установлены изолированные цистерны для сжиженного газа, изготовленные из никелевой стали. Для увеличения объема цистерны корпус газовоза вышлюплен с тронком.

Главным двигателем судна служит 8-цилиндровый дизель Бурмейстер и Вайс типа 84-VTBF-180 мощностью 14 300 л. с. при 104 об/мин (максимальная мощность 16 800 л. с. при 110 об/мин). Электроэнергию вырабатывают три генератора мощностью по 340 кВт.

Вместимость тепловозных цистерн (3220 м<sup>3</sup>) позволяет газовому судну проплыть до 18 000 миль.

Экипаж судна состоит из 60 чел. Стоимость постройки газовоза составляет примерно 2,75 млрд. иен (т. е. на 25% больше стоимости танкера такой же длины).

Судно для перевозки сжиженных газов и нефти «Nissequi Maru» (рис. 98) переоборудовано из танкера типа Т-2, построенного в 1946 г. [183]. Переоборудование заключалось в замене грузовой части судна с сохранением носовой и кормовой оконечностей.

Судно имеет три цистерны для сжиженных нефтепродуктов грузоподъемностью по 1800 т, расположенные в средней части судна между бортовыми, носовыми и кормовыми танками для нефти. Две цистерны предназначены для пропана, а одна — для бутана.

Цистерны изготовлены из ходостойкой стали и изолированы спаружи пенополиуретаном. Внутри цистерн поддерживается температура минус 40° С. Испаряющиеся газы подвергаются повторному сжижению специальной рефрижераторной установкой, расположенной в кормовой части судна.

Погрузка газовоздух осуществляется через ресивер, в котором происходит охлаждение и склонение газа; после чего, с помощью конденсационного насоса, газ подается в грузовые цистерны.

Кроме сжиженного газа, судно может перевозить до 15 000 т нефти.

На газовозе «Nissequi Maru» применяется турбогенераторная установка мощностью 7250 л. с. при 97 об/мин.

Стоимость переоборудования танкера в газовоз составила примерно 3,89 млн. долл.

Судно «Toyouki Maru», как и «Nissequi Maru», переоборудовано из танкера типа Т-2, однако, в отличие от первого судна, на нем во всех центральных танках установлены цистерны для сжиженного газа. Для нефти предназначены 8 бортовых танков. Грузоподъемность судна «Toyouki Maru» по газу составляет 7100 т, а по нефти — 14 500 т [184].

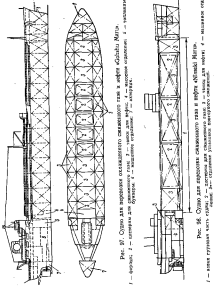


Рис. 97. Судно для перевозки сжиженного газа и нефти «Gohshu Maru». 1 — днище; 2 — палуба 2м; 3 — палуба 3м; 4 — палуба 4м; 5 — палуба 5м; 6 — палуба 6м; 7 — палуба 7м; 8 — палуба 8м; 9 — палуба 9м; 10 — палуба 10м; 11 — палуба 11м.

Переоборудование танкера Т-2 заключалось, как и в предыдущем случае, в замене средней части судна. Стоимость переоборудования составила 4,58 млн. долл.

Сжиженный газ на судне «Toyoza Maru» перевозится в четырех прямоугольных изолированных цистернах, изготовленных из специальной хладостойкой стали.

Газовоз «Esso Centro America» (рис. 99) переоборудован из стандартного американского танкера Т-1 грузоподъемностью 4000 т и длиной 96 м. Переоборудование, как и в предыдущих случаях, заключается в замене грузовой части танкера [127].

Грузоподъемность газовоза по генплану составляет 3220 т, а по аммиаку — 3740 т.

Для перевозки сжиженного газа на судне служат четыре цистерны, изготовленные из никелевой стали, покрытые спаружи теплоизоляцией толщиной 10 см. В отличие от аналогичных газовозов (например, «Bridgestone Maru»), которые имеют двойные борта и двойное дно, предохраняющие парижную обшивку от попадания жидкого газа в случае разрыва цистерны и разрушения изоляции, судно «Esso Centro America» имеет лишь двойное дно. Для предотвращения возможного разрушения корпуса при случайном попадании на нее сжиженного газа придано экономически оправданное изготовление борта, второе дно и поперечные переборки из хладостойкой стали с содержанием никеля 3,5%.

Для уменьшения прихода тепла в трюмы судна от верхней палубы она защищена изнутри дополнительным слоем изоляции.

Каждая грузовая цистерна имеет длину 15,25 м, ширину 12,5 м и высоту 7,6 м. Внутри цистерн установлены проницаемая поперечная и непроницаемая продольная переборки.

Горловины цистерн, на которых установлена вся арматура и квартетные пробеги, имеют длину 5,8 м, ширину 3,7 м и высоту 1,5 м. Все трубопроводы и арматура загрузочно-разгрузочной системы изготовлены из хладостойкой стали, имеющей вязкость до 50 кПа при температуре минус 51°C не менее 2,5 кг/см<sup>2</sup>.

Разгрузка судна производится погруженными электронасосами, которые подают сжиженный газ к четырем грузовым насосам, перекачивающим его в береговые емкости. Разгрузка длится около 10 час.

Для уменьшения потерь груза от испарения на судне предусмотрена двухступенчатая рефрижераторная установка повторного сжижения, работающая на фреоне-22.

Шведский газовоз «Raid Endasott» (рис. 100) предназначен для транспортировки бутана, пропана, бутадиена и аммиака между США и Западной Европой [144].

Корпус судна имеет двойные дно, борта и надлубу. Сжиженный газ перевозится в 5 трюмных цистернах, изготовленных из никелевой стали. Поверхность внутреннего корпуса покрыта блошинами полипропиленовой ваты толщиной 100 мм. Пространство между

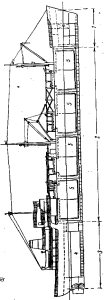
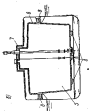


Рис. 98. Танкер «Esso Centro America»: 1 — до-  
полнительная палуба; 2 — изолиро-  
ванный танк; 3 — обшивка.  
1 — верхняя палуба; 2 —  
изолированный танк; 3 —  
изолированная обшивка;  
4 — изолированная палуба;  
5 — борта; 6 — транс-  
версы; 7 — киль.



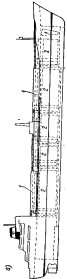
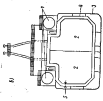


Рис. 100. Газовая система судна.  
1 — баллон для газа; 2 — подача газа в цистерны;  
3 — краны для изолации цистерн; 4 — изолированные цистерны для сжиженного газа; 5 — кран для слива конденсата из цистерн; 6 — второй борт; 7 — кран для слива конденсата из цистерн; 8 — кран для слива конденсата из цистерн.



цистернами и изолированным внутренним корпусом достаточно для проведения осмотра цистерн и изоляции. Это пространство в рясе заполняется инертным газом, который вырабатывается генератором, установленным в машинном отделении. Инертный газ используется также для вытеснения воздуха из грузовых цистерн перед погрузкой.

С целью уменьшения свободной поверхности груза в цистернах устроены трюмы. Все цистерны, кроме первой, разделены посередине непроницаемой продольной переборкой, а кроме четвертой — проницаемыми поперечными переборками. Длина каждой большей цистерны составляет 30 м, емкость ~7200 м<sup>3</sup>.

В носовой части судна установлены две цистерны емкостью по 80 м<sup>3</sup>, в которых под давлением хранится сжиженный газ, предназначенный для охлаждения грузовых цистерн с помощью спироклерной системы перед их загрузкой или после опорожнения.

Испаряющийся в процессе перевозки газ (в количестве около 0,5% в сутки) повторно сжимается в рефрижераторной установке и возвращается в грузовые цистерны. Эта же установка используется для охлаждения циркулирующего вокруг грузовых цистерн газа, снижающего температуру в цистернах до минус 7° С, при которой может перевозиться сжиженный бутан.

Грузоподъемность судна при перевозке проэана составляет 13 700 т, а при перевозке аммиака — 15 800 т.

Для выгрузки газа используются 10 выгрузочных насосов с гидравлическим приводом (по два на цистерну) производительностью по 160 м<sup>3</sup>/час.

Все приборы, контролирующие состояние сжиженного газа в цистернах, сосредоточены в рубке в средней части судна; их показания дублируются на ходовом посту.

Главный двигатель газового судна — 8-цилиндровый дизель типа К278/140 мощностью 10 350 л. с. при 118 об/мин. Суточный расход топлива составляет 40 т.

Электроэнергетическая установка судна состоит из четырех дизель-генераторов мощностью по 500 квт; экипаж насчитывает 44 чел.

Судно для перевозки сжиженного аммиака «William R. Grace»\* (рис. 101) предназначено для эксплуатации на линии о. Тринидад — порты США и Европы (152). Судно построено в соответствии с правилами Американского бюро судоходства и Береговой охраны США.

Аммиак перевозится на газовом при температуре минус 33,3° С и атмосферном давлении в четырех изолированных прямоугольных цистернах. Изоляция цистерн рассчитана на перевозку сжиженного проэана при температуре минус 42° С. Грузоподъемность судна по аммиаку составляет 8165 т.

\* Второе однотипное судно — «J. R. Grace».

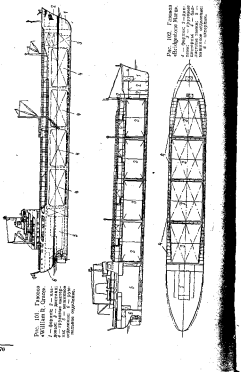


Рис. 101. Газовоз  
«William R. Gause».  
1 — дверь; 2 — киль;  
3 — фермы; 4 — палуба;  
5 — погрузка газа;  
6 — газоходы;  
7 — газопроводы.

Рис. 102. Газовоз  
«Bridgeside Matrix».  
1 — фермы; 2 — палуба;  
3 — газоходы; 4 — газопроводы;  
5 — цистерны для газа; 6 — киль.

Рис. 103. Газовоз «Bridgeside Matrix № 2».  
1 — фермы; 2 — палуба; 3 — балки; 4 — цистерны для газа; 5 — киль; 6 — артерии.

Газовоз «William R. Gause» имеет двойное дно и борта, пространство между внутренним корпусом и грузовыми цистернами во время рейса заполняется избыточным газом. Избыточный газ используется также для вытеснения остатков перевозимого газа (газа холода) из цистерн при переносе вида груза.

Наибольшая цистерна имеет длину 21 м, ширину 16,0 м, высоту 9,25 м и вместимость ~3400 м<sup>3</sup>.

Сухогрузный трюм в носовой части судна рассчитан на перевозку до 300 т твердых химикатов. Трюм обслуживают две стrelы грузоподъемностью по 3 т.

Главный двигатель судна — дизель МАН типа K8270/120 мощностью 9600 л. с. при 145 об/мин. Запасы топлива, равные 1000 т, позволяют газовозу совершать плавания на расстояния до 15 000 миль.

Судовая электротехническая установка состоит из трех дизель-генераторов мощностью по 580 квт. Пар для судовых нуждрабатывается утилизационным котлом производительностью 1,2 т/час. Экипаж судна насчитывает 38 член.

Газовоз «Bridgeside Matrix» (рис. 102) — первое в мире судно, предназначенное для перевозки только охлажденного сжиженного газа. Судно эксплуатируется на линии Кувейт—Япония №291.

Сжиженные охлажденные газы (в количестве примерно 8505 т пропана и 8143 т бутана) перевозятся в четырех вакуумных цистернах, изготовленных из хладоустойчивой никелевой стали и имеющих наружную теплоизоляцию из стекловолокна. Наибольшая цистерна имеет длину 26,8 м, ширину 22,0 м и высоту 13,4 м. В каждой цистерне установлены одна продольная неприводимая и одна проникаемая поперечная переборки.

Разгрузка сжиженного газа производится в погружной насосами (по два на каждую цистерну) суммарной производительностью 8000 л/час.

Испаряющийся в процессе эксплуатации газ подвергается повторному сжижению и вновь возвращается в цистерны. В си-



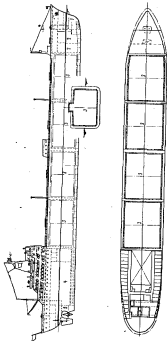


Рис. 104. Проект газового флота ГЭнергии.  
I — форпик; II — донглик; III — поперечные цистерны; IV — кильевые сидоры; I — астракон.

систему повторного скважинного входит пять рефрижераторных установок (четыре на каждую палубу и одна — запасная). Судно «Bridgestone Magis» имеет двойные борта и двойное дно, рассчитанное на прием 10 600 м<sup>3</sup> подвижного балласта.

Главный двигатель газовоза — дизель МАН типа K92/78/140 мощностью 11 000 л. с. при 112 об/мин (максимальная мощность 13 000 л. с. при 118 об/мин). Запас топлива на судне составляет 2300 т, дальность плавания — 20 000 миль. Судовая электротехническая установка состоит из трех дизель-генераторов мощностью по 450 кВт. Стоимость постройки судна — около 9,5 млн. долл.

За три года эксплуатации судна «Bridgestone Magis» не отмечалось серьезных аварий, если не считать неполадок в насосах. В первый год эксплуатации насосы выходили из строя 20 раз из-за наличия воды и примесей в сжиженном газе, а также из-за неудовлетворительного выбора материала для подшипников. В последние годы они работали безотказно.

При постройке газовозов «Bridgestone Magis № 2» (рис. 103) и «Bridgestone Magis № 3» был учтен опыт эксплуатации головного судна. Вместимость их цистерн была увеличена, а конструкция упрощена, в частности, отказались от устройства двойных бортов [130]. Стоимость постройки судов «Bridgestone Magis № 2» и «Bridgestone Magis № 3» уменьшилась соответственно до 7,1 и 5,3 млн. долл.

В проекте газовоза большой грузоподъемности (рис. 104), разработанного фирмой Гетаверен, предлагается устанавливать четыре изолированные цистерны, разделенные посередине перегородками продольными переборками и отделенные одна от другой коффердамами [188]. Коффердамы предполагается использовать для приема подвижного балласта в порожнем рейсе. Балласт применяется также в бортовых цистернах. Общая емкость балластных танков составляет 9000 м<sup>3</sup>, а толщина цистерн — 2400 м<sup>3</sup>.

## Глава V

### Особенности судов, перевозящих сжиженный метан

§ 21

#### Конструкция корпуса

В соответствии с принципами классификационных обществ (Английского Регистра Ллойда, Французского Бюро Веритас и др.) метановозы должны иметь двойное дно и две непрерывные продольные переборки, образующие внутренний корпс. Поперечные переборки в районе грузового пространства «двоенные», с коффердамом между ними шириной не менее одной ширины. По концам грузового пространства также устраиваются коффердамы.

Коффердамы, двойное дно и двойные борта используются для приема водяного балласта в порожнем рейсе таким образом, чтобы осадка посом газовоза была равна по крайней мере 3% длины корпуса.

На всех металловозах энергетическая установка должна размещаться в корме.

Обично требуется, чтобы конструкции и размеры элементов набора метановозов соответствовали требованиям правил для танкеров. Общая прочность метановоза считается достаточной, если момент сопротивления эквивалентного бруса соответствует минимальному моменту сопротивления танкера аналогичных размеров.

Напряжения в корпусе метановоза за такой воде в грузу весьма малы вследствие относительно небольшого действия и локально равномерного распределения груза по длине судна.

По правилам Французского Бюро Веритас требуется, чтобы момент сопротивления палубы метановоза был не менее величины, определенной по формуле

$$\Psi = K \cdot B (\delta + 0,70), \quad (60)$$

где  $\Psi$  — момент сопротивления корпуса судна на уровне линии палубы или тронка (за вычетом момента сопротивления бимсов для судов с непрерывной тронковой палубой),  $m^3$ ;

$B$  — ширина судна,  $m$ ;

$\delta$  — коэффициент общей полноты, соответствующий подонижению судна в грузу;

$K$  — коэффициент, определяемый в зависимости от длины судна следующим образом:

Длина судна,  $m$  . . . 150 150 160 170 180 190 200 210 220

Коэффициент  $K$  . . . 0,162 0,195 0,227 0,265 0,306 0,341 0,400 0,453 0,510

Момент сопротивления длины метановоза должен быть не меньше момента сопротивления палубы, увеличенного на 5%.

При выборе марки стали для днища, бортов, пирстека и палубы пользуются рекомендациями, разработанными для танкеров. Однако следует учитывать, что корпус метановоза можно изготавливать из обычной судостроительной стали только в том случае, если конструктивные элементы судна не изолируются ниже температуры минус 1°C при температуре метана минус 161°C.

К материалу продольных переборок, второго дна и поперечных переборок предъявляются особые требования, поскольку именно эти конструкции будут подвергаться воздействию низких температур в случае нарушения изоляции грузовых цистерн. Поэтому в качестве материала указанных конструкций должна использоваться специальная сталь, обладающая достаточной прочностью в условиях глубокого охлаждения. В некоторых случаях можно использовать и обычную судостроительную сталь, но при этом необходимо соблюдать особые меры предосторожности. В частности, следует предусмотреть в случае нарушения изоляции грузовых цистерн (или в случае опасности нарушения изоляции) возможность немедленного затопления сажного балластного отсека с тем, чтобы температура корабельных конструкций могла поддерживаться на приемлемом уровне.

Состоимие изоляции на судне контролируется термопарами, связанными с системой сигнализации и установленными на продольных и поперечных переборках, а также во втором дне, с таким расчетом, чтобы расстояние между ними не превышало 6 м. На метановозе длиной около 180 м (рис. 106), например, должно быть установлено около 300 термопар.

Фундаменты и подкрепления должны устраиваться так, чтобы грузовые цистерны имели некоторую свободу смещения при разных колебаниях температуры. Кроме того, если фундаменты и подкрепления изготовлены из обычной судостроительной стали, необходимо поддерживать их температуру на уровне не ниже минус 1°C.



Рис. 106. Конструкция корпуса цистерны.

## § 22

### Определение размеров и расчет прочности цистерн

При определении размеров цистерн и их вместимости следует учитывать то обстоятельство, что с увеличением емкости цистерн эффективнее используется изоляция (при прочих равных условиях). Дело в том, что емкость цистерн зависит от их линейных размеров в третьей степени, а изолируемая поверхность — от линейных размеров во второй степени. На рис. 106 показана зависимость суточного испарения сжиженного метана от объема цистерн. Из анализа приведенных кривых следует, что для уменьшения испарения газа до рациональных пределов (0,2—0,4%) в сутки от грузоподъемности судна) емкость каждой цистерны должна составлять не менее  $1000 \text{ м}^3$ .

При установке больших цистерн упрощается их теплоизоляция и уменьшаются протяженность и вес трубопроводов грузовых систем. Вместе с тем облегчается контроль за состоянием цистерн в процессе эксплуатации.

Наряду с этим с увеличением емкости цистерн возрастает свободная поверхность груза, что ведет к более интенсивному испарению метана, если не будут применены конструктивные мероприятия по его ограничению (например, устройство тронки). Кроме того, увеличиваются динамические нагрузки на стены цистерн и усложняется проектирование и изготовление цистерн, а также конструкирование их опор вследствие возрастающих температурных деформаций.

На грузовые цистерны со сжиженным метаном в процессе эксплуатации воздействуют следующие статические и динамические нагрузки, которые необходимо учитывать при расчете прочности цистерн и их опор:

1. Гидростатическое давление жидкости и давление испаряющегося газа.
2. Вертикальные усилия, возникающие при качке.
3. Горизонтальные продольные усилия, возникающие при кильевой качке.
4. Горизонтальные поперечные усилия, возникающие при бортовой качке.
5. Ударные нагрузки, вызываемые перемещением жидкости груза при качке.
6. Температурные напряжения, возникающие в стенах цистерн во время их заполнения и опорожнения.

После заполнения стальной цистерны длиной 10 м сжиженным газом, имеющим температуру минус  $160^\circ\text{C}$ , происходит сокращение длины цистерн на 20—25 мм. По некоторым данным [73] за весь период эксплуатации газовоза грузовые цистерны испытыва-

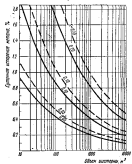


Рис. 106. Зависимость супутного изгибаания  
своиметрии металла от объема цистерны при  
различных коэффициентах теплопроводности  
металла А.

— — промышленные цистерны; — — — опытные цистерны; 2 — толщина настилки.

$\frac{\alpha}{\Gamma} \cdot 10^3$ , $10^{-6} \text{ м}^2/\text{К}^2$	$\delta$ , $10^3 \text{ кг}/\text{м}^2$	$J$ , $\text{м}$
0,30	0,80	0,30
	0,60	0,30
	0,40	0,30
	0,34	0,30
0,18	0,80	0,12
	0,60	0,12
	0,40	0,12
	0,34	0,10
0,06	0,80	0,05
	0,60	0,05
	0,40	0,05
	0,34	0,05

вают около 20 циклов переходов температур в диапазоне 180°C (от плюс 20° до минус 160°C), и около 160 циклов — в диапазоне порядка 100°C.

Так как температурные напряжения в цистернах не возникают при равномерном охлаждении стек, необходимо проводить предварительное охлаждение цистерн перед погрузкой с помощью внутренней системы орошения, а также оставлять некоторое количество метана в цистерне (около 5%) на время балластного перехода.

Опыт эксплуатации первых экспериментальных метаногазовозов «Methane Réservoir» и «Beaufort» позволил оценить нагрузки, действующие на цистерны со скаженным метаном, и сформулировать требование классификационных обществ к прочности этих цистерн. В частности, Французское Бюро Веритас требует определять размеры грузовых цистерн с учетом установочного давления предохранительных клапанов, плотности перевозимого груза (не ниже 0,45 т/м<sup>3</sup>) и нагрузок, действующих на корпус во время хода судна. Ускорение, возникающее при движении судна в море, должно приниматься равным 0,207 радиан<sup>2</sup> при бортовой качке (с амплитудой 30° и периодом 10 сек.), 0,084 радиан<sup>2</sup> при

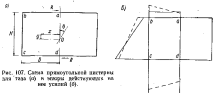


Рис. 107. Схема приложенной нагрузки  
к танку (а) в зоне действующих на  
нее усилений [6].

камповой качке (с амплитудой 6° и периодом 7 сек.) и 0,77  $\frac{L}{300}$  м/сек<sup>2</sup> при вертикальной качке (с амплитудой  $\frac{L}{30}$  и периодом 8 сек.).

При указанных условиях максимальные напряжения в корпусных конструкциях не должны превышать наименьшую из следующих величин: 0,75σ<sub>0</sub> и 0,375σ<sub>0</sub>, при температуре плюс 20°C и 15,5 кГ/мм<sup>2</sup> для обычной углеродистой стали.

Выполненные на судах замеры динамических нагрузок при качке показали, что они превышают нагрузки от гидростатического давления примерно на 50%.

При выполнении расчетов прочности цистерн необходимо уловить обратиться к тому, что максимальные напряжения от гидростатической нагрузки, соответствующей давлению столба воды высотой 2,4 м над верхней частью цистерн (или 0,6 м над люком гордами, смотря по тому, какая величина больше), не превышают допустимых напряжений, указанных в предыдущем абзаце.

В качестве примера ниже приведен расчет прочности цистерны для скаженного метана, изображенной на рис. 105.

В результате бортовой качки с амплитудой 30° и периодом 10 сек. (см. выше) на цистерну действует пара сил (рис. 107)

$$RH = \frac{0,207J}{\delta}, \quad (61)$$

где  $R$  — усилие, действующее за цистерну в месте ее крепления к опоре (реакция опоры);

$J$  — момент инерции площадки поперечного сечения цистерны;

$H$  — высота цистерны;

$g$  — ускорение силы тяжести.

Отсюда

$$R = \frac{0,207J}{\mu g}. \quad (62)$$

Из-за несовпадения центра тяжести цистерны с центром вращения судна появляются дополнительные линейные ускорения, равные соответственно

$$H_R = 0,207g \quad (63)$$

$$V_R = 0,207x, \quad (64)$$

где  $H_R$  и  $V_R$  — дополнительные ускорения в горизонтальном и вертикальном направлениях;

$x$  и  $y$  — отстояние центра тяжести цистерны от продольной оси, проходящей через центр вращения судна (см. рис. 107).

Аналогичным образом дополнительное ускорение, возникающее от несовпадения центра вращения судна при креновой качке с центром тяжести цистерны, равно

$$V_p = 0,084z, \quad (65)$$

где  $z$  — отстояние центра тяжести цистерны от центра вращения судна.

Ускорение от вертикальной качки определяется выражением

$$V_H = \frac{L}{80} \cdot \frac{4g^2}{3} \cdot \sin^2 \theta. \quad (66)$$

Суммарное ускорение, действующее в вертикальном и горизонтальном направлениях, также можно выразить в долях ускорения силы тяжести ( $g$ ), т. е.

$$V_R + V_p + V_H = ug, \quad (67)$$

$$H_R = hg. \quad (68)$$

Тогда динамические нагрузки, действующие в различных точках цистерны (рис. 107), определяются следующим образом:

— в точке  $a$

$$\rho'_a = \rho + \left[ \left( \frac{l}{2} \sin 6^\circ (1 + v) + H \sin 30^\circ h \right) \gamma \right], \quad (69)$$

— в точке  $b$

$$\begin{aligned} \rho'_b = \rho + & \left[ \left( \frac{l}{2} \sin 6^\circ + B \sin 30^\circ \right) (1 + v) + \right. \\ & \left. + (B \cos 30^\circ + H \sin 30^\circ) h \right] \gamma, \end{aligned} \quad (70)$$

— в точке  $c$

$$\begin{aligned} \rho'_c = \rho + & \left[ \left( \frac{l}{2} \sin 6^\circ + H \cos 30^\circ + B \sin 30^\circ \right) (1 + v) + \right. \\ & \left. + B \cos 30^\circ h \right] \gamma. \end{aligned} \quad (71)$$

— в точке  $d$

$$\rho'_d = \rho + \left[ \left( \frac{l}{2} \sin 6^\circ + H \cos 30^\circ \right) (1 + v) \right] \gamma. \quad (72)$$

Здесь  $\rho$  — установочное давление предохранительных клапанов;  $u$  — удельный вес перевозимого газа.

Статические нагрузки в соответствующих точках цистерны будут равны:

— в точках  $a$  и  $b$

$$\rho_a = \rho_b = 0,24 \text{ кг/см}^2;$$

— в точках  $c$  и  $d$

$$\rho_c = \rho_d = (H + 0,24) \text{ кг/см}^2.$$

В рассматриваемом примере (рис. 105) цистерна имеет длину 12,2 м, высоту 13,7 м и ширину 10,7 м. Отстояние центра тяжести цистерны от центра вращения судна выражается следующими цифрами:  $x = 5,35$  м;  $y = 1,83$  м;  $z = 50,30$  м.

Длина судна составляет 177 м, удельный вес перевозимого газа — 0,425 кг/м<sup>3</sup>, а установочное давление предохранительных клапанов принято равным 0,14 кг/см<sup>2</sup>.

Исходя из принятых размеров цистерни, можно подсчитывать величину ускорений следующим образом:

$$H_R = 0,207 \cdot 1,83 = 0,039g;$$

$$V_R = 0,207 \cdot 5,35 = 0,112g;$$

$$V_p = 0,084 \cdot 50,3 \approx 0,430 g;$$

$$V_H = \frac{177}{80} \cdot \frac{4g^2}{3} = 0,139g.$$

Из формул (67), (68) следует, что  $v = 0,681$ , а  $h = 0,039$ .

Тогда динамическое давление в различных точках будет равно:  $\rho'_a = 0,197 \text{ кг/см}^2$ ,  $\rho'_b = 0,592 \text{ кг/см}^2$ ,  $\rho'_c = 1,43 \text{ кг/см}^2$ ,  $\rho'_d = 1,63 \text{ кг/см}^2$  (см. рис. 107).

Статическое давление в точках  $a$  и  $b$  составляет 0,24 кг/см<sup>2</sup>, а в точках  $c$  и  $d$  — 1,65 кг/см<sup>2</sup>.

Предположим, что цистерна изготовлена из алюминиево-магниевого сплава с пределом текучести 1240 кг/см<sup>2</sup> и пределом прочности 2640 кг/см<sup>2</sup>. Тогда допускаемые напряжения в конструктивных элементах цистерны будут равны 930 кг/см<sup>2</sup>. Толщину листов обшивки прямогубчатой цистерны можно принимать равной толщине листов подкрепляющей стальной переборки [34] с учетом поправки за прочностные свойства временного

материала и удельного веса груза. Эта поправка определяется формулой

$$q = \frac{1}{2} \sqrt{\frac{E_s}{E_c}} \cdot (1 + \sqrt{\frac{q}{12}}), \quad (7)$$

где  $E_c$  и  $E_s$  — модули упругости стали и алюминиево-магниевого сплава.

Для рассматриваемого случая  $q = 1,26$ .

Толщина листов обшивки цистерны в зависимости от высоты расположения листов будет изменяться следующим образом:

Расстояние от нижней кромки листа до верхней кромки цистерны,	Толщина очи- щенных листов, под- вергнутых термо- термической обработке,	Толщина алюмини- ево-магниевой обшивки цистерны, мм
2,2	6,5	8,2
4,6	7,5	9,5
7,0	8,5	10,7
9,4	9,5	12,0
11,8	10,5	13,2
13,7	11,3	14,2

Размеры боковых стрингеров, подпалубных и днищевых балок цистерн определяются действующими за них максимальными нагрузками.

На нижней боковой стрингер действует статическая нагрузка  $p_{st} = 1,23 \text{ кГ/см}^2$  и динамическая  $p_{dyn} = 1,17 \text{ кГ/см}^2$ .

Пролет стрингера  $\delta$  принимается равным 8,4 м, а расстояние между стрингерами  $a = 4,2$  м. Необходимый момент сопротивления стрингера составляет

$$W_{cr} = \frac{\alpha^3}{12} \cdot \frac{p_{st}}{\sigma_{yak}} = \frac{420 \cdot 840 \cdot 1,23}{12 \cdot 930} = 31700 \text{ см}^3.$$

Такой стрингер будет иметь сечение таврового профиля со стекой размерами  $1625 \times 15$  мм в плане размерами  $625 \times 20$  мм.

На верхний стрингер действуют статическое давление  $0,76 \text{ кГ/см}^2$  и динамическое  $0,90 \text{ кГ/см}^2$ .

Необходимый момент сопротивления верхнего стрингера  $27300 \text{ см}^3$ , причем размеры его сечения таврового профиля составят: стека  $1625 \times 15$  мм, полка  $535 \times 20$  мм.

Размеры подпалубных балок определяются динамической нагрузкой, равной  $0,61 \text{ кГ/см}^2$ , так как статическая нагрузка приведено выше. Требуемый момент сопротивления сечения составляет  $12900 \text{ см}^3$ , тавровый профиль: стека  $1065 \times 15$  мм, полка  $535 \times 15$  мм.

Аналогично определяются размеры всех других конструктивных элементов цистерны.

По расположению изоляции грузовые цистерны можно разделить на следующие три категории:



Рис. 108. Внешний вид герметизированной обшивки, предложенной норвежской фирмой Оиннис Лорензес.

1. Цистерны из обычной углеродистой стали с внутренней изоляцией, имеющей достаточные прочностные характеристики, непроницаемой для скаженного метана и химически устойчивой к воздействию газа при низкой температуре. Прочным контуром цистерны в этом случае служат вторые борта к второе дно. Отсутствие набора в трюмах судна облегчает установку изоляции. Грузовые цистерны этой категории практически можно считать изолированными трюмами. Однако отсутствие в настоящее время подходящего материала для внутренней изоляции не позволяет применить цистерни такого типа.

2. Цистерны из обычной углеродистой стали с внутренней изоляцией, отделанной от метана непроницаемым защитным покрытием из хладоустойчивого материала (полиэтилен, специальные стали, алюминиевые сплавы). Цистерны этой категории разрабатывались в испытательных в рядах стран. На рис. 108 и 109 показан внешний вид и конструкция схема подобной цистерны, предложенной фирмой Оиннис Лорензес (Осло) совместно с Норвежским Büro Веритас. В этом случае цистерна представляет собой тонкую термически подливную обшивку из алюминиево-магниевого сплава толщиной 2 мм, которая служит только для обеспечения газонепроницаемости трюма и предотвращения попадания скаженного металла на корпус судна. Термозолиции трюма может воспринимать статические и динамические загрузки

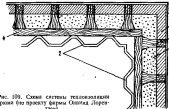


Рис. 109. Схема системы теплоизоляции трюмов (по проекту фирмы Окнад Ларендейл).

1 — листовой кокур (дноные борты судна); 2 — головные перегородки поддона трюма; 3 — изолирующий защитный барьер из полиуретана; 4 — деревянный обрешетник; 5 — несущие стойки; 6 — основной настил изолации из минеральной ваты или стекловолокна.

от сжимаемого металла и передавать их на корпусные конструкции (двойные дно, борта и т. д.).

Поскольку внутренняя оболочка подвергена температурным напряжениям, необходимо обеспечить неизменность ее размеров относительно трума. Это достигается применением жесткой (гофрированной) конструкции оболочки. На рис. 109 показана принципиальная схема размещения оболочки и изоляции в жестком контуре корпуса судна. Изолирующий защитный барьер из полиуретана закреплен на плоских дверговых щитах внутреннего корпуса. Между полигураем и гофрированной оболочкой помещаются блоки из минеральной ваты или стекловолокна. Их роль заключается в уменьшении перехода температуры между сжимаемым металлом и защитным барьером из полиуретана. Нагрузки от возмущения ложного груза передаются на корпус судна через деревянный обрешетник и несущие стойки (изготовленные обычно из бальзового дерева). Изолированный трюм при снятом обрешетнике показан на рис. 110, на котором ясно видны несущие стойки.

Наиболее сложной операцией при изготовлении гофрированной оболочки является складка тонких металлических пластин.

Оболочки подобного типа применяны на французском экспериментальном метановозе «Рубигас». На этом судне теплоизоляция (рис. 111) состоит из трех слоев клянцевала (синтетического полистирола на основе поливинилда и полистирола), и зашивки из ткани.

С внутренней стороны изоляция покрыта термически подвижной гофрированной оболочкой из тонких стальных листов толщиной 1 мм (рис. 112). Кроме того, между слоями изоляции проложена еще одна аналогичная из конструкции оболочки. Все уложил-

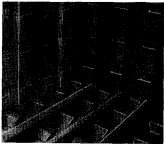


Рис. 110. Вид на несущие стойки цистерн (по проекту фирмы Окнад Ларендейл).

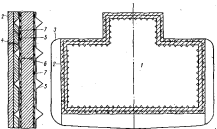


Рис. 111. Модуль-сплошной металлокор «Рубигас» и принципиальная схема системы теплоизоляции трюмов.

1 — изолирующий барьер для сжимаемого металла; 2 — наружный слой; 3 — внутренний слой; 4 — наружный слой алюминия толщиной 100 мм; 5 — стяжной гофрированный оболочки толщиной 1 мм; 6 — внутренний слой пластикового толщиной 100 мм; 7 — зашивка из ткани толщиной 15 мм.

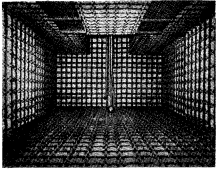


Рис. 112. Внутренний вид грузовой цистерны металлояда «Pythagore».

от колебаний сжженного метана передаются через теплоизолинно, имеющую относительно небольшую усадку при изнанках температурах (2–3 мм), на дноные борта, двойные поперечные переборки и двойное дно.

Пространство между обшивкой грузовой цистерны и вторым корпусом представляет собой закрытый непропускаемый объем (изолирующее пространство), заполненный азотом под небольшим избыточным давлением. Изменение объема этого пространства вследствие деформации стенок цистерны сопровождается изменением количества азота в нем, который при уменьшении объема «выдавливается» в специальный резиновый баллон, а при увеличении — вновь поступает в изолирующее пространство. В случае необходимости в изолирующем пространстве можно создать циркуляцию азота по замкнутому циклу с пропусканием его через осушитель.

Нормальное давление в грузовых цистернах составляет  $0,1 \text{ кг}/\text{см}^2$ , а в изолирующем пространстве —  $0,002 \text{ кг}/\text{см}^2$ .

Грузовые цистерны защищены от недопустимого повышения давления предохранительными, а от понижения — вакуумными клапанами. Изолирующее пространство также имеет предохрани-

тельные клапаны. На рис. 113 показано расположение предохранительных клапанов на грузовой цистерне.

Западногерманская фирма Хованальдтсверке (Киль) предложила использовать в качестве изолационного материала трюмо пластин стиропора, а в качестве материала термически подвижной оболочки — листы из алюминиево-магниевого сплава толщиной 2 мм. При изготовлении и сварке оболочки в трюме фирма рекомендует учитывать, что стиропор уже при температуре plus 70–80°C покрывается твердой пленкой. Экспериментально путем установления безопасное для сварки расстояние от изоляции до сварочного шва, равное 75 мм. Оболочка изготавливается из отдельных штампованных листов с отогнутыми по периметру краями. Листы свариваются между собой при помощи U-образного профиля из легкого сплава. После этого производится приварка профиля к Т-образной стойке, которая обеспечивает жесткость оболочки. Конструкция оболочки фирмы Хованальдтсверке показана на рис. 114.

Теплоизоляция трюмов по проекту фирмы состоит, как уже указывалось, из отдельных слоев пластины стиропора. Опыты показали, что деформация пластики стиропора толщиной 300 мм при колебаниях температуры в пределах  $-180^\circ\text{C}$  составляет примерно 2 мм. Между слоями теплоизоляции прокладывается алюминиевая фольга. Отдельные слои изоляции соединяются между собой металлическими скобами, а по стыкам — изофлексом. Слой изоляции, расположенный непосредственно за лежкой оболочкой, имеет специальные каналы, в которые вытекает в случае повреждения оболочки метан. В этих каналах метан частично испаряется и вместе с жидкой фазой удаляется из трюма по специальному отводному трубопроводу.

Нагрузки от колебаний сжженного метана передаются на корпунсные конструкции через обрешетки из бальзового дерева и специальные несущие стойки, а сама оболочка поконется на слое бальзового дерева на втором дне судна. Обрешетки состоят из реек размерами  $5 \times 10$  см, образующих клетки размерами

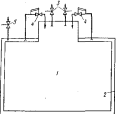


Рис. 113. Оборудование грузовой цистерны предохранительными клапанами.

1 — горловина; 2 — изолирующая теплоизоляция; 3 — предохранительный клапан; 4 — каналы для отвода избытков давления изнутри в грузовую цистерну; 5 — каналы для отвода избытков давления извне в атмосферу.

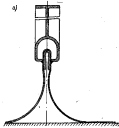
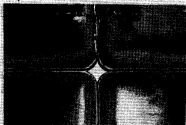


Рис. 114. Отдельные элементы (а) и нижней щели (б) внутренней изогнутой оболочки, предложенной фирмой Ховальдтерверке.



$35 \times 35$  см. Толщина всей изоляции составляет 300 мк (для слоя стиропора общая толщина 200 мк и обрешетник с упругим заполнителем — изофлексом). Теплоизоляция может состоять только из изофлекса с обрешетником из бальзового дерева.

Экспериментальная конструкция газотрансформируемого изолированного трубы по проекту фирмы Ховальдтерверке испытывалась заполнением ее склоненным кислородом при температуре минус 183° С. Испытания проводились под наблюдением представителей

западногерманского классификационного общества и закончились успешно.

Для оценки напряжений, возникающих в пластинчатой термически подвижной оболочке в результате перепада температур при погружении, а также для определения основных элементов оболочки можно воспользоваться следующим методом [51].

В процессе эксплуатации из оболочки толщиной 1 мм действуют скжимающие и растягивающие усилия  $\bar{Q}_x$  и  $\bar{Q}_y$ , которые условно показаны на рис. 115. В пределах одной ячейки, абсолютные размеры которых равны  $X$  и  $Y$ , эти силы вызывают соответствующие относительные деформации отдельных участков оболочки  $\epsilon_x(Q_x, Q_y)$  и  $\epsilon_y(Q_x, Q_y)$ . Предположим, что силы  $\bar{Q}_x$  и  $\bar{Q}_y$  действуют на оболочку независимо друг от друга. В этом случае будут справедливы следующие равенства:

при действии только силы  $\bar{Q}_x$ ,

$$\left. \begin{aligned} \frac{\epsilon_x(0, Q_y)}{\epsilon_x(0, 0)} &= -\mu_x \\ \sigma_x(0, Q_y) &= \frac{\mu_x}{Y} \end{aligned} \right\} \quad (74)$$

при действии только силы  $\bar{Q}_y$ ,

$$\left. \begin{aligned} \frac{\epsilon_y(0, Q_x)}{\epsilon_y(0, 0)} &= -\mu_y \\ \sigma_y(0, Q_x) &= \frac{\mu_y}{X} \end{aligned} \right\} \quad (75)$$

где  $\mu_x$  и  $\mu_y$  — коэффициенты Пуассона;  $\sigma_x$  и  $\sigma_y$  — напряжения в элементах оболочки, называемые силами  $\bar{Q}_x$  и  $\bar{Q}_y$ .

Модуль Юнга определяют следующим образом:

$$\left. \begin{aligned} \frac{\epsilon_x(0, Q_y)}{\epsilon_x(0, 0)} &= E_x \\ \epsilon_y(0, Q_x) &= E_y \end{aligned} \right\} \quad (76)$$

При одновременном действии сил  $\bar{Q}_x$  и  $\bar{Q}_y$  деформации оболочки по осям  $OX$  и  $OY$  можно рассчитать по следующим формулам:

$$\left. \begin{aligned} \epsilon_x &= \frac{1}{E_x} \sigma_x - \frac{\mu_y}{E_y} \sigma_y \\ \epsilon_y &= \frac{1}{E_y} \sigma_y + \frac{\mu_x}{E_x} \sigma_x \end{aligned} \right\} \quad (77)$$

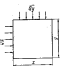


Рис. 115. Силы, действующие на внутреннюю изогнутую оболочку.

Зависимость величин деформаций  $\epsilon_x$  и  $\epsilon_y$  от абсолютного изменяющейся температуры оболочки  $\Delta t$  выражается формулой  $\epsilon_x = -\epsilon_y = \alpha \Delta t$ , где  $\alpha$  — коэффициент линейного расширения материала оболочки.

Исходя из равенства величин  $\epsilon_x$  и  $\epsilon_y$ , составляем следующую систему уравнений:

$$\left. \begin{aligned} \frac{\sigma_x}{E_x} - \frac{\mu_x}{E_y} \sigma_y &= \frac{\mu_x}{E_x} \sigma_x + \frac{\sigma_y}{E_y} \\ \frac{1}{E_x} \sigma_x (1 + \mu_x) &= \frac{1}{E_y} \sigma_y (1 + \mu_y) \end{aligned} \right\} \quad (78)$$

$$\frac{\sigma_x}{E_x} = \frac{\sigma_y}{E_y} \cdot \frac{1 + \mu_x}{1 + \mu_y};$$

$$\epsilon_x = \frac{\sigma_x}{E_x} \left[ 1 - \mu_y \frac{1 + \mu_x}{1 + \mu_y} \right]$$

$$\epsilon_y = \frac{\sigma_y}{E_y} \left[ 1 - \mu_x \frac{1 + \mu_y}{1 + \mu_x} \right]$$

$$\sigma_x = \sigma_y E_x \frac{1 + \mu_x}{1 + \mu_y} \quad (79)$$

$$\sigma_y = \sigma_x E_y \frac{1 + \mu_y}{1 + \mu_x}$$

$$\sigma_x = \sigma_x E_x \frac{1 + \mu_x}{1 - \mu_x \mu_y} \quad (80)$$

$$\sigma_y = \sigma_y E_y \frac{1 + \mu_y}{1 - \mu_x \mu_y}$$

3. Вкладные грузовые цистерны из холдоустойчивых материалов. В отличие от отапливаемых выше цистерн вкладные грузовые цистерны сами воспринимают нагрузку от возмущений находящегося в них жидкого груза и поэтому должны рассчитываться на эти нагрузки. Такие цистерны установлены, например, на экспериментальном газоделе «Methane Progress» (рис. 116). Горизонтальное смещение цистерн ограничивается заключенными поверхностью дубовых бортов и переборок, специальным штырем в нижней части и креплением в районе палубного тронка [751, 1981]. Аналогичная конструкция крепления цистерн применяется на английских метанозах «Methane Princess» (рис. 117) и «Methane Progress» [163].

Вкладные грузовые цистерны имеют ряд существенных недостатков. Поскольку цистерны представляют собой самостоятельную, не связанныю непосредственно с корпусом судна конструкцию, они имеют большой вес и, следовательно, высокую стоимость.

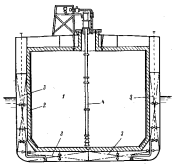


Рис. 116. Схематический поперечный разрез экспериментального газодела «Methane Progress».

1 — цистерна для сжиженного газа; 2 — теплоизолирующие панели; 3 — внешняя цистерна; 4 — временные патрубки разгрузочного люка.

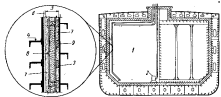


Рис. 117. Схематический поперечный разрез газодела «Methane Princess».

1 — грузовая цистерна; 2 — внутренний барж; 3 — обшивка грузовой цистерны; 4 — крепление к дубовым бортам, выполненные из алюминиевого сплава; 5 — теплоизолирующие панели; 6 — панели из фольгированного дерева; 7 — двери цистерны.

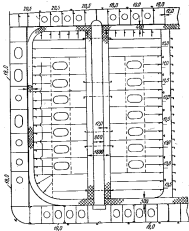


Рис. 116. Модель-шаблон грузоотъемности около 10 000 т, спроектированной фирмой Везер.

Большой вес прочных цистерн снижает полезную грузоподъемность газовоза. Кроме того, они имеют стены сравнительно большой толщины и потому подвержены значительным температурным напряжениям и деформациям. Это предъявляет дополнительные требования к проектированию, в процессе которого необходимо принимать конструктивные меры по предотвращению чрезмерной концентрации напряжений. В частности, иногда рекомендуется ограничивать длину в ширину цистерн величиной 15,25 м [73].

Западногерманская фирма Везер в течение длительного времени разрабатывала конструкции прочных цистерн и способы крепления их в трюме [122], [123]. В качестве материала для цистерн

фирма предполагала использовать специальную сталь или алюминиево-магниевый сплав. Цистерны по проекту фирмы Везер крепятся в трюме с помощью трубчатой вертикальной стойки, идущей от палубы к днищу по центру в сквозной ванте. Стойка изолирована баллонным деревом и служит одновременно подкреплением палубы судна. Цистерны покоятся за слое баллового дерева (рис. 118), под ней предусматриваются специальные ограничители, предотвращающие ее поворот вокруг центрирующей стойки. Цистерны такого типа были применены при проектировании газовоза грузоподъемностью 10 000 т. Квадратные в плане, они имели размеры 10×10×13 м. Всего на судне предусмотрено 13 таких цистерн и 7 цистерн меньших размеров.

Ограничение размеров цистерн в плане и установка двух рядов цистерн вдоль диаметральной плоскости судна, вместо одной, предусмотрены с целью уменьшения температурных деформаций.

При отсутствии необходимости в подкреплении палубы вместо усиленной вертикальной стойки для крепления каждой цистерны и ее центрирования в трюме фирма рекомендует использовать специальные цапфы (палубную и днищевую, см. рис. 119). Применение цапф для крепления цистерн нецелесообразно для судов относительно малой грузоподъемности (с трюмами сравнительно небольших размеров).

При проектировании метановоза грузоподъемностью 14 500 т фирмой Везер было предложено для крепления цистерн использовать специальные коробчатые балки, установленные на втором дне под палубой и на поперечных переборках судна. Их соответствуют нынешним в цистернах. Центровка цистерны в трюме осуществляется при помощи днищевого штыря и палубного трюка. Указанная конструкция позволяет в какой-то степени выровнять температурные деформации цистерн, поскольку при таком способе крепления обеспечивается их симметричность относительно оси, проходящей через трюм и днищевой штырь цистерны. В проекте судна грузоподъемностью 10 000 т трюк цистерны был смешен с центральной осью.

Несколько иная конструкция крепления цистерн предложена Корллеттом [66] в проекте судна с грузовыми цистернами цилиндрической формы из алюминиево-магниевого сплава с наружной теплоизоляцией из стекловолокна (рис. 120).

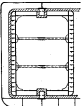


Рис. 119. Схема установки и крепления грузовых цистерн в трюме при помощи палубной и днищевой цапф.

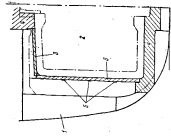


Рис. 120. Балансовая заслонка с вертикальным, сдвоенным клапаном и вертикальной рукояткой.  
1 — рычаг; 2 — корпус заслонки; 3 — седло клапана; 4 — стержень клапана.

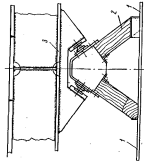


Рис. 121. Балансовая заслонка на двухходовом, сдвоенном клапане.  
1 — корпус заслонки; 2 — рычаг заслонки; 3 — винт для регулирования.

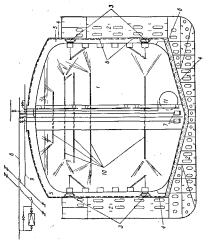


Рис. 122. Основной и межзональный фланцевые арматуры.  
1 — основные или вспомогательные насосы; 2 — насосные агрегаты; 3 — насосные агрегаты с электродвигателем; 4 — насосные агрегаты с гидротрансформатором; 5 — насосные агрегаты с гидротрансформатором и гидромуфтой; 6 — насосные агрегаты с гидромуфтой; 7 — насосные агрегаты с гидромуфтой и гидротрансформатором; 8 — насосные агрегаты с гидромуфтой и гидротрансформатором и гидромуфтой; 9 — насосные агрегаты с гидромуфтой и гидротрансформатором и гидромуфтой; 10 — насосные агрегаты с гидромуфтой и гидротрансформатором и гидромуфтой; 11 — насосные агрегаты с гидромуфтой и гидротрансформатором и гидромуфтой; 12 — насосные агрегаты с гидромуфтой и гидротрансформатором и гидромуфтой; 13 — насосные агрегаты с гидромуфтой и гидротрансформатором и гидромуфтой; 14 — насосные агрегаты с гидромуфтой и гидротрансформатором и гидромуфтой; 15 — насосные агрегаты с гидромуфтой и гидротрансформатором и гидромуфтой; 16 — насосные агрегаты с гидромуфтой и гидротрансформатором и гидромуфтой.

Окны этих цистерн выполнены с учетом некоторого смещения цистерн в результате температурных деформаций. Конструкция низких опор, устанавливаемых за втором днищем судна под днищем цистерн, показана на рис. 121.

На французском метановозе «Jules Verne» грузоподъемностью около 10 000 т каждая цистерна диаметром 20 м установлена своим конусообразным днищем на двойное дно, которое имеет соответствующую углубление (рис. 122). Таким способом достигается самовентиляция цистерн 1091, 1781.

Из рассмотренных способов крепления цистерн в трубы наиболее простыми являются способы, принятые на экспериментальном судне «Methane Pioneer», на судах «Methane Progress» и «Jules Verne». На этих метановозах грузовые цистерны устанавливаются за слой бальзового дерева или другого прочного теплоизолирующего материала.

## § 23.

### Материалы цистерн и их изоляция

Физические свойства твердых веществ при низких температурах резко отличаются от их свойств при обычной температуре. При понижении температуры предел текучести и временные сопротивления большинства металлов, как правило, увеличиваются. Некоторые материалы при низких температурах претерпевают фазовый переход в твердое состояние (обратимый или необратимый), который может сопровождаться скачкообразным изменением любого из механических свойств. Хорошо известным результатом такого перехода является низкотемпературная хрупкость (хладоломкость) углеродистых и низколегированных сталей, вызванная резким снижением ударной вязкости и ухудшением других пластических свойств.

По характеру изменения механических свойств с понижением температуры основные металлы, применяемые в технике глубокого холода, можно условно разделить на три группы:

1. Углеродистые и малоалегированные стали.
2. Легированые стали аустенитного класса.
3. Цветные металлы и сплавы.

Наиболее сильное снижение ударной вязкости углеродистых сталей наблюдается в интервале температур от плюс 15° до минус 40° С. Многие металлы и сплавы, не содержащие железа (алюминий, медь, никель, алюминиево-магниевые сплавы и т. д.), при низких температурах сохраняют свои упрочненные свойства. Последнее относится также и к хромоникелевым нержавеющим стальям, хромомарганцевым стальям и к стальям с высоким содержанием никеля.

Например, по спецификации Американского общества по испытанию материалов (ASTM) сталь с содержанием никеля 9% может быть использована в нагруженных конструкциях при температуре до минус 160—190° С. Нержавеющая сталь 18-8 ASTM 304L может быть использована даже при самых низких полученных в технике температурах (температура смыкания голода) [102].

В табл. 34 приведены химический состав и механические характеристики отечественной стали марки 2Х18Н9 и ряда других сталей и сплавов [26]. Сталь 2Х18Н9 при низких температурах и наибольшей степени сохраняет свою вязкость, которой она обладает при нормальной температуре. Вместе с тем она подчиняется общей закономерности, характерной для всех сталей, т. е. с понижением температуры у нее улучшаются прочностные характеристики (временное сопротивление разрыву, предел текучести, твердость) и ухудшаются характеристики пластичности (относительное удлинение, относительное сужение и ударная вязкость).

Элементы, входящие в состав сталей, оказывают влияние на их механические свойства при низких температурах. Например, никель, хром, ванадий, молибден повышают ударную вязкость сталей при низких температурах. Особенно благоприятное влияние оказывает никель, количество которого, необходимое для получения определенного значения величины ударной вязкости при низких температурах, определяется содержанием углерода в стали. Влияние низких температур на ударную вязкость сталей с различным содержанием никеля показано на рис. 123 [102].

Из сказанного следует, что для изготовления цистерн для склоняющего метана можно использовать лишь высоколегированные стали, например, такие, как сталь с 9%-ным содержанием никеля, американскую перекристаллизованную сталь 304, отечественные стали 2Х18Н9 и 1Х18Н9Т.

Для изготовления цистерн могут применяться в алюминиевые сплавы, достоинством которых является то, что их механические свойства (твёрдость, предел прочности, предел текучести и т. п.) с понижением температуры повышаются вместе с понижением относительного удлинения (при сохранении достаточно высокой ударной вязкости). Наиболее подходящими алюминиевыми сплавами для изготовления оборудования, работающего при низких температурах, являются сплавы, содержащие 3,5—5,0% магния (сплав NP 5/6 по английскому стандарту 1477), или сплавы серии 5000 по американскому стандарту (например, сплав 5456).

Подробные данные о свойствах различных материалов при низкой температуре приводятся в работах [26], [102].

Для изготовления цистерн используются специальные дорогостоящие стали и сплавы. Приблизительная оценка стоимостных характеристик этих материалов и их сравнительные данные приведены в табл. 35 [102]. Цистерна, изготовленная из алюминиево-магниевого сплава, в два раза дешевле и легче по сравнению с

Таблица 34

Состав и механические свойства морозостойких конструкционных сталей и стальных проката при низких температурах

Название и виды стали и сплавов, применяемые	Применяющаяся сталь	Термодинамическая способность к выделению азота при температуре 19 Аэ	Температура плавления, °С	Предел прочности при изгибе, МПа	Предел прочности при изгибе, МПа	Относительная прочность, %	Ударная вязкость, кДж/кг
Углеродистая сталь А (Борисовский завод)	C 0,11; Si 0,092; Mn 0,85; Cr 0,14; P 0,06; Ni 0,26	Проект, испыт. 19 Аэ Запаска при 19 Аэ	+15 -30 -60	37,8 39,1 45,3	30,0 39,4 36,9	73,5 74,4 83,3	15,5; 14,9; 6,93 *
Углеродистая сталь Б (Борисовский завод, ЧСКР) Планка полоса	C 0,11; Si 0,022; Mn 0,71; Cr 0,13; Ni 0,11	Запаска при 80°C опыт при 80°C	+20 -30 -60 -100	60 65 55 90	46 51 55 80	72 71 81 60	19,7 14,9 12,7 0,4
Углеродистая сталь струна	C 0,05; P 0,030; Mn 1,04; Si 0,060; Si 0,29; Cr 0,05; Ni 0,16	Опыт при 80°C	+10 -30 -60 -90	68 68,5 72,3 101	43,7 47,5 53,6	62 58 59 60	11,2; 3,9; 11,1 **
Углеродистая сталь Б (Борисовский завод)	C 0,28; P 0,041; Mn 0,76; Si 0,10; Si 0,33	Проект, испыт. 22 Аэ Запаска при 22 Аэ	+15 -40 -80	45,9 52,6 54,8	36,1 38,6 42,4	77,2 38,2 38,4	68 69,4 65,3
Хромоникелевая сталь (ЧСКР)	C 0,1%; Cr 1,12; Mn 0,47; Ni 4,12; Si 0,56	Запаска при 80°C	+20 -40 -60 -100	140 151 123 146	115 114 121 14	82 84 80 67	8,2; 7,5 6,9 3,1
Хромоникелевая сталь (Кировский завод)	C 0,2%; P 0,015; Mn 0,4%; Si 0,014; Si 0,12; Cr 0,1%; Ni 4,81	Опыт при 80°C	+15 -40 -60 -100	58,9 63,8 68,3 92,6	36,2 39,8 42,2 49,2	56,3 61,2 62,1 50,4	10,7; 10,0; 5,6; 0,7 *
Нержавеющая сталь сталь 2Х18Н9	C 0,2%; Cr 17-8-2%; Mn 0,7%; Ni 8-12; Si 0,025	Проект	+15 -40 -80 -120	69,9 76,4 98,3	34,5 45,2 62,5	60,2 58,0 43,0	8,7 * 5,0 * 1,3 *
Нержавеющая сталь 08Х18Н10	Mn 4,7-5,5; Si 0,6-1,0;	Проект	+20 -30 -60 -100	46,1 53,6 60,0	27,6 32,8 36,0	14,5 — —	— — —

Продолжение табл. 34

Название и виды стали и сплавов, применяемые	Применяющаяся сталь	Термодинамическая способность к выделению азота при температуре 19 Аэ	Температура плавления, °С	Предел прочности при изгибе, МПа	Предел прочности при изгибе, МПа	Относительная прочность, %	Ударная вязкость, кДж/кг
Нержавеющая сталь сталь 2Х18Н9	C 0,2%; Cr 17-8-2%; Mn 0,7%; Ni 8-12; Si 0,025	—	+15 -40 -60 -100	70 117 158 183	30 42 53 56	73 44 41 36	36 68 61 56
Нержавеющая сталь 08Х18Н10	Mn 4,7-5,5; Si 0,6-1,0;	Проект	+20 -30 -60 -100	46,1 53,6 60,0	27,6 32,8 36,0	14,5 — —	— — —

\* Стальные плиты с зернами до 10 мкм.

\*\* Стальные плиты с зернами до 10 мкм.

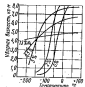


Рис. 123. Зависимость ударной вязкости стали с различным содержанием никеля от температуры (вспышки на образцах Шарпи).

Материалы, применяемые для работы в условиях глубокого охлаждения, должны проходить предварительные испытания на ударную вязкость. Хотя подобные испытания и не отражают полностью действительного помещения металлов в конструкциях, они позволяют достаточно точно оценить достоинства материалов по-

ред другими и ориентировочно определять их эксплуатационные качества.

Требования различных классификационных обществ к металлам для использования при низких температурах несколько отличаются между собой (по определению величины энергии, поглощаемой образцом без разрушения, к температуре испытаний) [102]. Например, Береговая охрана США требует, чтобы при испытательных температурах, которые на 6° С ниже предельных рабочих, поглощаемая образцом энергия при нагреве составляла во крайней мере 2,8 кДж (при испытаниях образцов типа Шарпи с заполнением по Иоду), а ударная вязкость в заморозке — 3,5 кДж/см<sup>2</sup>. Американская биржа судоходства требует, чтобы при температурах на 15° С ниже рабочих эти величины были равны соответственно 2,07 кДж и 2,50 кДж/см<sup>2</sup>.

Все металлы, применяемые для изготовления грузовых цистерн, должны хорошо свариваться и обладать достаточной прочностью и ударной вязкостью в местах сварных соединений. Термическая обработка материала цистерн весьма желательна, но ее осуществление часто связано с большими трудностями и зависит от свойств металла, количества легирующих примесей в нем, а также от характера технологического процесса. Например, стали с содержанием никеля 2,25; 3,5 и 9% могут использоваться без отжига после сварки, поскольку они при изготовлении подвергались нормализации и отпуску. Аустенитные стали (хромистые) могут ухудшать свои свойства после термической обработки в результате выделения карбидов хрома на границах зерен. Все сварные швы в грузовых цистернах должны подвергаться тщательному рентгенографическому контролю.

Теплоподавление цистерн должна ограничивать сужение испарение груда величиной 0,2—0,4%.

Требования к изоляции грузовых цистерн метановозов жестче по сравнению с газовозами, перевозящими охлажденные нефтяные газы.

В настоящие времена, наряду с естественными изоляционными материалами, такими, как бальзовое дерево, которое было применено на судне «Methane Pioneer», и минеральными теплоизоляционными материалами, разработаны искусственные вспененные материалы на основе полиуретана, полистирола, полизинилхлорида и т. п. Они обладают относительно небольшой теплопроводностью (рис. 124). Например, хорошими изоляционными качествами обладает вспененный пористый материал — пенополистирол. При его вселении в порах остаются легко конденсируемые газы — азотник, изопентан и др. Охлаждение изоляции до температуры транспортируемого груза (у метана до минус 161,5° С) вызывает конденсацию газов в порах с образованием вакуума, улучшающего теплоизацию свойства пенополистирола. В качестве изоляционного материала для грузовых цистерн можно также рекомендовать пеноп-

Таблица 25

Сравнительные характеристики материалов, применявшихся при изготовлении цистерн для склоненного метана\*

Характеристика	Материалы			
	алюминиево-магниевый сплав 5056-Б	алюминиево-магниевый сплав 5056-Б	сталь 32Н	алюминиевая сталь А
Присадка, определяющая свойства никелевого сплава, %	Mg 5,0	Mg 5,0	Cr 18—20 Ni 8—12	Ni 9,0
Предел прочности, кН/м <sup>2</sup>	26	24	50	65
Толщина стеки цистерны, мм	14,3	14,9	7,9	6,6
Относительный вес, кг/м <sup>3</sup>	33,8 (82,0%)	39,4 (63,9%)	67,7 (100%)	51,3 (81,9%)
Относительная стоимость, долл./т	3,72 (56,6%)	3,88 (69,3%)	6,55 (100%)	3,47 (53,0%)

\* Форма и размеры цистерн одинаковые.

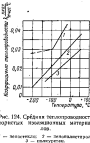


Рис. 124. Средняя теплопроводность пористых изоляционных материалов.

1 — каучук; 2 — поливинилхлорид;  
3 — полиэтилен.

их теплоизолирующие свойства вследствие диффузии неконденсирующихся газов в поры. Пеноизолы характеризуются высоким коэффициентом температурного расширения, что обуславливает

Таблица 26

Основные характеристики некоторых изоляционных материалов

Материал	Объемный вес, $\text{кг}/\text{м}^3$	Коэффициент теплопроводности, $\text{Вт}/(\text{м} \cdot \text{град})$	Предел текучести, $\text{Н}/\text{мм}^2$	Предел прочности при растяжении, $\text{Н}/\text{мм}^2$	Горючность
Бальзамическое дерево	190—170	0,038—0,051 ( $0^\circ\text{C}$ )	0,65	90 *	0,30
Инерционная вата	60—120	0,028 ( $0^\circ\text{C}$ )	0,20	0,15	0
Стекловолокно	90—120	0,024 ( $50^\circ\text{C}$ )	0,20	0,16	0
Нити в пакетах из стекловолокна	190—170	0,04 ( $20^\circ\text{C}$ )	—	—	+
Пеноизолы жесткие	130—200	0,028	0,50	3—30	горят
Пеноизолы амортизационные (рессорные)	30—60	0,040 ( $20^\circ\text{C}$ )	—	—	зажигают
Пеноизолы жесткие (поливинилхлорид)	15—30	0,027 ( $0^\circ\text{C}$ ) 0,023 ( $-50^\circ\text{C}$ )	0,93	0,7—1,5	0,70
Пеноизол ПУ-101	100—200	0,04 ( $20^\circ\text{C}$ )	—	8—36	+

\* в зависимости от качества.

сложность конструкции изоляции. При расчете толщины изоляции для определения степени испарения газа необходимо принимать во внимание тот факт, что теплопроводность пористого изоляционного материала снижается с уменьшением температуры и объемного веса (обратно в прямую пропорциональную зависимость), который у искусственных изоляционных материалов может колебаться в широких пределах.

В табл. 26 приведены основные характеристики некоторых теплоизолирующих материалов.

При оценке теплоизолирующих свойств различных материалов следует иметь в виду, что они значительно ухудшаются при повышении степени влагосостойкости воздуха тумана, в котором помещается цистерна с грузом. Поэтому должны быть предусмотрены меры к тому, чтобы воздух тумана или инертный газ, которым обычно заполняется цистерна, оставались постоянно сухими.

По требованию береговой охраны США и Английского Регистра Lloyd's изоляция или, по крайней мере, один ее слой, должна хотя бы недоподъятное время препятствовать проникновению скаженного газа к металлу корпуса судна при возможном разрыве цистерны. Это требование исключает возможность применения в качестве теплоизоляции боковых и нижних частей цистерн

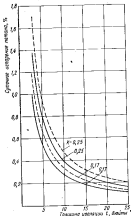


Рис. 125. Зависимость сечения изогнутого кольца от температуры теплоизоляции грунтовых цистерн.

— — — — промежуточная в сечении цистерна  
— — — — сферическая цистерна

$$\frac{\Delta}{t}$$

где  $t$  — толщина теплоизоляции;  $\Delta$  — толщина цистерны.

одних порошкообразных и поликристаллических материалов без защитного барьера из другого какого-либо материала. Порошкообразные и поликристаллические материалы могут использоваться для теплоизоляции трубопроводов.

В настоящее время наиболее эффективным изоляционным материалом для цистерн считается бальзамическое дерево. Бальзам является пористым материалом, и вытекающий из поврежденной цистерны скаженный метан испаряется в его порах. При этом давление образовавшейся паров газа препятствует проникновению скаженного метана через изоляцию. С увеличением толщины изоляции приток наружного тепла в цистерну соответственно уменьшается и одновременно сокращается испарение газа. Однако следует иметь в виду, что, начиная с определенной толщины, изоляция практически перестает влиять на степень испарения газа (рис. 125) [44].

## § 24

### Системы

Все системы и аппаратура, обеспечивающие нормальную эксплуатацию метановоза, должны размещаться выше уровня верхней палубы судна и крепиться на трюмах цистерн (рис. 126). Они должны обеспечивать выполнение следующих функций:

- заполнение и опорожнение цистерн;
- охлаждение цистерн перед погрузкой;
- отвод испаряющегося газа из цистерн во время плавания и при погрузке;
- отвод из трюма испаряющегося в изоляции газа при повреждении цистерн;
- аварийный выброс груза из поврежденной цистерны за борт и осушение трюма от выливавшегося из цистерны скаженного газа;
- подача сырьевого газа и т. д.

Газообразный метан, образующийся при погрузке, удаляется из судовых цистерн во специальному отводному трубопроводу в береговые газогольдеры.

Система разгрузки скаженного метана, которая применяется на эксплуатирующихся в настоящее время метановозах, была практически отработана на экспериментальном судне «Methane Pioneer». Она состоит из погруженых насосов, установленных в каждой цистерне и предназначенных только для подачи скаженного метана к верхней палубе, основных насосов (вак привод, центробежных), установленных на верхней палубе в переключающих магистри и трубопроводах.

На рис. 127 приведена принципиальная схема грузовой системы судна «Methane Pioneer». На этом метановое установлено

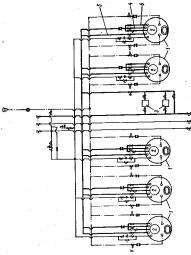


FIG. 127. Four-channel signal processor with Butterworth Program.  
 ———— — Transducer signals  
 ———— — Input signals to the program  
 ———— — Output signals from the program  
 ———— — Transistor  
 ———— — Resistor  
 ———— — Diode  
 ———— — Capacitor  
 ———— — Butterworth filter  
 ———— — Operational amplifier  
 ———— — Load  
 ———— — Ground  
 ———— — Power source  
 ———— — Reference voltage  
 ———— — Frequency response

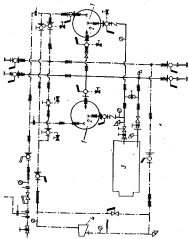


Рис. 128. Схема грузовой системы  
загрузки дизтоплива.

пять погружных электронасосов производительностью примерно по 44 м³/час при напоре около 23 м вод. ст. и два осевых центробежных насоса производительностью по 110 м³/час при напоре около 26 м вод. ст.

Примерно таким же образом происходит разгрузка экспериментального метановоза «Руттигейс», схема грузовой системы которого представлена на рис. 128. В каждой цистерне метановоза установлено по одному погружному электронасосу производительностью по 60 м³/час при напоре 16 м вод. ст. Расположенный на палубе основной насос имеет производительность 120 м³/час при напоре 145 м вод. ст. Разгрузка судна осуществляется за 8 час. В грузовую систему включен компрессор производительностью 600 м³/час, служащий для перекачки на берег газа, испаряющегося в цистернах во время погрузки.

Центробежный погружной насос вертикального типа выпущен в одном блоке с электродвигателем (рис. 129). Насос присоединен к асбестовому патрубку грузового трубопровода внутренним диаметром 159 мм и укреплен на днище цистерны клиньями. Примечательный патрубок насоса расположжен непосредственно у днища цистерны. Вес насоса вместе с электродвигателем составляет 250 кг, мощность электродвигателя равна 6 л. с. при 1750 об/мин. Электродвигатель с короткозамкнутым ротором изготавливается в герметичном исполнении.

После выхода из диффузора погружного насоса скжименный газ проходит по колышевому пространству охлаждающей рубашки электродвигателя и нагревается в трубопроводе, ведущем к палубному насосу. Смазка подшипников насоса и электродвигателя осуществляется скжименным газом.

Палубный насос имеет привод от электродвигателя мощностью 60 л. с. при 3500 об/мин. Для обеспечения нормобезопасности

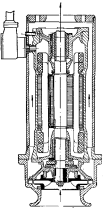


Рис. 129. Схематический разрез грузового погружного насоса метановоза «Руттигейс».

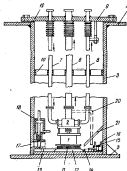


Рис. 130. Конструкция погружного насоса для метановых вышек США № 222-333, № 3012049 от 26/ХI-43 г.

1 — кран; 2 — спиральчатый; 3 — кран; 4 — кран; 5 — дренаж; 6 — крановый стояк; 7 — вентиль; 8 — винт; 9 — винт; 10 — фланец; 11 — крышка; 12 — винт; 13 — винт; 14 — винт; 15 — крышка гидравлических цилиндров; 16 — труба; 17 — прямой шланг; 18 — гидравлический; 19 — винт; 20 — трап для подачи метана; 21 — винт; 22 — винт.

для сжиженного метана, обеспечивающие удобное извлечение их из цистерн в случае аварий. Один из таких конструкций показан на рис. 130. Насос с гидродвигателем устанавливается в колодце, закрытом в крышке горловины цистерны и опирающимся на днище. Напорный стояк насоса, изоляция и отводящая труба гидродвигателя укреплены на фланце, установленном на болтах на крышке. Насос может быть извлечен из колодца в сборе с трубопроводами, гидродвигателем и крышкой. При этом траперва насоса служит направляющей. В нижней части насоса установлена премиальная стекла, под которой размещается основание, опирающееся на дно цистерны, когда насос находится в нижнем положении. Основание выполнено в виде четырехугольника со склоненными кромками. Вокруг основания расположены фиксаторы, связанные

электродвигатель насоса заключен в цилиндрический водонепроницаемый кожух, заполненный водой или масляной эмульсией. Эта жидкость служит смазкой подшипников электродвигателя, охлаждает его и изолирует подшипники от окружающей атмосферы, которая может содержать взрывоопасную смесь газов. Отвод тепла осуществляется за счет циркуляции жидкости через теплообменный аппарат с терmostатическим регулятором, автоматически поддерживающим температуру жидкости ниже 60° С.

Во время разгрузки судна в грузовые цистерны под избыточным давлением нагнетается газообразный азот, обеспечивающий герметичность и облегчающий откатку груза.

В последнее время предложены конструкции погружных насосов

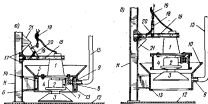


Рис. 131. Конструкция погружного насоса для метановых вышек США, № 222-333, № 3012049 от 11/VI-43 г.: а — насос в рабочем положении; б — насос в выведенном положении.

1 — электродвигатель; 2 — крановый привод; 3 — прямой конус; 4 — кожух гидроцилиндра; 5, 6 — калиброванные уплотнения; 7 — шланговый патрубок; 8 — сифон; 9 — вентиль; 10 — барaban; 11 — ступень; 12 — кран; 13 — фланец; 14 — полость; 15 — винт; 16 — винт; 17 — трубопровод; 18 — траперва; 19 — резинка; 20 — подшипник; 21 — крышка; 22 — винт; 23 — винт; 24 — крышка; 25 — упор.

с поршнями гидравлических цилиндров. Когда в цилиндры подается жидкость под давлением, фиксаторы перемещаются в зависимости.

Поступление метана в колодец регулируется задвижкой, управляемой посредством гидроцилиндра. При необходимости извлечения насоса из колодца задвижка опускается, через отверстие во фланце подводится инертный газ под давлением, и метан вытесняется через трубу, снабженную неподвижно-запорным клапаном и выведенную за пределы колодца. При спускании насоса четыре наклонные планки, прикрепленные к стенкам колодца, служат направляющими, обеспечивающими установку основания в надлежащее место.

На рис. 131 показана другая конструкция погружного насоса. Насосная установка состоит из электродвигателя, центробежного насоса и приемного конуса. На фланце электродвигателя укреплен цилиндрический кожух, спаянный кольцевыми наружными уплотнениями. Нагнетательный патрубок насоса присоединен посредством сифона к отверстию кожуха.

В рабочем положении насосная установка вместе с кожухом помещена в барабан, закрепленный на стойке, установленной в цистерне. Кожух опирается на фланец барабана. Уплотнения при этом прилегают к стенке барабана и изолируют полость между ними так, что жидкость, поступающая под давлением из насоса в эту полость, может выходить только через нагнетательный трубопровод. На электродвигателе укреплена одним концом траверза,

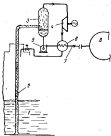


Рис. 132. Принципиальная схема газлифтовой разгрузки сжиженного метана.

1 — цистерна для сжиженного метана;  
2 — кран для отвода газа; 3 — разгрузочный насос;  
4 — насос для сжиженного метана; 5 — кран;  
6 — компрессор; 7 — баллон для сжатого газа;  
8 — кран; 9 — насос для сжатого газа;

Лоуренс (США). Производительность выпускаемых этими фирмами насосов, как правило, не превышает 300—400 м<sup>3</sup>/ч при напоре 60—70 м вод. ст. Для изготовления насосов, работающих при низких температурах, используются бронза, нержавеющая сталь, хромоникелевые сплавы. В отечественной практике для изготовления таких насосов могут использоваться стали марок 0Х13, 1Х13, Х14, Х17, 0Х18Н9, Х18Н12М2Т, 0Х23Н18М3Д3Т, НМЭМи, 28-2,5-1,5. Подробное описание погружных насосов, выпускаемых зарубежными фирмами, приведено в работе [13].

Для разгрузки метана может быть применена и так называемая «газлифтная» схема (рис. 132). При этом способе выгрузки установленный на верхней палубе компрессор создает некоторое разжение в специальном сепараторе и в него начинают поступать из цистерн газокислородная смесь. Из сепаратора жидкость метан перекачивается насосом в береговую емкость, а газообразный — конденсируется в теплообменнике и заново поступает в цистерну или непосредственно в береговую емкость. Уровень жидкости в сепараторе поддерживается автоматическим регулятором, включющим в случае изменения уровня компрессор или насос.

другой ее конец снабжен роликами, катящимися во время перемещения насосной установки по полкам швеллерной стойки. На трапеции имеется подвижное звено, на котором укреплена подвижная цепь.

Когда насосная установка находится в рабочем положении, звено, оттягиваемое пружиной, западает за прикрепленный к стойке упор, что создает дополнительная фиксация насосной установки. При натяжении цепи во время подъема звено выходит из контакта с упором, не препятствуя перемещению установки.

Производство погружных насосов, которые могут применяться для выгрузки сжиженного метана, осуществляется рядом зарубежных фирм, таких, как фирма KSB (ФРГ), Брге (Франция) и

Форд (США).

При абсолютном давлении в цистерне 1,05 кГ/см<sup>2</sup> подвижная система позволяет поднять жидкость на высоту 15,2 м при абсолютном давлении в сепараторе 0,865 кГ/см<sup>2</sup>. Газлифтная система разгрузки обходится дешевле, чем разгрузка с вспомогательными погружными насосами. Однако в этом случае необходима большая мощность компрессора, так как в процессе перекачки газа проходит его интенсивное испарение.

Кроме описанных систем, из метановых должны быть предусмотрены системы ограничения плавбы забортной водой, предупреждающие повышение температуры в трюме и увеличение степени испарения газа, система вентиляции междубортного и междуудовного пространства, а также коффердамов, и система подогрева балластной воды.

## § 25

### Использование испаряющегося метана

При перевозках сжиженного метана на судах даже при достаточно надежной теплоизоляции цистерн потеря груза от испарения в течение рейса достигают весьма значительных величин (до 0,5% от грузоподъемности судна в сутки).

Кроме эффективности теплоизоляции, на степень испарения газа влияет конструкция, форма и объем грузовых цистерн, остойчивость судна, количество газа и цистерне и т. п. Если в цистерне мало газа, то потери от испарения составляют ~0,3% в сутки. В заполненных же почти целиком цистерн количества испаряющегося газа составляет в хорошую погоду 0,4% в сутки, а в шторм — 0,5% и даже более [112].

В коротких рейсах (при небольшой грузоподъемности судна) можно избежать испарения газа, охладив его во время погрузки ниже температуры кипения при атмосферном давлении так, чтобы в момент прибытия судна в порт назначения температура сжиженного метана составляла примерно минус 161,5° С.

В длительных рейсах самим простым способом удаления испаряющейся газа, как уже указывалось, является его выброс в атмосферу, однако это связано с потерей значительного количества груза, особенно при большой грузоподъемности судна. На такое же грузоподъемности около 10 000 т ежесуточно теряется от испарения 30—50 м<sup>3</sup> метана. Этого количества газа при сжигании его в главных двигателях или котлах было бы достаточно для обеспечения судну скорости хода порядка 15—17 уз.

Однако применение только испаряющегося метана в качестве топлива для главных двигателей практически невозможно,

поскольку испарение метана происходит неравномерно. Наиболее интенсивное испарение метана происходит в штормовую погоду, когда судоходители вынуждены сбрасывать число оборотов двигателя (т. е. уменьшать его мощность). При этом, естественно, увеличиваются и расход топлива. В тихую погоду, наоборот, двигатель работает на полную мощность, расход топлива максимальный, а испарение метана — наименьшее. Поэтому для равномерного поступления газа в двигатель необходимо либо сбрасывать в атмосферу лишний газообразный метан, либо его недостаток восполнить обычным нефтяным топливом. В связи с этим все двигатели, работающие на метане, должны быть приспособлены также для работы только на нефтяном топливе и на его смеси с метаном.

Для оценки экономической эффективности использования испаряющегося метана в главных двигателях судна были выполнены технико-экономические расчеты для газовозов грузоподъемностью 12 000 т, результаты которых приведены в табл. 37. При расчете потери труда от испарения в крутом рече протяженностью 700 миль принимались равными 400 л/т (в среднем 20—30 л/т в сутки). Кроме того, считалось, что в балластном переходе в цистернах оставляется некоторое количество сконденсированного газа (~100 м<sup>3</sup>) для предотвращения нагрева цистерн. При частичной замене нефтяного топлива испаряющимся газом в количестве 400 л/т при

Таблица 37

Экономическая эффективность использования в главных двигателях судна испаряющегося в качестве топлива метана

Задачи транспортирования и значение показателей судна	Параметры		
	нефтью	нефтью и газом	газом
Частичная грузоподъемность, т	11 500	11 500	10 800
Количество рейсов за плавание	16,4	16,4	16,4
Промежуточность за плавание, тыс. км	189	189	177
Строительная стоимость, тыс. руб.	8430	8670	8250
Эксплуатационные расходы за плавание, тыс. руб.	1186	1115	883
Себестоимость перевозки 1 т груза, руб. (%)	6,27 (100)	5,90 (94)	4,99 (80)
Капитализация из 1 л генераторного газа, руб. (%)	46,6 (100)	45,9 (103)	45,5 (90)
Показатель производимых затрат, руб./л (%)	10,73 (100)	10,49 (97,5)	9,64 (80)

установки на судне специального оборудования для склонения газа в топках котлов паротурбинной установки его строительная стоимость несколько возрастает. При полной замене нефтяного топлива испаряющимся газом путем интенсификации испарения за счет уменьшения толщины изоляции строительная стоимость судна уменьшается, улучшается также его эксплуатационно-экономические показатели.

Повторное склонение газа на судах может оказаться выгодным лишь при перевозке больших количеств метана, так как установка для конденсации испаряющегося газа имеет большие габариты, вес, высокую стоимость и требует значительного количества энергии для своей работы. При грузоподъемности судна около 10 000 т, когда испарение составляет ~0,5% в сутки, расход затрат на повторное склонение 2 т метана в час составляет 1800 кВт·час (при расходе топлива 0,6 т/ч).

При оборудовании судна установкой повторного склонения его стоимость возрастает на 8—12%.

По данным английских специалистов стоимость повторного склонения 1 т метана составляет около 4 ф. ст. Если учтут еще стоимость нефтяного топлива, которое необходимо затрачивать для движения судна, повторное склонение метана будет выгодно лишь в том случае, если его отпускная стоимость на месте потребления будет выше суммарной стоимости склоненного метана в порту отгрузки, расходов на повторное склонение и стоимости топлива, затрачиваемого на движение судна.

Английский специалист Соллингтон [112] провел экономический анализ использования повторяющегося метана в качестве топлива с учетом затрат на повторное склонение газа и потерь выхваченных выбросом испаряющегося газа в атмосферу. Анализ выполнялся на примере английского метановоза «Methane Progress» грузоподъемностью 11 200 т. Для повторного склонения метана на борту судна предполагалось использование криогенатора, принцип работы которого и описание даны в работе [112]. Производительность криогенатора составляет 246 кг/час, в процессе повторного склонения каждый час теряется примерно 26 кг склоненного метана. На судно грузоподъемностью 11 200 т требуется 9 криогенаторов. Они устанавливаются в отдельных помещениях на верхней палубе.

Стоимость оборудования судна установкой повторного склонения составляет, по расчетам Соллингтона, 360 тыс. ф. ст., что увеличивает стоимость судна примерно на 9%.

Для метановоза «Methane Progress», эксплуатирующегося на линии Альмир—Англия, годовые потери от испарения метана составят около 16,3 тыс. т. Таким образом, при стоимости 1 л склоненного метана 14,7 ф. ст. годовой убыток от его испарения достигает 240 тыс. ф. ст. Применение установки повторного склонения позволяет сократить примерно 16 тыс. т метана при поте-

раж 1,5 тыс. т газа в год. При стоимости повторного сжигания 1 м³ метана 3,14 ф. ст. каждая тонна сбраженного газа приносит 5,06 ф. ст. прибыли. В итоге прибыль за год составит около 75 тыс. ф. ст. на судно.

При использовании испаряющегося метана в главных двигателях годовой убыток от испарения газа уменьшится за счет экономии нефтяного топлива (стоимостью 6,5 ф. ст. за тонну) с 240 до 133 тыс. ф. ст.

В 1962 г. Английский Регистр Ллойда, а подконтрольное Французское Бюро Веритас и другие классификационные общества разрешили использовать испаряющийся в процессе эксплуатации газ в качестве топлива для главных двигателей при условии, что он должен собираться в специальные прочные цистерны и проходить соответствующую обработку перед сжиганием при соблюдении необходимых мер безопасности.

Давление газа, подаваемого к котлам паросжатой установки, не должно превышать 1,02 кг/см<sup>2</sup>, а подаваемого к двигателям внутреннего горения — 7,03 кг/см<sup>2</sup>.

Для того чтобы работа главных двигателей не зависела целиком от испарения газа, на судне необходимо предусмотреть соответствующий запас нефтяного топлива.

Трубопроводы для подачи газа в машинное отделение должны прокладываться в специальных каналах, давление в которых при помощи вытяжных вентиляторов несколько снижается по сравнению с давлением воздуха в машинном отделении. Отсасываемый из канала воздух необходимо проверять на утечку метана. Взамен применения вытяжной вентиляции в каналы может подаваться кислородный газ под давлением, значительно превышающим давление метана.

Примером паротурбинной установки, рассчитанной на сжигание нефтяного топлива (мазута), а также смеси мазута с метаном, может служить механическая установка английских метановозов «Methane Princess» и «Methane Progress».

Подогреватель, установленный на верхней палубе, рассчитан на подогрев 10,4 м³ газа в час от температуры минус 51 до плюс 60° С. Пар подводится к подогревателю под давлением 15,5 атм при температуре 343° С. Автоматический клапан, регулирующий расход пара на подогрев газа, полностью не закрывается, поэтому подогреватель не обмерзает при работе.

Котлы метановозов «Methane Princess» и «Methane Progress» приспособлены к работе на смеси нефтяного топлива с метаном. Паропререгреватели котлов имеют пределы регулирования, соответствующие переменным режимам работы зонки при изменении процентного соотношения метана и нефтяного топлива в рабочей смеси.

Нормальная паропроизводительность каждого котла равна 22,2, а максимальная 33,2 т/час. Пар, выходящий из паропререгрева-

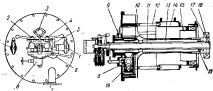


Рис. 133. Топочное устройство котла метановоза «Methane Princess».

1 — ручной привод воздушного изобора; 2 — паровой клапан; 3 — крановый клапан; 4 — топливный кран; 5 — блокировочное устройство; 6 — кран для подачи воздуха; 7 — задний выпуск топлива; 8 — редукционный клапан; 9 — котловая система мазута и пара; 10 — нагнетательный воздух; 11 — трубопровод замеса мазута; 12 — избыточный воздух; 13 — газовая скважина; 14 — закрепление воздуха; 15 — избыточный воздух; 16 — газовая скважина; 17 — закрепление воздуха; 18 — распылительный муфта; 19 — рабочий кран, заправляемый изнутри газом.

тели, имеет давление 42,2 атм и температуру 544° С. При установке водяного экономайзера при нормальной нагрузке и сжигании только мазута к. п. д. котла достигает 88%. Конструкция воздушнонагревающих устройств позволяет использовать их при сжигании только мазута или мазута и метана одновременно. При заданной паропроизводительности котла количество воздуха, подаваемого в топку, должно быть почти одинаковым как при сжигании мазута, так и при сжигании смеси мазута с метаном.

Топочное оборудование состоит из трех форсунок с воздухо направляющими устройствами. Форсунки с диапазоном регулирования производительности 10 : 1 позволяют обеспечить любые нагрузки котла на режимах комингрования. Топочное устройство котла метановоза «Methane Princess» показано на рис. 133.

Блокировочное устройство препятствует поступлению газа в топку до зажигания нефтяного топлива. Кроме того, оно предотвращает поступление топлива в форсунки до открытия воздушных заслонок.

Независимо от того, сжигается ли только мазут или смесь мазута с метаном, на метановозах обеспечивается автоматическое регулирование горения топлива во всем диапазоне изменения нагрузок котлов.

Обычно в котлах сжигается весь газ, испарившийся и грузовые цистерны судна; однако в целях безопасности в форсунки

\* Зависимо к. п. д. спасено к высокой теплотворной способности топлива, как это практико в США.

котла следует одновременно подавать такое количество мазута, которое обеспечивает не менее 10% производительности котла. При плавании судна ворожнем из цистерн поступает газ с большим содержанием азота, при плавании в грузу — почти чистый метан. Если поступающего газа окажется недостаточно для обеспечения требуемой производительности котла, система автоматического регулирования увеличивает подачу мазута.

Большую роль в безаварийной работе котельной установки на смеси нефтяного топлива с метаном играет защитное блокировочное устройство. Основным элементом этого устройства является быстрозапорный клапан, через который газообразный метан подается к форсункам. В аварийных случаях (при снижении уровня воды в котле, прекращении подачи воздуха от вентилятора, неизменении факела в форсунке и низком давлении метана) быстрозапорный клапан закрывается. При срабатывании блокировки включается звуковая сигнализация.

Быстрозапорный клапан установлен также на трубопроводе, по которому метан поступает к клапану, регулирующему его подачу.

В аварийном случае сначала закрывается быстрозапорный клапан, затем регулирующий, после чего трубопровод подачи газа автоматически соединяется с атмосферой.

На английских металлоузах применяется обычная система подачи и подогрева мазута. Давление мазута равно 22,8 кПа<sup>2</sup>, его распыление производится паром или метаном. Максимальный расход распыливающего пара составляет 795 кг/час, минимальный — 79,5 кг/час; при использовании парового распыления только мазута минимальный расход пара составляет 396 кг/час. Максимальный расход газа равен 335 кг/час, минимальный — 82 кг/час.

Блокировочное устройство не допускает открытия топливного клапана до частичного открытия воздушного шибера. Клапан подачи мазута должен быть полностью открыт к моменту открытия клапана подачи метана. При остановке котла эти клапаны закрываются в обратном порядке.

Трубопровод подачи метана к воздуход направляющим устройствам помещается в рубашке, заполненной инертными газами.

Воздуход направляющие устройства обеспечивают такой подвод воздуха, что различие между факелом при сжигании одного мазута или при сжигании мазута с метаном незначительно. При работе котлов на переменных режимах в топке обычно подается только мазут.

Природный газ, как уже указывалось, в principio можно использовать в качестве топлива и в двигателях внутреннего сгорания, несмотря на то, что характер рабочего процесса при переходе дизеля на газ резко меняется. Температура воспламенения метана значительно выше, чем у дизельного топлива. Это

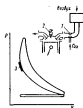


Рис. 134. Переход четырехтактного дизеля без выхлопа из газожидкостного процесса.

1 — газовоздушный смеситель; 2 — выпускной фурнитура; 3 — момент вспышки горения.

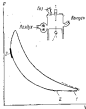


Рис. 135. Переход двухтактного дизеля на газожидкостный процесс.

1 — продукты в цилиндре; 2 — выпускной фурнитура; 3 — момент вспышки горения.

создает основное препятствие к осуществлению цикла с воспламенением от света при использовании метана. Кроме того, метан в отличие от обычного топлива плохо смешивается с воздухом, что сильно сказывается на качестве рабочего процесса. Поэтому используемое испаряющееся метана в двигателях с воспламенением от сжатия без их переделки является носущимым.

Выход из положения может быть найден в переводе дизеля на искровое зажигание или в переходе на так называемый газожидкостный процесс [111, 112]. В последнем случае никаких изменений в конструкции дизеля не вносится, лишь добавляется газовый смеситель, который устанавливается на всасывающей патрубок (для четырехтактных двигателей без наддува), или газовый клапан, через который газ поступает внутрь цилиндра после продувки (для двухтактных дизелей и четырехтактных дизелей с наддувом).

Таким образом, при газожидкостном процессе в цилиндр двигателя (рис. 134, 135) поступает газовоздушная смесь. В конце сжатия температура газовоздушной смеси недостаточно высока для самовоспламенения, но превышает температуру воспламенения дизельного топлива. Поэтому зажигание газовоздушной смеси производится в конце сжатия искрой небольшого количества дизельного топлива, которое, воспламенившись, зажигает газовоздушную смесь. На рис. 136 приведена принципиальная схема системы управления четырехтактным дизелем с наддувом, использу-

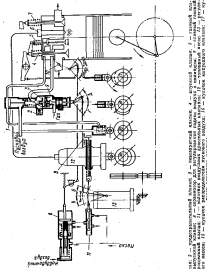


Рис. 136. Принципиальная схема системы газификации дизеля.  
Г — газовый клапан; Д — предохранительный клапан; Е — газовый клапан; З — газовый клапан; И — газовый клапан; К — газовый клапан; М — газовый клапан; Н — газовый клапан; О — газовый клапан; П — газовый клапан; Р — газовый клапан; С — газовый клапан; Т — газовый клапан; У — газовый клапан; В — фильтр; С — фильтр; А — рабочий цилиндр; Б — рабочий цилиндр; В — рабочий цилиндр; Г — рабочий цилиндр; Д — рабочий цилиндр; Е — рабочий цилиндр; Ж — рабочий цилиндр; З — рабочий цилиндр; И — рабочий цилиндр; К — рабочий цилиндр; М — рабочий цилиндр; Н — рабочий цилиндр; О — рабочий цилиндр; П — рабочий цилиндр; С — рабочий цилиндр; Т — рабочий цилиндр; У — рабочий цилиндр.

зующим для работы метана. При изменении количества газа, поступающего из грузовых цистерн, автоматически изменяется подача жидкого топлива в цилиндры двигателя.

К средствам защиты дизеля, использующего в качестве топлива метан, относятся:

а) неизолированный и предохранительный клапаны, предотвращающие забор продуктов сгорания в газоподводящий трубопровод;

б) аппаратура обнаружения утечек метана, прекращающая подачу газа в цилиндры дизеля, если содержание метана в картере превышает 1—2 %;

в) устройство, обнаруживающее неполадки в системе подачи жидкого топлива; при отклонении температуры от допустимой в системе подачи жидкого топлива подача газа прекращается;

г) реле давления в трубопроводе жидкого топлива, прекращающее подачу газа, если давление топлива падает ниже минимально допустимого, например, при пустом расходном теплообменнике;

д) реле давления в напорной магистрали насоса пресной воды системы охлаждения цилиндров, прекращающее подачу газа, когда давление воды падает ниже минимально допустимого;

е) терморегулятор в системе охлаждения дизеля, включающий систему подачи газа в цилиндры двигателя, когда температура охлаждающей воды достигнет заданного значения.

## § 26

### Суда для перевозки сжиженного метана

В последние годы в различных странах велись интенсивные исследования по изучению возможностей транспортировки сжиженного метана морем и по созданию для этой цели специализированных судов. Было спроектировано большое количество метановозов, создано несколько экспериментальных судов, а в 1964—1965 гг. вступили в эксплуатацию первые суда, предназначенные для регулярных перевозок сжиженного природного газа. В табл. 38 приведены основные элементы и характеристики находящихся в эксплуатации метановозов и некоторых наиболее интересных проектов метановозов, разработанных в различных странах.

Как уже указывалось, первый в мире метановоз «Methane Pioneer» был перестроен из сухогрузного судна «Normart» [196] и предназначался для экспериментальных перевозок сжиженного метана из США в Англию (подробнее см. стр. 15).

На судне «Methane Pioneer» (рис. 137) в двух трумах установлено пять прямоугольных цистерн длиной 9 м, шириной 12 м, высотой 9 м и емкостью 970 м<sup>3</sup> каждая. Толщина стенки цистерн,

Таблица 39  
ЗАЩИТА И ХАРАКТЕРИСТИКА СПЕЦИАЛЬНЫХ СУДОВ ДЛЯ ВЕДЕНИЯ СИНЕМЕНОГО МЕТАЛА

Название судна, запасы	Балластно- гравитационная способность в т. ч. в	Габаритные размеры и их соотношения						$\frac{L_{\perp,1}}{L_{\perp,2}}$	$\frac{B}{P}$	$\frac{L_{\perp,1}}{L_{\perp,2}}$	$\frac{B}{P}$	Тип и назначение	Объем баков	
		$L_{\perp,1}$	$A_1$	$P_1$	$A_2$	$P_2$	$L_{\perp,2}$							
«Pittsburgh» «Beaufort»	635 52,11	5,60	4,60	3,64	6,12	11,33	2,20	1,29	0,661	0,287	38983	215,600	11,0	Плаваю- щие склады и склады химикатов
«Wethers- Powers» «John Viens»	700 129,00	17,40	11,70	-	7,60	11,00	-	-	-	-	39393	11,0	Плаваю- щие склады и склады химикатов	
«William Brown» «John Viens»	5 100 57,60	15,26	12,50	6,40	5,26	7,61	2,20	1,05	-	0,274	36981	9,0	Плаваю- щие склады и склады химикатов	
«William Brown» «Project Alpha» «Project Beta» «Project Gamma» «Project Delta» «Project Epsilon» «Project Zeta» «Project Eta» «Project Theta»	25 400 186,25	24,70	16,80	7,02	11,40	3,29	2,19	0,79	0,335	73A	17,5	Плаваю- щие склады и склады химикатов		
«William Brown» «Project Alpha» «Project Beta» «Project Gamma» «Project Delta» «Project Epsilon» «Project Zeta» «Project Eta» «Project Theta»	28 750 175,38	24,86	17,64	7,30	7,05	9,83	3,12	2,24	0,619	0,369	73A	17,55	Плаваю- щие склады и склады химикатов	
«William Brown» «Project Alpha» «Project Beta» «Project Gamma» «Project Delta» «Project Epsilon» «Project Zeta» «Project Eta» «Project Theta»	31 200 172,00	26,00	16,80	8,00	6,88	10,42	3,13	2,06	0,692	0,399	73A	16,0	Плаваю- щие склады и склады химикатов	
«William Brown» «Project Alpha» «Project Beta» «Project Gamma» «Project Delta» «Project Epsilon» «Project Zeta» «Project Eta» «Project Theta»	33 900 183,00	23,00	17,70	6,20	7,03	10,24	2,88	2,15	0,727	0,311	73A	15,5	Плаваю- щие склады и склады химикатов	
«William Brown» «Project Alpha» «Project Beta» «Project Gamma» «Project Delta» «Project Epsilon» «Project Zeta» «Project Eta» «Project Theta»	40 300 206,50	37,40	17,60	8,60	7,56	11,74	3,09	2,06	0,637	0,463	72A	16,500	16,0	Плаваю- щие склады и склады химикатов

\* Длина грузовой части  $L_1$  берется с учетом кильблоков и палуб.

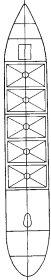
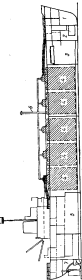


Рис. 17. Схема общей расстановки межкомпартиментальных перегородок специальных судов:  
1 — донные; 2 — донесущие; 3 — стяжные; 4 — стяжные наружные; 5 — стяжные наружные для уменьшения зон течения.

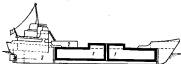


Рис. 138. Схема общего расположения судна «Pythagoras».

1 — насос для сжижения метана; 2 — установка сжатия изолирующей газа; 3 — компрессор-вентиляторное отделение.

изготовленный из алюминиево-магниевого сплава 5456-0 по американскому стандарту, равна 10 мм. В качестве теплоизоляции использовалось бальзовое дерево толщиной 30,5 см и маты из стекловолокна, которыми изолировалась верх инстери. После переоборудования дедвейт судна уменьшился с 5100 до 2100 т. Для приема водяного балласта в порожнем рейсе наделены ёмкости в двойном дне и двойных бортах. В связи с увеличением высоты борта несколько изменился центр тяжести судна, вследствие чего в определенных рейсах отмечалась малая остойчивость судна. Недостаток остойчивости компенсировался приемом водяного балласта в двойное дно.

Главным двигателем метановоза служит дизель мощностью около 2000 л. с. Электроэнергию на судне вырабатывают два дизель-генератора мощностью по 250 кВт.

Французский экспериментальный метановоз «Boucuvais», как уже указывалось, переоборудован из сухогрузного судна типа «Liberty» 1195 L. На судне установлено три цистерны для сжиженного метана общей ёмкостью около 700 м<sup>3</sup>. Одна из цистерн имеет прямоугольную в плане форму и изготовлена из листов алюминиево-магниевого сплава толщиной 7—10 мм с внутренним набором. Для изготовления двух других цистерн использована специальная сталь с 9%-ным содержанием никеля. При этом в одном случае сталь выполняет функцию защитного барьера в виде относительно тонкой оболочки, закрывающей изоляцию (свыше прочих цистерна изготовлена из листов алюминиево-магниевого сплава толщиной 4 мм), а в другом служит материалом прочной цистерны. Одна из этих цистерн является многослойной, а другая имеет форму вертикального цилиндра.

Во время экспериментальных рейсов испытывалась эффективность различных теплоизолирующих материалов (бальзового дерева, стекловолокна, асбеста, перлита, клагетеля и пр.), а также арматура, насосы и другое оборудование.

Небольшой экспериментальный метановоз «Pythagoras» (рис. 138) перевозит сжиженный метан в двух изолированных цистернах

вместимостью 360 и 270 м<sup>3</sup>. Кроме метана, судно может перевозить сжиженные углеводороды (при  $t = -104^{\circ}\text{C}$ ), пропан (при  $t = -42^{\circ}\text{C}$ ) и некоторые другие газы [51].

Для выгрузки сжиженного метана используются два грузовых насоса производительностью по 60 м<sup>3</sup>/час, вспомогательный насос — 120 м<sup>3</sup>/час и компрессор — 600 м<sup>3</sup>/час.

Судно оборудовано системой повторного сжигания испаряющегося газа. Её производительность по этилену составляет 7,2 т сжиженного газа в сутки.

Главные двигатели судна — два дизеля мощностью по 600 л. с. при 1200 об/мин., работают через редуктор на один вал с винтом регулируемого шага. Управление двигателями — дистанционное с ходового мостика. Электроэнергию вырабатывают два генератора мощностью по 300 кВт, называемых на главные двигатели.

Команда метановоза состоит из 13 чел.

Два английских однотипных судна «Methane Princess» и «Methane Progress» перевозят сжиженный метан в 9 цистернах, расположенных в трех изолированных трюмах (рис. 139) [163]. Цистерны изготовлены из листов алюминиево-магниевого сплава толщиной 15,9—19,0 мм с 5%-ным содержанием никеля (сплав 5063-0 по американскому стандарту). Наибольшая из цистерн имеет длину 10,35 м, ширину 21,60 м и высоту 14,30 м, ее вес равен около 130 т, а общий вес девяти грузовых цистерн достигает 1200 т. Цистерны проходили предварительную сборку на берегу и проверку качества стыка. Крепление и центровка цистерн в трюмах такие же, как на судне «Methane Pioneer» (рис. 116).

Теплоизоляция трюмов состоит из слоев стекловолокна и пакетов бальзового дерева, покрытых пластинами из многослойной фанеры. Суммарная толщина теплоизоляции каждой стены трюма составляет около 30 см. Верх цистерн изолирован листами из стекловолокна. Каждая цистерна установлена на слое бальзового дерева, уложенного из второго дна (рис. 117). По расчетам сутечное испарение газа в течение рейса должно составлять около 0,3%.

Пространство между теплоизолирующими трюмами и цистернами заполняется сухим кислым газом — азотом, который в жидком виде хранится в двух цистернах, установленных в специальном помещении на верхней палубе. Там же расположены испарители.

Разгрузка судна осуществляется двумя погружными насосами производительностью по 240 м<sup>3</sup>/час, приводимыми к которым служат расположенные на верхней палубе электродвигатели, и двумя центробежными турбинными, перекачивающими метан с судна на берег. В каждой цистерне, кроме того, имеется пневматический зачистной насос. Производительность насосов обеспечивает разгрузку судна за 10 час.

Водяной балласт в количестве до 13 700 т принимается в носовой балластный танк, коффердамы, двойные борта и двойное

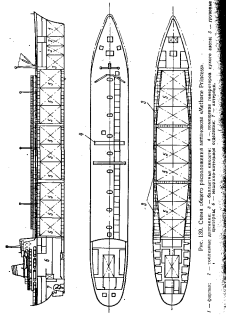


Рис. 139. Схема сечения разрезом и планов палуб метеановоза «Jules Verne».  
1 — фундамент; 2 — топливные цистерны; 3 — балластные кистерны; 4 — генераторы парогенераторные; 5 — котлы; 6 — магистральный склад; 7 — краны.

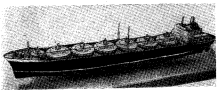


Рис. 140. Метановоз французского метеановоза «Jules Verne».

дно. Запас нефтяного топлива (около 1600 м<sup>3</sup>) хранится в носовом днище.

Главным двигателем метановоза служат паровая турбина максимальной мощностью 13 750 л. с. При эксплуатационной мощности 12 500 л. с. (при 107 об/мин) судно развивает скорость 17,25 узл. В балластном переходе скорость возрастает до 20 узл.

Пар давлением 42 кГ/см<sup>2</sup> при температуре 475° С вырабатывается двумя котлами Фостер Ундер парогенераторной мощностью 26 л/мин, приспособленными для работы на нефтяном и газовом топливе.

Электростанция судна состоит из двух турбогенераторов мощностью по 600 квт и одного дизель-генератора мощностью 100 квт.

Дальность плавания метановоза составляет 1500 миль; экипаж насчитывает 55 чел., стоимость постройки равна 4,75 млн. ф. ст.

Французский метановоз «Jules Verne» (рис. 140 и 141) перевозит сжиженный природный газ в 7 вертикальных цилиндрических цистернах, на которых 6 имеют диаметр 18,35 м и вместимость по 4087 м<sup>3</sup>, а одна носовая — диаметр 12,0 м и вместимость 1126 м<sup>3</sup> 1781. Днища цистерн имеют коническую форму, а верх — заполнительскую (рис. 142).

Цилиндрическая форма цистерн обеспечивает, по сравнению с правоугольной, меньшую концентрацию напряжений от температурных деформаций при заполнении.

С другой стороны, установка цилиндрических цистерн приводит к значительным потерям кубатуры, а следовательно, при той же вместимости требует больших размеров судна. При практически одинаковой ширине и меньшей за 700 м<sup>3</sup> вместимости судно «Jules Verne» имеет большую на 13 м длину по сравнению с английским метановозом «Methane Princess».

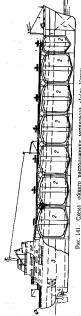


Рис. 141. Схема обвода распределенных мембранных цистерн. 2 — наименование киля; 3 — наименование днища; 4 — цистерна.

Цистерны на судне «Jules Verne» изготовлены из стали с 9% никелем. Поперечная жесткость цистерн обеспечивается шестью коробчатыми балками, а вертикальная — шахтой диаметром 3 м, которая служит, кроме того, для размещения трубопроводов, погруженных насосов и трапа (см. рис. 122). Верхняя и нижняя коробчатые балки через 8 подвижных опор связаны с наружным цилиндрическим кожухом, который жестко встроен в корп пус. Подвижные опоры воспринимают перемещение цистерн, вызванные колебаниями судна и температурными деформациями. Опоры изолированы и заключены в газонепроницаемую оболочку.

Задний кожух имеет внутреннюю оболочку из стали с 9%-ным содержанием никеля, и внешнюю оболочку из нержавеющей стали. Пространство между оболочками заполнено изоляцией из полизифирной смолы типа клеягеда. Наружная оболочка кожуха составляет одно целое с корпусом судна, жесткость кожуха обеспечивается концентрическими и радиальными ребрами жесткости. Всегда цистерны в прямом или наклонном положении судна воспринимаются двойным дном.

В необходимых случаях можно производить зарядочный осмотр днища цистерн, для чего в трюме установлены люковаты, позволяющие поднимать цистерну на высоту 0,65 м.

Основным изоляционным материалом цистерн служит гранулированный шлак (перлит), который заполняет пространство между цистерной и внутренней оболочкой кожуха. Выбор типа изоляционного материала для этого судна определился следующими требованиями:

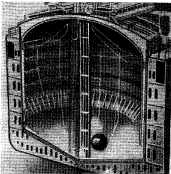


Рис. 142. Схема установки цистерн в трюме судна «Jules Verne».

- испарение метана не должно превышать 0,27% в сутки;
- температура смесей с цистернами конструкций корабля не должна превышать минус 5° С;
- необходимо, чтобы изоляция днища служила одновременно и опорой цистерн;
- изоляция верха и стеков цистерн должна легко удаляться с тем, чтобы обеспечить возможность осмотра цистерн.

Изолационный материал можно удалять из пространства между цистерной и кожухом с помощью сжатого воздуха. Перлит находится в атмосфере инертного газа (азота), давление которого может регулироваться.

Аварийный запас инертного газа хранится в сферических емкостях внутри цистерн и служит для экстренного заполнения цистерн в случае разрушения ее оболочки, а также для компенсации утечек инертного газа из изоляции.

Разгрузка каждой цистерны производится двумя погружными насосами производительностью по  $450 \text{ м}^3/\text{час}$ , подающими жидкий метан к установкам на верхней палубе трем центробежным насосам производительностью по  $800 \text{ м}^3/\text{час}$ . Чтобы при разгрузке не образовался вакуум, приходящий к интенсивному испарению

жидкого метана, цистерны заполняются поступающим под небольшим избыточным давлением с берега газообразным метаном. Если погруженные насосы выйдут из строя, сконденсированный газ может быть вытеснен из цистерн газообразным метаном. Разгрузка всех цистерн занимает 10 ч.

Испаряющийся в течении рейса метан может использоваться в качестве топлива в судовых котлах, либо выбрасывается в атмосферу через мачты.

В рейсе порожним в бортовые танки принимается водяной балласт, количеством которого выбирается так, чтобы осадка судна и его остойчивость соответствовали осадке и остойчивости в грузу. Откачка балласта производится двумя центробежными турбонасосами производительностью по 900 м<sup>3</sup>/час и двумя заслонками насосами производительностью по 90 м<sup>3</sup>/час, установленными в машинном отделении. Бортовые балластные танки имеют систему подготовки на случай необходимости аварийной защиты судовых конструкций от влияния взрывом при низкой температуре.

Для сохранения в рейсе порожними низкой температуры в грузовых цистернах на судне предусмотрена система орошения, по которой подается сжиженный газ, оставляемый в небольшом количестве в посевной цистерне.

Все операции по разгрузке, балластировке и орошению осуществляются из поста управления, расположенного в посевной части надстройки.

Цистерны оборудованы дистанционными указателями степени заполнения. В различных частях судна установлены газоизмерители, сигнализирующие об утечке метана из цистерн.

Для тушения пожаров служат система пеногашения и система химического тушения на специальном пенообразующем составе.

В целях повышения безопасности эксплуатации судна предусмотрены запасной разгрузочный трубопровод, идущий к корме и позволяющий выпускать жидкий метан в море. Главный двигатель судна служит ТЭД максимальной мощностью 15 000 л. с. при 135 об/мин. Пар давлением 50 кг/см<sup>2</sup> при температуре 480° С генерируется двумя котлами Фостер Уиллер производительностью по 26 т/час. В качестве топлива может использоваться мазут, испаряющийся метан или смесь мазута с метаном.

Два турбогенератора мощностью по 700 квт и дизель-генератор мощностью 320 квт вырабатывают переменный ток напряжением 440 в. Судно оборудовано новейшими парогенерационными устройствами мощностью 700 л. с.

Проект метанозавода фирмы Везер разработан в двух модификациях с вместимостью цистерн 21 290 и 34 500 м<sup>3</sup> (1125 л). В первой модификации сжиженный метан предусмотрено размещать в 20 грузовых цистернах, установленных в пяти трюмах (рис. 143). Поперечное сечение судна и крепление цистерн в трюме показаны на рис. 118 и 119.

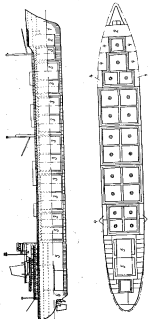


Рис. 143. Схемы общего расположения механизмов по проекту фирмы Везер.  
1 — дымовая труба; 2 — котлы; 3 — генераторы; 4 — насосы для извлечения жидкости; 5 — макеты-этюдники.

Отличительными особенностями первой модификации являются крепление цистерн непосредственно на цистерне, плавкенка из холодостойчайной стали, и отсутствие двойных бортов.

Судно второй модификации отличается от первой наличием двойных бортов.

Промежуточные на судах небольших прямоугольных цистерны, устанавливаемые в два ряда по ширине судна, преследовали цель получения малых по высоте цистерн, которые могли бы устанавливаться на судно заводскими кранами.

По проекту Корлетта [66] перевозка сжиженного метана за газовое предусматривается в 5 больших вертикальных цилиндрических цистернах и в дополнительных небольших цилиндрических резервуарах, расположенных по бортам и в носу в отдельных отсеках (рис. 144).

Грузовые цистерны изготовлены из алюминиево-магниевого сплава с 4,5—5,0%ным содержанием магния. Наружная теплоизоляция, выполненная из предварительно напряженного стекловолокна, покрыта слоем пенопласта и металлической решеткой. Общая толщина изоляции составляет около 25 см. Патрубки цистерн и их днища изолированы газализированным шлангом (верзитом).

Большие цистерны имеют диаметр около 21,4 м и вес приблизительно 230 т; такие же цистерны из нержавеющей стали весят около 460 т. Общий же вес цистерн на судне должен составлять около 1400 т.

На судне по проекту Корлетта предусмотрена возможность перевозки вместе с газом ~1050 т нефти или нефтепродуктов в бортовых цистернах и емкостях двойного дна, которые при отсутствии нефти должны заполняться водяным балластом.

Поскольку у метановозов предусмотрены относительно высокий заводской борт, для обеспечения устойчивости за курс судно оборудовано двумя антами и двумя рулеми.

Предполагается, что суточное испарение газа составит в процессе эксплуатации 25—30 т. Предусмотрена установка конденсации испаряющегося газа, хотя судно рассчитано на короткие рейсы и погрузку метана предполагается производить при температуре несколько ниже его температуры кипения. Установка повторного сжижения имеет мощность 2000 л. с. Строительная стоимость судна оценивается в ~3,8—3,9 млн. ф. ст.

Метановоз по проекту фирмы Хоккайдзуйко отличается от рассмотренных судов тем, что на нем сжиженный метан предполагается перевозить в газонаправляемых трюмах (рис. 145) [100]. Корпус предусматривает изолировать изнутри пластинами стеклопластика, обшивку же со стороны груза тонкими листами из алюминиево-магниевого сплава.

Корпус судна выполнен с двойным дном и двойными бортами, а также с продольными и поперечными переборками, образующими коффердамы.

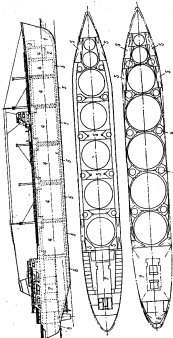


Рис. 144. Схема обзора расположения метановых по проекту Куроретта:  
1 — форштевень; 2 — кильблоки; 3 — стальной пакет; 4 — изолирующая пленка; 5 — основной цистерн; 6 — изолирующая пленка; 7 — изолирующие пакеты; 8 — изолирующая пленка; 9 — изолирующие пакеты; 10 — изолирующая пленка

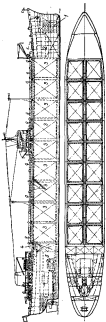


Рис. 145. Схема обвязки резервуаров судна для перевозки сжиженного кислорода фирмы Хоккайдо-терминал.  
1 — ферпак; 2 — мачта; 3 — люк; 4 — палуба для хранения кислорода; 5 — люк-обратный.

Каждый траум обогащается трубопроводом с предохранительным клапаном для отвода испаряющегося газа. Эти трубопроводы соединяются с общим изолированным трубопроводом, идущим по верхней палубе и присоединяющимся к прочным цилиндрическим штифтам. Из штифта испаряющийся газ будет поступать в топкам котлов. Кроме того, предусмотрена возможность отвода газа для смешивания его с изотопом и последующего выпуска в атмосферу.

Погрузка метана производится в заполненный инертным газом траумом и начинается с осложнения легкой алюминиевой оболочки и изоляции через разбрасывающие насадки. Затем траум заполняется полностью.

Выгрузка сжиженного газа производится с помощью насосов, размещенных в пакетах продольного коффердама. Двигатели для привода насосов находятся на верхнюю палубу.

Судно будет перевозить за рейс около 16 600 т сжиженного метана. За время рейса примерно 300 т метана испарится, а около 500 т останется в трауках на обратном рейсе.

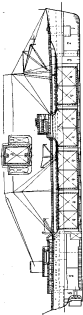


Рис. 146. Планкт проекта перегружаемого танкера Т-2 в судне для перевозки метана и кислорода, проектированный Крайслером.  
1 — ферпак; 2 — мачта; 3 — люк; 4 — палуба для кислорода; 5 — люк-обратный.

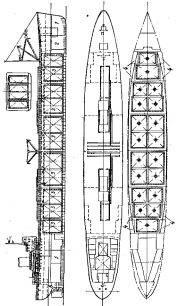


Рис. 147. План переоборудования танкера Т-2 в нефтеналивное судно, предложенный фирмой Венгер.  
1 — фундамент; 2 — днище; 3 — грузовая палуба; 4 — баки для перевозки сжиженного газа.

Таким образом, при приеме в пункте отправки 16 000 т сжиженного метана в пункте доставки будет выгружено лишь 15 800 т, т. е. 95% груза.

Одно из первых предложений переоборудования танкера Т-2 в метановоз принадлежало американскому инженеру Крекку [100]. Сжиженный метан предполагалось перевозить в 8 изолированных цистернах объемом около 4170 м<sup>3</sup>, установленных в центральных отсеках танкера (рис. 146), где предусмотрено второе дно, а в бортовых танках предполагалось перевозить нефть. В качестве теплоизоляции цистерны предполагалось использовать стиропор и стекловолокно толщиной приблизительно 30,5 см. Согласно предварительным расчетам, стоимость переоборудования танкера в метановоз составила бы около 3,6 млн. долл.

Главные размерения и основные характеристики судна имеют следующие значения:

	До переоб- рудования	После переобрудо- вания
Длина между перегородками, м	153,30	153,30
Ширина, м	20,70	20,70
Высота борта, м	11,96	11,96
Среда в палубном грузу, м	9,5	8,38
Вес сухих носов, т	5360	6150
Грузоподъемность, т	16 890	11 510
Количество нефти, т	16 800	970
Количество сжиженного газа, т	—	1740
Запасы топлива и других расходных ма- териалов, т	2150	2150
Водоизмещение в палубном грузу, т	24 330	19 800
Мощность главного двигателя, л. с.	7500	7500
Скорость хода, узл.	14,5	15,0

Немецкая фирма Везер рекомендовала при переоборудовании заменять среднюю часть танкера Т-2 и сохранять корабельную и посессорную оконечности (рис. 147). Предполагалось также, что новое судно будет перевозить только сжиженный метан. Судно во фронтуризме фирмы Везер должно иметь следующие основные элементы и характеристики:

Длина между перегородками, м	169,30
Ширина, м	22,90
Высота борта, м	14,5
Среда, м	8,85
Вместимость цистерн для газа, м <sup>3</sup>	15 620
Мощность главного двигателя, л. с.	7500
Скорость хода, узл.	14,5

## Глава VI

### Вопросы экономики перевозки газа на судах

#### § 27

##### Экономическая эффективность газовозов

Вопросу оценки экономической целесообразности создания судов-газовозов посвящено большое количество работ. Особенно много работ было выполнено с целью определения целесообразности постройки судов для перевозки сжиженного природного газа, используемого в качестве бытового и промышленного топлива. Это объясняется острой нехваткой энергетического сырья в ряде стран Западной Европы, а также в Японии, и поисками таких видов топлива, стоимость которых на месте потребления была бы приемлемой. Эта стоимость складывается из стоимости топлива на месте добычи и расходов на транспортировку до места потребления.

В случае использования в качестве топлива природного газа, доставляемого морем, стоимость его на месте потребления будет складываться из следующих составляющих:

- расходы на добывчу и очистку газа от примесей;
- расходов на транспортировку газа по трубопроводу до установки для сжигания в порту отправки;
- стоимости сжигания газа;
- расходов на хранение газа в береговых емкостях;
- расходов на транспортировку морем;
- стоимости регазификации и доставки потребителям.

Наиболее серьезное исследование экономической целесообразности транспортировки природного газа морем было выполнено П. Верре [119].

Этой проблемой занимались также Кордэйт [66], Берес и Кларк [61], Ледерманн и Вильямс [92], Мак-Муллен [99] и др., а также специалисты ряда западно-европейских, американских

и японских компаний. В Советском Союзе данный вопрос обсуждался работы [25].

Добыча газа обходится в несколько раз дешевле добывчи таких видов топлива, как нефть или уголь. Стоимость добчи газа в различных районах составляет, по зарубежным данным,  $\sim 0,1$ — $0,9$  цента за  $1 \text{ м}^3$ . Например, стоимость газа у скважин в Саскачеване составляет около  $0,1$  цента за  $1 \text{ м}^3$ . В СССР средняя стоимость добчи природного газа в 1968 г. составляла  $\sim 0,07$  коп. за  $1 \text{ м}^3$ , а в 1966 г. —  $0,06$  коп. за  $1 \text{ м}^3$  [38].

Расходы по перекачке газа по трубопроводам от места добчи до морского порта складываются из амортизационных отчислений от стоимости газопровода и перекачивающих станций, из расходов на электроэнергию, ремонтные работы, заработную плату обслуживающего персонала, затрат на освещение, отопление и охрану станций. Некоторые из перечисленных статей расхода зависят от количества перекачиваемого газа, другие — нет. Исходя из этого, стоимость перекачки  $1 \text{ м}^3$  газа П. Верре предлагают выражать в следующем виде [119]:

$$T_{\text{пер}} = \frac{A}{Q} + B, \quad (81)$$

где  $A$  — эксплуатационные расходы, не зависящие от объема перекачиваемого газа;

$B$  — относительные эксплуатационные расходы, зависящие от объема перекачиваемого газа;

$Q$  — объем перекачиваемого газа.

По отечественным данным, стоимость транспортировки газа по трубопроводу составляет  $1,5$ — $2,0$  коп. за  $1000 \text{ м}^3/\text{кил}$  в зависимости от диаметра трубопровода и расстояния [36].

В общих расходах на транспортировку газа наибольшую долю составляют затраты на его сжжение. Для крупных установок по сжиганию стоимость сжигания  $1 \text{ м}^3$  газа, по П. Верре, можно с достаточной степенью точности выразить формулой

$$S_{\text{сж}} = \frac{c}{T} + b + 0,14(c + T_{\text{зп}}), \quad (82)$$

где

$S_{\text{сж}}$  — стоимость сжигания  $1 \text{ м}^3$  газа;

$T$  — производительность установки по сжиганию, млн.  $\text{м}^3/\text{сутк}$ ;

$c$  — стоимость  $1 \text{ м}^3$  газа у скважины;

$T_{\text{зп}}$  — стоимость перекачки  $1 \text{ м}^3$  газа до установки для сжигания;

$a$  — эксплуатационные расходы, не зависящие от производительности установки;

$b$  — относительные эксплуатационные расходы, зависящие от производительности установки (амортизационные отчисления, стоимость энергии, потребляемой установкой, и т. п.).

Последний член в формуле (82) выражает стоимость газа, расходуемого в процессе сжигания (14% от всего поступающего к установке газа). Величина отношения  $\frac{c}{P}$  при высокой производительности установки весьма незначительна по сравнению с величиной  $b$ , т. е. стоимость сжигания 1 м<sup>3</sup> газа мало зависит от общего количества сжигаемого газа. С увеличением производительности установки выше 2 млн. м<sup>3</sup>/сут. стоимость сжигания практически перестает снижаться.

По данным Корлетта, в настоящее время стоимость сжигания 1 м<sup>3</sup> газа составляет 3,5–4,0 ф. ст.

Построенный в 1964 г. в порту Арас (Алжир) завод сжигания природного газа, транспортируемого в Англию в Францию, имеет производительность 4,25 млн. м<sup>3</sup>/сут. Мощность энергоборудования завода составляет 34 500 квт. Постройка завода обошлась в 40 млн. долл.

Следующими по величине после расходов на складжение являются расходы на транспортировку газа морем. По данным П. Верре, стоимость метановоза (в млн. франков) равна

$$S_{\text{судо}} = 0,40 P_{\text{тр}}, \quad (83)$$

где  $P_{\text{тр}}$  — грузоподъемность судна, тн.

По расчетам Корлетта, стоимость метановоза грузоподъемностью 10 000 т составляет 3,5 млн. ф. ст. В случае оборудования судна установкой повторного сжигания испаряющегося газа его стоимость возрастает до 3,8–3,9 млн. ф. ст. Немногим меньше половины указанных расходов приходится на цистерны, изоляцию и необходимое оборудование.

Результаты проектных проработок метановозов и оценка их строительной стоимости показали, что в первом приближении стоимость метановоза может быть выражена следующей зависимостью (в тыс. руб.):

$$S_{\text{судо}} = K \cdot P_{\text{тр}}, \quad (84)$$

где  $K$  — коэффициент, зависящий от грузоподъемности судна и равный 1,0–1,2 руб./т. Минимальное значение коэффициента относится к судам грузоподъемностью 10 000 т и выше, а большее — к судам грузоподъемностью около 2000 т.

Стоимость транспортировки 1 м<sup>3</sup> газа морем можно определять по формуле

$$S_{\text{м}} = \frac{N}{V} (a + b \sqrt{P_{\text{тр}}} \cdot 10^{-3}), \quad (85)$$

где  $N$  — число судов грузоподъемностью  $P_{\text{тр}}$ , доставляющих в порт назначения  $V$  млн. м<sup>3</sup> газа в сутки (количество судов определяется с учетом эксплуатационного времени на ремонт и т. п.);

$a$  — общие административные расходы, заработка плавки и другие затраты, не связанные со стоимостью судна и его эксплуатацией;

$b$  — расходы, связанные со стоимостью судна и его эксплуатацией (амortизационные отчисления, расходы на топливо, смазочное масло и т. д.).

С увеличением грузоподъемности судна стоимость транспортировки газа морем снижается. Однако это не значит, что следует стремиться к постройке судов наибольшей грузоподъемности. Анализ стоимости хранения газа в портовых сооружениях для приема сжиженного газа показывает, что из-за большой грузоподъемности судна возможно резкое увеличение расходов на хранение сжиженного газа. В связи с этим при выборе грузоподъемности газовоза необходимо учитывать квоты погрузки в береговые хранилища (хранилища, трубопроводы, установки регазификации и т. п.).

Для того чтобы судно не проставляло в портах, необходимо предусмотреть общую грузоподъемность резервуаров, примерно в 1,5 раза превышающую грузоподъемность судна. Итоговая выгоднее сооружать резервуары вместимостью по 2000 м<sup>3</sup>, а необходимое число их определять по инженерной формуле (округленный результат до большего целого числа):

$$n = 1,8 \cdot 10^{-2} P_{\text{тр}}, \quad (86)$$

По данным П. Верре, затраты на изготавление резервуаров для хранения газа в тыс. франков составляют  $(2,85 + 3,00) P_{\text{тр}}$ , а стоимость портового оборудования, необходимого для приема жидкого метана, примерно  $58 \sqrt{P_{\text{тр}}}$ .

Стоимость хранения 1 м<sup>3</sup> метана в резервуарах в жидком виде можно определять по формуле

$$S_{\text{хр}} = \frac{a + b \sum P_{\text{тр}} \cdot 10^{-3}}{V}, \quad (87)$$

где  $P_{\text{тр}}$  — грузоподъемность всех судов, обслуживающих порт выгрузки и перевозящих в среднем  $V$  млн. м<sup>3</sup> газа в сутки, т;

$a$  — расходы, не зависящие от объема хранившегося газа (заработка плавки перевозки и т. д.);

$b$  — расходы, зависящие от объема хранившегося газа (амортизация, страхование и т. п.).

Формула (87) может применяться также для определения стоимости хранения газа в портах отправления. Входящие в эту формулу коэффициенты  $a$  и  $b$  для данного случая имеют одинаковый порядок величины.

О величине затрат на сооружение береговых хранилищ сжиженного метана можно также судить по опубликованным данным о стоимости береговых хранилищ на о. Канвей в устье Темзы.

На эту базу сжиженный газ доставляется двумя метановозами «Methane Princess» и «Methane Progress». В состав базы входят 5 хранилищ вместимостью по 4000 м<sup>3</sup> и одно вместимостью 2000 м<sup>3</sup>, а также установка регазификации с трубопроводами. Большине хранилища имеют форму цилиндров диаметром около 30 м и высотой около 34 м. Они изготовлены из алюминиево-магниевого сплава и помещены в стальной кожух.

Пространство между стенками (расстояние между которыми равно 760 мм) заполнено изоляционным материалом. Общая стоимость базы составляет около 8 млн. долл., или ~30% от стоимости судна, обслуживающего эту базу.

По американским данным, затраты на сооружение наземного стального хранилища для метана емкостью около 70 000 м<sup>3</sup> составляют около 50 долл./м<sup>3</sup>, а стоимость подземного железобетонного хранилища такой же емкости — около 20 долл./м<sup>3</sup>.

Стоимость регазификации 1 м<sup>3</sup> газа П. Верре предполагает определять по следующей формуле:

$$S_{per} = \frac{a}{V} + b, \quad (88)$$

где  $a$  — расходы, не зависящие от объема газа;

$b$  — относительные расходы, зависящие от объема газа.

Величина  $a$  примерно на 90% состоит из расходов на регазификацию и из 10% — из расходов на amortизационные отчисления (поскольку установки для регазификации не требуют больших капитальныхложений).

В табл. 39 приведены подсчитанные П. Верре значения коэффициентов  $a$  и  $b$ , входящих в формулы (82), (85), (87) и (88). Эти значения определены для следующих условий: процент на капитал составляет 6%; срок службы установки сжижения, установки регазификации и газовоза — 15 лет, срок службы реорганизации хранилища — 25 лет. Объем газа, поставляемого ежегодно, принимался равным 330У млн. м<sup>3</sup>, где  $V$  — средний суточный объем

Таблица 39

Значения параметров  $a$  и  $b$  в формулах (82), (85), (87) и (88)

Этапы дальности газа потребителя	$a$	$b$
Сжижение газа	0,04—0,06	0,18—0,20
Транспортировка морем	0,07—0,08	0,18—0,23
Хранение	0,005—0,006	0,0065—0,0090
Регазификация	0,004—0,005	0,034—0,035

Таблица 40  
Сравнительные данные хранилищ М (по данным П. Верре)

Характеристика	Данные Амбар — Николаев				Данные Альбрехт — Ахенберг			
	Объем газа, производственный за год, млн. м <sup>3</sup>	Средний суточный объем производственного газа, млн. м <sup>3</sup>	Производительность установки для сжижения газа, млн. кг/сут	Погребальное количество резервуаров для азотных газов	Грузоподъемность судна, тн	Погребальное количество резервуаров для азотных газов	Грузоподъемность судна, тн	Суммарное количество резервуаров (за мат. фрахтом)
Объем газа, производственный за год, млн. м <sup>3</sup>	1	4	8	1	4	4	12	24
Средний суточный объем производственного газа, млн. м <sup>3</sup>	3	12	24	3	8	8	12	24
Производительность установки для сжижения газа, млн. кг/сут	3	12 000	15 000	15 000	15 000	15 000	35 000	55 000
Погребальное количество резервуаров для азотных газов	1	3	6	27	2000	2000	2000	2000
Грузоподъемность судна, тн	12 000	15 000	15 000	1200	1200	1200	900	1600
Суммарное количество резервуаров (за мат. фрахтом)	—	—	—	0,21—0,35	0,56—0,59	0,46—0,50	0,48—0,68	—
Валовая М. поверхности/1000 тонн	0,41—0,44	—	—	—	—	—	—	—

Таблица 41  
Результаты исследования стоимости транспортировки скаженного нефти

Ставка расхода	Средний Вестх — Лондон		Кардисон марк — Лондон	
	за 1000 км	за 2 км	за 1000 км	за 2 км
Автомобилем				
Американская нефть из канады (1500 т.)			Бирмингем и Бирминг. (1000 т.)	
Стоимость топлива у скважин	0,014	0,024	0,009	0,009
Обработка	—	—	—	—
Снажение	—	—	0,055—0,069	0,055—0,080
Обработка, погрузка на судно, вывозка	0,185—0,218	0,680—1,205	—	—
Погрузка, транспорт в эксплуатационные расходы	—	—	0,125—0,143	1,150—1,215
Стоимость доставки за определенное время	—	—	—	—
Транспортная плата, хранение	—	—	—	—
Транспортировка до места назначения	—	—	—	—
Прочие расходы	—	—	0,080—0,100	1,667—1,890
Общая стоимость цистерн	0,29—0,38	1,78—2,96	0,850—0,881	2,26—2,81

Таблица 42  
Зависимости показателей доставки 1 т условленного топлива (в процентах)

Характеристика	Нефть-Брист	Нефтяной газ	Природный газ (метан)
Стоимость 1 т условленного топлива в метре квадратном	100	50—55	10—15
Стоимость доставки в под отопительный из жилой дороге	100	299	—
из трубопровода	100	160	120
Стоимость 1 т условленного топлива в под отопительный из сетей скважин при доставке	—	—	—
из жилой дороге	100	55—130	—
из трубопровода	100	45—65	45—65
Стоимость морской транспортировки столов грунтово-зимней 2050 т из расположения 5000 миль	100	120	160
Стоимость 1 т условленного топлива в метре квадратном	100	65—65	55—100

на судах (в центах) для ряда линий

Винсент — Лондон		Венесуэла — Нью-Йорк		Сакара (Лимон, Холливуд) — Нью-Йорк	
за 1000 км	за 2 км	за 1000 км	за 2 км	за 1000 км	за 2 км
Ледибара и Бандам (1957 г.)					
0,017—0,099	0,111—0,485	0,017—0,095	0,141—0,650	0,048	0,155
0,6515	0,666	0,087	0,480	—	—
—	—	—	—	—	—
—	—	—	—	—	—
—	—	—	—	—	—
—	—	—	—	—	—
0,6515	0,669	0,092	0,282	—	—
—	—	—	—	—	—
0,103	0,99	0,34	0,74	—	—
0,12—0,19	1,04—1,89	0,19—0,18	0,85—1,62	0,17—0,19	1,10—1,65

Таблица 43

Относительная стоимость транспортировки различных видов топлива в единицах, эквивалентных 25-10% и условного топлива

Характеристики	Вид первичного топлива и тип судна		
	нефть	каменный уголь	природный газ
	заправка	загрузка	выгрузка
Грузоудельность Рудж. №	48 000	23 000	15 000
Вес сухого трансп. чистого и влажного № № №	29 000	35 000	38 000
Длина между парцеллами крана Г. Д. №	180,0	180,0	180,0
Царница В. и	21,8	25,5	27,8
Высота борта (м.)	11,8	11,0	10,8
Диаметр Т. и	0,2	0,2	0,2
Диаметр крана Г. Д.	20,00	20,00	20,00
Максимальный диаметр К. и. с.	30,00	10,000	10,000
Скорость ход. раб. №	16,3	16,0	16,0
Ограничение КДН	0,49	0,57	0,37
Коэффициент транспортной надежности по герметичности Рт.Д	0,77	0,74	0,52
Степень транспортировки Г. и. пр.	100	30	300
Стоимость транспортировки Г. и. условного топлива, %	100	310	385

\* Примерные данные показывают стоимость транспортировки в его единицах в зависимости от местности.

поставляемого газа. Эксплуатационный период для судов составляет 312 сут., теплотворная способность газа равна 10 000 ккал/кг.

Приведенные значения даны в качестве примера. Однако они позволяют сравнивать затраты на каждом этапе доставки газа к потребителям.

С учетом приведенных формул стоимость доставки газа потребителям равна

$$S_{\text{тас}} = (c + T) S_{\text{сж}} + S_{\text{н}} + S_{\text{сп}} + S_{\text{пер}}, \quad (89)$$

Отсюда

$$S_{\text{тас}} = M + 1,14 (c + T), \quad (90)$$

где

$$M = \left( \frac{a}{V} + b \right)_{\text{сж}} + \left[ \frac{N}{V} (a + b V P_{\text{р}} \cdot 10^{-4}) \right]_{\text{н}} + \\ + \left( \frac{a + b \sum P_{\text{р}} \cdot 10^{-4}}{V} \right)_{\text{сп}} + \left( \frac{a}{V} + b \right)_{\text{пер}}.$$

Стоимость транспортировки может быть выражена аналогичной формулой

$$S_{\text{тп}} = M + 0,14 (c + T). \quad (91)$$

В табл. 40 приведены результаты выполненных П. Верре расчетов величины  $M$  для двух конкретных линий.

Кроме исследований П. Верре, как уже упоминалось, было проведено много работ с целью оценки экономичности доставки жидкого метана морем. Их результаты в большинстве случаев неизвестны, так как в каждой работе признаки своих исходных данных. Тем не менее некоторые из этих результатов представляют определенный интерес (табл. 41).

С целью предварительной оценки экономической эффективности газовозов были произведены сравнительные экономические расчеты стоимости доставки 1 м<sup>3</sup> условного топлива газовозом и танкером 425 Г. При сравнении экономических показателей газовозов и танкеров рассматривалась не стоимость транспортировки газа и нефти морем, а стоимость 1 м<sup>3</sup> условного топлива \*, доставляемого газовозом или танкером в пункт потребления (табл. 42). Из-за большой стоимости специального оборудования (цистерны, изоляции и т. д.) и меньшего коэффициента утилизации водонесущечных по грузоподъемности (0,35–0,50 вместо 0,55–0,70 у танкера) стоимость морской транспортировки 1 м<sup>3</sup> условного топлива на газовозе в 15–85% выше, чем на танкере. Однако из-за превышения значок стоимости газа в месте добыва (в 3–10 раз выше,

\* Для сравнения все виды топлива приводятся к условному топливу, теплотворная способность которого принимается равной 7000 ккал/кг.

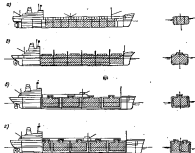


Рис. 148. Конструктивные типы судов, перевозящих различные виды топлива: а — танкер; б — угольщик; в — судно для перевозки сжиженных газов (газовоз); г — битумовоз; д — мезаноловоз.

чем для нефтепродуктов) стоимость 1 м<sup>3</sup> условного топлива, доставляемого газовозом, на 10–30% выше, чем у танкера.

Западногерманской фирмой Хомальдстэрке [100] произведена сравнение стоимости транспортировки морскими судами топлива, разных видов, с одинаковым запасом энергии 17,6·10<sup>9</sup> ккал (рис. 148). Основные элементы этих судов, а также экономические характеристики транспортировки на них различных видов топлива приведены в табл. 43.

Как видно из таблицы, стоимость морской доставки газа потребителям (с учетом расходов на склонение и хранение в береговых эмбейстах) значительно превышает стоимость морской доставки эквивалентного количества угля и нефти.

## § 28.

### Выбор оптимальной грузоподъемности и скорости хода

На выбор грузоподъемности газовоза, как и любого другого судна, наибольшее влияние оказывают величина годового грузопотока, партийность груза, дальность плавания и скорость хода.

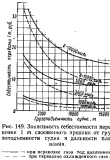


Рис. 149. Зависимость себестоимости перевозки газа от грузоподъемности судна и давления газа.

— для перевозки газа под давлением  
— для перевозки сжиженного газа.

шением грузоподъемности себестоимость перевозки снижается. Дело в том, что при увеличении размеров судна сопротивление водам его движению возрастает медленнее, чем водонаполнение и грузоподъемность, в результате чего относительная потребная мощность механизмов, расход топлива, а также эксплуатационные расходы, пропорциональны грузоподъемности судна, уменьшаются. С увеличением грузоподъемности судна снижаются затраты стали на 1 т перевозимого груза, а следовательно, и относительные капитальные затраты. Однако, как это видно из рис. 149 [25], снижение себестоимости с ростом грузоподъемности судна происходит неравномерно. С повышением грузоподъемности в определенных пределах себестоимость резко падает, а затем снижается весьма незначительно и даже возрастает. Для судов, перевозящих пропан, бутан и аммиак, целесообразным пределом грузоподъемности, дальнейшее увеличение которой не ведет к заметному уменьшению себестоимости перевозок, можно считать величину 5000–6000 т при дальности плавания, не превышающей 1000 миль, а при дальности плавания 10 000 миль эта величина возрастает до 15 000–20 000 т. Приведенные на рис. 149 кривые зависимости себестоимости перевозки I и сжиженного пропана от грузоподъемности судна и дальности плавания подсчитаны без учета партионности груза, которую следует принимать во внимание при окончательном выборе грузоподъемности судна.

Для судна, перевозящего сжиженный метан, целесообразный предел грузоподъемности (без танки, без учета партионности) равен 25 000–30 000 т при дальности плавания 10 000 миль.

В качестве примера определения целесообразной грузоподъемности можно привести результаты расчета технико-экономических характеристик метановозов, предназначенных для эксплуатации на короткой линии протяженностью 300 миль (например, Крайпера — Стокгольм). Расчеты производились при принятом годовом грузопотоке сжиженного метана 1–3 млн. т.

Были рассмотрены четыре варианта метановозов, основные характеристики которых приведены в табл. 44. Скорости хода этих судов определялись из условия равенства относительных скоростей, что ставит их в одинаковое положение с точки зрения сопротивления воды движению. В качестве главного двигателя предусматривался малоборотный дизель Брянского завода.

Для рассматриваемых вариантов метановозов были подсчитаны суммарные капиталовложения в постройку судна, обесценивавшие однократные грузопотоки. Результаты расчета приведены в табл. 45. Анализ показал, что для принятой дальности плавания при перевозке метана на судах грузоподъемностью около 6000 т удельные капитальные затраты при грузопотоке 2,5 млн. т метана в год будут минимальными. При грузопотоке в 1 млн. т затраты на постройку таких судов увеличатся по сравнению с минималь-

Таблица 44

Основные характеристики метановозов, рассматриваемых при выборе оптимальной грузоподъемности

Характеристика	Варианты			
	I	II	III	IV
Грузоподъемность, т	2500	5000	10 000	20 000
Длина между перегородками, м	110,0	136,0	159,0	212,0
Ширина, м	14,9	16,4	22,9	28,8
Высота берега, м	10,8	12,3	16,7	20,9
Осадка, м	4,8	5,9	7,4	9,3
Коэффициент общей занятости	0,70	0,70	0,70	0,70
Водонаполнение, м	5690	10 680	20 700	41 000
Грузоподъемность, т <sup>2</sup>	6250	12 500	25 000	50 000
Мощность главного двигателя, л. с.	2900	5750	11 900	27 000
Скорость хода, уз.	14,1	15,6	17,5	19,5

\* Работа выполнена в ЦНИИМФе (Ленинград).

Таблица 45

Суммарные затраты на перевозку метановозов, обеспечивающих заданный грузопоток

Характеристика	Варианты				
	I	II	III	IV	Оптимальный
Грузопоток 1 млн. т					
Грузоподъемность, т	2500	5000	10 000	20 000	3500
Необходимое количество судов	4,75	2,57	1,45	0,82	4,0
Суммарные капитализационные*, тыс. руб.	13 100	13 100	13 600	15 900	13 050
Средняя стоимость судна, тыс. руб.*	2750	5100	9400	19 400	3280
Грузопоток 2 млн. т					
Грузоподъемность, т	2500	5000	10 000	20 000	4500
Необходимое количество судов	9,50	5,14	2,98	1,64	5,0
Суммарные капитализационные, тыс. руб.	23 500	23 100	24 000	28 700	23 100
Средняя стоимость судна, тыс. руб.*	2480	4500	8300	17 500	4630
Грузопоток 3 млн. т					
Грузоподъемность, т	2500	5000	10 000	20 000	6200
Необходимое количество судов	14,25	7,71	4,35	2,45	6,0
Суммарные капитализационные, тыс. руб.	33 800	32 600	33 600	40 000	32 200
Средняя стоимость судна, тыс. руб.*	2370	4500	7720	16 300	5360

\* При оптимальной скорости плавания судна уменьшены влияние перегрузки

ними затратами менее чем на 1%. Расходы по эксплуатации оказываются минимальными, если грузоподъемность судов принята равной примерно 7000 т.

Таким образом, грузоподъемность метановозов, обеспечивающая минимальные суммарные капитализационные и эксплуатационные расходы, оказывается почти одинаковой. С учетом партиционности груза и капитальных затрат из береговых хранилищ грузоподъемность судов должна быть откорректирована окончательно.

Выбор скорости хода газовозов определяется экономичностью его эксплуатации. Технико-экономические расчеты по газовозам показали, что их оптимальные скорости в зависимости от грузоподъемности и дальности плавания лежат в пределах 15—18 узл. для судов, перевозящих сжиженный пропан, бутан и аммиак и имеющих грузоподъемность более 2000 т, и 17—20 узл. — для метановозов грузоподъемностью более 10 000 т.

В сравнении с танкерами их оптимальная по себестоимости скорость выше на 2—3 узла. Сдвиг оптимальных скоростей у газовозов в сторону более высоких значений объясняется в первую очередь тем, что доли стоимости топлива в эксплуатационных расходах у газовозов меньше, чем у танкеров, из-за высоких амортизационных отчислений (стоимость газовозов в 1,5—2,0 раза выше, чем стоимость танкеров рабочей грузоподъемности). Зависимость себестоимости перевозки 1 т сжиженного метана от скорости хода показана на рис. 150.

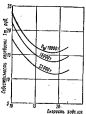


Рис. 150. Изменение себестоимости транспортировки нормы I т метана в зависимости от дальности плавания и грузоподъемности судна.

## Принятые сокращения

BWB — Bulletin de l'Association Technique Maritime et Aeronautique;  
 BATMA — Bulletin de l'Association Technique Maritime et Aeronautique;  
 BTBV — Bulletin Technique du Bureau Veritas;  
 CAM — Compressed Air Magazine;  
 DTT — Dansk Tekniske Tidsskrift;  
 DHA — Deck and Harbour Authority;  
 ESB — European Shipbuilding;  
 F — Farryplay;  
 G — Gas;  
 GA — Gas Age;  
 H — Haven;  
 HPPR — Hydrocarbon Process and Petrol. Refiner.;  
 HSb — Holland Shipbuilding;  
 IMDeE — International Marine Design and Equipment;  
 ISBP — International Shipbuilding Progress;  
 JapSisShi — Japan Stripping and Shipbuilding;  
 Jindō — Journal Industrial Gas;  
 JIM — Journal of the Institute of Metals;  
 JMM — Journal de la Marine Maritime;  
 MELog — Marine Engineering Log;  
 MEEA — Marine Engineer and Naval Architect;  
 MI — La Merina Italica;  
 Mack — Mackinbeillet;

MSh — Motor Ship;  
 NPA — Navire, ports et chantiers;  
 OilGas — Oil and Gas International;  
 Plat — Petrol Information;  
 Pow — Powerplants;  
 RevN — Revue Maritime;  
 RevMB — Revue Maritime Belge;  
 Wandering;  
 RevN — Revue Maritime;  
 SSbG — Scandinavian Shipping Gazette;  
 Schi — Schiff und Hafen;  
 Schi — Schiffbautechnik;  
 Schi — Schiff auf Welt;  
 ShnShR — Shipbuilding and Shipping Record;  
 ShnWsh — Shipping World and Shipbuilder;  
 SSTid — Svensk Sjöfarts Tidning;  
 SpreSh — Syria and Shipping Administration;  
 TandD — Tarifer Directory;  
 TanT — Tanker Times;  
 TrT — Trafik og Teknik;  
 Tr — Transport;  
 TRINA — Quarterly Transactions of the Royal Institution of Naval Architects;  
 TSNAME — Transactions of the Society of Naval Architects and Marine Engineers;  
 С — Сталь;  
 ФК — Фурго-Катуя.

## Литература

- Александров А. В., Судовые системы. Судпромиздат, 1962.
- Апухтин П. А., Войтуцкий Я. И., Сопротивление воды движущему судну. Морское, 1953.
- Бааде Ф., Морское энергетическое хозяйство, Изд-во иностранной литературы, 1960.
- Берг М. Н., Морские перевозки склонных нефтяных газов из стран Ближнего Востока в Японию, «Морской флот», № 4, 1968.
- Берг М. Н., Судо-газовозы «бьютус» к Краснодару, «Пехотинско-экономическая информация МИФ СССР», № 20, 1965.
- Боксерман Ю. Н., Газосжижение химического хозяйства и технический прогресс. Гостехиздат, 1961.
- Борисов П. А., Ребрик А. Л., Газы — могучий источник энергии и химического сырья. Наука АН СССР, 1969.
- Борисов Г. Ф., Трутнев Н. А., Хохряков П. А., Установочные газы — сырье для ресурсов нефтехимики, 1960.
- Войтуцкий Я. И., Першиц Р. Я., Титов И. А., Справочник по теории корабля. Судпромиздат, 1960.
- Гаковское образование, приборы и арматура (Справочное руководство). Гостептехиздат, 1963.
- Геласаль Дж., Делесекаль Дж., Четырехсторонние двери, работающие на газе в ходовом положении, «Морское судостроение и флот», № 2, 1962.
- Геккин К. И., Газовые двигатели, Машгиз, 1962.
- Давидов И. В., Калашников В. Л., Химические насосы-сгорания за рубежом, ЦНИИТАМ, № 1, 1964.
- Долгополов Е. В., Соколов А. В., Федоров Е. Ф., Нефть в газе СССР, Учпедгиз, 1960.
- Запекин И., Техники для перевозки склоненных газов, «Морской флот», № 10, 1968.
- Исаев Н. И., Поставки СССР склоненного газа из судов, «Производственно-технический сборник», ТУ МИФ РОССР, № 4, 1961.
- Калашников А. П., Сжигаемые углеводородные газы, Гостехиздат, № 1, 1962.
- Кравцов И. В., Суда для перевозки склоненных грузов, «Судостроение», № 12, 1968.
- Кузаки В. Ф., Применение склоненного газа для судовых двигателей в капитальном парородстве, «Бюллетень технико-экономической информации», ТУ МИФ СССР, № 3, 1961.
- Кулагин Е., Кельбе Н., Переоборудование танкеров типа «Кабел» под перевозку жидкого азота, «Морской флот», № 3, 1965.
- Лаптев В. А., Основы проектирования морских танкеров судов, № 1, ОГИЗ — Гостехиздат, 1932.
- Логачев С. И., Суда для перевозки склоненных газов, «Морской флот», № 12, 1964.
- Логачев С. И., Суда для перевозки склоненных нефтяных газов, «Судостроение», № 9, 1965.
- Логачев С. И., Определение грузовместимости судов-газовозов, Труды ЦНИИМФ, вып. 47. Издво «Транзати», Л., 1965.
- Логачев С. И., Николаев М. М., Нильсен А. Л., Вопросы проектирования судов для перевозки склоненных газов, «Судостроение», № 5, 1965.

26. Малков И. П., Данилов И. Б., Зельдович А. Г., Фрадков А. В. Справочник по физико-химическим основам глубокого сжижения газов. Госстандарт, 1963.
27. Морские суда для перевозки сжиженных газов. «Бюллетень технико-экономической информации», ТУ ММФ ССР, № 9, 1969.
28. Ноград Л. М. Преконструирование морских судов. Изд-во «Судостроение», 1964.
29. Норвежский Веритас. Правила постройки и классификации стальных судов. 1962. Изд-во «Брансфорт», 1964.
30. Попов А. А. Транспортирование сжиженных сжиженных газов на судах. «Бюллетень технико-экономической информации», ТУ ММФ ССР, № 11, 1960.
31. Попов С. С. Транспортируя нефть, нефтепродукты и газы. Гостехиздат, 1960.
32. Постников В. И., Сазов Г. Н. Опыт эксплуатации погружного насоса ПНР-150/50 на танкере. «Промстильство-технический сборник», ТУ ММФ РСФСР, № 2, 1965.
33. Преображенский Н. И. Эксплуатация установок сжиженного газа. Гостехиздат, 1964.
34. Ренцис Судовладелец Людмила. Правила постройки и классификации стальных судов. 1963. Изд-во «Брансфорт», 1964.
35. Рибек Н. И. Естественные и искусственные газы. Изд-во Министерства коммунального хозяйства РСФСР, 1966.
36. Савельев В. К. Сравнительная экономическая эффективность транспорта газов и передача электроэнергии. Изд-во АН ССР, 1965.
37. Сидоренко М. В. Газовая промышленность Европы. Гостехиздат, 1962.
38. Смычкова Л. М. Развитие газовой промышленности и экономическая эффективность газотранзитных систем. Изд-во АН ССР, 1961.
39. Стасюк И. А., Майдаль П. Б., Вандородчик Д. Я., Середюченко по сжиженным углеводородным газам. Изд-во «Издат», 1964.
40. Технико-экономические проблемы транспорта сжиженного метана на танкерах. «Газовая промышленность», № 2, 1962.
41. Толопий Е. С. Исследование влияния газовых заменителей на судно на гидромеханику. Сб. «Теория и практика судостроения», т. I, 1927, т. II, 1928, т. III, 1930.
42. Фурман И. Я. Экономическая эффективность использования природного газа как промышленного топлива. Гостехиздат, 1961.
43. Черных А. В. Нефтехимия и газовая промышленность ССР. Изд-во «Издат», 1964.
44. Абдабашев Е. Сжиженные суда для перевозки сжиженных газов с точки зрения классификации судов. Изд-в. т. 9, № 4, 1960.
45. Абдабашев Е. Транспортировка газа и классификация судов. Изд-в. т. 12, № 2, 1960.
46. Абдабашев Е. Перевозка сжиженных жидких грузов (сжиженных газов). Изд-в. т. 13, № 6, 1964.
47. Абдабашев Е. Правила постройки судов для перевозки сжиженных газов. ЗСТ-т. т. 53, № 2, 1963.
48. Абдабашев Е. Перевозка сжиженных газов из морских судов. Изд-в. т. 13, № 6, 1964; т. 14, № 1—2, 1965.
49. Аллесакин І. Перевозка морем сжиженных газов. Некоторые технические и экономические проблемы. БАТМА, т. 69, 1962.
50. Аллесакин І. Перевозка морем сжиженных нефтяных газов. ResM, № 197, 1962.
51. Аллесакин І. Судно «Пифатор» для перевозки метана и этилена. ResM, № 278, 1968.
52. Амалик Р. Технико-экономическое обоснование судов для перевозки сжиженных газов. СМ, т. 66, № 11, 1963.
53. Амалик Р. Рассмотрение пропозиции, касающейся судов-метановозов. BTBV, т. 45, № 3, 1963.
54. Барбер А. Е. Транспорт сжиженного метана на судах. ResM, № 3, 1964.
55. Бенгтссон В. Эксплуатация судов для перевозки сжиженных газов. Masch, т. 72, № 5, 1962.
56. Бенгтссон В. Цистерны из судов для перевозки сжиженного газа, состоящие из двух частей с дверьми. MERA, т. 38, № 1043, 1962.
57. Врегглия Р. Перевозка метана морем. Safer, т. 35, № 10, 1962.
58. Вулих М. Заметки о морском транспорте сжиженного природного газа. IMDGE, 1963.
59. Вулих М. Эксплуатационно-технические требования к судам для сжиженных газов. IMDGE, 1964.
60. Ворнер С. С. D., Leathard L. F. Перевозка сжиженного метана. Annu. mett. no. 8(2), 113 (1929). № 59591 от 03.07.1963.
61. Ворна L. Clark L. C. Северская транспортировка жидкого метана. SaferWeb, т. 138, № 281, 1965.
62. Вортон Д. Перевозка сжиженных газов морем. SheShR, т. 101, № 8, 1963.
63. Christopher I. R., Wiggleton. Изучение вышеупомянутых судов, транспортирующих сжиженный газ под давлением. BATMA, т. 63, 1965.
64. Горпак С. Р. Кратко будущее морской транспортировки метана. Изд-в. т. 45, № 538, 1965.
65. Горпак С. Р. Перевозка сжиженного природного газа морем. Общ. полаг., Тез. D, 1964.
66. Корлийт E. C. B., Leathard L. F. Транспортировка метана морем. TINA, т. 102, № 3, 1960.
67. Davies J. B. Перевозка сжиженных газов на судах. HSb, т. 12, № 9 x 10, 1963.
68. Делайе T. J. Подводные газопроводы для танкеров. ResM, № 173, 1964.
69. Дельсак L. Первый французский танкеров «Jules Verne». ResM, № 272, 1964.
70. Дольчини E. Замечания относительно проектирования судов для перевозки сжиженных нефтяных и природных газов. MI, т. 42, № 19, 1964.
71. Делбене G. Транспортировка сжиженных газов посредством судов. MI, т. 60, № 78, 1962.
72. Дьюк E. H. Меры по безопасности при перевозке жидкого газа на танкерах. MI, т. 101, № 12, 1964.
73. Фергюсон W. Административные цистерны для морской транспортировки сжиженного газа. Tint, т. 7, № 3, 1960.
74. Пилстед С. G. Хранение и перевозка природного газа. GA, т. 128, № 12, 1961.
75. Пилстед С. G., Ванлихт M., Транспортировка газа при низкой температуре. TSNAME, т. 69, 1961.

26. Gallez J., Delessalles L. Применение метана в качестве топлива для лодок судоходством. BATMA, т. 64, 1964.
27. Goryl W. M., Nowak R. A. Транспортировка гидроуглеводородов в сжиженных газах на море, патент США, кл. 114-16, № 3685533 от 16. 04. 1963 г.
28. Grilliat M. Французский патент JuMo Verco, BATMA, т. 64, 1964.
29. Groves A. C. Суда для перевозки сжиженных газов, Tint, т. 9, № 4, 1962.
30. Найзес. Перевозка сжиженных газов морем, Р. т. 206, № 6142, 1963.
31. Hardy A. C. Сжиженные нефтяные газы, SSWG, т. 45, № 1, 1964.
32. Hestlewood R. Задачи морских перевозок сжиженных газов, JMM, т. 45, № 2277, 1963.
33. Henry J. L. Танкер для перевозки сжиженных газов, патент США, кл. 114-74, № 3085538 от 16. 04. 1963 г.
34. Йенкес J. Судо-газовоз, Н. № 6, 1965.
35. Jacques L. Суда для перевозки сжиженного газа, Plf, № 555, 1963.
36. Jacques L. Эксплуатация судов для перевозки сжиженного газа, Plf, № 347, 1963.
37. Jakob F. Вопросы хладохранилища в связи с морскими перевозками сжиженных газов, Н. т. 109, № 4, 1963.
38. Kaldager M. Использование на судах для перевозки сжиженных газов, Eka, № 6, 1961.
39. Klaupp W., Will K., Kapp H. Дизель, работавший на двух видах топлива, как главный двигатель судов, перевозящих сжиженный газ, MM, т. 44, № 517, 1963.
40. Klemm G., Newcastle O. Все и габариты джиповых установок морских судов, Sch, т. 14, № 4, 1964.
41. Lancet H. Транспортировка сжиженного газа из судов с точки зрения берегового хозяйства, Н. № 50/51, 1960.
42. Ledermann R. B., Williams B. Будут ли покупаться сжиженные гидроуглеводороды? Petrol. Refin., т. 36, № 8, 1959.
43. Letoux R. Применение многоходовых систем для перевозки сжиженных газов, BATMA, т. 62, 1962.
44. Lindblad A. Пространство обводы топливных судов, Göteborg, 1961.
45. Lissner R. E. Свойства некоторых металлов и сплавов при низких температурах, JMM, № 89, № 1, 1960.
46. Lorentzen H. L., Lorentzen O., Bengtsson B. Разгрузка сконденсированных нефтяных газов, JEL/Log, № 8, 1961.
47. Macdoff T. Определение потребной освободимости судна в кампаниях судовиков проектирования, ShWSH, т. 151, № 3708, 1964.
48. Magalas B. Конструкция судна для перевозки сжиженных газов при атмосферном давлении, патент США, кл. 114-74, № 3683668 от 02.04. 1963 г.
49. McAllister E. I. Технические и экономические аспекты вопроса транспортировки через суда жидкого метана, ISMP, т. 7, № 75, 1960.
50. Meeszen H. Проект судна для перевозки сжиженного метана, разработанный фирмой Кнор Хевандтерс, ShWSH, т. 98, № 28, 1961.
51. Meeszen H. S. Погрузочно-разгрузочный ящик для размещения сжиженных газов, патент США, кл. 222-333, № 3093249 от 11. 06. 1963 г.
52. Moates W. S., Grossett I. W., Atkinson T. N. Сталь для изготовления аксессуаров, предназначенный для хранения сжиженного газа, TSSAME, т. 67, 1969.
53. Parfond P. Транспорт морем сжиженного газа, RevN, № 247, 1962.
54. Parfond P. Новый тип цистерн для перевозки метана на танкерах, RevN, № 253, 1962.
55. Parfond P. Транспорт природного газа, RevN, № 364, 1963.
56. Peisinger R. E. Применение стали с 9% никеля для развернутых с жестким монтажом, G. т. 40, № 26-10, 1964.
57. Pitard L. Транспорт жидкого метана, OilGas, № 3, 1965.
58. Rouquerol C. Прогресс в области постройки судов для перевозки газа, JMM, т. 41, № 265, 1959.
59. Rattan R. Суда для перевозки жидкого метана, New Scientist, т. 12, № 262, 1961.
60. Salnikoff W. Морские перевозки сжиженного газа, Н. т. 97, № 3031, 1960.
61. Schierack H. Опытные установки на судах-газовозах, Н. т. 100, № 22, 1963.
62. Solingen L. W. Транспортировка природного газа, ISRP, т. 12, № 125, 1965.
63. Stecroft E. Погрузка и выгрузка сжиженного газа, Diesel and Gas Engine Progress, т. 28, № 2, 1962.
64. Stich K. H. Судно «Одиссей» дедвейтом 40 и для перевозки газов в Магеллановом проливе, Н. т. 98, № 16, 1961.
65. Tahvola L. Перевозка сжиженных нефтяных газов морем, ShWSH, т. 104, № 24, 1961.
66. Thorncroft D. R., Heath D. J. Аспекты сварки стали с 9% никеля, ISMP, т. 11, № 114, 1964.
67. USCom Guido. Правила для надводных судов, Washington, 1960.
68. Vaughan H. E. Осуществляемые проекты использования сжиженного природного газа, HPPR, т. 44, № 3, 1965.
69. Verret R. Свойства метана и механизмы его перевозки природного газа, Revue Francaise de l'Energie, III, IV, 1969.
70. Verret R. Водород перевозки сжиженных газов, J. Ind. G., т. 69, № 2, 1965.
71. Verret R. Суда JuMo Verco для перевозки сжиженных газов, Tr. т. 9, № 93, 1964.
72. Volger M. Морские перевозки сжиженных гидроуглеводородов, Н. т. 97, № 21/22, 1960.
73. Volger M. Морской транспорт сжиженных газов при низких температурах, Н. т. 99, № 22, 1962.
74. Watson R. B. Оборудование для газовозов, IMDaE, 1965.
75. Winskiel M. Морские перевозки природного газа, RevIB, т. 36, № 256, 1959.
76. Wustrow D. Морской транспорт сжиженного газа, Energies und Technik, 14/VII, 1962.
77. Wustrow D., Stahmann H., Wiesner W. Танкер для перевозки сжиженного газа «Elio Centro Americano», ShS, т. 14, № 11, 1962.
78. Газовоз «Арагон», NPC, т. 14, № 125, 1963.
79. Газовоз «Bridgegate Maru», Tint, т. 9, № 12, 1962.
80. Газовоз «Bridgetown Maru» № 2, JapShSh, т. 9, № 10, 1965.

131. Газон «Butagaz», ShWeSh, т. 134, № 3255, 1964.
132. Газон «Vicic», MSh, т. 46, № 519, 1963.
133. Газон «Grillot», MSh, т. 43, № 511, 1963.
134. Газон «Gardex Nicard», MSh, т. 45, № 525, 1964.
135. Газон «Decarlos», TanT, № 2, 1961.
136. Газон «Cap Carbon», JMM, т. 38, № 1908, 1964.
137. Газон «Cap Cis Nez», MSh, т. 43, № 512, 1963.
138. Газон «Lil Theltrup», OstGes, т. 2, № 5, 1962.
139. Газон д-р. Р. Мюл № 16, С. т. 33, № 4, 1960.
140. Газон д-р. Р. Мюл № 16, ФК, т. 14, № 6, 1961.
141. Газон «Marion P. Billings», ME/Log, т. 62, № 5, 1957.
142. Газон «Mandragor Brasil», MSh, т. 43, № 493, 1963.
143. Газон «Nordica», MSh, т. 43, № 509, 1963.
144. Газон «Puff Endless», SW, т. 31, № 19, 1964.
145. Газон «Petroleum Laine», MSh, т. 40, № 471, 1959.
146. Газон «Petroleum Marin», H, № 1/3, 1964.
147. Газон «Petrobras Oeste», ФК, т. 16, № 5, 1963.
148. Газон «Propan Mar» № 16, ФК, т. 14, № 1, 1961.
149. Газон «Ressou Theltrup», BTBV, т. 37, № 2, 1965.
150. Газон «Signe Theltrup», ShWeSh, т. 91, № 6, 1968.
151. Газон «Tobo Natur», С. т. 34, № 2, 1961.
152. Газон «William R. Grace», HSb, т. 13, № 5, 1964.
153. Газон «Urgan», NPCb, № 178, 1965.
154. Газон «Уорд Н. Биллард», HSb, т. 9, № 2, 1960.
155. Газон «Oliso Mar» № 26, JapShSt, т. 9, № 10, 1965.
156. Газон «Aiglon Quartz», MJ, т. 61, № 3, 1963.
157. Импорт Японии сжиженного газа, JapShSt, т. 9, № 8, 1964.
158. И т р о Я., Постройка специальных судо-газовозов, С. т. 33, № 9, 1962.
159. Конструкция судов для перевозки сжиженного газа, Франц. патент, № 638, P25, № 78499 от 18. 06. 1962 г.
160. Конструкция судна для перевозки газа при низкой температуре, Франц. патент, № 638, P25, № 1302797 от 11. 09. 1966 г.
161. Контроль и прием спиртов сжиженной в рефрижераторах для хранения сжиженных газов, Нидерланды, т. 39, № 304, 1962.
162. М а с а к а р у Ф., Танкеры для перевозки охлажденных сжиженных газов, Нидер. Крайсл, т. 42, № 435, 1963.
163. Металлический «Metalline Princess», MSh, т. 45, № 533, 1964.
164. Переход перевозки жидкого газа, ФК, т. 11, № 9, 1966.
165. Насосы для сжиженных газов, TanT, т. 5, № 6, 1962.
166. Обслуживание судна для перевозки нефти в период интенсивной пропарки, TanT, т. 11, № 8, 1964.
167. Перевозка газов и химикатов на судах, F, № 4942, № 4945, 1964.
168. Перевозка жидкого метана, Syntex Sh, т. 294, № 3316, 1966.
169. Плавучие склады для сжиженных газов, Франц. патент, № 638, P25, № 811145 от 10. 05. 1961 г.
170. Принцип пропарки Напасского газового судна, перевозящего сжиженные газы, TanD, 1964.
171. Проблемы перевозки морем жидкого газа, Рог. т. 18, № 1—2, 1963.
172. Проект танкера для перевозки сжиженных газов, Норвежский патент, кн. 62, а 15 № 10889 от 4. 06. 1962 г.
173. Проекты газовозов, разработанные компанией Moss Verft под Домой, Норвегия, MSh, т. 46, № 540, 1963.
174. Промышленные киттеры металлов «Pythagoras», RevN, № 266, 1964.
175. Специальный насос для разгрузки сжиженных газов, MSh, т. 45, № 535, 1965.
176. Специальная сеть металлических дисков, TanT, т. 9, № 12, 1963.
177. Специальные суда для транспортировки сжиженных газов, NPCb, № 182, 1968.
178. Суда для перевозки сжиженного метана, Plaf, № 259, 1963.
179. Суда для перевозки сжиженных газов, Oilweek, т. 14, № 48, 1964.
180. Суда для перевозки сжиженных газов, SSTid, т. 57, № 11, 1962.
181. Суда для перевозки сжиженных газов, SSTid, № 44, 1964.
182. Судно для перевозки нефти и газа «Galaxy Major», JapShSt, т. 6, № 8, 1961.
183. Судно для перевозки нефти в газе «Nissaki Major», JapShSt, т. 6, № 12, 1962.
184. Судно для перевозки нефти в газе «Toyon Maru», JapShSt, т. 8, № 9, 1963.
185. Судно для перевозки нефти и газа «Puerto Rico», SutH, т. 10, № 8, 1968.
186. Судно для перевозки нефти и газа «Eso el Salvador», ShWeSh, т. 134, № 2295, 1966.
187. Технические требования и характеристики судна для перевозки метана, Allianzio, т. 32, № 8, 1963.
188. Типы газовозов, разработанных фирмой Геннерик, SSTid, т. 56, № 14, 1963.
189. Термоизолированные установки, седовые установки которых приспособлены к работе на азоте и газовых топливах, ME/Log, т. 70, № 5, 1965.
190. Транспортировка жидкого этилена, Engines, т. 215, № 5205, 1963.
191. Транспортировка сжиженного природного газа морем, DHA, т. 45, № 530, 1964.
192. Усовершенствование судов, приспособленных для перевозки сжиженных газов, Франц. патент, № 638, P25, № 79989 от 1. 02. 1961.
193. Холодильные установки на судах для перевозки сжиженного газа, SABROE News, № 22, 1962.
194. Циклеры для метановозов, NPCb, № 162, 1963.
195. Экспериментальное судно-метановоз «Bosnia», BTBV, т. 45, № 3, 1963.
196. Экспериментальное судно-метановоз «Methane Pioneer» ME/Log, т. 60, № 9, 1963.

## Оглавление

От авторов . . . . .	3
Введение . . . . .	5
<b>Глава I. Развитие перевозок сжиженных газов</b>	
§ 1. Краткая схема истории развития газобаллонной и изотермической транспортировки . . . . .	11
§ 2. Перевозка сжиженных газов морем . . . . .	21
<b>Глава II. Общие вопросы проектирования газопроводов</b>	
§ 3. Физико-химические свойства газов . . . . .	28
§ 4. Выбор способа транспортировки газа . . . . .	30
§ 5. Выбор типа цистерн . . . . .	41
§ 6. Главные размерения и коэффициенты сопротивления . . . . .	52
§ 7. Грузоподъемность. Емкость баллонных кранетров . . . . .	64
§ 8. Весовая загрузка . . . . .	82
§ 9. Остойчивость . . . . .	91
§ 10. Обеспечение пожар- и взрывобезопасности . . . . .	99
<b>Глава III. Особенности судовых перевозок сжиженных газов в цистернах под давлением</b>	
§ 11. Конструкция корпуса . . . . .	102
§ 12. Грузовые параметры. Расчет на прочность . . . . .	107
§ 13. Материалы цистерн и их эксплуатация . . . . .	112
<b>Глава IV. Особенности судовых перевозок охлажденных нефтегазовых газов при температуре кипения</b>	
§ 14. Арматура цистерн и контрольно-измерительные приборы . . . . .	113
§ 15. Грузовые системы . . . . .	116
§ 16. Транзит газом с цистернами высокого давления . . . . .	121
<b>Глава V. Особенности судовых перевозок сжиженных метанов</b>	
§ 17. Конструкция корпуса . . . . .	153
§ 18. Цистерны. Материалы для изолирующих изоляции . . . . .	154
§ 19. Грузовые системы. Использование изолирующего газа . . . . .	156
§ 20. Суда, перевозящие сжиженные парaffиновые газы при температуре кипения . . . . .	161
<b>Глава VI. Вопросы экономики перевозки газов на судах</b>	
§ 21. Конструкция корпуса . . . . .	174
§ 22. Определение размеров в расчет прочности цистерн . . . . .	177
§ 23. Материалы цистерн и их изоляции . . . . .	196
§ 24. Системы . . . . .	204
§ 25. Использование изолирующего газа . . . . .	211
§ 26. Суда для перевозки сжиженного метана . . . . .	219
<b>Глава VII. Вопросы экономики перевозки газов на судах</b>	
§ 27. Экономическая эффективность газовозов . . . . .	226
§ 28. Выбор оптимальной грузоподъемности и скорости хода . . . . .	245
<b>Литература</b> . . . . .	

Поправка. Формулу (89) на стр. 107 следует читать так:  $\mu = \mu_0 + 2\mu_1$ .

Рисунок 107 - ПОПРЕЧНИК  
 (а не попечник)

ЛЮГИЧЕВ СТАНСЛАВ ИВАНОВИЧ,  
НИКОЛАЕВ ЖИХАЛІ МИХАЙЛОВИЧ  
СЛЕД ДЛЯ ПЕРЕВОДКИ  
СКИЖЕВИХ ГАЛЕК  
Теменік 1995 г. № 72

Редакторы: проф., д. т. н.  
В. В. Алан;  
члк. Е. Г. Фройд  
Научный редактор З. Г. Левинсон  
Редактор Г. Н. Яков  
Технический редактор  
А. Н. Каспаров  
Корректор Н. А. Ежкова  
Оформление передела художника  
В. С. Соколова

Сдано в набор 07.07.1995 г., № 19566.  
Подписано к печати 22.VII.1995 г.  
Бумага браун № 10 х 3016.  
Высота типографской № 2  
Печ. л. № 2 (односторонняя печать).  
Усл. л. № 16,3.  
Изд. № 1994-65. Тираж 1000 экз.  
Цена 37 н. Знак № 1922.

Издательство «Комсомольская  
Правда». Д-р-60, ул. Тосола, 8

Литография типографии № 6  
Литографиировано Комитетом по печати  
при Совете Министров СССР  
Литография, ул. Малая Красная, 10

ЗАПЧЕЧЕННЫЕ ОБЕЧАТКИ

Стр.	Напечатано	Сдано в печать
107	$p = p_0 + 2p - p_0$	$p = p_0 + 2p$

С. Н. Бегичев, М. Н. Николаев. Знак 185.

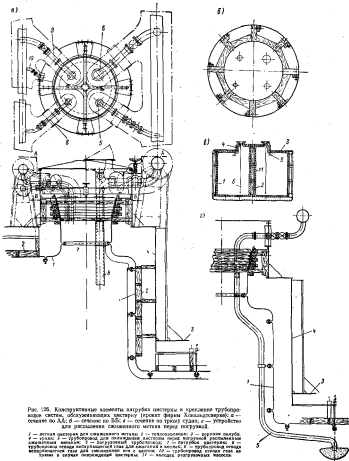


Рис. 126. Конструктивные элементы затрубка пистерны и крепление трубопроводов систем облучивания пистерн (проект фирмы Холмэлдсвикс): а — сечение по АА; б — сечение по ББ; в — сечение по трубо-удару; г — устройство для расширения смесительного мешка перед погружкой.

1 — листовая пистерна для смешивания штампа; 2 — герметичный шланг; 3 — трубопровод для отвода смеси из системы перед погружением; 4 — трубопровод для подачи смеси в смесительный мешок; 5 — трубопровод отвода избыточного газа для смешивания штампа с цементом; 6 — трубопровод отвода газа из смеси в систему повторяющей пистерны; 7 — насадка разбрызгивающих форсунок.